

Original Article

Mortality Attributable To High Blood Pressure for Cardiovascular Diseases in the West Azerbaijan Province 25–64 Years Old Population

Taher Ahangari¹ , Sima Masudi^{2,3} , Shaker Salarilak^{4*} 

¹Master Student of Epidemiology, School of Medicine, Urmia University of Medical Sciences, Urmia, Iran.

²Department of Epidemiology and Biostatistics, School of Medicine, Urmia University of Medical Science, Urmia, Iran.

³Nephrology and Kidney Transplant Research Center, Urmia University of Medical Sciences, Urmia, Iran

⁴Department of Public Health, Tabriz Branch, Islamic Azad University, Tabriz, Iran.

*Corresponding author; E-mail: salarilak@yahoo.com, salari@iaut.ac.ir

Received: 31 December 2016 Accepted: 9 March 2017 First Published online: 17 January 2019

Med J Tabriz Uni Med Sciences Health Services. 2019 February-March; 40(6):7-13

Abstract

Background: Cardiovascular disease is the main cause of death in many countries in the world, including Iran. High blood pressure is one of the most common risk factors for cardiovascular disease. The aim of this study was to estimate the deaths from cardiovascular diseases and all cause attributed to high blood pressure in West Azarbajian province.

Methods: In this study, the required data about the prevalence of hypertension was obtained from a national study on the prevalence and risk factors of hypertension in Iranian adults. The corresponding effect size for death from ischemic heart diseases, stroke and all-cause mortality were obtained from the results of a study on the data of Golestan cohort study. Data on the number of deaths by sex and the cause of death were obtained from the Death Registration System of the West Azerbaijan province.

Results: Cardiovascular disease accounted for 27% of deaths in the 25-64 years age group. The population attributable fractions of hypertension for death from ischemic heart disease, stroke and all cause death for men were 14.4%, 26.1% and 6.4%, respectively. In women they were 18.6%, 32.4% and 8.1%, respectively. The number of deaths attributed to the hypertension for aforementioned causes in men was 46, 30 and 154, respectively. In women they were 29, 28 and 120, respectively.

Conclusion: Blood pressure has a significant contribution in death from cardiovascular diseases, especially stroke. It emphasize on the importance of programs for controlling and preventing hypertension to reduce its associated deaths in the province as one of the priorities of health programs.

Keyword: Population Attributable Fraction, High Blood Pressure, Mortality Attributable, All-cause Mortality, Cardiovascular Diseases.

How to cite this article: Ahangari T, Masudi S, Salarilak Sh. [Mortality Attributable To High Blood Pressure for Cardiovascular Diseases in the West Azerbaijan Province 25–64 Years Old Population]. Med J Tabriz Uni Med Sciences Health Services. 2019 February-March;40(6):7-13. Persian.

مقاله پژوهشی

میرایی قابل انتساب به فشار خون بالا برای بیماری‌های قلبی عروقی در جمعیت ۲۵-۶۴ سال استان آذربایجان غربی

طاهر آهنگری^۱، سیما مسعودی^{۲*}، شاکر سالاری لک^۳

^۱دانشجوی کارشناسی ارشد اپیدمیولوژی، دانشکده پزشکی، دانشگاه علوم پزشکی ارومیه، ارومیه، ایران.

^۲گروه اپیدمیولوژی و آمار زیستی، دانشکده پزشکی، دانشگاه علوم پزشکی ارومیه، ارومیه، ایران.

^۳مرکز تحقیقات نفرونلولوژی و پیوند کلیه، دانشگاه علوم پزشکی ارومیه، ارومیه، ایران.

^۴گروه بهداشت عمومی، دانشگاه آزاد اسلامی، واحد تبریز، تبریز، ایران.

* نویسنده مسؤول: ایمیل: salarilak@yahoo.com و salarai@iaut.ac.ir

دریافت: ۱۳۹۶/۹/۸ پذیرش: ۱۳۹۶/۱۲/۶ انتشار برخط: ۱۳۹۷/۱۰/۲۷

مجله پزشکی دانشگاه علوم پزشکی و خدمات بهداشتی - درمانی تبریز. بهمن و اسفند ۱۳۹۷؛ ۱۳-۷: (۶) ۴۰

چکیده

زمینه: بیماری‌های قلبی عروقی اولین علت مرگ، در بسیاری از کشورهای جهان از جمله ایران است و فشارخون بالا یکی از شایعترین عوامل خطر بیماری‌های قلبی عروقی در سطح جهان می‌باشد. این مطالعه با هدف برآورد مرگ‌های ناشی از بیماری‌های قلبی عروقی متناسب به فشار خون بالا در استان آذربایجان غربی انجام شد.

روش کار: در این مطالعه برای محاسبه سهم متناسب، میرایی متنسب، برای شیوع فشارخون بالا از داده‌های یک مطالعه ملی شیوع و عوامل خطر فشارخون بالادر بزرگسالان ایرانی استفاده شد. اندازه‌های اثر فشارخون بالا به عنوان عامل خطر مرگ (از بیماری‌های ایسکمیک قلبی، سکته‌های مغزی و مرگ از کلیه علل) از نتایج مطالعه همگروهی گلستان بدست آمد. داده‌های مربوط به تعداد مرگ‌ها به تفکیک جنس و علت مرگ از نظام ثبت مرگ استان آذربایجان غربی اخذ شد.

یافته ها: در گروه سنی ۲۵-۶۴ سال ۲۷٪ مرگ‌ها ناشی از بیماری‌های قلبی عروقی بود. سهم متناسب جمعیتی فشارخون بالا برای مرگ از بیماری ایسکمیک قلبی در مردان ۱۴/۴ درصد و در زنان ۱۸/۶ درصد، برای سکته مغزی در مردان ۲۶/۱ درصد و در زنان ۳۲/۴ درصد و برای مرگ از کلیه علل در مردان ۶/۴ درصد و در زنان ۸/۱ درصد برآورد گردید. میزان میرایی متنسب به فشارخون بالا برای مرگ از بیماری ایسکمیک قلبی، سکته مغزی و میرایی از کلیه علل در مردان به ترتیب ۴۶، ۳۰ و ۱۵۴ مورد و در زنان به ترتیب ۲۸، ۲۹ و ۱۲۰ مورد بود.

نتیجه گیری: نتایج این مطالعه سهم قابل توجه فشارخون در رخداد مرگ و میر از بیماری‌های قلبی عروقی به ویژه سکته مغزی را نشان می‌دهد و بر اهمیت برنامه‌های کنترل و پیشگیری از فشارخون بالا برای کاهش مرگ‌های متنسب به آن در استان به عنوان یکی از اولویت‌های برنامه‌های بهداشتی تأکید می‌کند.

کلید واژه‌ها: سهم متناسب جمعیتی، میرایی متنسب، میرایی از همه علل، فشارخون بالا، بیماری‌های قلبی عروقی

نحوه استناد به این مقاله: آهنگری ط، مسعودی س، سالاری لک ش. میرایی قابل انتساب به فشار خون بالا برای بیماری‌های قلبی عروقی در جمعیت ۲۵-۶۴ سال استان آذربایجان غربی. مجله پزشکی دانشگاه علوم پزشکی و خدمات بهداشتی - درمانی تبریز. ۱۳۹۷؛ ۱۳-۷: (۶) ۴۰

حق تألیف برای مؤلف محفوظ است.

این مقاله با دسترسی آزاد توسط دانشگاه علوم پزشکی و خدمات بهداشتی - درمانی تبریز تحت مجوز کریپتو کامنز (CC BY 4.0) منتشر شده که طبق مفاد آن هرگونه استفاده تنها در صورتی مجاز است که به اثر اصلی به نحو مقتضی استناد و ارجاع داده شده باشد.

مقدمه

فشارخون بالا برای مرگ از بیماری‌های قلبی عروقی می‌توان نشان داد که اگر فشارخون بالا در جمعیت حذف شود چه مقدار از مرگ‌های متسب به آن در اثر بیماری‌های قلبی عروقی (بیماری‌های ایسکمیک قلبی و سکته مغزی) کاهش خواهد یافت. به همین جهت این مطالعه با هدف محاسبه مرگ و میر متسب به فشارخون بالا برای مرگ و میر بیماری‌های قلبی عروقی و مرگ و میر از همه علل در استان آذربایجان غربی در سال ۱۳۹۳ انجام شد، نتایج این مطالعه می‌تواند در طراحی برنامه‌های پیشگیری مناسب برای حفظ و ارتقای سلامت جامعه استان آذربایجان غربی کمک کننده باشد.

روش کار

مطالعه حاضر با استفاده از داده‌های ثانویه شیوع فشارخون بالا و اندازه اثر آن برای میرایی از بیماری‌های ایسکمیک قلبی، سکته مغزی و مرگ از کلیه علل از مطالعات قبلی، و داده‌های مرگ از نظام ثبت مرگ استان آذربایجان غربی برای سال ۱۳۹۳ انجام شد. برای برآورده شیوع فشارخون بالا در این مطالعه از برآورد کشوری شیوع این عامل از مطالعه Janghorbani و همکاران (۱۳) که در سال ۱۳۸۸ انجام شده، استفاده شد که در آن شیوع فشارخون بالا برای دامنه سنی ۲۵–۶۴ سال و با استفاده از روش STEPS برآورده شده است. برآوردهای گزارش شده اختصاصی سنی شیوع فشارخون بالادر این مطالعه به برآوردهای اختصاصی سنی مطالعه STEPS برای استان آذربایجان غربی نزدیک بود (در مطالعه آذربایجان غربی به دلیل شیوع بسیار پایین فشارخون بالا در گروه سنی ۱۵–۲۴ سال شیوع برای دامنه سنی ۱۵–۶۴ سال خیلی پایین تر از دامنه سنی ۲۵–۶۴ بود).

در این مطالعه، برای برآورده اندازه اثر فشارخون بالا از نتایج مطالعه Sepanlou و همکاران (۱۴)، روی داده‌های مطالعه همگروهی گلستان با ۵۰۰۰۰ شرکت کننده استفاده گردید که تنها مطالعه‌ای است که در آن مخاطره نسبی برای فشارخون بالا در رابطه با مرگ از بیماری‌های ایسکمیک قلبی، سکته مغزی و مرگ از همه علل برآورده شده است. در این مطالعه فشارخون بالا به صورت فشارخون سیستولی بالای ۱۴۰ / یا فشارخون دیاستولی بالای ۹۰ میلی متر جیوه یا تحت درمان بودن با داروهای کاهنده فشارخون تعريف شده و مخاطره نسبی برای این تعريف در مقابل فشار خون طبیعی با تعريف فشار خون سیستولی و دیاستولی کمتر از ۱۴۰/۹۰ میلی متر جیوه برآورده شده است. برآوردهای مخاطره نسبی به صورت خام و تطبیق شده ارائه شده بود که در این مطالعه از برآوردهای خام مخاطره نسبی استفاده شد.

داده‌های مربوط به تعداد مرگ‌ها به تفکیک جنس و علت زمینه‌ای برای گروه سنی ۲۵–۶۴ سال از نظام ثبت مرگ اخذ شد.

بیماری‌های قلبی عروقی یکی از علل عملده مرگ و میر در سطح جهان بوده و به عنوان اولین عامل مرگ، سهم یک سوم کل مرگ و میرها را در جهان بخود اختصاص می‌دهند (۱). در سال ۲۰۱۵ از ۷۳٪ موارد مرگ ناشی از بیماری‌های غیرواگیر سهم بیماری‌های قلبی عروقی بیش از ۴۸٪ بوده بطوری که بیش از ۲۰ میلیون مورد از ۶۴ میلیون مرگ مربوط به بیماری‌های قلبی عروقی بوده است (۲). پیش‌بینی شده است که تعداد مرگ از بیماری‌های قلبی عروقی تا سال ۲۰۳۰ به ۲۳/۶ میلیون نفر افزایش خواهد یافته (۳–۴). در کشورهای واقع در حوزه‌ی مدیترانه شرقی نیز بیماری‌های قلبی‌عروقی علت اول مرگ را تشکیل می‌دهند (۵). در ایران ۳۹٪ کل مرگ‌ها در کشور به این گروه از بیماری‌ها اختصاص دارد (۶) و در سال ۱۳۹۰، از ۲۸۰ هزار مرگ ثبت شده در ایران ۹۲ هزار نفر به علت سکته قلبی (۷٪) و ۴۳ هزار نفر به علت سکته مغزی (۱۳٪) فوت کرده‌اند (۷).

فشارخون بالا یکی از مهمترین عوامل خطر بروز بیماری‌های قلبی عروقی و شایعترین عامل بروز بیماری‌های قلبی عروقی در بسیاری از کشورها است به طوری که از هر ۴ فرد بزرگسال یک نفر مبتلا به فشار خون بالا است (۳). در آمریکا ۲۵٪ مردان و ۲۱٪ زنان دارای فشار خون بالا هستند (۸). همچنین فشارخون بالا یکی از علل اصلی مرگ و میر در سطح جهان است و ۱۸٪ از مرگ‌ها در جهان به آن نسبت داده می‌شود (۹). در مطالعه‌ای در آمریکا با هدف برآورده مرگ‌های اختصاصی بیماری متسب به مواجهه با عوامل خطر صورت گرفته است فشارخون بالا بعد از سیگار دومین علت مرگ بوده و ۳۹۵ هزار مرگ به آن متسب شده است (۱۰). در ایران فشارخون بالا در سال ۱۳۹۱ علت ۴۱ هزار مرگ در مردان و ۳۹ هزار مرگ در زنان بوده است. در تمامی مناطق ایران بیشترین موارد مرگ به فشارخون بالا متسب بوده است و میزان آن در منطقه شمال‌شمال شرقی و منطقه غربی کشور (شامل استان آذربایجان غربی) بیشتر از سایر مناطق برآورده شده و میزان مرگ بین ۳۱۰ تا ۳۳۰ مرگ در هر صد هزار فرد بالغ در هر دو جنس بوده است (۱۱).

در بین علل مرگ در استان آذربایجان غربی، بیماری‌های قلبی عروقی خصوصاً بیماری‌های ایسکمیک قلبی و سکته مغزی بیشترین سهم را به خود اختصاص داده‌اند. با این وجود اطلاعی در زمینه سهم عوامل خطر در بار مرگ و میر بیماری‌های قلبی عروقی در استان آذربایجان غربی وجود ندارد. سهم متسب (Population Attributable Fraction ، PAF) که کاهش نسبی در تعداد مرگ را برای هر علت بیماری یا مرگ به موازات کاهش توزیع عامل خطر مورد نظر، نشان می‌دهد (۱۲)، شاخص بسیار مهمی برای برنامه‌ریزی و سیاست‌گذاری پیشگیرانه در حوزه سلامت است، بطوری که با برآورده سهم متسب جمعیتی

یافته‌ها

در سال ۱۳۹۳ در استان آذربایجان غربی ۱۳۷۱۶ مرگ در نظام ثبت مرگ ثبت شده بود که ۵۲۶۹ مرگ (۳۸٪) مربوط به بیماری‌های دستگاه گردش خون بود. از کل مرگ‌های ثبت شده در برنامه ثبت مرگ استان، ۳۷۹۷ مرگ در گروه سنی ۲۵-۶۴ رخ داده بود که ۱۰۱۷ مورد (۲۶٪) آن ناشی از بیماری‌های قلبی عروقی بود؛ از این تعداد ۴۷۳ مورد مرگ به علت بیماری‌های ایسکمیک قلبی، ۲۰۱ مورد مرگ ناشی از سکته‌های مغزی و ۱۴۲ مورد مرگ به علت بیماری‌های فشارخون و ۲۰۱ مورد ناشی از سایر بیماری‌های قلبی عروقی بود. برای هر سه علت مرگ مورد بررسی (مرگ از بیماری‌های ایسکمیک قلبی، سکته‌های مغزی و مرگ از همه علل) تعداد مرگ‌ها در مردان در مقایسه با زنان بیشتر بود. به ویژه در مورد بیماری‌های ایسکمیک قلبی تعداد مرگ‌ها در مردان دو برابر زنان بود (۳۱۹ در مقابل ۱۵۴). با این حال برای هر سه علت مرگ مورد بررسی، سهم قابل انتساب جمعیتی مرگ به فشارخون بالا در زنان از مردان بیشتر بود. در کل سهم متنسب جمعیتی فشارخون بالا برای مرگ از سکته مغزی در مقایسه با دو علت دیگر در هر دو جنس بیشتر بود، اما بیشترین تعداد مرگ متنسب به فشارخون بالا برای مرگ از همه علل در مردان (۱۵۴) مورد مرگ) و پس از آن مرگ از همه علل در زنان (۱۲۰) مورد مرگ مشاهده شد. بیشترین عدم قطعیت در برآوردهای انجام شده مربوط به برآوردهای سهم قابل انتساب میرایی برای سکته‌های مغزی بود و در مورد تعداد مرگ‌ها بیشترین عدم قطعیت به ترتیب در تعداد مرگ از کلیه علل در مردان و زنان و پس از آن در تعداد مرگ از بیماری‌های ایسکمیک قلبی در مردان مشاهده شد (جدول ۱).

بر اساس نسخه دهم طبقه‌بندی بین المللی بیماریها (ICD10) تعداد مرگ‌های ناشی از بیماری‌های ایسکمیک قلبی (ICD10 code: I20-I25 و I46/I8۰)، (ICD10 code: I70، ICD10 code: I60-I69) و همچنین مرگ از همه علل به تفکیک جنس برای گروه سنی ۲۵-۶۴ سال استان آذربایجان غربی در سال ۱۳۹۳ وارد مطالعه شد. محاسبه سهم متنسب جمعیتی با استفاده از فرمول زیر صورت گرفت (۱۵):

$$\text{PAF} = \frac{\text{P}_e(\text{RR} - 1)}{\text{P}_e(\text{RR} - 1) + 1}$$

که در آن RR اندازه اثر عامل خطر، P_e شیوع عامل خطر در جمعیت است. در این مطالعه به جای RR از برآوردهای مخاطره نسبی خام که قبلًا ذکر شد. برای محاسبه سهم متنسب جمعیتی استفاده شد. مخاطره نسبی در مقایسه با خطر نسبی شاخصی قوی برای سنجش رابطه بین مواجهه با پیامد است. علاوه بر این، با استفاده از فرمول زیر مرگ‌های متنسب برای هر پیامد به تفکیک جنس محاسبه شد:

$$\text{AM} = \text{PAF} \times M$$

که در آن M تعداد مرگ از علت موردنظر و AM مرگ متنسب برای عامل خطر است.

برای برآورد عدم قطعیت در سهم متنسب جمعیتی و تعداد مرگ‌های قابل انتساب به فشارخون بالا برای سه علت مرگ مورد بررسی به علت وجود تعییرپذیری نمونه برداری در برآوردهای مورد استفاده یک تحلیل حساسیت با استفاده از دامنه‌های بالا و پایین برآوردهای اندازه اثر و برآوردهای شیوع فشارخون بالا، انجام شد. آنالیز داده‌ها با استفاده از دو فرمول ذکر شده و فرمول نویسی در نرم‌افزار Excel صورت گرفت.

مردان	زنان	همه علل	همه علل	سکته مغزی	بیماری‌های ایسکمیک قلبی	میرایی از
۱۴۶	۲۱۹	۱۴۴	۱۹/۸	۱/۸۵		
(۳۳-۶۰)		(۱۰/۴-۱۸/۸)	(۱۹/۴-۲۰/۳)	(۱/۶۰-۲/۱۴)		
۳۰	۱۱۶	۲۶/۱	۱۹/۸	۲/۷۸		
(۲۳-۳۸)		(۱۹/۵-۳۲/۹)	(۱۹/۴-۲۰/۳)	(۲/۲۵-۳/۴۱)		
۱۵۴	۲۴۰۳	۶/۵	۱۹/۸	۱/۳۵		
(۱۱۵-۲۰۵)		(۴/۸-۸/۵)	(۱۹/۴-۲۰/۳)	(۱/۲۶-۱/۴۶)		
۲۹	۱۵۴	۱۸/۶	۲۶/۹	۱/۸۵		
(۲۱-۳۷)		(۱۳/۷-۲۳/۸)	(۲۶/۴-۲۷/۴)	(۱/۶۰-۲/۱۴)		
۲۸	۸۵	۳۲/۴	۲۶/۹	۲/۷۸		
(۲۱-۳۴)		(۲۴/۸-۳۹/۸)	(۲۶/۴-۲۷/۴)	(۲/۲۵-۳/۴۱)		
۱۲۰	۱۳۹۴	۸/۶	۲۶/۹	۱/۳۵		
(۹۰-۱۵۶)		(۶/۴-۱۱/۲)	(۲۶/۴-۲۷/۴)	(۱/۲۶-۱/۴۶)		

*نسبت مخاطره از نتایج مطالعه سپانلو و همکاران (۱۴) (برآورد نسبت مخاطره برای شیوع فشارخون بالا به صورت فشارخون سیستولی ≥ 140 میلی متر جیوه و یا فشارخون دیاستولی ≥ 90 میلی متر جیوه یا تحت درمان بودن با داروهای ضد فشارخون نرمال به صورت فشارخون سیستولی < 140 میلی متر جیوه و یا فشارخون دیاستولی < 90 میلی متر جیوه انجام شده بود) $\text{PAF}^{\#} = \frac{\text{CI}^{\#}}{\text{CI}^{\#} + 1}$ ؛ فاصله اطمینان ۹۵٪

برآوردهای شیوع از نتایج مطالعه Janghorbani و همکاران (...)

PAF[#] سهم متنسب جمعیت

بحث

انتساب در زنان بیشتر از مردان بود تفاوت دارد. علل این تفاوت می‌تواند شیوع بیشتر فشارخون بالا و همچنین اندازه اثر بالاتر برای فشارخون بالا در رابطه با مرگ از این بیماری‌ها در مردان چینی باشد. علاوه بر این در مطالعه چین برای هر جنس از اندازه اثرهای متفاوتی استفاده شده است در حالی‌که در مطالعه حاضر اندازه اثرهای مورد استفاده برای دو جنس یکسان در نظر گرفته شده است.

مطالعاتی که در کشورهای مختلف انجام شده‌اند نتایج متفاوتی را برای سهم قابل انتساب جمعیتی فشارخون بالا ارائه کرده‌اند. Ikeda و همکاران در ژاپن سهم قابل انتساب جمعیتی فشارخون بالا برای میرایی از سکته مغزی را در مردان 67% و در زنان 29% و میرایی از کل بیماری‌های قلبی عروقی در مردان 28% و در زنان 36% برآورد کردند (۱۷). در مطالعه Martiniuk و همکاران در ۱۵ کشور در منطقه آسیا پاسیفیک (۱۸) شیوع فشارخون بالا از 47% درصد در مردان و 38% درصد در زنان متفاوت بوده و سهم متناسب جمعیتی محاسبه شده فشارخون بالا برای مرگ از بیماری ایسکمیک قلبی در مردان 28% درصد و در زنان 39% درصد و برای مرگ از سکته مغزی 66% در مردان و 49% در زنان بود. در این مطالعه سهم خطر قابل انتساب به فشارخون بالا برای مرگ از بیماری‌های ایسکمیک قلبی در مردان و زنان به ترتیب $14/4$ و $17/6$ درصد و برای مرگ از سکته‌های مغزی $26/1$ و $32/4$ درصد بود، که به نتایج مطالعه Martinium و همکاران نزدیک است. اما نتایج این مطالعه با مطالعه Farzadfar و همکاران (۱۱) که در سال ۱۳۹۱ در ایران انجام شد تفاوت دارد. در مطالعه Farzadfar و همکاران سهم متناسب جمعیتی فشارخون بالا برای میرایی از بیماری‌های ایسکمیک قلبی و سکته مغزی در منطقه شمال-شمال شرقی و منطقه غربی کشور (شامل استان آذربایجان غربی) از سایر مناطق کشور بیشتر بود و در طیفی از 45% تا 63% درصد قرار داشت. تفاوت نتایج مطالعه حاضر با مطالعه Farzadfar و همکاران می‌تواند ناشی از دو علت باشد: اول این که گروه جمعیتی مورد مطالعه فرزاد فر و همکاران مسن تر از مطالعه حاضر ($25-64$ سال) بود علاوه در مطالعه Farzadfar و همکاران سهم متناسب جمعیتی برای توزیع پیوسته فشارخون سیستولی محاسبه شده است در حالیکه در مطالعه حاضر برای فشارخون بالا که ترکیبی از فشارخون سیستولی، دیاستولی و مصرف دارو برای فشارخون بالا می‌باشد، محاسبه شده است.

چند نکته در مورد مطالعه حاضر شایان ذکر است. اول این که مطالعه حاضر اولین مطالعه در استان آذربایجان غربی است که سهم متناسب جمعیتی و میرایی متناسب به فشارخون بالا را برای میرایی از بیماری‌های قلبی عروقی و میرایی از کلیه علل برآورده کرده است. دوم، در این مطالعه برای شیوع فشارخون بالا از داده‌های

مرگ از بیماری‌های قلبی عروقی در سال ۱۳۹۳ اولین علت مرگ و میر در استان آذربایجان غربی را تشکیل می‌داد (38% کل مرگ‌ها). در این مطالعه سهم متناسب جمعیتی و میرایی متناسب به فشارخون بالا (به عنوان مهم‌ترین و شایع‌ترین عامل خطر قبل پیشگیری برای مرگ از بیماری‌های قلبی عروقی) برای مرگ از بیماری‌های ایسکمیک قلبی، سکته مغزی و مرگ از همه‌ی علل در گروه سنی $25-64$ سال در استان آذربایجان غربی بالا برآورد شد. به طور کلی نتایج این مطالعه نشان داد که سهم متناسب جمعیتی فشارخون بالا برای مرگ از علل مورد نظر در زنان بیشتر از مردان، برای مرگ از سکته مغزی بیشتر از مرگ از بیماری‌های ایسکمیک قلبی و مرگ از همه علل بود. از طرف دیگر بیشترین تعداد میرایی متناسب به فشارخون بالا مربوط به مرگ و میر از همه علل و پس از آن مرگ و میر از بیماری‌های ایسکمیک قلبی بود و همچنین میرایی متناسب به این عامل برای هر سه علت مرگ در مردان بیشتر از زنان بود.

در این مطالعه سهم متناسب جمعیتی فشارخون بالا برای مرگ از سکته مغزی نسبت به مرگ از بیماری ایسکمیک قلبی در هر دو جنس بیشتر بود. دلیل این تفاوت‌ها بدين علت است نسبت مخاطره فشارخون بالا برای مرگ از سکته مغزی عامل علیتی قوی‌تری است تا برای مرگ از بیماری‌های ایسکمیک قلبی ($278/1$) در مقابل ($1/85$). اما به هر حال به علت بالا بودن مرگ و میر از بیماری‌های ایسکمیک قلبی نسبت به سکته مغزی، تعداد میرایی متناسب به فشارخون بالا برای مرگ از بیماری ایسکمیک قلبی به ویژه در مردان بیشتر بود.

سهم متناسب جمعیتی فشارخون بالا برای مرگ از بیماری ایسکمیک قلبی، سکته مغزی و مرگ از همه‌ی علل در زنان نسبت از مردان بود ولی میرایی متناسب به فشارخون بالا برای هر یک از علل مرگ در مردان نسبت به زنان بیشتر بود. با توجه به استفاده از یک اندازه اثر مشترک برای زنان و مردان، دلیل تفاوت در خطر متناسب جمعیتی، شیوع بالای فشارخون بالا در زنان نسبت به مردان است اما به علت بالاتر بودن تعداد مرگها در مردان، میرایی متناسب به پرشاری در مردان برای هر سه علت مرگ بیشتر از زنان است. در مطالعه Farzadfar و همکاران هم با وجود بالاتر بودن سهم متناسب جمعیتی چهار عامل خطر متابولیک (فشارخون، قند خون، کلسترول تام و نمایه توده بدنی) در زنان نسبت به مردان، تعداد مرگ‌های متناسب به این عوامل خطر در مردان بیشتر بود که دلیل آن تعداد بیشتر مرگ‌های مشاهده شده در مردان بود که با نتایج این مطالعه هم خوانی دارد (۱۱). اما در مطالعه He و همکاران در چین سهم متناسب جمعیتی برای سطح فشارخون بالا در مردان بیشتر از و در زنان ($51/49$ درصد در مقابل $49/1$ درصد) برآورده شده است (۱۶)، که با نتایج مطالعه حاضر که خطر قابل

نصف مقدار حاضر کاهش داده شود می‌تواند از ۵۰٪ مرگ و میر از علل فوق در جامعه جلوگیری کند.

نتیجه‌گیری

در این مطالعه سهم متنسب جمعیتی و میرایی قابل انتساب به فشارخون بالا در رابطه با سه علت میرایی از بیماری‌های ایسکمیک قلبی، سکته‌های مغزی و میرایی از کلیه علل برآورده شد و نتایج نشان داد، که فشارخون بالا بیشترین سهم را در رخداد مرگ از سکته‌های مغزی و پس از آن در رخداد مرگ از بیماری‌های ایسکمیک قلبی داشت. از آنجا که نتایج چنین مطالعاتی می‌تواند اطلاعات روشن و دقیقی را در اختیار سیاست گذران نظام سلامت استان آذربایجان غربی قرار دهد پیشنهاد می‌گردد که سهم متنسب جمعیتی و مرگ‌های متنسب برای سایر عوامل خطر بیماری‌های قلبی عروقی نیز برآورده شود. نتایج چنین مطالعاتی می‌تواند در برنامه ریزی و اولویت بندی راهکارهای کترلی و اقدامات پیشگیرانه برای عوامل خطر قابل پیشگیری این بیماری‌ها مورد استفاده قرار گیرد و نقشی اساسی در کاهش بار مرگ و میر از بیماری‌های قلبی عروقی ایفا نماید.

قدرتانی

از معاونت محترم بهداشتی استان آذربایجان غربی بخاطر در اختیار قرار دادن داده‌ها و همکاری‌های لازم صمیمانه تشکر و قدردانی می‌گردد. این مقاله حاصل بخشی از یافته‌های پایان نامه کارشناسی ارشد به شماره ۱۳۹۵-۰۱-۵۱-۲۴۴۲ است که در دانشگاه علوم پزشکی ارومیه به تصویب رسیده است.

ملاحظات اخلاقی

ملاحظات اخلاقی شامل نمی‌شود.

منابع مالی

مقاله برگرفته از پایان نامه کارشناسی ارشد آقای طاهر آهنگری به شماره ۱۳۹۵-۰۱-۵۱-۲۴۴۲ که در دانشگاه علوم پزشکی ارومیه تصویب و تحت حمایت مالی دانشگاه انجام گرفته است.

منافع متقابل

مؤلف اظهار می‌دارد که منابع متقابلی از تالیف یا انتشار این مقاله ندارد.

مشارکت مولفان

ط آ، س م و همکاران طراحی، اجرا و تحلیل نتایج مطالعه را بر عهده داشتند همچنین مقاله را تالیف نموده و نسخه نهایی آن را خوانده و تایید نمودند.

مطالعه Janghorbani و همکاران (۱۳) که یک مطالعه جامع در سطح کشور است، استفاده شد. مقایسه شیوه فشارخون بالا در این مطالعه برای گروه‌های سنی ۱۰ ساله در دامنه سنی ۲۵-۶۴ سال با نتایج دور پنجم مطالعه STEPS کشور برای استان در سال ۸۸ نشان داد که برآوردهای شیوه اختصاصی سنی در این دو مطالعه به هم خیلی نزدیک بودند و از آنجا که در مطالعه STEPS شیوه فشارخون بالا برای استان برای دامنه ۱۵-۶۴ سال گزارش شده بود که به دلیل پایین بودن شیوه در گروه سنی ۱۵-۲۴ سال شیوه فشارخون بالا در دامنه سنی مربوطه خیلی پایین تر از شیوه در دامنه ۲۵-۶۴ سال می‌شد، بنابراین در این مطالعه از نتایج مطالعه Janghorbani و همکاران استفاده گردید. یکی دیگر از نکات قوت این مطالعه این است که از برآوردهای اندازه اثر گزارش شده از یک مطالعه داخلی یعنی مطالعه همگروهی گلستان (۱۴) برای محاسبه سهم‌های متنسب جمعیتی استفاده شد که تنها مطالعه داخلی است که برآوردهای نسبت مخاطره را برای میرایی از علل مورد نظر ارائه کرده بود. در سایر مطالعات انجام گرفته در ایران برآوردهای اندازه اثر برای رخداد وقایع قلبی عروقی گزارش شده‌اند، که با توجه به رخداد بالای حوادث قلبی عروقی در مقایسه با میرایی از این بیماری‌ها، بزرگتر از برآوردهای اندازه اثر برای میرایی هستند. اما استفاده از این داده‌ها محدودیت‌هایی را برای این مطالعه به همراه داشت. افراد شرکت کننده در مطالعه همگروهی گلستان در دامنه ۴۰-۷۴ سال قرار داشتند. از آنجا که در سینین پایین تر برآوردهای اندازه اثر برای عوامل خطر معمولاً قوی‌تر هستند (۱۰)، (۱۴) این احتمال وجود دارد که اندازه اثر فشارخون بالا برای میرایی از علل مورد نظر برای گروه سنی ۲۵-۶۴ سال بیشتر از خطر نسیی برای گروه سنی ۴۰-۷۴ باشد، که می‌تواند به کم برآورده در نتایج این مطالعه منجر شده باشد. بعلاوه در مطالعه همگروهی گلستان اندازه اثر فشارخون بالا برای میرایی از علل مورد نظر به طور جداگانه برای زنان و مردان انجام نگرفته است. با این که زنان به طور کلی در این سینین میرایی کمتری را نسبت به مردان تجربه می‌کنند اما به علت بالا بودن شیوه فشارخون بالا در آنها ممکن است این عامل اثر قویتری روی میرایی از علل مورد نظر در زنان نسبت به مردان داشته باشد، که در این صورت باز هم احتمال دارد که برآوردهای سهم متنسب جمعیتی برای فشارخون بالا در رابطه با میرایی از علل مورد نظر در این مطالعه کم برآورده داشته باشد. یعنی سهم واقعی میرایی متنسب به فشارخون بالا در زنان از مقدادیر محاسبه شده در این مطالعه بیشتر باشد. هر دو نکته فوق در واقع روی اهمیت فشارخون بالا در رویداد میرایی از بیماری‌های قلبی عروقی، سکته مغزی و میرایی از همه علل بیشتر تاکید می‌کند و نشان می‌دهد که برنامه ریزی برای کاهش شیوه فشارخون بالامی تواند تاثیرات جدی را روی کاهش میرایی از علل فوق داشته باشد و تنها اگر شیوه فشارخون بالا در مردان و زنان به

References

1. Salomon J A, Vos T, Hogan D R, Gagnon M, Naghavi M, Mokdad A, et al. Common values in assessing health outcomes from disease and injury: disability weights measurement study for the Global Burden of Disease Study 2010. *The Lancet* 2013; **380**(9859): 2129-2143 doi: 10.1016/S0140-6736(12)61680-8.
2. Lang R M, Badano L P, Mor-Avi V, Afilalo J, Armstrong A, Ernande L, et al. Recommendations for cardiac chamber quantification by echocardiography in adults: an update from the American Society of Echocardiography and the European Association of Cardiovascular Imaging. *Journal of the American Society of Echocardiography* 2015; **28**(1): 1-39. e14. doi: 10.1016/j.echo.2014.10.003
3. Mathers C D, Loncar D. Projections of global mortality and burden of disease from 2002 to 2030. *Plos Med* 2006; **3**(11): e442. doi: 10.1371/journal.pmed.0030442
4. Organization W H. Global Health Risks-Mortality and burden of disease attributable to selected major risks. *The Lancet* 2015.
5. Azizi F. Preventing NCDS: Improving lifestyle an inevitable Necessity. *Journal of Research in Medical Sciences* 2003; **27**(4): 261-263.
6. Naghavi M, Abolhassani F, Pourmalek F, Lakeh M M, Jafari N, Vaseghi S, et al. The burden of disease and injury in Iran 2003. *Population Health Metrics* 2009; **7**(1). 1. doi: 10.1186/1478-7954-7-9
7. Organization W H. *Global status report on noncommunicable diseases* 2014: World Health Organization; 2014.
8. Danaei G, Finucane M M, Lin J K, Singh G M, Paciorek C J, Cowan M J, et al. National, regional, and global trends in systolic blood pressure since 1980: systematic analysis of health examination surveys and epidemiological studies with 786 country-years and 5·4 million participants. *The Lancet* 2011; **377**(9765): 568-577. doi: 10.1016/S0140-6736(10)62036-3
9. World Health O. Global health risks : mortality and burden of disease attributable to selected major risks. Geneva: World Health Organization; 2009.
10. Danaei G, Ding E L, Mozaffarian D, Taylor B, Rehm J, Murray CJ, et al. The preventable causes of death in the United States: comparative risk assessment of dietary, lifestyle, and metabolic risk factors. *PLoS Med* 2009; **6**(4): e1000058. doi: 10.1371/journal.pmed.1000058
11. Farzadfar F, Danaei G, Namdaratabar H, Rajaratnam J K, Marcus J R, Khosravi A, et al. National and subnational mortality effects of metabolic risk factors and smoking in Iran: a comparative risk assessment. *Population Health Metrics* 2011; **9**(1): 1-11. doi: 10.1186/1478-7954-9-55
12. Ezzati M, Lopez A D, Rodgers A, Murray C J. Comparative quantification of health risks: global and regional burden of disease attributable to selected major risk factors: OMS; 2004.
13. Janghorbani M, Amini M, Gouya M M, Delavari A, Alikhani S, Mahdavi A. Nationwide survey of prevalence and risk factors of prehypertension and hypertension in Iranian adults. *Journal of Hypertension* 2008; **26**(3): 419-426. doi: 10.1097/HJH.0b013e3282f2d34d
14. Sepanlou S, Sharafkhah M, Poustchi H, Malekzadeh M, Etemadi A, Khademi H, et al. Hypertension and mortality in the Golestan Cohort Study: a prospective study of 50 000 adults in Iran. *J Human Hypertens* 2015; **57**. doi: 10.1038/jhh.2015.57
15. Rockhill B, Newman B, Weinberg C. Use and misuse of population attributable fractions. *American Journal of Public Health* 1998; **88**(1): 15-19.
16. He J, Gu D, Chen J, Wu X, Kelly T N, Huang J-f, et al. Premature deaths attributable to blood pressure in China: a prospective cohort study. *The Lancet* 2009; **374**(9703): 1765-1772. doi: 10.1016/S0140-6736(09)61199-5
17. Ikeda A, Iso H, Yamagishi K, Inoue M, Tsugane S. Blood pressure and the risk of stroke, cardiovascular disease, and all-cause mortality among Japanese: the JPHC Study. *American Journal of Hypertension* 2009; **22**(3): 273-280. doi: 10.1038/ajh.2008.356
18. Martiniuk A L, Lee C M, Lawes C M, Ueshima H, Suh I, Lam TH, et al. Hypertension: its prevalence and population-attributable fraction for mortality from cardiovascular disease in the Asia- Pacific region. *Journal of Hypertension* 2007; **25**(1): 73-79. doi: 10.1097/HJH.0b013e328010775

Original Article

Comparison of effect of G-CSF with PEG G-CSF in the increase of neutrophil count and pain intensity after chemotherapy in patients with breast cancer

Ali Esfahani¹ , Maryam Abbasnejad^{2*} , Babak Nejati¹ , Zohreh Ghoreishi³, Mosleh Kadkhodamohammadi⁴ 

¹Hematology and Medical Oncology Research Center, Tabriz University of Medical Sciences, Tabriz, Iran.

²Department of Internal Medicine, School of Medicine, Tabriz University of Medical Sciences, Tabriz, Iran.

³Nutrition Research Center, Tabriz University of Medical Sciences, Tabriz, Iran.

⁴Department of ENT, School of Medicine, Tabriz University of Medical Sciences, Tabriz, Iran.

*Corresponding author; E-mail: mabbasnazhad@yahoo.com

Received: 7 January 2017 Accepted: 9 March 2017 First Published online: 17 January 2019

Med J Tabriz Uni Med Sciences Health Services. 2019 February-March; 40(6):14-20

Abstract

Background: Breast cancer, especially in women, is one of the most common cancers. Granulocyte colony stimulating factor (filgrastim), is used in the prophylaxis and treatment of neutropenia and infection in these patients. Pegylated form of this drug, pegfilgrastim, has entered the market in last decade. This study sought to examine the effects of filgrastim and pegfilgrastim in these patients.

Methods: In this semi experimental trial study, 100 patients with breast cancer in the third course of cyclophosphamide and epirubicine chemotherapy regimen were selected. Patients were divided into two groups with 50 patients equally with random allocation list. Before chemotherapy, complete blood count test was taken and drugs were injected subcutaneously 24 hours after chemotherapy. Complete blood count test was taken from all patients in the first, second and third weeks after chemotherapy and variation of white cells and neutrophils were noted. Bone pain severity after drug perception was scaled with pain assessment tool.

Results: By comparison of patients in two groups of filgrastim and pegfilgrastim there was no statistically significant difference in the white blood cells and neutrophil count in the time interval of first, second and third weeks after chemotherapy (p -value >0.05). Patients of two groups did not have significant difference in bone pain severity statistically.

Conclusion: Filgrastim and pegfilgrastim have the same effect upon increase of white blood cell and neutrophil count, treatment of neutropenia and bone pain after chemotherapy in breast cancer and have no priority to each other.

Keywords: Breast Cancer, Granulocyte Colony Stimulating Factor, Neutropenia, Chemotherapy.

How to cite this article: Esfahani A, Abbasnejad M, Nejati B, Ghoreishi Z, Kadkhodamohammadi M. [Comparison of effect of G-CSF with PEG G-CSF in the increase of neutrophil count and pain intensity after chemotherapy in patients with breast cancer]. Med J Tabriz Uni Med Sciences Health Services. 2019 February-March;40(6):14-20. Persian.

مقاله پژوهشی

مقایسه اثر PEG G-CSF با G-CSF در افزایش تعداد نوتروفیل‌ها و شدت درد پس از شیمی درمانی در بیماران مبتلا به سرطان پستان

علی اصفهانی^۱، مریم عباس نژاد^{۲*}، بابک نجاتی^۱، زهرا قریشی^۳، مصلح کدخدامحمدی^۴

^۱مرکز تحقیقات هماتولوژی و مدیکال انکولوژی، دانشگاه علوم پزشکی تبریز، تبریز، ایران.
^۲گروه بیماریهای داخلی، دانشکده پزشکی، دانشگاه علوم پزشکی تبریز، تبریز، ایران.

^۳مرکز تحقیقات تغذیه، دانشگاه علوم پزشکی تبریز، تبریز، ایران.

^۴گروه گوش حلق بینی، دانشکده پزشکی، دانشگاه علوم پزشکی تبریز، تبریز، ایران.

*نويسنده مسئول؛ ايميل: mabbasnazhad@yahoo.com

دریافت: ۱۳۹۵/۱۰/۱۸ پذیرش: ۱۳۹۵/۱۲/۱۹ انتشار برخط: ۱۳۹۷/۱۰/۲۷
مجله پزشکی دانشگاه علوم پزشکی و خدمات بهداشتی - درمانی تبریز. ۱۳۹۷ بهمن و اسفند؛ ۴۰(۶):۲۰-۱۴

چکیده

زمینه: سرطان پستان یکی از شایع‌ترین سرطان‌ها، به خصوص در زنان می‌باشد. فاکتور محرك کلونی گرانولوسیتها (فیلگراستیم)، در پیشگیری و درمان نوتروپینی و عفونت در این بیماران استفاده می‌شود. نوع پگیله شده این دارو، پگ فیلگراستیم، در دهه اخیر وارد بازار شده است. این مطالعه در نظر داشت تاثرات فیلگراستیم و پگ فیلگراستیم را در این بیماران بررسی نماید.

مواد و روش‌ها: در این مطالعه کارآزمایی نیمه‌تجربی، ۱۰۰ بیمار با سرطان پستان در نوبت سوم رژیم شیمی درمانی سیکلوفسفامید و اپی روییسین انتخاب گردیدند. بیماران با جدول اعداد تصادفی، به دو گروه مساوی ۵۰ نفره تقسیم شدند. قبل از شیمی درمانی، آزمایش شمارش کامل سلولهای خونی، اخذ گردید و ۲۴ ساعت پس از شیمی درمانی، داروها زیرجلدی تزریق گردید. آزمایش شمارش کامل سلولهای خونی از تمام بیماران، در هفته یک، دو و سه پس از شیمی درمانی، اخذ گردید و تغییرات سلولهای سفید و نوتروفیل‌ها ثبت گردید. شدت درد استخوانی پس از دریافت دارو نیز با استفاده از ابزار مقیاس شدت درد سنجیده شد.

یافته‌ها: در مقایسه بیماران در دو گروه فیلگراستیم و پگ فیلگراستیم، تفاوت معنی دار آماری در شمارش سلولهای سفید خون و نوتروفیلها در بازه‌های زمانی هفته اول، دوم و سوم پس از شیمی درمانی تفاوت معنی دار آماری وجود نداشت ($P > 0.05$). بیماران دو گروه در شدت درد استخوانی تفاوت معنی دار آماری نداشتند.

نتیجه‌گیری: فیلگراستیم و پگ فیلگراستیم اثر یکسانی روى افزایش تعداد سلولهای سفید خون و نوتروفیل‌ها، درمان نوتروپینی و درد استخوانی پس از شیمی درمانی در سرطان پستان، داشته و نسبت به هم ارجحیتی ندارند.

کلید واژه‌ها: سرطان پستان، فاکتور محرك کلونی گرانولوسیتها، نوتروپینی، شیمی درمانی.

نحوه استناد به این مقاله: اصفهانی ع، عباس نژاد م، نجاتی ب، قریشی ز، کدخدامحمدی م. مقایسه اثر PEG G-CSF با G-CSF در افزایش تعداد نوتروفیل‌ها و شدت درد پس از شیمی درمانی در بیماران مبتلا به سرطان پستان. مجله پزشکی دانشگاه علوم پزشکی و خدمات بهداشتی - درمانی تبریز. ۱۳۹۷؛ ۴۰(۶):۲۰-۱۴.

حق تأثیف برای مؤلفان محفوظ است.

این مقاله با دسترسی آزاد توسط دانشگاه علوم پزشکی و خدمات بهداشتی - درمانی تبریز تحت مجوز کریتو کامتر () منتشر شده که طبق مفاد آن هرگونه استفاده تنها در صورتی مجاز است که به اثر اصلی به نحو مقتضی استناد و ارجاع داده شده باشد.

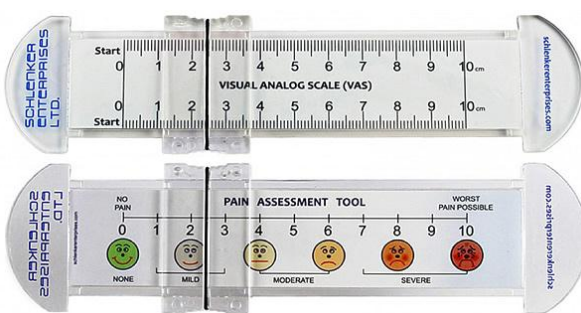
مقدمه

بوده است. در ابتدای ورود به مطالعه یک آزمایش شمارش سلولی از بیماران اخذ گردید. بیماران بعد از ۲۴ ساعت از اتمام شیمی درمانی دوره سوم، تحت درمان با داروی (GCSF) فیلگراستیم (۳۰۰) میکروگرم به تعداد ۲ الی ۷ عدد بر اساس شرایط بالینی و جواب آزمایش شمارش کامل سلولهای خونی قبلی و بیماریهای همراه و سن، وضعیت عملکردی و قضاوت بالینی پزشک متغیر بود) که روزانه یک عدد تزریق می شد یا (PEG GCSF) پگ فیلگراستیم (۶ میلی گرم) تک دوز، که هر دو دارو زیرجلدی می باشند قرار گرفتند. به یک گروه فیلگراستیم و به گروه دیگر پگ فیلگراستیم تجویز شد. داروی فیلگراستیم ساخت شرکت پویش دارو و پگ فیلگراستیم ساخت شرکت سیناژن ایران به نام پکاژن بودند. به دلیل اینکه هم پزشک و هم خود بیمار از نوع داروی تجویز شده اطلاع داشتند، این مطالعه به صورت نیمه تجربی انجام گرفته و کورسازی نشده است. سپس بیماران از نظر میزان تغییرات در شمارش نوتروفیلها و سلولهای سفید خون و میزان استخوانی که ناشی از تزریق داروهای محرک سلولهای خونساز و گسترش مغز استخوان و کشش پرده استخوانی می باشد، بعد از اتمام شیمی درمانی، مقایسه شدند. آزمایش شمارش کامل سلولهای خونی، که برای بررسی اثرات شیمی درمانی و داروهای زیرجلدی در مغز استخوان است در هفته اول، دوم و سوم بعد از شیمی درمانی اخذ گردید. همه آزمایشات در یک آزمایشگاه واحد انجام گرفت. افزایش شمار سلولهای سفید و نوتروفیلها خون بعد از شیمی درمانی در بیماران مبتلا به سرطان پستان در این مطالعه به عنوان متغیر اصلی محسوب شد. ارزیابی میزان درد استخوانی بیماران نیز با استفاده از ابزار مقیاس شدت درد که شکل آن در ادامه آورده شده است، سنجیده شد که از نمره صفر تا ۱۰ تقسیم‌بندی شده است. نمره ۱ تا ۳ خفیف، نمره ۴ تا ۶ متوسط و نمره ۷ تا ۱۰ شدید تقسیم‌بندی می شود. برگه رضایت نامه آگاهانه، برای هر بیمار در ابتدای ورود به مطالعه تکمیل گردید. این مطالعه مورخه ۹۴/۱-۹/۵ تحت نامه شماره ۹۴/۲۲ تا ۹۴/۳۲ در دانشکده پزشکی دانشگاه علوم پزشکی تبریز به تصویب رسیده و مورخه ۹۴/۹/۳۰ طی نامه شماره ۱۳۹۴.۸۴۵ TBZMED.REC IRCT201604248397N4 ثبت گردیده است. معیارهای ورود به مطالعه عبارت بودند از: فقط کانسر پستان داشته باشد، سن بالای ۱۵ سال و زیر ۷۵ سال، بدون سابقه قبلی ابتلا به سرطان، دارا بودن وضعیت بالینی مناسب برای تحمل رژیم شیمی درمانی، عدم دریافت شیمی درمانی قبلی، عدم وجود مشکل کلیوی یا کبدی. معیارهای خروج از مطالعه شامل موارد زیر بودند دارا بودن سابیر بیماریهای خونی یا سابقه آنها، سابقه مصرف داروهای شیمی-

سرطان پستان حاصل تکثیر بدخیم سلولهای اپیتلیال پوشاننده مجاری و لبیل های پستان است. بدخیمی های اپیتلیال شایع ترین نوع سرطان پستان در خانمها هستند و یک سوم موارد سرطان در خانمها می باشند (۱). بیشتر موارد سرطان پستان، از نوع آدنوکارسینوم داکتال افیلتره هستند و مقدار کمی نیز از نوع آدنوکارسینوم لویولار هستند (۲). (Granolucyte Colony G-CSF) یک گلیکوپروتئین است که باعث تحریک مغز استخوان می شود که باعث تولید گرانولوسمیت ها شده و آنها را وارد جریان خون می کند (۳). یک سایتوکائین یا هورمون است که به وسیله بافت‌های مختلف و توسط اندوتلیوم، ماکرووائزها و تعدادی سلولهای ایمنی دیگر تولید می شود. آنالوگ‌های دارویی آن شامل فیلگراستیم و لنوفگراستیم است و باعث افزایش بقا، تکثیر، تمایز و فعالیت پیش سازهای نوتروفیلها شده و آنها را بالغ می کند (۴). داروهای شیمی درمانی می توانند باعث سرکوب مغز استخوان شده و سلولهای سفید خون کم شده و بیماران مستعد ابتلا به انواع عفونتها می شوند (۵). این دارو به صورت زیر جلدی یا داخلی وریدی تزریق می شود. نوع پگیله شده آن به نام پگ فیلگراستیم نیمه عمر طولانی داشته و در نتیجه میزان دفعات تزریق روزانه را کاهش می دهد (۶). با توجه به اینکه نوع پگیله شده این دارو، نسبت به نوع استاندارد آن داروی جدیدی بوده و مطالعات کافی در مورد میزان اثربخشی آن در سرطان پستان، هنوز صورت نگرفته است و فقط یک نوبت پس از اتمام دوره شیمی درمانی تزریق می شود، استفاده از آن برای بیماران به مراتب راحت تر از مصرف روزانه فیلگراستیم می باشد. لذا ما در این مطالعه، این دو دارو را از نظر میزان اثربخشی در کاهش نوتروفیپنی بعد از شیمی درمانی و عوارض آنها مقایسه کردیم.

روش کار

در این مطالعه مداخله ای نیمه تجربی (با توجه به اینکه این مطالعه کورسازی نشده است)، تعداد ۱۰۰ بیمار مبتلا به سرطان پستان (زن و مرد) که تحت شیمی درمانی نوبت سوم با رژیم اپی رویسین و سیکلوفسیمامید بودند و به درمانگاههای فوق تخصصی خون و سرطان دانشگاه علوم پزشکی تبریز مراجعه کرده بودند و شرایط ورود به مطالعه را داشتند، انتخاب و با استفاده از جدول اعداد تصادفی به صورت یک در میان، به دو گروه مساوی ۵۰ نفری تقسیم شدند. حجم نمونه با توجه به میانگین و انحراف معیار شاخصهای مورد آزمایش در مطالعات پیشین، با سطح اطمینان ۹۰٪ و آلفای ۰/۰۵ و اندازه اثر ۰/۶ با استفاده از نرم افزار جی-پاور، حجم نمونه در هر گروه ۴۹ نفر برآورد گردید که ما تعداد ۵۰ نفر در هر گروه را انتخاب کردیم. مدت زمان انجام مطالعه ۱۲ ماه، که از اول آبان ماه سال ۱۳۹۴ لغایت اول آبان ماه سال ۱۳۹۵



و پگ فیلگراستیم در دو گروه بیماران تفاوت معنی دار آماری یافت نشد. بررسی شدت درد استخوانی به صورت رتبه ای بوده و پس از طبقه بندی بیماران در هر یک از گروه های با شدت درد خفیف، متوسط و شدید از آنها میانگین گرفته شده و سپس دو گروه با هم مقایسه گردیده اند که در جدول شماره ۳ خلاصه شده اند. برای آنالیز شدت درد استخوانی در دو گروه، به دلیل نرمال نبودن توزیع داده ها، از آزمون U مان ویت نی استفاده گردیده است که با p-value=۰/۳۱ تفاوت معنی دار آماری یافت نشد.

جدول شماره ۱: مقایسه تعداد سلول های سفید خون قبل از دریافت شیمی درمانی، هفته اول، دوم و سوم پس از شیمی درمانی و تزریق فیلگراستیم و پگ فیلگراستیم در دو گروه بیماران

P	تعداد سلول های سفید خون	پگ فیلگراستیم	فیلگراستیم
۰/۲۹۱	۷۲۱۴/۹۱۱±۱۰/۷۶/۱۶۶	۷۷۵۵±۶۱۹/۷/۰/۶	۷۷۵۵±۶۱۹/۷/۰/۶
۰/۷۲۲	۵۰/۱۵/۱۶۲±۱۰/۹۹/۱۸۸	۵۳۸۶±۶۱۰/۴۳۶	۵۰/۱۵/۱۶۲±۱۰/۹۹/۱۸۸
۰/۵۲۸	۹۲۰/۹/۲۴۱±۱۹/۲۹/۱۳۹	۹۱۹۱/۴±۱۰/۸۶/۷/۱۳	۹۲۰/۹/۲۴۱±۱۹/۲۹/۱۳۹
۰/۴۰۸	۶۷۰/۹/۸۸۶±۹/۱۶/۲۴۴	۶۹۹۲±۵۰/۹/۱۴۲	۶۷۰/۹/۸۸۶±۹/۱۶/۲۴۴

داده ها به صورت انحراف معیار \pm میانگین نشان داده شده اند.

جدول شماره ۲: مقایسه تعداد نوتروفیل های خون قبل از دریافت شیمی درمانی، هفته اول، دوم و سوم پس از شیمی درمانی و تزریق فیلگراستیم و پگ فیلگراستیم در دو گروه بیماران

P	تعداد نوتروفیل های خون	پگ فیلگراستیم	فیلگراستیم
۰/۳۲۲	۴۸۰/۶/۷۲۸±۸/۰/۲۲۷	۴۷۶۶/۷/۶±۴۵۹/۲/۳۷۷	۴۷۶۶/۷/۶±۴۵۹/۲/۳۷۷
۰/۵۳۴	۳۰/۹/۹۳۲±۶/۱/۰/۵۸	۲۹۹۹/۶/۱۸±۴۲۲/۷/۶۷	۳۰/۹/۹۳۲±۶/۱/۰/۵۸
۰/۵۷۸	۶۸۶/۶/۳۸۲±۱۸/۹/۴۶۸	۶۸۱۷/۵/۸±۱۰/۶۳۳/۳۲۲	۶۸۶/۶/۳۸۲±۱۸/۹/۴۶۸
۰/۱۴	۵۱۱/۹/۰/۱۰/۱۰/۸/۴۹	۶۱۶/۶/۶±۱۰/۶۲/۰/۸	۵۱۱/۹/۰/۱۰/۱۰/۸/۴۹

داده ها به صورت انحراف معیار \pm میانگین نشان داده شده اند.

جدول شماره ۳: شدت درد استخوانی ناشی از تجویز فیلگراستیم و پگ فیلگراستیم

میانگین شدت درد (درصد)

دارو	پگ فیلگراستیم	فیلگراستیم
۰/۳۱	٪ ۴۷/۷۱	٪ ۵۳/۲۹

بحث

در این مطالعه دو داروی G-CSF و نوع پگیله آن در دو گروه بیماران مقایسه گردید. تعداد بیماران ۱۰۰ مورد بود و با جدول اعداد تصادفی به دو گروه ۵۰ نفری تقسیم شده بودند. به دلیل اثر اختلالات کبدی و کلیوی در کلیرانس داروهای شیمی درمانی (۷)، بیماران مشکل کبدی یا کلیوی که اختلالی در پاکسازی این داروها ایجاد کند و در نتایج مطالعه اثرگذار باشد نداشتند. برای جلوگیری

درمانی، عدم تمایل بیمار به شروع یا ادامه درمان، عدم امکان ادامه درمان به دلیل وضعیت بالینی بیمار. در این مطالعه پیامد اولیه شامل تغییرات شمارش سلولهای سفید خون و نوتروفیل ها در اثر تجویز داروی زیرجلدی بود. پیامدهای ثانویه شامل میزان بسترهای به دلیل تب های همراه با نوتروفیل ها و همچنین شدت درد استخوانی بیماران به دلیل تحریک مغز استخوان از دست گرفته است. برای مقایسه تعداد سلول های سفید خون و نوتروفیل ها، در بازه های زمانی متفاوت از آزمون آماری مدل خطی تعمیم یافته استفاده شد. با توجه به اینکه از آمار توصیفی از قبیل اطلاعات به دست آمده به صورت میانگین \pm انحراف معیار برای متغیرهای کمی و فراوانی برای متغیرهای کیفی بیان شده است. برنامه آماری به کار رفته SPSS نسخه ۱۸ است. سطح معنی دار آماری در این مطالعه برای میزان سلول های سفید خون، نوتروفیل ها و شدت درد استخوانی کمتر از ۰/۰۵ در نظر گرفته شده است.

یافته ها

میانگین سنی جامعه مورد مطالعه ۴۷/۰۶ \pm ۹/۳۸ سال بود. میانگین سنی بیماران گروه فیلگراستیم ۴۸/۲۹ \pm ۸/۶۱ سنی بیماران گروه پگ فیلگراستیم ۴۵/۸۶ \pm ۱۰/۰۲ بود. بر اساس آزمون آماری تی، همسان سازی سنی انجام شده است (p=۰/۲۰). بر اساس آزمون آماری کولموگراف اسمیرنوف، توزیع سنی دو گروه نرمال بودند. از ۱۰۰ بیمار مورد بررسی ٪ ۹۷ زن و ٪ ۳ مرد بودند. از ۵۰ مورد بیمار دریافت کننده فیلگراستیم، ٪ ۲ مرد و ٪ ۹۸ زن و در گروه دریافت کننده پگ فیلگراستیم، ٪ ۴ مرد و ٪ ۹۶ زن بودند. تعداد سلول های سفید خون بیماران در دو گروه در آزمایش قبل از شروع شیمی درمانی، هفتاه اول و دوم و سوم پس از شیمی درمانی و تزریق داروهای زیر جلدی با استفاده از آزمون آماری مدل خطی تعمیم یافته به صورت میانگین و انحراف معیار در جدول شماره ۱ خلاصه شده اند. طبق آنالیزهای آماری در جدول ۱، در بررسی تعداد سلول های سفید خون قبل از درمان، هفتاه اول، دوم و سوم پس از دریافت شیمی درمانی و تزریق فیلگراستیم و پگ فیلگراستیم در دو گروه بیماران تفاوت معنی دار آماری یافت نشد. تعداد نوتروفیل های خون بیماران در دو گروه در آزمایش قبل از شروع شیمی درمانی، هفتاه اول، دوم و سوم پس از شیمی درمانی و تزریق داروهای زیر جلدی با استفاده از آزمون آماری مدل خطی تعمیم یافته به صورت میانگین و انحراف معیار در جدول شماره ۲ خلاصه شده اند. طبق آنالیزهای آماری در جدول ۲، در بررسی تعداد نوتروفیل های خون قبل از درمان، هفتاه اول، دوم و سوم پس از دریافت شیمی درمانی و تزریق فیلگراستیم

داروی G-CSF تزریقی به بیماران از ۲ تا ۷ عدد متغیر بود (۱۵). این تعداد متفاوت بر اساس وضعیت بالینی بیمار، کوموربیدیتی های همراه، آزمایشات شمارش سلولی دوره های قبل و شدت نوتروپنی و میزان عوارض ناشی از آن مثل عفونت یا تب منجر به بسترهای مصرف آنتی بیوتیک و نهایتاً قضاوت بالینی خود پزشک، با در نظر داشتن موارد فوق انتخاب شده بودند. در مطالعه صورت گرفته، بیماری که دو عدد آمپول دریافت کرده بود، فاز نوتروپنی شبیه دیگر بیماران داشته و در آزمایش شمارش سلولی هفته دوم جهش افزایش کمتری، در تعداد سلولهای سفید خون داشتند و در هفتنه سوم نیز آزمایش نرمال بوده و به حد پایه رسیده بود. وقتی این بیماران را، با بیمارانی که ۷ عدد آمپول فیلگراستیم دریافت کرده بودند، مقایسه کردیم تفاوت معنی داری یافت نشد. به نظر می رسد که بهتر است هم برای مقرون به صرفه بودن و هم نداشتن تفاوت معنی دار، از تجویز تعداد اضافی G-CSF به بیماران، اجتناب نمود و در تعیین تعداد مورد نظر و لازم به هر بیمار، دقت نمود. در دیگر مطالعات کارآزمایی بالینی نیز، اینگونه بوده و موافق یافته های بیماران ما بودند و تعداد سلولها و نوترووفیل ها در تعداد بالای G-CSF فقط کمی بیشتر از تعداد کم آنها بود. ولی در مطالعه انجام شده لیو و همکاران سال ۲۰۰۹، به طور متوسط ۱۴-۹ تزریق روزانه فیلگراستیم در هر دوره لازم بوده، ولی پگ فیلگراستیم یک نوبت تزریق می گردد و پگ فیلگراستیم در کاهش تب و نوتروپنی به طور قابل توجهی موثرتر از فیلگراستیم بود (۱۶). در یک مطالعه که توسط لیو و همکارانش در سال ۲۰۰۹ در بین زنان ۴۵ سال با مرحله ۲ کانسر پستان که ۴ نوبت شبیه درمانی دریافت می کردند انجام شد، خطر نوتروپنی ۰/۵٪ در گروه دریافت کننده پگ فیلگراستیم کمتر از فیلگراستیم ۱۱ روزه و ۰/۱٪ کمتر از گروه فیلگراستیم ۶ روزه بوده و هزینه آن نیز کمتر بود (۱۶) که این یافته بر خلاف یافته های مطالعه حاضر بود. در سایر مطالعات صورت گرفته در مقایسه اثرات دو دارو میزان اثربخشی آنها یکسان بوده است (۱۷ و ۱۸). در مطالعه ما، میزان کاهش تعداد نوترووفیل ها و سلولهای سفید خون، سپس افزایش تعداد نوترووفیل ها نیز در دو گروه G-CSF و نوع پگیله آن معنی دار نبود. در طول مدت یک هفته پس از تزریق داروها بیماران از نظر شدت دردهای استخوانی پایش شدند. شدت درد بیماران به چهار دسته تقسیم شد: بدون درد، درد خفیف، درد متوسط و شدید. در طول مطالعه شدت دردهای ناشی از پگ فیلگراستیم مختصراً بیشتر از گروه G-CSF بود ولی تفاوت معنی دار آماری پیدا نشد. یافته های مطالعات صورت گرفته در زمینه میزان نوتروپنی و شدت دردهای استخوانی ناهمگون و ضد و نقیض می باشند. در یک مطالعه که توسط Ip همکاران در سال ۲۰۰۸ روی شدت درد استخوانی انجام شده بود، در طول مطالعه میزان درد در گروه پگ فیلگراستیم کمتر بوده و از نظر آماری نهایتاً نتیجه یکسان بوده است (۱۹). در حالیکه در

از خطاهای آزمایشگاهی، آزمایشات در یک آزمایشگاه واحد انجام گرفت. همانند مطالعات انجام شده توسط Volpi و همکاران در سال ۲۰۰۱، تعداد سلولهای سفید خون و نوترووفیل ها قبل از تزریق این داروها و سپس هفته های اول، دوم و سوم پس از اتمام شبیه درمانی مقایسه گردید (۸). همچنین درد ناشی از تزریق این داروها که باعث گسترش سلولهای مغز استخوان و کشش پریوست می شوند (۱۰ و ۱۱) با استفاده از ابزار سنجش شدت درد برسی و سپس مقایسه گردید. بر اساس یافته های این مطالعه، ابتدا بیماران قبل از شروع مطالعه نوتروپنی نداشتند و تعداد سلول های سفید خون آنان بالای ۴۰۰۰ عدد در میکرولیتر و نوترووفیل بالای ۱۵۰۰ عدد در میکرولیتر داشتند. در هفته اول پس از شبیه درمانی دچار کاهش تعداد سلولهای سفید و نوترووفیل ها شدند. به طوری که تعداد سلولهای سفید خون زیر ۴۰۰۰ و تعداد نوترووفیل ها زیر ۱۵۰۰ بود. همانند مطالعات انجام شده در این زمینه (۱۲) در هفته دوم افزایش سلولهای سفید و نوترووفیل های خون مشاهده گردید و در هفته سوم مجدداً تعداد سلولها کاهش پیدا کرده و به حد نرمال و تعداد قبل از شروع شبیه درمانی رسید. در مطالعه فعلی مقدار افزایش سلولها در هفته دوم پس از شبیه درمانی در گروه دریافت کننده داروی پگیله بیشتر بود، به طوری که بیماران دچار یک جهش در افزایش تعداد سلولهای سفیدخون و نوترووفیل ها شدند، ولی در مطالعات مشابه صورت گرفته، این جهش افزایشی در گروه فیلگراستیم بیشتر بوده است و گروهی که پگ فیلگراستیم دریافت کرده بودند، به علت نیمه عمر طولانی آن و پاکسازی کندر آن، کمتر این جهش را تجربه کرده بودند (۱۲). در مطالعه ای که توسط Sput و همکاران در سال ۲۰۱۲ صورت گرفته این افزایش جهشی نوترووفیل ها، بر خلاف مطالعه حاضر، در گروه پگ فیلگراستیم کمتر بوده است (۱۳). علت این اختلاف یافته ها، شاید مربوط به شرکت تهیه کننده این داروها باشد. در مطالعه فعلی فقط داروی پگازن ساخت شرکت سیناژن ایران، تجویز شده بود، و بهتر است که محصولات شرکت های مختلف با یکدیگر مقایسه شود. اما در مورد نتیجه نهایی و میزان نوترووفیل ها، کوتاه کردن فاز نوتروپنی و متعاقب آن، کاهش میزان عفونت و بسترهای بیمارستانی، بر اساس آنالیزهای آماری صورت گرفته، هیچ تفاوت معنی دار نداشته و دو دارو یکسان بودند. در مطالعه ای که در مورد فراورده های پگیله انجام شده بود، اعلام شده بود که زمان پاکسازی نامشخص و غیر قابل پیشگویی، برای فراورده های پگیله شده، ممکن است باعث تجمع ترکیبات با وزن مولکولی بالا در کبد شده و باعث تشکیل اجسام انکلوزیونی با مسمومیت ناشناخته شوند و این یکی از محدودیت های استفاده از اینواع پگیله شده می باشد (۱۴). ولی در مطالعات دیگر این یافته ها تایید نگردید. در اکثر دستورالعمل ها بین فیلگراستیم و پگ فیلگراستیم تفاوتی ذکر نشده است (۱۵). بر اساس مطالعات قبلی انجام شده در این زمینه تعداد

تجویز هر کدام از آنها پیشنهاد می‌شود. این دو دارو به یک میزان شدت درد استخوانی داشته و از این نظر نیز قابل قیاس بوده و تجویز هر کدام از آنها می‌تواند صورت بگیرد و ارجحیتی نسبت به هم ندارند.

قدرتمندی

این تحقیق در دانشگاه علوم پزشکی تبریز در قالب پایان نامه با شماره ۹۴/۱-۹۵ انجام شده است. از بیمارستان شهید قاضی طباطبائی و کلینیکهای فوق تخصصی دانشگاه علوم پزشکی تبریز و اساتید گرانقدر گروه خون و سرطان شناسی به دلیل معرفی بیماران و پیگیری ایشان صمیمانه قدردانی می‌گردد.

ملاحظات اخلاقی

پروتکل این مطالعه در کمیته پزشکی معاونت تحقیقات و فناوری دانشگاه علوم پزشکی تبریز استان آذربایجان شرقی به شماره مرجع ۵/۱۰۷۴۰ به تایید رسیده است.

منافع مقابل

مؤلف اظهار می‌دارد که منافع مقابلی از تالیف یا انتشار این مقاله ندارد.

مشارکت مولفان

۱. ع. ا، مع و همکاران طراحی، اجرا و تحلیل نتایج مطالعه را بر عهده داشتند. ع. ا. همچنین مقاله را تالیف نموده و نسخه نهایی آن را مطالعه و تایید نموده است.

References

1. Marc E (2015). Lippman. Breast Cancer. In: *Harrison: Harrison's principles of internal medicine*, vol.1, 18e. McGraw-Hill Company, United States of America, 523.
2. Robert F (2010). Todd. Solid Tumors. In: Thomas E: *Cecil essentials of medicine*. China, 609.
3. Aarts M J, Peters F P, Mandigers C M, Dercksen M W, Stouthard J M, Nortier H J, et al. Primary granulocyte colony-stimulating factor prophylaxis during the first two cycles only or throughout all chemotherapy cycles in patients with breast cancer at risk for febrile neutropenia. *J Clin Oncol* 2013; **31**(34): 4290-4296. doi: 10.1200/JCO.2012.44.6229.
4. Renner P, Milazzo S, Liu J P, Zwahlen M, Birkmann J, Horneber M. Primary prophylactic colony-stimulating factors for the prevention of chemotherapy-induced febrile neutropenia in breast cancer patients. *Cochrane Database Syst Rev* 2012; **10**. doi: 10.1002/14651858.CD007913.pub2.

مطالعه حاضر در طول بررسی بیماران این نتیجه عکس مطالعه مذکور بود. در مطالعه فعلی، هیچ کدام از بیماران به دلیل تب و نوتروپنی بستری بیمارستانی نداشتند. ۳ نفر در گروه دریافت کننده G-CSF و ۲ نفر در گروه پگیله دارو چهار تب و عالیم عفونت ریه شدند. دلیل این یافته می‌تواند مربوط به سن نسبتاً کم بیماران و عدم وجود بیماری‌های همراه و وضعیت عملکردی مناسب بیماران باشد. مطالعه فعلی از جهت اینکه میزان نوتروپنی و شدت درد استخوانی را در دو گروه پگ فیلگراستیم و فیلگراستیم، در بیماران مبتلا به سرطان پستان می‌سنجد و به صورت پیگیری منظم و رو در رو و تماس‌های تلفنی می‌باشد و به یافته‌های قابل توجه دست یافته حائز اهمیت می‌باشد. با توجه به اینکه نوع پگیله GCSF به نام داروی پگازن در ایران، داروی نسبتاً جدیدی بوده و به صورت یک نوبت، تزریق می‌شود و هزینه کمتری داشته مطالعه و مقایسه آن با فیلگراستیم حائز اهمیت است. در این مطالعه، برای قابل قیاس بودن و جلوگیری از عوامل مخلوش کننده، کاملاً بیماران از نظر نوع سرطان و بیماری‌های همراه و وضعیت عملکردی، کارکرد کلیه و کبد و اینکه همه بیماران در یک نوبت شیمی درمانی خاص با رژیم یکسان بودند، وارد مطالعه شدند. بدین صورت، احتمال تاثیر این عوامل مخلوش کننده بر نتایج نهایی از بین رفته است و از این جهت نیز، مطالعه فعلی حائز اهمیت بوده و منحصر به فرد در بین مطالعات انجام شده تاکنون می‌باشد.

نتیجه‌گیری

داروی فیلگراستیم و پگ فیلگراستیم از نظر افزایش تعداد سلولهای سفید خون و نوتروفیل‌ها و درمان فاز کامنش نوتروفیلها و خطر عفونت اثر یکسانی داشته و بر اساس صلاح‌حدید پزشک

5. Jurczak W, Kalinka-Warzocha E, Chmielowska E, Duchnowska R, Wojciechowska-Lampka E, Wieruszewska K. Multicentre, Prospective Observational Study of Pegfilgrastim Primary Prophylaxis in Patients at High Risk of Febrile Neutropenia in Poland: PROFIL Study. *Contemp Oncol (Pozn)* 2015; **19**(3): 214-219. doi: 10.5114/wo.2015.52657.
6. Fiegl M, Steger G G, Studnicka M, Eisterer W, Jaeger C, Willenbacher W. Pegfilgrastim prophylaxis in patients at different levels of risk for chemotherapy-associated febrile neutropenia: an observational study. *Curr Med Res Opin* 2013; **29**(5): 505-515. doi: 10.1186/1471-2407-13-11
7. Lyman G H, Dale D C, Culakova E, Poniewierski M S, Wolff D A, Kuderer N M, et al. The impact of the granulocyte colony-stimulating factor on chemotherapy dose intensity and cancer survival: a systematic review and meta-analysis of randomized controlled trials. *Ann*

- Oncol 2013; **24**(10): 2475-2484. doi: 10.1200/JCO.2009.24.7643.
8. Volpi I, Perruccio K, Tosti A, Capanni M, Ruggeri L, Posati S, et al. Post grafting administration of granulocyte colony-stimulating factor impairs functional immune recovery in recipients of human leukocyte antigen haplotype mismatched hematopoietic transplants. *Blood* 2001; **97**: 2514-2521. doi: 10.1182/blood.V97.8.2514.
9. Holmes F A, Jones S, O'Shaughnessy J, Vukelja S, George T, Savin M, et al. Comparable efficacy and safety profiles of once-per-cycle pegfilgrastim and daily injection filgrastim in chemotherapy induced neutropenia: a multicenter dose-finding study in women with breast cancer. *Ann Oncol* 2002; **13**: 903-909. doi: 10.1093/annonc/mdf130.
10. Kohmei K, Yasuhiko M, Tohru M, Ryutaro S, Noriko U, Akio U, et al. A randomized, double-blind trial of pegfilgrastim versus filgrastim for the management of neutropenia during CHASE(R) chemotherapy for malignant lymphoma: *British Journal of Hematology* 2016; **174**: 563-570. doi: 10.1111/bjh.14088.
11. Laetitia G, Mark L, Ahmad A, André B, Greet B, Veronique C, et al. The use of chemotherapy regimens carrying a moderate or high risk of febrile neutropenia and the corresponding management of febrile neutropenia: an expert survey in breast cancer and non-Hodgkin's lymphoma. *BMC Cancer* 2010; **10**(642): 1471. doi: 10.1186/1471-2407-10-642.
12. Pinto L, Liu Z, Doan Q, Bernal M, Dubois R, Lyman G. Comparison of pegfilgrastim with filgrastim on febrile neutropenia, grade IV neutropenia and bone pain: a meta-analysis of randomized controlled trials. *Curr Med Res Opin* 2007; **23**: 2283-2295. doi: 10.1185/030079907X219599
13. Spunt S L, Irving H, Frost J, Sender L, Guo M, Yang B-B, et al. Phase II, randomized, open-label study of peg filgrastim-supported VDC/IE chemotherapy in pediatric sarcoma patients. *Journal of Clinical Oncology* 2012; **28**(8): 1329-1336. doi: 10.1200/JCO.2009.24.8872.
14. Lodato F, Azzaroli F, Tamè M R, Di Girolamo M, Buonfiglioli F, Mazzella N, et al. G-CSF in Peg-IFN induced neutropenia in liver transplanted patients with HCV recurrence. *World journal of gastroenterology: WJG* 2009; **15**(43): 5449. doi: 10.3748/wjg.15.5449.
15. Aapro M, Crawford J, Kamioner D. Prophylaxis of chemotherapy-induced febrile neutropenia with granulocyte colony-stimulating factors: where are we now? *Support Care Cancer* 2010; **18**(5): 529-541. doi: 10.1007/s00520-010-0816-y.
16. Liu Z, Doan Q V, Malin J, Leonar R. The economic value of primary prophylaxis using pegfilgrastim compared with filgrastim in patients with breast cancer in the UK. *Applied health economics and health policy* 2009; **7**(3): 193-205. doi: 10.2165/11314740.
17. Miyazaki Y, Kubo K, Murayama T, Usui N, Urabe A, Tamura K, et al. A multicenter, double-blind, randomized Phase III study comparing KRN125 with filgrastim in lymphoma. *The Japanese Journal of Clinical Hematology* 2013; **7**: 54-64. doi: 45.3331/21.484974.
18. Weycker DMJ, Barron R, Edelsberg J, Kartashov A, Oster G. Comparative effectiveness of filgrastim, pegfilgrastim, and sargramostim as prophylaxis against hospitalization for neutropenic complications in patients with cancer receiving chemotherapy. *Am J Clin Oncol* 2011. doi: 10.1097/COC.0b013e31820dc075.
19. Ip E J, Lee-Ma A, Troxell L S, Chan J. Low-dose filgrastim in patients with breast cancer treated with docetaxel, doxorubicin, and cyclophosphamide. *Am J Health Syst Pharm* 2008; **65**: 1552-1555. doi: 10.2146/ajhp070489

Original Article

Detection of intron 22 inversion type I and II of factor VIII gene in female carriers of hemophilia a using Inverse shifting PCR (IS-PCR) method

Howra Bahrulolum¹  , Mehrdad Hashemi^{1*}  , Alimuhammad Malekasgar²

¹Department of Genetics, School of Advanced Sciences and Technology, Tehran Medical Sciences, Islamic Azad University, Tehran, Iran.

²Department of Biochemistry and Genetics, School of Medicine, Qom University of Medical Sciences, Qom, Iran.

*Corresponding author; E-mail: drmehashemi@gmail.com

Received: 21 January 2017 Accepted: 12 February 2017 First Published online: 17 January 2019

Med J Tabriz Uni Med Sciences Health Services. 2019 February-March; 40(6):21-27

Abstract

Background: Hemophilia type A is the most common X-linked recessive bleeding disorder, which 45-50% of the cases are caused by intron 22 inversion of factor 8 gene. Carrier detection for prenatal diagnosis in affected families can be effective in order to reduce the spread of disease. Since the linkage analysis for detecting carriers is only possible in families with a family history of hemophilia A, therefore IS-PCR method was chosen as a convenient and reliable method for carrier detection of intron 22 inversion mutation even in sporadic cases of hemophilia A.

Methods: This study was performed on families of hemophilia A patients with intron 22 inversion. After extracting DNA from peripheral blood leukocytes, IS-PCR technique was used to identify intron 22 inversion mutation types 1 and 2.

Results: Among the 9 cases that were analyzed for carrier status by IS-PCR, the results showed that 22/2% were without abnormal allele and 77/8% were carriers of intron 22 inversion mutation.

Conclusion: Using Inverse Shifting PCR is a precise, rapid and reliable method for assessing rearrangements related to intron 22 inversion mutation type 1 and 2 for detecting hemophilia A carriers.

Keywords: Heterozygote Detection, Hemophilia A, Chromosome Inversion, PCR.

How to cite this article: Bahrulolum H, Hashemi M, Malek asgar A M. [Detection of intron 22 inversion type I and II of factor VIII gene in female carriers of hemophilia a using Inverse shifting PCR (IS-PCR) method]. Med J Tabriz Uni Med Sciences Health Services. 2019 February-March;40(6):21-27. Persian.

مقاله پژوهشی

شناسایی جهش وارونگی ایترنون ۲۲ نوع ۱ و نوع ۲ زن فاکتور ۸ در زنان ناقل هموفیلی A به روش IS-Inverse Shifting-PCR PCR)

حورا بحرالعلوم^۱، مهرداد هاشمی^{۲*}، علی محمد ملک عسگر^۳

گروه ژنتیک، دانشکده علوم و فن آوری نوین، دانشگاه آزاد اسلامی، واحد علوم پزشکی تهران، تهران، ایران.

گروه بیوشیمی و ژنتیک، دانشکده علوم پزشکی، دانشگاه علوم پزشکی قم، قم، ایران.

*تویسند مسئول؛ ایمیل: drmehashemi@gmail.com

دریافت: ۱۳۹۵/۱۱/۲۴ پذیرش: ۱۳۹۵/۱۱/۲۴ انتشار برخط: ۱۳۹۷/۱۰/۲۷
مجله پژوهشی دانشگاه علوم پزشکی و خدمات بهداشتی - درمانی تبریز. ۱۳۹۷ بهمن و اسفند؛ ۴۰(۶):۲۱-۲۷

چکیده

زمینه: بیماری هموفیلی A شایع‌ترین بیماری خوبنیریزی دهنده‌ی وابسته به X مغلوب است که ۴۵-۵۰٪ از موارد به علت وارونگی در ایترنون ۲۲ زن فاکتور ۸ ایجاد می‌شود. تعیین ناقلين به منظور تشخیص پیش از تولد در خانواده‌های مبتلا می‌تواند در کاهش شیوع این بیماری مؤثر باشد. از آن جایی که آنالیز پیوستگی برای تشخیص حاملین فقط در خانواده‌هایی با سابقه‌ی خانوادگی هموفیلی A کاربرد دارد بنابراین روش IS-PCR به عنوان روشی مناسب و مطمئن برای شناسایی ناقلين دارای جهش وارونگی ایترنون ۲۲ حتی در موارد تک گیر هموفیلی انتخاب شد.

روش کار: این مطالعه بر روی خانواده‌های بیماران مبتلا به هموفیلی A دارای وارونگی ایترنون ۲۲ انجام گرفت. پس از استخراج DNA از لکوسیت‌های خون محیطی، از تکنیک IS-PCR به منظور شناسایی جهش وارونگی ایترنون ۲۲ نوع ۱ و نوع ۲ استفاده شد.

یافته‌ها: از ۹ نفر که برای وضعیت ناقل بودن به روش IS-PCR مورد آنالیز قرار گرفتند، ۲۲٪ فاقد آلل جهش یافته و ۷۷٪ ناقل جهش وارونگی ایترنون ۲۲ بودند.

نتیجه‌گیری: طبق نتایج بدست آمده از این مطالعه تکنیک IS-PCR روشی دقیق، سریع و قابل اعتماد جهت شناسایی جهش وارونگی ایترنون ۲۲ نوع ۱ و نوع ۲ برای تشخیص ناقلين هموفیلی A می‌باشد.

کلید واژه‌ها: تشخیص هتروزیگوت، هموفیلی A، وارونگی کروموزوم، PCR.

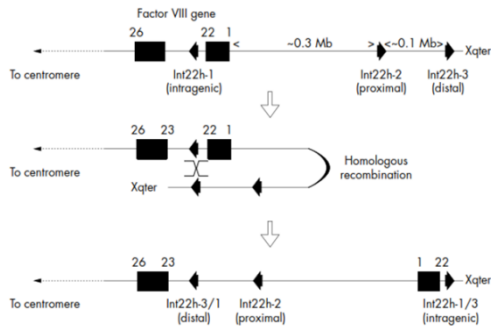
نحوه استناد به این مقاله: بحرالعلوم ح، هاشمی م، ملک عسگر ع. شناسایی جهش وارونگی ایترنون ۲۲ نوع ۱ و نوع ۲ زن فاکتور ۸ در زنان ناقل هموفیلی A به روش Inverse Shifting-PCR (IS-PCR) ۲۱-۲۷:۱۳۹۷؛ ۴۰(۶).

حق تأثیف برای مؤلفان محفوظ است.

این مقاله با دسترسی آزاد توسط دانشگاه علوم پزشکی و خدمات بهداشتی - درمانی تبریز تحت مجوز کریتو کامنز (CC BY 4.0) منتشر شده که طبق مفاد آن هرگونه استفاده تنها در صورتی مجاز است که به اثر اصلی به نحو مقتضی استناد و ارجاع داده شده باشد.

مقدمه

دهد تا یک نوترکیبی همولوگی داخل کروموزومی رخ دهد که منجر به وارونگی این منطقه و جدا شدن اگرون ۱-۲۲ از اگرون ۲۳-۲۶ شود. از آن جا که دو نسخه بالادست از ژن F8A وجود دارد، وارونگی دیستال (وارونگی نوع ۱) و پروکسیمال (وارونگی نوع ۲) امکان پذیر می‌باشد که هر دو منجر به فنتیپ هموفیلی A شدید می‌شود (۱۱) شکل ۱.



شکل ۱: وارونگی ایترنون ۲۲ دیستال (نوع ۱) و پروکسیمال (نوع ۲) ژن فاکتور VIII (۱۳).

به دلیل مشکلات فراوانی که بیماری هموفیلی برای افراد مبتلا و خانواده‌های آن‌ها دارد و نیز هزینه‌های گرافی که این بیماری بر سیستم درمانی جامعه تحمل می‌نماید و همچنین با توجه به اینکه فعلاً درمان قطعی برای این بیماری وجود ندارد، تلاش‌های گسترده‌ای در سرتاسر جهان به منظور ابداع روش‌هایی برای شناسایی افراد ناقل بیماری و همچنین تشخیص پیش از تولد به منظور کنترل بیماری صورت می‌گیرد (۱۴). در گذشته، تجزیه و تحلیل شجرنامه‌ها و اندازه‌گیری سطوح فعالیت انعقادی فاکتور ۸ برای تشخیص ناقلين هموفیلی A استفاده می‌شد (۱۵). از طریق آنالیز شجرنامه، مشخص می‌شود که ناقل معلوم، دختر یک بیمار هموفیل است. همچنین مادر دو بیمار هموفیل و مادر فرد مبتلا به هموفیل با سابقه خانوادگی هموفیلی در شجرنامه قبل ریدیابی هستند (۱). در اوایل دهه ۱۹۸۰ بررسی وضعیت ناقلين توسط آنالیز DNA ممکن شد که این روش از هاپلوتاپیینگ تا تجزیه و تحلیل متاتیون‌ها که وضعیت ناقلين را بصورت قطعی ارائه می‌کند تکامل یافت (۱۶). تست تشخیص ناقلين بوسیله آزمایش‌های ژنتیک مولکولی برای بسیاری از زنان در معرض خطر اگر واریانت بیماری‌زا در خانواده آن‌ها شناسایی شده باشد، امکان‌پذیر است (۱). با توجه به اینکه حدود نیمی از موارد هموفیلی A شدید به علت وارونگی ایترنون ۲۲ ژن فاکتور ۸ رخ می‌دهد معمولاً در بررسی مولکولی این بیماری در خانواده‌های مبتلا ابتدا باید این جهش مورد ارزیابی قرار بگیرد (۱۷). روش‌های ارزیابی ژنتیکی وارونگی ایترنون ۲۲ شامل؛ آنالیز ساترن بلات (توصیف شده توسط Lakich و همکاران در سال ۱۹۹۳)، روش LD-PCR (ارائه

بیماری هموفیلی A یک بیماری خونریزی‌دهنده مادرزادی وابسته به X مغلوب ناشی از کاهش فعالیت فاکتور VIII با شیوع ۱:۵۰۰۰ تا ۱:۱۰۰۰۰ نوزاد زنده‌ی پسر در سراسر جهان می‌باشد (۱،۲). مردان به علت داشتن یک کروموزم X با دریافت یک ژن معیوب به هموفیلی مبتلا می‌شوند، در حالیکه زنان با دریافت یک ژن معیوب شکل عالمت‌دار بیماری را نشان نداده ولی به عنوان ناقلين نقش عمده‌ای در انتقال بیماری به فرزندان پسر خود ایفا می‌کنند. به این ترتیب ۵۰٪ پسران یک زن ناقل، بیمار و ۵۰٪ دختران وی حامل ژن معیوب خواهند بود (۳). در موارد فوق العاده نادری زنان ناقل ممکن است مبتلا به هموفیلی A باشند؛ به عنوان مثال، اگر در آن‌ها غیر فعال شدن نامتعادل کروموزم X طبیعی (فرضیه لیون)، سینдром ترنر یا سایر اختلالات نادر کروموزم X وجود داشته باشد یا اگر آنها دختر یک مرد مبتلا و یک زن ناقل باشند (۴). تخمین زده شده است که برای هر مرد هموفیل، ۵ زن حامل بالقوه وجود دارد (۵). بیماری هموفیلی A بسته به سطح فعالیت انعقادی فاکتور VIII به انواع هموفیلی A شدید (<۱٪)، متوسط (۰.۵-۰.۱٪) و خفیف (>۰.۵٪) طبقه‌بندی می‌شود (۴).

خونریزی‌های داخلی، نگرانی عمده در بیماری هموفیلی است. خونریزی داخل مفاصل مانند؛ زانو، مچ پا و آرنج شایع است. این خونریزی‌ها ممکن است به دلیل یک آسیب وارد شده ایجاد شود اما در هموفیلی شدید، خونریزی می‌تواند خود به خود ایجاد شود (۶). انتظار می‌رود که زنان ناقل، میزان غلظت فاکتور ۸ موجود در پلاسمای آنها نیمی از غلظت موجود در افراد سالم باشد که به طور کلی برای هموستاز نرمال کافی است. با این وجود حدوداً ۱۰٪ از زنان با یک آل بیماری زای فاکتور VIII و یک آل سالم، دارای فعالیت انعقادی فاکتور VIII کمتر از ۳۰٪ و اختلال خونریزی دهنده می‌باشند (۷، ۸). ژن فاکتور VIII انعقادی نزدیک به ناحیه تلومری کروموزوم X در منطقه Xq28 قرار دارد. این ژن یک ژن بزرگ و پیچیده است که ۱۸۶ کیلوباز از DNA ژنومی را پوشانده و متشکل از ۲۵ ایترنون و ۲۶ اگرون می‌باشد که یک زنجیره‌ی پالی پیتیدی پیش ساز ۲۳۵۱ اسید آمینه‌ای را رمز می‌کند که این زنجیره شامل یک پیتید سیگنال ۱۹ اسید آمینه‌ای و پروتئین بالغ ۲۳۳۲ اسید آمینه‌ای می‌باشد (۹-۱۱). از جمله اختلالات ژنتیکی که منجر به ایجاد هموفیلی A می‌شود می‌توان به حذف‌ها، وارونگی‌های ژنی و جهش‌های نقطه‌ای اشاره نمود (۱۲). در هموفیلی A شدید، ۴۰٪ از تمام جهش‌ها توسط وارونگی ایترنون ۲۲ ایجاد می‌شود (۹). ایترنون ۲۲ ژن فاکتور VIII حاوی یک ژن دوم (ژن A) مرتبط با فاکتور VIII است که در جهت مخالف فاکتور VIII رونویسی می‌شود. دو کپی دیگر از F8A در حدود ۵۰۰ کیلوباز بالادست (تلومریک) ژن فاکتور VIII وجود دارد که هر دو در همان جهت ژن فاکتور VIII رونویسی می‌شود. این ویژگی این امکان را می-

ژل آگارز و اسپکتروفوتومتری در طول موج‌های ۲۶۰ و ۲۸۰ نانومتر مورد بررسی قرار گرفت. در تکنیک IS-PCR از ۴ نوع پرایمر IU₃, U₂, IU و ID برای بررسی وارونگی ایترنون ۲۲ نوع ۱ و نوع ۲ استفاده شد. آغازگرهای IU/ID برای تکثیر آل نرمال ایترنون ۲۲ (جفت باز)، آغازگرهای U/ID^۳ برای تکثیر آل وارونگی ایترنون ۲۲ نوع ۱ (۳۳۳ جفت باز) و آغازگرهای U/IID^۲ جهت تکثیر آل وارونگی ایترنون ۲۲ نوع ۲ (۳۸۵ جفت باز) به کار برده شد. پرایمرها با استفاده از نرم افزار Oligo ۰.۵ طراحی شد و جهت سنتز به شرکت Pioneer سفارش داده شدند. مشخصات پرایمرهای استفاده شده در جدول ۱ آمده است.

جدول ۱: مشخصات پرایمرهای طراحی شده برای تکثیر ایترنون ۲۲ ژن فاکتور ۸

نوع پرایمر	طول توالی پرایمر	طول توالی	NC_000023.9
I D	۲۱	ACA TAC GGT TTG GTC ACA AGT	۶۰۸-۱۵۳۷۵۸۷
I U	۲۰	CCT TTC AAC TCC ATC TCC AT	۵۰-۱۵۳۷۷۹۷۰
2 U	۲۰	ACG TGT CCT TTG GAG AAG TC	۹۵-۱۵۴۲۷۰۷۵
3 U	۲۲	CTC ACA TTG TGT TCT TGTAGTC	۴۸-۱۵۴۴۳۴۴۶

در مرحله بعد به منظور تعیین ناقلين جهش وارونگی ایترنون ۲۲ نوع ۱ و نوع ۲ تکنیک IS-PCR به این صورت مورد استفاده قرار گرفت که در مرحله اول جهت هضم آنزیمی DNA میکروگرم از DNA ژنومی با ۲۰ واحد آنزیم محدودالاثر (Bcl1 ۱۰ واحد بر میکرولیتر) (ترموسایتیفیک، آلمان) به مدت ۴ ساعت در دمای ۵۰ درجه سانتیگراد در دستگاه انکوباتور قرار گرفت. سپس قطعات DNA به روش فنول-کلروفرم و رسوب با اتانول خالص گردید. در مرحله بعد جهت دستیابی به DNA حلقوی که اساس روش IS-PCR می‌باشد، قطعات DNA تحت تأثیر ۳ واحد آنزیم T₄ لیگاز (۲/۵ واحد بر میکرولیتر) (زنای بیوساینس، آلمان) در حجم نهایی ۴۰۰ میکرولیتر به مدت یک شبانه روز در دمای ۱۵ درجه سانتیگراد قرار گرفت و پس از آن به منظور آماده‌سازی DNA برای واکنش PCR خالص‌سازی DNA به روش فنول-کلروفرم و رسوب با اتانول انجام شد. در مرحله آخر، واکنش PCR در حجم نهایی ۲۵ میکرولیتر برای هر واکنش شامل ۱۰ میکرولیتر از DNA حلقوی، در حضور ۰/۶ میکرومولار از هر پرایمر (۱۰۰ پیکومول بر میکرولیتر) (بیونیر، ایران)، ۰/۵ واحد از DNA (۱۰X) (زنو بیوساینس، آلمان)، ۲۵ میلی مولار (زنو بیوساینس، آلمان)، دئوکسی نوکلئوتید تری فسفات dNTP (۱۰ میلی مولار) (زنوبیوساینس، آلمان) و آنزیم Taq پلی‌مراز (۵ واحد بر میکرولیتر) (زنوبیوساینس، آلمان) انجام شد. در این روش، چون از ۳ جفت پرایمر جهت شناسایی وارونگی‌های ایترنون ۲۲ نوع ۱ و نوع ۲ و همچنین آل نرمال استفاده می‌شود به همین دلیل برای

شده توسط Bagnall و همکاران در سال ۲۰۰۶ و تکنیک IS-PCR توصیف شده توسط Rossetti و همکاران در سال ۲۰۰۸ می‌باشد (۹، ۱۸-۱۹). روش ساترن بلاست قادر به ارزیابی نیمه کمی از حاملین موزائیسم می‌باشد اما این روش کار فشرده‌ای است و نیاز به پرسنل مهندسی ایترنون نیز نداشته است (۹). روش LD-PCR نیز قادر به ارزیابی انواع وارونگی‌ها می‌باشد اما این روش به کیفیت DNA ورودی، شرایط ترموموایکلینگ و معرف‌ها حساس بوده و همچنین الکتروفورز در این روش به آهستگی انجام می‌شود و بنابراین برای ارزیابی ناقلين جهش وارونگی نمی‌باشد (۱۸). اما روش IS-PCR می‌تواند تمام باز آرایی‌های مرتبط با ایترنون ۲۲ مانند وارونگی، حذف‌های بزرگ، مضاعف شدگی، واردشدنی و جابه‌جایی را مورد ارزیابی قرار دهد (۱۴). همچنین این روش قادر به ارزیابی ناقلين وارونگی ایترنون ۲۲ می‌باشد و برای تشخیص-های پیش از تولد هموفیلی نیز کاربرد دارد (۱۹). هدف از مطالعه حاضر شناسایی ناقلين جهش وارونگی ایترنون ۲۲ نوع ۱ و نوع ۲ به روش نوین IS-PCR می‌باشد.

روش کار

در این مطالعه توصیفی که به تایید کمیته اخلاق در پژوهش دانشگاه آزاد اسلامی واحد علوم پزشکی تهران به شماره مرجع IR.IAU.TMU.REC.1395.276 رسیده است، پس از هماهنگی لازم با بخش خون و انکولوژی بیمارستان حضرت معصومه (س) استان قم، ۳۰ خانواده دارای بیمار مبتلا به هموفیلی A پس از مراجعته به درمانگاه طباطبایی استان قم و تکمیل فرم شرح حال و رضایت‌نامه جهت شرکت در مطالعه انتخاب شدند. کلیه مراحل این تحقیق در مرکز تحقیقات جهاد دانشگاهی استان قم و در بازه زمانی آذر ماه ۱۳۹۳ تا دی ماه ۱۳۹۴ به انجام رسید. در بررسی وضعیت بیماران مشخص شد که ۷ نفر از بیماران مبتلا به هموفیلی A دارای جهش وارونگی ایترنون ۲۲ می‌باشند. بنابراین بستگان مونث این ۷ بیمار وارد مطالعه شدند. از این میان ۴ زن ناقل اجباری و ۲ زن ناقل احتمالی وجود داشت که این ۲ دارای فرزند پسر مبتلایی بودند که به صورت تک موردي این بیماری را نشان داده بودند و سابقه بیماری در خویشاوندان آنها وجود نداشت. همچنین ۳ خواهر مشکوک به ناقل بودن نیز مورد بررسی قرار گرفتند. ۳ سی‌سی خون محیطی از هر فرد شرکت کننده در مطالعه EDTA گرفته و در لوله‌های فالکون استریل حاوی مقدار مناسب جهت استخراج DNA جمع آوری گردید. سپس DNA ژنومی با استفاده از روش اشباع نمکی (Salting out) از لوکوسیت‌های خون محیطی بیماران استخراج گردید و پس از آن سنجش کیفیت و غاظت DNA های استخراج شده با استفاده از روش الکتروفورز

نتایج باندهای تکثیرشده با استفاده از آزمایش IS-PCR بر روی ژل آکارز و تست تشخیص ناقلين جهش وارونگی ایترنون نوع ۱ و نوع ۲ در شکل شماره ۲ نمایش داده شده است. همانگونه که مشاهده می‌شود، برای نمونه‌ی هتروزیگوت وارونگی ایترنون ۲۲ نوع ۱، دو باند ۴۸۷ جفت باز برای آلل نرمال و ۳۳۳ جفت باز برای آلل جهش یافته ایجاد شده است و همچنین برای نمونه هتروزیگوت وارونگی ایترنون ۲۲ نوع ۲، دو باند ۴۸۷ جفت باز برای آلل نرمال و ۳۸۵ جفت باز برای آلل جهش یافته ایجاد شده است.

بحث

بیماری هموفیلی A شایعترین اختلال خونریزی‌دهنده وابسته به کروموزوم X است. این اختلال را به سه فرم خفیف، متوسط و شدید تقسیم‌بندی می‌نمایند. از لحاظ پژوهشی فرم شدید هموفیلی A اثرات بسیار مخاطره‌آمیزی را چه از نظر بهداشتی و چه از نظر اقتصادی و روانی بر جامعه می‌گذارد (۲۰). تقریباً نیمی (۴۰-۵۰٪) افراد مخاطره‌آمیزی از موادر هموفیلی A شدید توسط یک بازآرایی گستره جهانی (از موادر هموفیلی A) خود به خودی که در نتیجه باعث وارونگی ایترنون ۲۲ در زن فاکتور ۸ می‌شود رخ می‌دهد (۲۱). بنابراین از آن جا که وارونگی ایترنون ۲۲ از مهم ترین نقاط داغ جهش در زن فاکتور ۸ و علت نخستین هموفیلی A شدید می‌باشد، باید در وهله‌ی اول این موتاسیون در خانواده‌ها و بیماران مبتلا مورد بررسی قرار بگیرد (۲۲). تعیین افراد ناقل در خانواده‌های مبتلا به هموفیلی A نتایج مهمی (از قبیل شناسایی افرادی که نیاز به تشخیص قبل از تولد برای بیماری هموفیلی A دارند به منظور پیشگیری از تولد کودکان مبتلا و جلوگیری از گسترش بیماری) خواهد داشت. از آنجایی که برای تعیین وضعیت ناقلين هموفیلی A، روش آنالیز پیوستگی تنها در خانواده‌هایی با سابقه خانوادگی بیماری خانوادگی هموفیلی حاليکه ۳۰٪ از موارد هموفیلی A بدون سابقه خانوادگی هموفیلی ایجاد می‌شود و همچنین با توجه به اینکه دیگر روش‌های مولکولی ارزیابی ناقلين، مانند روش ساترن بلاست و LD-PCR حساس و زمان بر بوده و نیاز به مهارت‌های تکنیکی بالایی دارد، لذا در این مطالعه از روش نوین IS-PCR جهت ارزیابی وضعیت ناقلين وارونگی‌های ایترنون ۲۲ زن فاکتور ۸ استفاده گردید (۹،۱۸،۲۳). با توجه به بررسی وضعیت ناقلين، مادر پسر مبتلا به هموفیلی A شانس حدوداً ۸۰٪ را برای ناقل بودن دارد زمانیکه پسر او اولین فرد مبتلا در خانواده باشد و این شانس حتی بالاتر است (۹۸٪) زمانیکه فقط وارونگی ایترنون ۲۲ در نظر گرفته شود (۲۴). در این مطالعه که بستگان مونث بیماران هموفیل A دارای وارونگی ایترنون ۲۲ به روش IS-PCR مورد آنالیز قرار گرفتند، ۲ مورد فاقد جهش وارونگی ایترنون ۲۲، ۲ نفر ناقل وارونگی ایترنون ۲۲ نوع ۱ و ۵ نفر نیز ناقل وارونگی ایترنون ۲۲ نوع ۲ شناسایی شدند. طبق نتایج همه مادران بیماران دارای جهش وارونگی

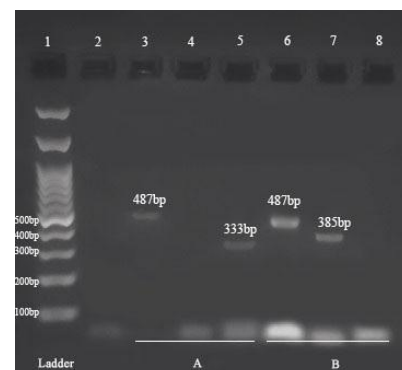
هر نمونه DNA ۳ واکنش PCR در نظر گرفته شد. به این صورت که در یک واکنش جفت پرایمر ID و IU، در دومی جفت پرایمر ID و U۳ و در سومی جفت پرایمر ID و U۲ اضافه گردید. برنامه PCR مطابق با ۱ چرخه دمایی ۹۵ درجه سانتیگراد به مدت سه دقیقه، ۳۲ چرخه دمایی شامل؛ ۹۴ درجه سانتیگراد به مدت سه دقیقه، ۵۸ درجه سانتیگراد به مدت ۵۰ ثانیه و ۷۲ درجه سانتیگراد به مدت ۱:۲۰ دقیقه و در آخر یک چرخه دمایی در ۷۲ درجه سانتیگراد به مدت ۱۰ دقیقه در دستگاه ترموسایکل اجرا شد. پس از آن، محصولات PCR بر روی ژل آکارز ۱/۵٪ حاوی اتیدیوم بروماید الکتروفورز شدند و سپس توسط دستگاه ترانس ایلیمیناتور (UVP، Canada) از نظر وجود یا عدم وجود باندهای مربوطه مورد ارزیابی قرار گرفتند و در نهایت از ژل مورد نظر عکسبرداری شد. در این مطالعه آنالیز داده‌های پژوهش از روش آمار توصیفی با استفاده از نرم افزار SPSS نسخه ۲۳ محاسبه شد.

یافته‌ها

در این تحقیق ۹ نفر از بستگان مونث بیماران دارای جهش های وارونگی ایترنون ۲۲ با میانگین سنی ۳۴/۶۶ سال، شامل ۶ مادر و ۳ خواهر جهت تعیین وضعیت ناقل بودن برای جهش وارونگی ایترنون ۲۲ نوع ۱ و نوع ۲ به روش IS-PCR مورد آنالیز قرار گرفتند. طبق نتایج از ۹ نفر مورد بررسی ۷ نفر ناقل جهش وارونگی ایترنون ۲۲ و ۲ نفر غیر ناقل بودند. فراوانی ناقلين جهش وارونگی ایترنون ۲۲ نوع ۱ و نوع ۲ در این بررسی در جدول شماره ۲ نشان داده شده است.

جدول ۲: فراوانی ناقلين جهش وارونگی ایترنون ۲۲ نوع ۱ و نوع ۲ در جمعیت مورد مطالعه

تعداد افراد	ناقل جهش وارونگی ایترنون ۲۲	غیر ناقل	۹(۱۰۰٪)
	۲(۲۲٪)	۷(۷۷/۸٪)	
وارونگی نوع ۱	۲(۲۸/۶٪)	۵(۷۱/۴٪)	
وارونگی نوع ۲	۰	۰	



شکل ۲: نتایج PCR نمونه‌های ناقلين دارای جهش هتروزیگوت وارونگی ایترنون ۲۲ نوع ۱ و نوع ۲: نشانگر ۱۰۰ جفت بازی ۲: نمونه کنترل منفی، A: فرد ناقل وارونگی ایترنون ۲۲ نوع ۱ (۶۷/۸٪)، B: فرد ناقل وارونگی ایترنون ۲۲ نوع ۲.

تمام مادران بیماران هموفیلی A دارای جهش وارونگی ایترنون ۲۲، حامل آلل هتروزیگوت بودند، می‌توان نتیجه گرفت که در هیچ یک از بیماران، جهش وارونگی ایترنون ۲۲ به شکل جهش نوپدید رخ نداده است و همه بیماران آلل جهش یافته را از مادر ناقل خود به ارث برده‌اند. در این مطالعه ما از روش IS-PCR به عنوان یک روش مبتنی بر PCR معکوس و طراحی شده به عنوان یک روش جایگزین برای ساترن بلاط و LD-PCR به منظور تشخیص مولکولی جهش وارونگی ایترنون ۲۲ نوع ۱ و نوع ۲ استفاده کردیم که طی این تحقیق جهش مورد نظر توسط تکنیک IS-PCR در خانواده‌های مبتلا به هموفیلی A استان قم مورد بررسی قرار گرفت و به طور کلی نشان داده شد که این تکنیک روشی سریع، قوی و قابل اعتماد به منظور تشخیص ناقلين جهش وارونگی ایترنون ۲۲ نوع ۱ و نوع ۲ می‌باشد.

نتیجه‌گیری

طبق نتایج حاصل از این تحقیق استفاده از تکنیک IS-PCR به عنوان روشی ساده، سریع و مقرن به صرفه برای شناسایی ناقلين جهش وارونگی ایترنون ۲۲ نوع ۱ و نوع ۲ در خانواده‌هایی با بیماری هموفیلی A امکان‌پذیر می‌باشد. همچنین با توجه به کارایی تکنیک IS-PCR در تشخیص‌های پیش از تولد نتایج حاصل از این تحقیق می‌تواند در این زمینه مورد استفاده قرار بگیرد.

قدرتانی

این مقاله برگرفته از پایان نامه دوره کارشناسی ارشد به شماره طرح ۱۳۶۳۰۵۰۳۹۳۱۰۰۶ مصوب دانشگاه آزاد اسلامی واحد علوم پزشکی تهران می‌باشد. بدینوسیله از کلیه همکاران محترم کانون هموفیل استان قم، پرسنل درمانگاه طباطبایی استان قم به ویژه جناب دکتر کمال اسحاق حسینی و همچنین کلیه پرسنل مرکز تحقیقات جهاد دانشگاهی استان قم به ویژه جناب آقای ناصر کلهر قدردانی می‌شود.

References

- Tantawy A G. Molecular genetics of hemophilia A: Clinical perspectives. *Egyptian Journal of Medical Human Genetics* 2010; **11**(2): 105-114. doi: 10.1016/j.ejmhg.2010.10.005
- Stonebraker J S, Bolton-Maggs P H, Soucie J M, Walker I, Brooker M. A study of variations in the reported haemophilia prevalence around the world. *Hemophilia* 2010; **16**: 20-32. doi: 10.1111/j.1365-2516.2009.02127.x
- Pruthi R K. Hemophilia: a practical approach to genetic testing. *Mayo Clin Proc* 2010; **85**(11): 1485-1499. doi: 10.4065/80.11.1485
- Bustamante-Aragones A, Rodriguez de Alba M, Gonzalez-Gonzalez C, Trujillo-Tiebas M J, Diego-Alvarez D, Vallespin E, et al. Foetal sex determination in maternal blood from the seventh week of gestation and its role in diagnosing haemophilia in the foetuses of female carriers. *Haemophilia* 2008; **14**(3): 593-598. doi: 10.1111/j.1365-2516.2008.01670.x
- Pavlova A, Brondke H, Sebeck J, Pollmann H, Srivastava A, Oldenburg J. Molecular mechanisms underlying hemophilia A phenotype in seven females. *J Thromb Haemost* 2009; **7**(6): 976-982. doi: 10.1111/j.1538-7836.2009.03346.x

6. Sona P S, Lingam C M. Hemophilia-An overview. *IJPSSR* 2010; **5**(1): 18-26. doi: 10.1002/9781444318555.ch35
7. Ay C, Thom K, Abu-Hamdeh F, Horvath B, Quehenberger P, Male C, et al. Determinants of factor VIII plasma levels in carriers of haemophilia A and in control women. *Haemophilia* 2010; **16**(1): 111-117. doi: 10.1111/j.1365-2516.2009.02108.x
8. Plug I, Mauser-Bunschoten EP, Bröcker-Vriend AH, van Amstel H K, van der Bom J G, van Diemen-Homan J E, et al. Bleeding in carriers of hemophilia. *Blood* 2006; **108**(1): 52-56. doi: 10.1111/j.1365-2516.2011.02742.x
9. Lakich D, Kazazian H H, Antonarakis S E, Gitschier J. Inversions disrupting the factor VIII gene is a common cause of severe haemophilia A. *Nat Genet* 1993; **5**: 236-241. doi: 10.1038/ng1193-236
10. Thompson A R. Structure and function of the factor VIII gene and protein. *Semin Thromb Hemost* 2003; **29**(1): 11-22. doi: 10.1055/s-2003-37935
11. Andrikovic H, Klein I, Bors A, Nemes L, Marosi A, Varadi A, et al. Analysis of Large Structural Changes of The Factor VIII Gene, Involving Intron 1 and 22, in Severe Hemophilia A. *Haematologica* 2003; **88**: 778-784. doi: 10.1016/s0268-960x(07)70029-2
12. Payne A B, Miller C H, Kelly F M, Soucie J M, Hooper W C. The CDC Hemophilia A Mutation Project (CHAMP) Mutation List: a New Online Resource. *Human mutation* 2013; **34**(2): 2382-2391. doi: 10.1002/humu.22247
13. Bowen D J. Haemophilia A and haemophilia B: molecular insights. *Molecular Pathology* 2002; **55**(2): 127-144. doi: 10.1136/mp.55.2.127
14. Karimipoor M, Zeinali S, Lak M, Safaei R. Carrier testing and prenatal diagnosis of haemophilia B by SSCP in an Iranian family. *Haemophilia* 2003; **9**(1): 116-118. doi: 10.1046/j.1365-2516.2003.00710.x
15. Renault N K, Dyack S, Dobson M J, Costa T, Lam W L, Greer W L. Heritable skewed X-chromosome inactivation leads to haemophilia A expression in heterozygous females. *Eur J Hum Genet* 2007; **15**(6): 628-637. doi: 10.1038/sj.ejhg.5201799
16. Rossetti L C, Radic C P, Abelleyro M M, Larripa IB, De Brasi C D. Eighteen years of molecular genotyping the hemophilia inversion hotspot: from southern blot to inverse shifting-PCR. *Int J Mol Sci* 2011; **12**(10): 7271-7285. doi: 10.3390/ijms12107271
17. Rouzafzay N, Kokabi L, Zeinali C, Kiarimipour M. A study of intron 22 inversion type i and ii of coagulation factor 8 gene in patients with severe hemophilia a using IS-PCR technique. *Qom Univ Med Sci J* 2013; **7**(5): 28-34. [Full Text in Persian]
18. Bagnall R D, Giannelli F, Green PM. Int 22h-related inversions causing hemophilia A: a novel insight into their origin and a new more discriminant PCR test for their detection. *J Thromb Haemost* 2006; **4**(3): 591-598. doi: 10.1111/j.1538-7836.2006.01840.x
19. Rossetti L C, Radic C P, Larripa I B, De Brasi C D. Developing a new generation of tests for genotyping hemophilia-causative rearrangements involving int22h and int1h hotspots in the factor VIII gene. *J Thromb Haemost* 2008; **6**(5): 830-836. doi: 10.1111/j.1538-7836.2008.02926.x
20. Mustafa M, Moktar AY, Firdaus H, Illizam EL, Nornazirah A, Sharifa AM. Hemophilia a Genetic Disorder: Diagnosis, Treatment and Prognosis. *IOSR-JDMS* 2016; **15**(10): 85-89. doi: 10.9790/0853-15100494101
21. Iqbal W, Raza M, Suleman khan M. Intron 22 inversions in severe Hemophiliacs. *AJMS* 2013; **3**(6): 190-196. doi: 10.1055/s-0037-1615084
22. Mantilla-Capacho J M, Beltrán-Miranda C P, Luna-Záizar H, Aguilar-López L, Esparza-Flores MA, López-Guido B, et al. Frequency of intron 1 and 22 inversions of Factor VIII gene in Mexican patients with severe hemophilia A. *Am J Hematol* 2007; **82**(4): 283-287. doi: 10.1002/ajh.20865
23. Price V E, Hawes S A, Chan A K. A practical approach to hemophilia care in children. *Pediatric Child Health* 2007; **12**(5): 381-383. doi: 10.1093/pch/12.5.381
24. Leuer M, Oldenburg J, Lavergne J M, Ludwig M, Fregin A, Eigel A, et al. Somatic mosaicism in hemophilia A: a fairly common event. *Am J Hum Genet* 2001; **69**(1): 75-87. doi: 10.1086/321285
25. Tizzano E F, Domènech M, Baiget M. Inversion of intron 22 in isolated cases of severe hemophilia A. *Thromb Haemost* 1995; **73**(1): 6-9. doi: 10.1055/s-0038-1651667
26. Antonarakis S E, Rossiter J P, Young M, Horst J, de Moerloose P, Sommer S, et al. Factor VIII gene inversions in severe hemophilia A: results of an international consortium study. *Blood* 1995; **86**(6): 2206-2212. doi: 10.1093/hmg/3.7.1035
27. Oldenburg J, Rost S, El-Maarri O, Leuer M, Olek K, Müller C R, et al. De novo factor VIII gene intron 22 inversion in a female carrier presents as a somatic mosaicism. *Blood* 2000; **96**(8): 2905-2906. doi: 10.1007/978-3-642-59633-9_46
28. De Brasi C, Candela M, Cermelj M, Slavutsky I, Larripa I, Bianco R P, et al. Intron 22 factor VIII gene inversions in Argentine families with severe haemophilia A. *Haemophilia* 2000; **6**(1): 21-22. doi: 10.1046/j.1365-2516.2000.00365.x
29. Ilic N, Krstic A, Kuzmanovic M, Micic D, Konstantinidis N, Guc-Scekić M. Identification of intron 1 and intron 22 inversions of factor VIII gene in Serbian patients with hemophilia A. *Genetika* 2013; **45**(1): 207-216. doi: 10.2298/gensr1301207i

Original Article

Effect of a single session high intense interval exercise in hypoxic and normoxic conditions on serum concentration of interleukin-6 and 10 in active men

Zahra Pairo^{*}, Khosro Ebrahim, Alireza Salimi

Department of Exercise Physiology, School of Physical Education, Shahid Beheshti University, Tehran, Iran.

*Corresponding author; E-mail: paliz.1364@gmail.com

Received: 14 January 2017 Accepted: 9 March 2017 First Published online: 17 January 2019

Med J Tabriz Uni Med Sciences Health Services. 2019 February -March; 40(6):28-35

Abstract

Background: exercise induces considerable physiological change in the immune system. The aim of this study was to investigate the effect of a single session high intense interval exercise (HIIIE) in hypoxic and normoxic conditions on serum concentration of interleukin-6 (IL-6) and interleukin-10 (IL-10) in active men.

Methods: The present study was semi experimental research Ten trained students volunteer in shahid Beheshti University participated in this study. General and clinical information was collected via questionnaire before exercise began. In addition some of body composition indexes of subjects were measured one day before exercise protocol. After determining maximum heart rate of subjects during HIIIE which was consisted of three series, each series consisting of three one-minute repetitions with intensity of 80 to 85 percent of maximum heart rate and 2 minute rest between series in both hypoxic and normoxic conditions performed one week apart. Before, immediately after, and 1 h after exercise blood samples were taken from subjects. To measure IL-6 and IL-10 Elisa method was used.

Results: Finding showed that despite a significant increase in serum levels IL-6 due to HIIIE between the two conditions did not differ significantly ($p = 0.078$). But with increased serum levels of IL-10 in HIIIE there was significant difference between the two conditions ($p = 0.003$).

Conclusion: The short-term exercise under hypoxic conditions with the appropriate intensity could modify the immune system response and increased levels of IL-10.

Keyword: IL-6, IL-10, High Intense Interval Exercise, Hypoxic, Normoxic.

How to cite this article: Pairo Z, Ebrahim Kh, Salimi A. [Effect of a single session high intense interval exercise in hypoxic and normoxic conditions on serum concentration of interleukin-6 and 10 in active men]. Med J Tabriz Uni Med Sciences Health Services. 2019 February -March;40(6):28-35. Persian.

مقاله پژوهشی

اثر یک جلسه فعالیت ایتروال شدید در شرایط هایپوکسی و نورموکسی بر غلظت ایترلوکین-۶ و ۱۰ سرم در مردان فعال

زهرا پیرو^{*}، خسرو ابراهیم، علیرضا سلیمی

گروه فیزیولوژی ورزشی، دانشکده تربیت بدنی، دانشگاه شهید بهشتی، تهران، ایران.
^{*}تویسند مسئول؛ ایمیل: paliz.1364@gmail.com

دریافت: ۱۳۹۵/۱۰/۱۹ پذیرش: ۱۳۹۷/۱۲/۱۹ انتشار پرخط: ۱۰/۲۷
مجله پزشکی دانشگاه علوم پزشکی و خدمات بهداشتی - درمانی تبریز. ۱۳۹۷ بهمن و اسفند؛ ۴۰(۶):۲۸-۳۵

چکیده

زمینه: فعالیت بدنی موجب تغییر فیزیولوژیک قابل توجهی در سیستم ایمنی می‌شود. هدف از تحقیق حاضر بررسی تاثیر یک جلسه فعالیت ایتروال شدید در شرایط هایپوکسی و نورموکسی بر غلظت ایترلوکین-۶-۱۰ (II) و ایترلوکین-۱۰ (III) سرم در مردان فعال بود.

روش کار: تحقیق حاضر از نوع نیمه تجربی بود، بدین منظور ۱۰ نفر از دانشجویان داوطلب مرد فعال دانشگاه شهید بهشتی تهران در این مطالعه شرکت کردند. قبل از شروع فعالیت، پرسشنامه مشخصات عمومی و پزشکی توسط آزمودنی‌ها تکمیل شد. بعلاوه برخی از شاخص‌های ترکیب بدن آنها یک روز قبل از فعالیت اندازه‌گیری شد. پس از تعیین ضربان قلب بیشینه، آزمودنی‌ها ۱۹ دقیقه فعالیت ایتروال شدید شامل سه نوبت و هر نوبت شامل سه تکرار ۱ دقیقه‌ای با شدت ۸۰ تا ۸۵ درصد ضربان قلب بیشینه و ۲ دقیقه استراحت بین نوبت‌ها را در دو محیط هایپوکسی و نورموکسی به فاصله یک هفته از هم انجام دادند. قبل، بالافصله و یک ساعت پس از فعالیت از آزمودنی‌ها نمونه خونی گرفته شد. سپس، فاکتورهای ۶-II و ۱۰-II با استفاده روش الیزا اندازه‌گیری شد. جهت بررسی اثر فعالیت ایتروال شدید در دو محیط بر فاکتورهای مورد اندازه‌گیری از آزمون ANOVA دو طرفه مکرر (۲×۳) استفاده شد.

یافته‌ها: نتایج نشان داد که با وجود افزایش معنی دار سطح سرمی ۶-II در اثر فعالیت ایتروال شدید بین دو محیط تفاوت معنی داری مشاهده نشد ($p=0.078$). اما با افزایش سطح سرمی ۱۰-II در اثر فعالیت ایتروال شدید بین دو محیط تفاوت معنی داری مشاهده گردید ($p=0.003$). نتیجه گیری: بر اساس نتایج تحقیق حاضر می‌توان نتیجه گیری کرد که فعالیت کوتاه‌مدت در شرایط هایپوکسی با شدت مناسب می‌تواند سبب تعدیل پاسخ‌های سیستم ایمنی و افزایش سطوح ۱۰-II شود.

کلید واژه‌ها: ۶-II، ۱۰-II، فعالیت ایتروال شدید، هایپوکسی، نورموکسی

نحوه استناد به این مقاله: پیرو، ابراهیم خ، سلیمی ع. اثر یک جلسه فعالیت ایتروال شدید در شرایط هایپوکسی و نورموکسی بر غلظت ایترلوکین-۶ و ۱۰ سرم در مردان فعال. مجله پزشکی دانشگاه علوم پزشکی و خدمات بهداشتی - درمانی تبریز. ۱۳۹۷ بهمن و اسفند؛ ۴۰(۶):۲۸-۳۵.

مقدمه

شناخته شده است. هنگامی که فشار فعالیت جسمانی در ارتفاع زیاد اضافه می‌شود، این پاسخ‌های فیزیولوژیک و متابولیک تشدید می‌شوند. از طرفی در حال صعود به ارتفاع فشار هوا کاهش می‌یابد که موجب کاهش جزئی فشار اکسیژن هوای دمی می‌شود و منجر به کاهش فشار و محتوای اکسیژن شریانی می‌گردد. این شرایط هایپوکسی اختلال عمده‌ای در هموستانز طبیعی ایجاد می‌کند که شامل پاسخ‌های غدد عصبی برای تنظیم کاهش محتوای اکسیژن شریانی است. این پاسخ‌های غده‌های عصبی توانایی تغییر عملکرد اینمی را دارند. در طول قرار گرفتن در معرض ارتفاع، تنظیم IL-6 در گردش دیده شده است. همچنین، گفته شده است که فشار محیطی ناشی از قرار گرفتن در معرض ارتفاع به تنهایی میزان IL-6 در گردش را بالا نمی‌برد (۱۶).

تحقیقات بسیاری، افزایش چشمگیر در تعداد لوكوسیت‌ها و IL-6 سرم در حین و بلا فاصله بعد از فعالیت خیلی سخت و طولانی مدت یک جلسه‌ای را نشان داده‌اند، که در ساعت‌های بعد از ورزش با افزایش در سایتوکاین ضد التهابی IL-10 همراه است (۸). Jong و همکاران در زمینه تاثیر هایپوکسی متناسب طولانی-مدت بر ترشح سایتوکاین‌های التهابی در اثر ورزش شدید (۲۰۰۷) افزایش در IL-6 و IL-10 را نشان دادند (۱۷). همچنین هاگوییان و همکاران (۲۰۰۶) نشان دادند که تاثیر ارتفاع و ورزش بر پاسخ سایتوکاین‌ها باعث افزایش غلاظت IL-6 پلاسمما می‌شود (۱۸).

از آنجایی که فعالیت ایتروال شدید همراه با تغییرات فشار سهمی اکسیژن محیط موجب رها شدن سایتوکاین‌های سرم (IL-6 و IL-10) در هنگام و پس از ورزش می‌شود و این یک ساز و کار محافظتی برای مقابله با مهار عمومی پاسخ‌های اینمی بعد از ورزش است، لذا شناخت صحیح فعالیت‌های ورزشی که باعث تعدیل عملکرد دستگاه اینمی می‌شوند، از اهمیت بسیاری برخوردار می‌باشد. بنابراین این تحقیق بر آن است که تاثیر هایپوکسی و فعالیت ورزشی را بر میزان سایتوکاین‌های سرم بررسی نماید. بنابراین مطالعه حاضر با هدف بررسی تاثیر یک جلسه فعالیت ایتروال شدید در شرایط هایپوکسی و نورموکسی بر سایتوکاین‌های سرم در شرایط هایپوکسی و نورموکسی موثر بر غلاظت سایتوکاین‌های سرم مشخص گردد.

روش کار

تحقیق حاضر از نوع نیمه تجربی با اندازه‌گیری مکرر و دو جلسه‌ای بود. آزمودنی‌های این تحقیق شامل ۱۰ نفر از دانشجویان مرد فعال دانشگاه شهید بهشتی با حداقل سالگه ۲ سال فعالیت ورزشی بودند که به صورت داوطلبانه در این پژوهش شرکت کردند. آزمودنی‌های این تحقیق با میانگین سن $21/6 \pm 1/5$ سال،

مطالعات زیادی در طول سال‌های گذشته نشان داده‌اند که فعالیت بدنی موجب تغییر فیزیولوژیک قابل توجهی در سیستم اینمی می‌شود (۱). تامین سلامت و بهبود عملکرد ورزشکاران از اهداف اصلی گرایش به فعالیت‌های بدنی و ورزش است. از این روش مربیان و ورزشکاران می‌کوشند تا سلامت ورزشکاران را هنگام تمرین و روابط ورزشی حفظ کنند (۲). شواهد علمی نشان داده است بسیاری از ورزشکاران پس از انجام تمرینات شدید و روابط‌های سنگین، به بیماری‌های عفونی، از جمله عفونت مجاری تنفسی فوقانی مبتلا می‌شوند (۳،۴). ورزش شدید با تغییرات اینمی شناختی شامل، رهاسازی میانجی‌های التهابی، فعالیت انسان و زیراحدهای سلول‌های سفید خونی، فعالیت پروتئین‌های فاز حاد، افزایش فعالیت سایتوکاین‌های پیش التهابی و ضد التهابی و تغییراتی در شاخص‌های آسیب عضلانی همراه است (۵).

بعضی از سایتوکاین‌های التهابی شامل IL-6 , $\text{TNF-}\alpha$, $\text{IL-1}\beta$, HIF-1 , LIF , $\text{TGF-}\beta$ التهابی IL-1ra , IL-4 , IL-10 , IL-12 می‌باشد (۶،۷). محققان بیان داشته‌اند که فعالیت بدنی شدید موجب پاسخ‌های پیش التهابی اویله و سپس ضد التهابی می‌شود (۸).

اولین سایتوکاین‌ها که در رابطه با عفونت در گردش خون ظاهر می‌شوند شامل: sTNF و $\text{IL-1}\beta$, $\text{TNF-}\alpha$, IL-6 , IL-1ra , IL-10 هستند (۹). هنگامی که IL-6 در پلاسمما در اثر فعالیت R و IL-10 هستند (۱۰). هنگامی که IL-6 در سطح‌های در گردش سایتوکاین‌های ضد التهابی IL-1ra و IL-10 نیز افزایش می‌یابد (۱۱). هنگامی که IL-6 توسط ماکروفاژها تولید می‌شود منجر به پاسخ التهابی می‌شود (۱۲). بدلیل اثرات ضد التهابی قوی IL-10 در تعدادی از شرایط التهابی بعنوان یک تنظیم‌کننده مهم سیستم اینمی و التهابی نقش دارد (۱۳). مدت فعالیت بدنی یک عامل مهم در تعیین میزان IL-6 پلاسمما بعد از فعالیت بدنی می‌باشد. همچنین به شدت فعالیت بدنی حساس است و بطور غیر مستقیم با حجم عضله درگیر در فعالیت مرتبط است (۱۰).

بیشتر مطالعاتی که پاسخ سایتوکاین‌ها را هنگام فعالیت ورزشی بررسی کرده‌اند بیشتر از تمرینات استقاماتی طولانی مدت یا تمرینات مقاومتی و کمتر از فعالیت ایتروال شدید استفاده کرده‌اند (۱۴). فعالیت بدنی با شدت متوسط و منظم سیستم اینمی را تحريك کرده و در مقابل بیماری‌های عفونی مقاوم می‌کند. با این حال، اطلاعات خیلی کمی در مورد پاسخ التهابی بعد از فعالیت بدنی شدید وجود دارد. فعالیت ایتروال شدید شامل دوره‌های تکراری فعالیت شدید است که با دوره‌های کوتاه استراحت از هم جدا می‌شوند و موجب سازگاری‌های عملکردی فیزیولوژیک در یک مدت کوتاه می‌شود (۱۵). همچنین صعود به ارتفاع بعنوان یک عامل فشارزا که باعث تغییرات فیزیولوژیک و متابولیک می‌شود

دوچرخه بود. بین سری‌ها یک استراحت ۲ دقیقه‌ای غیر فعال به منظور ریکاوری داشتند (تصویر ۱). خون‌گیری قبل، بالاصله و یک ساعت بعد از فعالیت از ورید بازویی آزمودنی‌ها در هر جلسه انجام شد. پس از نمونه‌گیری خون جهت جداسازی سرم، نمونه‌ها به مدت ۱۰ دقیقه و با سرعت ۲۵۰۰ دور در دقیقه در دمای ۲۰ درجه سانتی گراد سانتریفیوژ (سانتریفیوژ BOECOU-320R ساخت آلمان) شدند و سپس سرم‌ها در دمای -۸ درجه سانتی‌گراد فریز شدند پس از آن سرم‌ها به آزمایشگاه برده شد تا به وسیله کیت‌های الایزا (ساخت فرانسه) تجزیه شوند. داده‌ها با استفاده از نرم افزار SPSS نسخه ۱۶ تجزیه و تحلیل شد. جهت تعیین طبیعی بودن داده‌ها از آزمون شپیرو ویلک استفاده گردید. برای تعیین تاثیر فعالیت در هر دو شرایط هایپوکسی و نورموکسی از آزمون ANOVA دوطرفه مکرر (۲×۳) استفاده شد. برای تمام تحلیل‌های آماری $p \leq 0.05$ در نظر گرفته شد.

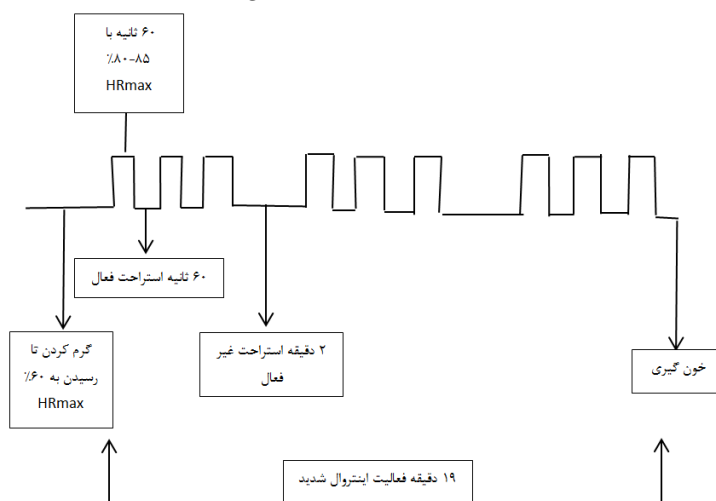
یافته‌ها

نتایج نشان داد تعامل معنی‌داری بین دو جلسه هایپوکسی و نورموکسی بر غلطت $F_{(2,16)} = ۳۰۰۲$ سرم وجود نداشت ($p = 0.078$). در نتیجه نشان می‌دهد که تفاوتی بین دو محیط از لحاظ میزان سطح Hb وجود ندارد (نمودار ۱).

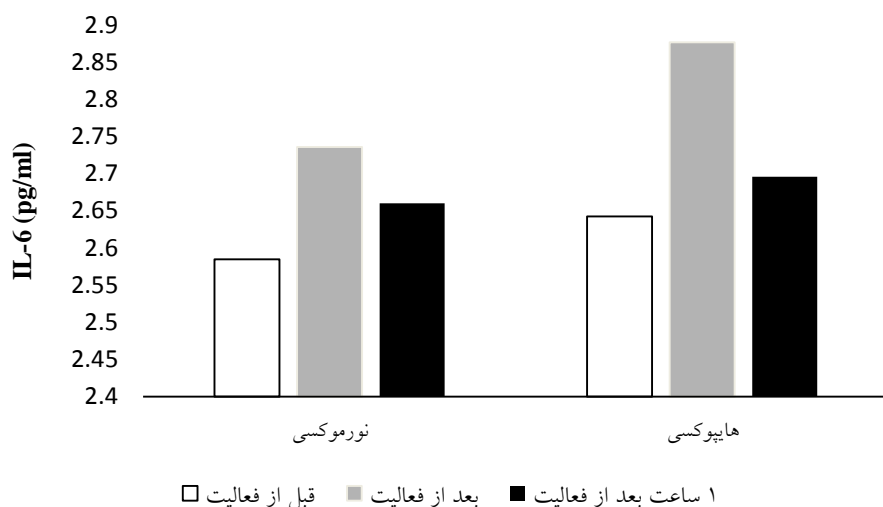
نتایج نشان داد تعامل معنی‌داری بین دو جلسه هایپوکسی و نورموکسی بر غلطت $F_{(2,16)} = ۸/۴۳۶$ سرم وجود دارد ($p = 0.003$). در نتیجه نشان می‌دهد که بین میزان سطح Hb سرم در اثر فعالیت اینتروال شدید در شرایط هایپوکسی و نورموکسی تفاوت وجود دارد (نمودار ۲).

میانگین قد $۱۷۶/۵ \pm ۵/۹۶$ سانتی‌متر، میانگین وزن $۶۹/۲۹ \pm ۱۰/۱۸$ کیلوگرم و درصد چربی بدنش $۱۵/۳۲ \pm ۵/۱۱$ بودند. آزمودنی‌ها فرم رضایت‌نامه و پرسش‌نامه عمومی و سلامت را تکمیل کردند. از آزمودنی‌ها خواسته شد ۴۸ ساعت قبل از اجرای آزمون از هر گونه فعالیت شدید پیش از شروع تحقیق خودداری کنند. آزمودنی‌های این تحقیق در دو جلسه شرکت کردند. در جلسه اول با کترول نوشیدن مایعات در قبل از آزمون و دادن صبحانه یکسان به آزمودنی‌ها و پس از ۲۰ دقیقه استراحت در شرایط آزمایشگاه ۱۹ دقیقه فعالیت ورزشی در شرایط نورموکسی را انجام دادند. در جلسه دوم با کترول نوشیدن مایعات در قبل از آزمون و دادن صبحانه یکسان به آزمودنی‌ها و پس از ۲۰ دقیقه استراحت در استراحت آزمودنی‌ها ۱۹ دقیقه فعالیت ورزشی در شرایط هایپوکسی (چادر هایپوکسی کاتور با دستگاه میکروپروسور BIOMEDTECH ساخت کشور استرالیا) با ۱۵ درصد اکسیژن معادل ارتفاع ۲۷۵۰ متر را انجام دادند. در حین آزمون و در زمان ریکاوری پس از آزمون میزان نوشیدن مایعات کترول شد.

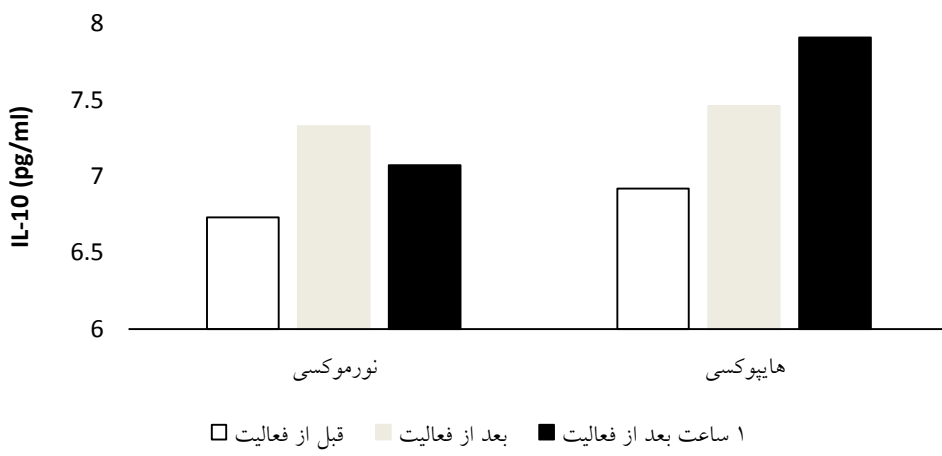
در هر جلسه از فعالیت، پس از بستن ضربان سنج الکتریکی برای آزمودنی‌ها گرم کردن بر روی دوچرخه (دوچرخه کارسنج مونارک ۸۳۹ ساخت هلند) انجام شد. گرم کردن بصورت شروع با بار کاری ۵۰ وات بود و هر دقیقه ۲۵ وات به بار کار اضافه می‌شد تا ضربان قلب به ۶۰ درصد ضربان قلب بیشینه برسد، سپس فعالیت را انجام دادند که شامل سه سری و هر سری شامل سه تکرار بود. در هر سری تکرارها شامل یک فعالیت ۶۰ ثانیه‌ای بر روی دوچرخه با شدت ۸۰-۸۵ درصد ضربان قلب بیشینه و یک استراحت ۶۰ ثانیه‌ای فعال برای برگشت ضربان قلب به ۶۰ درصد ضربان قلب بیشینه بصورت کاهش بار کاری با رکاب زدن روی



تصویر ۱. پروتکل فعالیت ورزشی



نمودار ۱. تغییرات IL-6 در پاسخ به فعالیت ایتروال شدید در شرایط هایپوکسی و نورموکسی



نمودار ۲. تغییرات IL-10 در پاسخ به فعالیت ایتروال شدید در شرایط هایپوکسی و نورموکسی

بحث

هایپوکسی کوتاه‌مدت و بلندمدت بصورت مطلق (هایپوکسی کوتاه‌مدت = $145W$ ، $54 VO_{2\text{max}}$ درصد و هایپوکسی بلندمدت = $104W$ ، $59 VO_{2\text{max}}$ درصد) و در شدت نسبی (هایپوکسی کوتاه‌مدت = $130W$ ، $46 VO_{2\text{max}}$ درصد و هایپوکسی بلندمدت = $120W$ و $44 VO_{2\text{max}}$ درصد) (Jong و Hagopian ۲۱)، و همکاران در ارتفاع 4300 متر در اثر فعالیت ورزشی با شدت $55 VO_{2\text{peak}}$ درصد و با مصرف آتنی اکسیدان ($18A$)، افزایش معنی داری در $IL-6$ در اثر فعالیت ورزشی و عدم تفاوت سطح آن را در شرایط هایپوکسی و نورموکسی گزارش نموده‌اند. این یافته‌ها با یافته تحقیق حاضر همخوانی دارد. در واقع نتیجه تحقیق حاضر مخالف یافته‌های Mazzeo و همکاران و Jong (Carsten ۲۰) و همکاران می‌باشد (۱۷ و ۲۲).

تحقیق حاضر نشان داد فعالیت ایتروال شدید در شرایط هایپوکسی روی دوچرخه ارگومتر منجر به افزایش معنی داری در میزان $IL-6$ نسبت به فعالیت در شرایط نورموکسی نشد. با وجود اینکه فعالیت موجب افزایش معنی داری در میزان $IL-6$ شد، اما این افزایش در شرایط هایپوکسی و نورموکسی با هم تفاوت معنی داری نداشت. Svendsen و همکاران در یک فعالیت دوچرخه‌سواری 75 دقیقه‌ای با 75 درصد $VO_{2\text{max}}$ ویژه ارتفاع در شرایط نورموکسی و هایپوکسی هایپوباریک معادل 2000 متر بالاتر از سطح دریا (19) و همکاران در 4 فعالیت 30 دقیقه‌ای با شدت 70 درصد ضربان قلب بیشینه در 4 شرایط هایپوکسی و نورموکسی (Khameneh ۲۰)، و همکاران در 60 دقیقه فعالیت با دوچرخه ارگومتر در سطح دریا ($154W$ ، $45 VO_{2\text{max}}$) و در شرایط

هوایی بصورت ۳۰ دقیقه دویدن با ۷۰ درصد ضربان قلب بیشینه را در ۴ وضعیت نورموکسی و هایپوکسی (در ارتفاع‌های ۲۷۵۰ متر، ۳۲۵۰ متر و ۳۷۵۰ متر) انجام دادند (۱۷). که موجب کاهش سطح IL-۱۰ در شرایط نورموکسی و در ارتفاع ۳۲۵۰ متر شد. که به نظر می‌رسد نوع فعالیت در این تحقیق موجب کاهش سطح IL-۱۰ شده است. که برای ویژگی‌های تنظیمی بر التهاب مفید است. اهمیت فعالیت شدید برای تولید الگوهای ضد التهابی نیز تایید شده است (۲۶).

قرار گرفتن در معرض ارتفاع بصورت کوتاه‌مدت پارامترهای ایمونولوژیکی را تغییر می‌دهد (۲۷). لنفوسیتها و فاگوسیت‌ها از طریق آزادسازی سایتوکاین‌ها به هایپوباریک سازگاری نشان می‌دهند (۲۸). یکی از سازوکارهایی که ممکن است موجب افزایش سطح IL-۱۰ باشد در آبشار سایتوکاینی ابتدا $\text{IL-1}\beta$ و TNF- α از محل التهاب آزاد و سپس IL-۶ و IL-۱۰ آزاد می‌شوند که اثر ضد التهابی IL-۱۰ باعث مهار IL-1 β و TNF- α می‌شود (۲۹). و همچنین در تحقیق استینسیرگ و همکاران (۲۰۰۳) نشان داده شده است که انقباض عضله اسکلتی در طول فعالیت بدنی موجب افزایش سطح IL-6 پلاسمای می‌شود که باعث افزایش سطح‌های دو سایتوکاین ضد التهابی IL-۱۰ و IL-1ra و IL-1 β و کورتیزول می‌شود که باعث تاخیر در افزایش CRP (C-reactive protein) پلاسمای می‌شود. بعلاوه نشان داده شده است که IL-۱۰ از لنفوسیت‌های T نوع ۲ ترشح می‌شود که برای افزایش ایمنی خون لازم می‌باشد. که می‌تواند مانع تولید سایتوکاین‌های تولیدی از لنفوسیت‌های T نوع ۱ شود. در نتیجه فعالیت بدنی در تعادل سایتوکاین‌های تولیدی از لنفوسیت‌های T نوع ۱ و ۲ موثر می‌باشد (۳۰). ورزش و هایپوکسی دو عامل متفاوت استرس‌زای مستقل برای سیستم ایمنی بدن هستند. پیشنهاد شده است که ورزش در شرایط هایپوکسی باعث استرس ایمنی برجسته‌تر از ورزش در شرایط سطح دریا می‌شود. علاوه بر ارتفاع بالا، ورزش یک تاثیر شدید و گذرا بر سیستم ایمنی برای هم‌هانگی ایمونولوژیک، سوخت و ساز بدن و پاسخ سمپاتو‌أدrenal به حفظ هموستانز دارد (۱۶).

نتیجه‌گیری

افزایش سایتوکاین‌های پیش التهابی با افزایش مارکرهای التهابی و همچنین بیماری‌های مزمن قلبی عروقی و متابولیک همراه است. واکنش‌های التهابی ممکن است موجب آپوپتوز یا نکروز سلول‌های عضله توسط ماکروفاژها یا سایتوکاین‌های التهابی شود (۲۴). و با توجه به افزایش سطح سایتوکاین‌ها در طول هایپوکسی کوتاه‌مدت و اینکه ورزشکاران ممکن است در ارتفاع پایین زندگی و تمرين کنند و در ارتفاع زیاد در شرایط رقابتی قرار بگیرند احتمال افزایش خطر التهاب وجود دارد که می‌تواند باعث اختلال در

نظر می‌سد تفاوت این دو تحقیق با تحقیق حاضر مربوط به نوع آزمودنی، شدت، نوع فعالیت، و مدت فعالیت در ارتفاع می‌باشد. در تحقیق Mazzeo و همکاران آزمودنی‌ها به مدت ۱۲ روز متواتی در ارتفاع ۴۳۰۰ مانندن و عصب آلفا-آدرنرژیک آنها نیز مسلود شده بود و با شدت $\text{VO}_{2\text{max}}$ ۵۰ درصد به مدت ۵۰ دقیقه روی دوچرخه فعالیت کردند. و در تحقیق Jong و همکاران همچنین یک گروه از آزمودنی‌ها در معرض 12O_2 درصد برای یک ساعت در روز، ۵ روز در هفته، برای ۸ هفته در چادر هایپوکسی تا واماندگی بر روی دوچرخه فعالیت داشتند (۲۲). در حالی که در تحقیق حاضر از ارتفاع شیوه سازی شده ۲۷۵۰ متری (۱۵ O_2) استفاده شد و آزمودنی‌ها تمرین کرده بودند و یک جلسه فعالیت در شرایط هایپوکسی با شدت ۸۵ HRmax درصد داشتند و هیچکدام از آزمودنی‌ها به واماندگی نرسیدند. چون در تحقیقات پیشین نشان داده است که میزان ارتفاع و مدت ماندگاری در ارتفاع و شدت و نوع فعالیت ورزشی عامل مهمی در پاسخ سایتوکاین‌ها می‌باشد و چون در تحقیق حاضر مدت ماندگاری در ارتفاع همچنین میزان ارتفاع کمتر از این دو تحقیق می‌باشد شاید به همین دلیل تفاوت معنی‌داری در میزان تولید IL-۶ در تحقیق حاضر بین دو محیط مشاهده نشود.

تحقیقات بسیاری اثر انواع و شدت‌های مختلف فعالیت بدنی را بر غلط نشان داده اند. ترکیبی از نوع، شدت و مدت فعالیت بدنی میزان افزایش IL-6 پلاسمایی ناشی از فعالیت بدنی را تعیین می‌کند. شواهد هم نشان داد که آسیب عضلانی برای افزایش IL-6 در طول ورزش مورد نیاز نیست (۱۰). در مقابل، پاسخ IL-6 به شدت ورزش حساس است و بطور غیر مستقیم با حجم عضله درگیر در فعالیت انقباضی مرتبط است (۲۳). بعلاوه گفته شده است که تا ۵۰ درصد تغییرات IL-6 با فعالیت بدنی با مدت ورزش توضیح داده می‌شود (۱۰).

همچنین در تحقیقات پیشین نشان داده شده است که سطح سایتوکاینی پایین تر ممکن است نشان‌دهنده فشار متabolیکی کمتر باشد که فرض شده میان هموستانز گلوکز و افزایش IL-6 در اثر فعالیت بدنی ارتباط وجود دارد. گفته شده که در دسترس بودن گلوکز برای عضلات فعل موجب کاهش در افزایش IL-6 پلاسمای می‌شود. بنابراین دلیل افزایش IL-6 در اثر فعالیت بدنی را نمی‌توان مرتبط با آسیب عضله یا التهاب دانست بلکه به محتوای گلیکوژن عضله قبل از فعالیت بدنی نیز وابسته می‌باشد (۲۴، ۲۵).

تحقیق حاضر نشان داد فعالیت اینتروال شدید در شرایط هایپوکسی روی دوچرخه ارگومتر منجر به افزایش معنی‌داری در میزان IL-۱۰ نسبت به فعالیت در شرایط نورموکسی شد. نتایج این تحقیق با یافته‌های Jong و همکاران، همسو و با تحقیق Khameneh و همکاران مخالف می‌باشد (۲۰ و ۱۷). در تحقیقی که Khameneh و همکاران انجام دادند آزمودنی‌ها ۴ جلسه فعالیت

منابع مالی

این تحقیق با هزینه شخصی نویسنده‌گان انجام شده است.

منافع متقابل

نویسنده‌گان این مقاله منافع متقابلی از تالیف یا انتشار این مقاله نداریم.

مشارکت مؤلفان

ز.پ، خ.ا و همکاران طراحی، اجرا و تحلیل نتایج مطالعه را برعهده داشته‌اند. همچنین مقاله را تالیف نموده و نسخه نهایی آن را خوانده و تایید کرده‌اند.

سیستم ایمنی شود، نظارت بر شدت فعالیت ورزشی در شرایط هایپوكسی اهمیت می‌یابد و می‌توان گفت که افزایش IL-6 و IL-10 در حین و پس از فعالیت بدنی با شدت مناسب ممکن است ساز و کاری موثر در جلوگیری از بیماری‌های مزمن و اختلالات التهابی همراه فعالیت بدنی در انسان باشد.

قدرتانی

از کلیه آزمودنی‌های حاضر در این پژوهش که ما را در انجام این مطالعه یاری رساندند، کمال سپاسگزاری را داریم. این مقاله بخشی از پایان نامه با شماره ۴۵۸۱/۲۰۰/۹۲/۸۷ مورخ ۹۲/۸/۷ می‌باشد.

ملاحظات اخلاقی

در این تحقیق آزمودنی‌ها فرم رضایت‌نامه را قبل از انجام پروتکل تکمیل نمودند.

References

- Pedersen A, Klarlund B, Hoffman-Goetz L. "Exercise and the immune system: regulation, integration, and adaptation." *Physiological reviews* 2000; **80**(3): 1055-1081.
- Nieman D C. "Does Exercise Alter Immune Function and Respiratory Infections?" *President's Council on Physical Fitness and Sports Research Digest* 2001; **36**(8): 78-84. doi: 10.1037/e603492007-001
- Nieman D C. "Immune response to heavy exertion." *Journal of applied physiology* 1997; **82**(5): 1385-1394. doi: 10.4135/9781412994149.n129
- Gleeson M, Nieman D C, Pedersen B K. "Exercise, nutrition and immune function." *Journal of sports sciences* 2004; **22**(1): 115-125. doi: 10.1080/0264041031000140590
- Finaud J. "Antioxidant status and oxidative stress in professional rugby players: evolution throughout a season." *International journal of sports medicine* 2006; **27**(02): 87-93. doi: 10.1055/s-2005-837489
- Sylvia L, Margolin K. "Cytokines in cancer immunotherapy." *Cancers* 2011; **3**(4): 3856-3893. doi: 10.3390/cancers3043856
- Jonathan P, Ken Nosaka K, Suzuki K. "Characterization of inflammatory responses to eccentric exercise in humans." *Exerc Immunol Rev* 2005; **11**: 64-85.
- Daniella M, Tyrrell R M, Thompson D. "Acute moderate-intensity exercise in middle-aged men has neither an anti-nor proinflammatory effect." *Journal of applied physiology* 2008; **105**(1): 260-265. doi: 10.1152/japplphysiol.00096.2008
- Petersen A, Pedersen B. "The role of IL-6 in mediating the anti-inflammatory." *J Physiol Pharmacol* 2006; **57**: 43-51.
- Bente K P, Febbraio M A. "Muscle as an endocrine organ: focus on muscle-derived interleukin-6." *Physiological reviews* 2008; **88**(4): 1379-1406. doi: 10.1152/physrev.90100.2007
- Pedersen A, Klarlund B. "Role of myokines in exercise and metabolism." *Journal of applied physiology* 2007; **103**(3): 1093-1098. doi: 10.1152/japplphysiol.00080.2007
- Pedersen A, Klarlund B. "Muscles and their myokines." *Journal of Experimental Biology* 2011; **214**(2): 337-346. doi: 10.1242/jeb.048074
- Ramiro Barcos N. "Physical exercise improves plasmatic levels of IL-10, left ventricular end-diastolic pressure, and muscle lipid peroxidation in chronic heart failure rats." *Journal of applied physiology* 2008; **104**(6): 1641-1647. doi: 10.1152/japplphysiol.00062.2008
- Marcia A Ch. "Influence of carbohydrate ingestion on cytokine responses following acute resistance exercise." *International journal of sport nutrition and exercise metabolism* 2003; **13**(4): 454-465. doi: 10.1123/ijsem.13.4.454
- Gordon F. "Lymphocyte enzymatic antioxidant responses to oxidative stress following high-intensity interval exercise." *Journal of Applied Physiology* 2011; **110**(3): 730-737. doi: 10.1152/japplphysiol.00575.2010
- Robert M S. "Altitude, exercise and immune function." *Exerc Immunol Rev* 2005; **11**(6): 6-16.
- Jong-Shyan W. "Chronic intermittent hypoxia modulates eosinophil-and neutrophil-platelet aggregation and inflammatory cytokine secretion caused by strenuous exercise in men." *Journal of Applied Physiology* 2007; **103**(1): 305-314. doi: 10.1152/japplphysiol.00226.2007

18. Hagopian T A. "Cytokine response at high altitude: effects of exercise and antioxidants at 4300 m." *Medicine and science in sports and exercise* 2006; **38**(2): 276. PMID: 16531896
19. Svendsen Ida S, Erlend H, Gleeson M. "Effect of acute exercise and hypoxia on markers of systemic and mucosal immunity." *European journal of applied physiology* 2016; **116**(6): 1219-1229. doi: 10.1007/s00421-016-3380-4
20. Khameneh S S, Alinejad H A, Kohanpour M A, Peeri M, Jafarabadi MA, Mirsepasi M, et al. Effect of Aerobic Activities in Hypoxia Situations on Interleukin-6 and Interleukin-10 Serums of Active Young Men. *Middle-East Journal of Scientific Research* 2012; **12**(8): 1136-1142. doi: 10.5829/idosi.mejsr.2012.12.8.7176
21. Carsten L, Steensberg A. "Interleukin-6 response to exercise during acute and chronic hypoxia." *European journal of applied physiology* 2004; **91**(1): 88-93. doi: 10.1007/s00421-003-0935-y
22. Mazzeo Robert S. "Interleukin-6 response to exercise and high-altitude exposure: influence of α -adrenergic blockade." *Journal of Applied Physiology* 2001; **91**(5): 2143-2149. PMID: 11641355
23. Fischer Christian P. "Supplementation with vitamins C and E inhibits the release of interleukin-6 from contracting human skeletal muscle." *The Journal of physiology* 2004; **558**(2): 633-645. doi: 10.1111/j.physiol.2004.066779
24. Steinacker Jürgen M. "New aspects of the hormone and cytokine response to training." *European journal of applied physiology* 2004; **91**(4): 382-391. doi: 10.1007/s00421-003-0960-x
25. Nehls-Cannarella S L. "Carbohydrate and the cytokine response to 2.5 h of running." *Journal of Applied Physiology* 1997; **82**(5): 1662-1667. PMID: 9134917
26. Wang J. "Effect of exercise training intensity on murine T-regulatory cells and vaccination response." *Scandinavian journal of medicine & science in sports* 2012; **22**(5): 643-652. doi: 10.1111/j.1600-0838.2010.01288.x
27. Lemos De A, Valdir K. "Can high altitude influence cytokines and sleep?" *Mediators of inflammation* 2013; **2013**: 1-8. doi: 10.1155/2013/279365
28. Monica F. "Modulation of immune response by the acute and chronic exposure to high altitude." *Med Sci Sports Exerc* 2005; **37**(5): 768-774. doi: 10.1249/01.mss.0000162688.54089.ce
29. Steensberg A. "IL-6 enhances plasma IL-1ra, IL-10, and cortisol in humans." *American Journal of Physiology-Endocrinology and Metabolism* 2003; **285**(2): E433-E437. doi: 10.1152/ajpendo.00074.2003
30. Michael G. "Immune function in sport and exercise." *Journal of applied physiology* 2007; **103**(2): 693-699. doi: 10.1152/japplphysiol.00008.2007

Original Article

The protective effect of Hepatitis B vaccine in 12 to 24 months old vaccinated children referred to Tabriz children Hospital

Asemeh Teymouri Bilesuar¹ , CHangiz Ahmadizadeh^{1*} , SHahram Abdoli Oskouie²

¹Department of Microbiology, Islamic Azad University of Ahar, Ahar, Iran.

²Department of Pediatric Infectious Diseases, Children Health Research Center, Tabriz University of Medical Sciences, Iran.

*Corresponding author; E-mail: dr_Ahmadizade@yahoo.com

Received: 31 December 2016 Accepted: 9 March 2017 First Published online: 17 January 2019

Med J Tabriz Uni Med Sciences Health Services. 2019 February-March; 40(6):36-41

Abstract

Background: Vaccination is one of the most effective methods of prevention of hepatitis B throughout the world. The aim of this study was to check the level of HBsAb after vaccination in vaccinated 12 to 24 months children referred to Children's hospital in Tabriz.

Methods: This descriptive, cross-sectional study was carried out on 200 children 12 to 24 months randomly. The questionnaires were filled out through interviews with children, for data collection: and child's characteristics nutrition, were recorded. 5ml blood sample were taken, then antiHBs experiment was done quantitatively with the ELISA method, manufactured And values above 10IU/ml were considered as the optimal safety level. Data were analyzed using statistical software spss-17 and t-test and Pearson correlation coefficient.

Results: 93.5% of studied children over 10 IU/ml Anti-HBs and showed respond to vaccination. Considering antibody titer There was not statistically significant with sex of children and weight gestational age of the mothers, type of feeding (breast milk and formula), gestational age, birth weight, Type of labor ($p>0.05$). Anti-HBsAb titers were related to the age of children ($p=0.001$). The immunity level decreased with increasing age. 6.5% of children were not safe.

Conclusion: This study showed that safety caused by total injection of hepatitis B vaccine is desirable according to National vaccination program.

Keyword: Hepatitis B virus -vaccination -12 to 24 months children -HBsAb.

How to cite this article: Teymouri Bilesuar A, Ahmadizadeh CH, Abdoli Oskouie SH. [The protective effect of Hepatitis B vaccine in 12 to 24 months old vaccinated children referred to Tabriz children Hospital]. Med J Tabriz Uni Med Sciences Health Services. 2019 February-March;40(6): 36-41. Persian.

مقاله پژوهشی

اثر حفاظتی واکسن هپاتیت B در کودکان واکسینه شده ۱۲ تا ۲۴ ماهه مراجعه کننده به بیمارستان کودکان تبریز

عاصمه تیموری بیله سوار^۱، چنگیز احمدی زاده^{۱*}، شهرام عبدالی اسکوئی^۲

^۱ گروه میکروبیولوژی، دانشگاه آزاد اسلامی واحد اهر، اهر، ایران.

^۲ گروه بیماریهای عفونی کودکان، مرکز تحقیقات سلامت کودکان، دانشگاه علوم پزشکی تبریز، ایران.
* نویسنده مسئول؛ ایمیل: dr_Ahmadizade@yahoo.com

دریافت: ۱۳۹۵/۱۰/۱۱ پذیرش: ۱۳۹۵/۱۲/۱۹ انتشار برخط: ۱۳۹۷/۱۰/۲۷
مجله پزشکی دانشگاه علوم پزشکی و خدمات بهداشتی - درمانی تبریز. ۱۳۹۷ بهمن و اسفند؛ ۴۰(۶):۳۶-۴۱.

چکیده

زمینه: واکسیناسیون یکی از مؤثرترین روش‌های پیشگیری از بیماری هپاتیت B در سرتاسر دنیا می‌باشد. هدف از این مطالعه بررسی سطح HBsAb بعد از واکسیناسیون در کودکان واکسینه شده ۱۲ تا ۲۴ ماهه مراجعه کننده به بیمارستان کودکان شهر تبریز است.

روش کار: این مطالعه توصیفی - مقاطعی روی ۲۰۰ کودک ۱۲ تا ۲۴ ماهه به صورت کاملاً تصادفی انجام گردید. جهت گردآوری داده‌ها، پرسشنامه‌ها از طریق مصاحبه با والدین تکمیل شدند و مشخصات کودک ثبت گردید. از هر کودک ۵ سی سی خون گرفته شد، سپس antiHBs با روش الیزا و به طور کمی اندازه‌گیری و مقادیر بالاتر از ۱۰ IU/ml به عنوان سطح ایمنی مطلوب در نظر گرفته شد. داده‌ها با استفاده از نرم افزار آماری SPSS ۱۷- و آزمون آماری t و ضربی همبستگی پیرسون مورد تجزیه و تحلیل قرار گرفت.

یافته‌ها: در افراد مورد مطالعه ۹۳/۵٪ بالای واحد بین المللی antiHBs داشتند و پاسخ به واکسیناسیون را نشان می‌دادند. ارتباط معنی‌داری بین عیار آنتی‌بادی با جنسیت، وزن کودک، سن مادر موقع زایمان، نوع تغذیه (شیر مادر و شیر خشک)، سن حاملگی، وزن هنگام تولد و نوع زایمان مادر وجود نداشت ($P > 0.05$). بین میزان ایمن بودن با سن کودکان رابطه آماری معنی دار برقرار بود ($P = 0.001$). با افزایش سن کودکان میزان ایمنی آنها کاهش داشت. ۶/۵٪ کودکان از ایمنی برخوردار نبودند.

نتیجه گیری: این مطالعه نشان داد که ایمنی ایجاد شده در اثر تزریق کامل واکسن هپاتیت B طبق برنامه کشوری مطلوب می‌باشد.

کلید واژه‌ها: ویروس هپاتیت B، واکسیناسیون، کودکان ۱۲ تا ۲۴ ماهه، آنتی‌بادی ضد HBs.

نحوه استناد به این مقاله: تیموری بیله سوار، احمدی زاده، عبدالی اسکوئی ش. اثر حفاظتی واکسن هپاتیت B در کودکان واکسینه شده ۱۲ تا ۲۴ ماهه مراجعه کننده به بیمارستان کودکان تبریز. مجله پزشکی دانشگاه علوم پزشکی و خدمات بهداشتی - درمانی تبریز. ۱۳۹۷ بهمن و اسفند؛ ۴۰(۶):۳۶-۴۱.

حق تأثیف برای مؤلفان محفوظ است.

این مقاله با دسترسی آزاد توسط دانشگاه علوم پزشکی و خدمات بهداشتی - درمانی تبریز تحت مجوز کریتو کامنز (Creative Commons License) منتشر شده که طبق مفاد آن هرگونه استفاده تنها در صورتی مجاز است که به اثر اصلی به نحو مقتضی استناد و ارجاع داده شده باشد.

مقدمه

اختلالات نقص ایمنی و ناکافی بودن اطلاعات موجود در مورد سلامت کودک. از کودکان ۵ سی سی خون گرفته شد و پس از ساترینفوژ، سرم آن به آزمایشگاه بیمارستان کودکان منتقل و با روش الایزا آنتی‌بادی تیترار شد. در نگهداری و انتقال نمونه سرم شرایط لازم رعایت شده است. تیتر آنتی‌بادی ضد HBsAg بطرور کمی با استفاده از کیت ساخت شرکت DIA.PRO ایتالیا اندازه-گیری شد. تیتر آنتی‌بادی بالاتر از ۱۰ واحد بین‌المللی مثبت در نظر گرفته شد و نشان دهنده ایمنی کودک بود. اطلاعات با استفاده از نرم افزار آماری SPSS و با توجه به اینکه نتایج توزیع نرمال داشتند، برای مقایسه نتایج از آزمون آماری t-test و برای تعیین همبستگی بین آنها از ضریب همبستگی پرسون استفاده شد و $P < 0.05$ معنی‌دار در نظر گرفته شد.

یافته‌ها

وجود Anti-HBs در ۲۰۰ کودک ۱۲ تا ۲۴ ماهه شامل ۱۱۲ پسر (۵۶٪) و ۸۸ دختر (۴۴٪) مورد مطالعه قرار گرفت. از این تعداد ۱۸۷ نفر (۹۳٪) نسبت به ویروس هپاتیت B ایمن، یعنی دارای تیتر آنتی‌بادی بالاتر از ۱۰ واحد بین‌المللی بودند و ۱۳ نفر (۶٪) از این کودکان ایمن نبودند. از ۱۳ کودک، ۴ نفر دختر و ۹ نفر پسر بودند جدول ۱.

اختلاف بین میزان آنتی‌بادی و جنس معنی‌دار نبود ($P > 0.05$) جدول ۲. نفر از شیر مادر (۷۸٪) و ۴۳ نفر از شیر خشک (۲۱٪) استفاده می‌کردند. بین سطح آنتی‌بادی ضد هپاتیت B و نوع تغذیه رابطه آماری معنی‌داری یافت نشد ($P > 0.05$) و سطح آنتی‌بادی ضد هپاتیت B در نوزادان شیر خشک و شیر مادر برابر می‌باشد جدول ۲.

جدول ۱: توزیع فراوانی سطح سرمی آنتی‌بادی ضد هپاتیت B (Anti-HBs)

درصد	تعداد	پسر	دختر	سطح (واحد در لیتر)
۶۵	۱۳	۹	۴	۰-۱۰
۵۲	۱۰۴	۵۵	۴۹	۱۰-۱۰۰
۴۱/۵	۸۳	۴۸	۳۵	بالاتر از ۱۰۰
۱۰۰	۲۰۰			

جدول ۲: نتایج آزمون T دو نمونه مستقل سطح آنتی‌بادی ضد هپاتیت B بر حسب جنس، تغذیه و زایمان

آزمون آماری	انحراف معیار	میانگین	سطح آنتی‌بادی	ضد هپاتیت B	جنس	پسر
$P = 0.907$	۱/۴۶	۴/۲۳	دختر	شیرمادر	تغذیه	
	۱/۵۳	۴/۲۵				
$P = 0.613$	۱/۴۲	۴/۲۷	شیرخشک	سزارین	زایمان	
	۱/۷۱	۴/۱۴				
$P = 0.140$	۱/۵۷	۴/۱۳	طبیعی			
	۱/۲۹	۴/۲۶				

ویروس هپاتیت B عامل مهم ایجاد بیماری‌های کبد و از جمله سلطان کبد در انسان می‌باشد (۱). در حال حاضر بیش از ۵۰۰ میلیون نفر در سراسر جهان به ویروس هپاتیت B مبتلا هستند و سالیانه یک میلیون نفر به علت عوارض آن می‌میرند (۲). این بیماری سردهسته علل هپاتیت مزمن، سیروز و کارسینوم هپاتوسولولار است (۲). سه راه عمده انتقال هپاتیت B عبارتند از: تماس با خون و فرآورده‌های خونی آلوده، انتقال از مادر به جنین، تماس جنسی (۴). بر اساس مطالعات انجام شده ایران جزء کشورهای با شیوع متوسط محسوب می‌گردد (۷). تعداد حاملین این ویروس در ایران به طور متوسط حدود ۰.۳٪ می‌باشد (۵). واکسیناسیون همگانی در برابر HBV مؤثرترین راه پیشگیری از عفونت HBV می‌باشد و به صورت روتین برای نوزادان و گروه‌های پرخطر از سال ۱۹۹۲ در ایران در نظر گرفته شده است (۷).

بر اساس برنامه ملی واکسیناسیون ایران دوز اول واکسن HBV در عرض ۲۴ ساعت اول تولد و دوزهای بعدی در سنین ۲ و ۶ ماهگی تجویز می‌گردد (۱۱). کودکان نارس با وزن تولد زیر ۲ کیلوگرم یک دوز اضافی در یک ماهگی دریافت می‌کنند (۹). در حال حاضر درمان قاطعی برای عفونت حاد یا مزمن هپاتیت B وجود ندارد ولی واکسیناسیون در نوزادان می‌تواند از شیوع این بیماری بکاهد (۱۲). واکسیناسیون هپاتیت B در سن ۹۵ تا ۸۵ درصد کودکان ایمنی ایجاد می‌کند (۸، ۱۰، ۱۳). ولی عواملی می‌تواند روی سطح ایمنی ایجاد شده و طول مدت آن تأثیر داشته باشد (۱۴، ۱۵). ملاک ایجاد ایمنی مناسب در واکسیناسیون هپاتیت B ایجاد سطح مناسب HBsAb در سرم است که هر چه غلظت آنتی‌بادی تولیدی بیشتر باشد اینمی حاصله مناسب‌تر است لذا بررسی سطح ایمنی ایجاد شده بعد از واکسیناسیون جهت بررسی کارایی واکسیناسیون لازم است (۱۲). هدف از این مطالعه بررسی سطح HBsAb بعد از واکسیناسیون در کودکان واکسینه شده ۱۲ تا ۲۴ ماهه مراجعة کننده به بیمارستان کودکان شهر تبریز است.

روش کار

این مطالعه توصیفی - مقطعی روی ۲۰۰ کودک در گروه سنی ۱۲-۲۴ ماهه مراجعة کننده به بیمارستان کودکان تبریز در سال ۱۳۹۴ انجام شد. کسب رضایت سازمانی از مسئولین ذیربط و رضایت شفاهی از اولیای کودکان مراجعة کننده برای شروع پژوهش، جلب اطمینان افراد مورد مطالعه که تمامی اطلاعات آنها به صورت محروم‌های باقی می‌ماند انجام یافت. مشخصات کودک و اطلاعات مورد نیاز مانند (سن، جنس، وزن، تغذیه کودک)، سن مادر موقع زایمان، سن حاملگی و نوع زایمان) با توجه به اظهارات والدین یا کارت رشد کودک، ثبت گردید. شرایط خروج از مطالعه عبارت بودند از: مثبت بودن HBsAg، ناکافی بودن نمونه دریافتی،

در مشهد میزان ایمنی بعد از واکسیناسیون هپاتیت B در کودکان ۵٪ بود (۱۶) و در مطالعه Garcia Liop و همکاران در اسپانیا ۸۱٪ سال بعد از اولین دوز واکسن هپاتیت ۷۵٪، بعد از ۷-۶ سال ۶٪ کودکان از ایمنی برخوردار بودند (۲۴). Gold و همکاران گزارش کردند. که ۱۱٪ کودکان، ۸ سال بعد از واکسیناسیون سطوح قابل اندازه گیری آنتی بادی (بیش از $10^10 \text{ mIU}/\text{ml}$) را دارا بودند که در $48/4\%$ آنها سطوح بالای آنتی بادی (بیش از $10^10 \text{ mIU}/\text{ml}$) یافت گردید و بین تیتر HBsAb و سن حاملگی و وزن هنگام پیدا نشد که با یافته مطالعه ما همخوانی دارد (۱۷). در مطالعه Sood و همکاران پاسخ خوب آنتی بادی (تیتر $>10^10 \text{ mIU}/\text{ml}$) با سن حاملگی ارتباط داشت اما در مطالعه ما هیچگونه ارتباطی بین میزان موارد مثبت شدن تیتر آنتی بادی با وزن تولد و سن حاملگی مشاهده نگردید (۱۸). در مطالعه Whittle در لندن اثر بخشی واکسن هپاتیت B به میزان 80% محاسبه گردید (۲۰). و در مطالعه Sallam در یمن این میزان $83/5\%$ بود (۲۱). در مطالعه صالحی در زاده ایان میزان مثبت شدن Anti-HBs بود (۲۲). و در مطالعه Afsharian و همکاران در کرمانشاه پاسخ ایمنی به واکسن هپاتیت B حدود $69/3\%$ بود. همچنین بین پاسخ ایمنی به واکسن و متغیر سن از نظر آماری رابطه معنادار وجود نداشت که با مطالعه حاضر همخوانی ندارد (۲). در مطالعه Zahedpasha و همکاران در بابل تفاوتی از نظر پاسخ آنتی بادی به واکسن هپاتیت B در گروه نارس و رسیده مشاهده نشد ولی در کل نوزادان، متوسط تیتر آنتی بادی در نوزادان پسر بالاتر از دخترها بود که این تفاوت نیز از نظر آماری معنی دار بود (۲۵). در مطالعه انجام شده توسط Rafiee و همکاران در تبریز، تفاوت معنی داری از نظر میزان مثبت شدن تیتر آنتی بادی در نوزادان نارس و رسیده مشاهده نشد ولی اختلاف نسبتاً معنی دار وزن موقع تولد و تیتر آنتی بادی در یک سالگی وجود داشت (۲۷). در مطالعه Mostafavizadeh و همکاران در شهرکرد، بعد از یک دوره ۵-۶ ساله، کودکان تیتر آنتی بادی در حد حفاظت کننده علیه بیماری هپاتیت B ندارند همچنین در بررسی تفکیکی عواملی مانند جنس، دفعات تزریق واکسن در نتیجه دخالت دارند که با مطالعه ما همخوانی ندارد (۲۹). بر اساس یافته های بین سن کودکان و میزان ایمنی آنها رابطه وجود داشت یعنی با افزایش سن در کودکان مورد مطالعه میزان ایمنی آنها پایین آمده بود. در مطالعه ای که توسط Esmaeili و همکاران انجام شد میزان تولید HBsAb در کودکان با وزن تولد کم، پایین تر از کودکان دارای وزن تولد طبیعی بود؛ همچنین با افزایش سن در هر دو گروه خصوصاً در گروه کودکان طبیعی، تیتر آنتی بادی کاهش نشان داده است که با مطالعه حاضر همخوانی دارد (۱۹). در مطالعه Ahmadi و همکاران در بندرعباس عیار پادتن در محدوده سنی $15-12$ ماهگی بیشتر از محدوده سنی $24-21$ ماهگی بود. $47/34\%$ از کودکان گروه اول و $20/8\%$ از

بیشترین نوع زایمان با تعداد ۱۳۳ نفر (۶۶٪) با روش سزارین بود. همانطور که در جدول ۲ مشاهده می شود، بین نوع زایمان با سطح آنتی بادی ضد هپاتیت B رابطه معنی داری وجود ندارد. ۷ کودک (۳٪) قبل از هفته ۳۳ حاملگی و ۱۹۳ کودک (۹۶٪) بعد از هفته ۳۴ حاملگی بدنی آمده بودند. نتایج آزمون همبستگی پیرسون بیانگر آن است، رابطه معنی داری بین سن حاملگی با سطح آنتی بادی ضد هپاتیت B وجود ندارد و همبستگی خیلی ضعیفی وجود دارد جدول ۳. از این تعداد، نفر $80/40\%$ حین خونگیری وزن کمتر از 10 کیلوگرم و 120 کیلوگرم بین $10-15 \text{ کیلوگرم}$ وزن داشتند. بین وزن کودکان با سطح آنتی بادی ضد هپاتیت B رابطه معنی داری وجود ندارد جدول ۳. اختلاف معنی داری بین سن مادر موقع زایمان و وزن کودک در بد و تولد با سطح آنتی بادی ضد هپاتیت B وجود نداشت (P<0/05) جدول ۳.

۱۰ نفر در بازه سنی $12-17$ ماه (۵٪) و $95 \text{ نفر} / 47/5\%$ در بازه سنی $22-24$ ماه قرار داشتند. نتایج آزمون ضریب همبستگی پیرسون بیانگر آن است که با اطمینان ۹۹ درصد و سطح خطای کمتر از ۱ درصد رابطه معناداری بین سن کودکان مورد مطالعه با سطح آنتی بادی ضد هپاتیت B وجود دارد (P=0/001) جدول ۴.

جدول ۳: نتایج آزمون پیرسون بین متغیرهای مورد مطالعه با سطح آزمون آماری

p	سطح آنتی بادی ضد هپاتیت B	ضریب همبستگی پیرسون	آزمون آماری
۰/۱۴۶	وزن کودک	۰/۱۰۳	
۰/۸۷۱	سن مادر موقع زایمان	۰/۰۱۲	
۰/۷۸۶	سن حاملگی	۰/۰۱۹	
۰/۰۶۵	وزن کودک بدو تولد	۰/۱۳۱	

جدول ۴: نتایج آزمون پیرسون بین سن کودکان با سطح آنتی بادی ضد هپاتیت B

p	ضریب همبستگی پیرسون	آزمون آماری
** $0/273$	$0/001$	

* سطح معناداری یک درصد

بحث

بر اساس یافته های این پژوهش در $6/5\%$ کودکان سطح آنتی بادی هپاتیت B به پایین تر از حد محافظتی افت پیدا کرده و این کودکان از ایمنی کافی برخوردار نبودند در حالیکه درصد بالایی از کودکان در این سنین دارای ایمنی بودند بین میزان ایمن بودن با سن کودکان رابطه آماری معنی داری وجود داشت و میزان ایمنی با جنسیت، وزن، تغذیه، سن حاملگی، زایمان، سن مادر موقع زایمان ارتباط آماری معنی دار نداشت. در مطالعات دیگر نیز سطح ایمنی اکثر کودکان علیه هپاتیت B در این سنین نسبتاً بالا گزارش شده است. از جمله در مطالعه Fethulleh poor و همکاران در سنندج AzarKar ۹۳٪ از کودکان مورد بررسی ایمن بودند (۱۲). مطالعه

پیشنهاد می‌شود کودکانی که به واکسن پاسخ نداده‌اند، از نظر سیستم ایمنی و زمینهٔ ژنتیک بررسی شوند و واکسیناسیون مجدد سه نوبتی را دریافت کرده و مجددًا تیتر آنتی‌بادی در آنها مورد بررسی قرار گیرد. همچنین شیوهٔ تلقیح واکسن، شرایط نگهداری و طریقهٔ حمل و نقل آن کترول شود و مطالعات دیگر با تعداد نمونه بیشتری انجام پذیرد.

نتیجه‌گیری

این مطالعه نشان داد که ایمنی ایجاد شده در اثر تزریق کامل واکسن هپاتیت B طبق برنامهٔ کشوری مطلوب می‌باشد.

قدرتدانی

بدینویسیله از خدمات ریاست محترم مرکز آموزشی درمانی کودکان شهر تبریز و معاونت آموزشی و پژوهشی دانشگاه آزاد اسلامی واحد اهر صمیمانه سپاسگزاری می‌شود. همچنین از کلیه پرسنل و کارکنان محترم آزمایشگاه بیمارستان کودکان تبریز و نمونه‌گیران و والدین کودکان مورد مطالعه و تمامی کسانی که در طول اجرای این پژوهش ما را رایی کردند تقدیر و تشکر می‌نماییم. شایان ذکر است که این مقاله حاصل پایان نامه کارشناسی ارشد خانم عاصمهٔ تیموری با کد پایان نامه ۲۰۱۰۷۹۳۱۰۲۱، دانشگاه آزاد اسلامی واحد اهر می‌باشد.

ملاحظات اخلاقی

پروتکل این مطالعه با اخذ رضایت نامه از والدین و رعایت کلیه موازین اخلاق پزشکی و امانت داری در اطلاعات بیماران انجام شده است.

منابع مالی

حمایت مالی از این طرح تحقیقاتی صورت نپذیرفته است.

مشارکت مؤلفان

ع. ت. چ. ا. و همکاران طراحی، اجرا و تحلیل نتایج مطالعه را بر عهده داشت.

منافع متقابل

منافع متقابلی از تأثیف یا انتشار این مقاله وجود ندارد.

References

1. Kharazi F, Darvyy F, Mahdavi M, Nazaran M H. Efficacy of Ajc-F nano-complex in the improvement of hepatitis B vaccine immunogenicity. *Medical Sciences* 2014; **24**(1): 22.
2. Afsharian M, Gaderi M, Vaziri S, Legayi Z, Gadiri K, Janbakhsh A R, et al. Immune response to hepatitis B vaccine in 6-7 years old children vaccinated at birth.

کودکان گروه دوم عیار پادتن کمتر از 10 mIU/ml داشتند، عیار پادتن با افزایش سن کاهش می‌یابد و با مطالعه حاضر همچومنی دارد (۲۲). در مطالعه Izadi و همکاران در تهران، سطوح آنتی‌بادی حفاظتی در ۶۵٪ کودکان یک ساله واکسینه یافته شد که به ۳۰٪، %۲۹ رسید. میزان آنتی‌بادی حفاظتی بطور معنی‌داری با افزایش سن به جهت افت تیتر AntiHBs کاهش یافته بود (۱۱). در مطالعه رضایی در سمنان سطوح آنتی‌بادی پس از واکسیناسیون به ترتیب در ۸۸٪ از کودکان کمتر از ۵ سال، ۷۸٪ بین ۵ تا ۱۰ سال و ۷۴٪ در بیشتر از ۱۰ سال کاهش یافته است (۲۶). مطالعه Rafizadeh و همکاران در زنجان نشان داد که ۵ سال پس از واکسیناسیون، کودکان در ۵۲٪ موارد کاهش شدید AntiHBs داشته‌اند (۲۸). در مطالعه Yao و همکاران در چین، سطح مثبت Anti-HBs در کودکان ۱۱-۱۵ ساله ۶۸٪ بود که سطح حفاظتی با سرعت بیشتری کاهش یافته است به طوری که به دوز بوستر واکسیناسیون نیاز دارند (۳۰). مطالعه حاضر نیز مؤید این امر است که با گذشت زمان از میزان تیتر آنتی‌بادی در کودکان کاسته شده و سطح ایمنی با بالا رفتن سن کودکان کاهش یافته است. این امر نشان‌دهنده ضرورت برنامه‌ریزی جهت پیشگیری از این بیماری در سینین بالاتر به علت کاهش میزان ایمنی اکتسابی از طریق واکسن است. با توجه به نتایج بدست آمده، علت عدم پاسخ‌دهی تعدادی از کودکان می‌تواند به علت دلایل نقص در سیستم ایمنی، نداشتن زمینهٔ ژنتیکی مناسب برای پاسخ‌دهی، عدم رعایت شرایط نگهداری واکسن (یخ زدن واکسن)، نوع واکسن به کار رفته و تکنیک غلط تزریق باشد. بررسی این عوامل در این مطالعه امکان‌پذیر نبود و با توجه به نتایج این پژوهش به نظر می‌رسد ضروری است که بررسی‌های بیشتری در این مورد به عمل آید. در این مطالعه گرچه ایمنی در درصد بالایی از کودکان وجود داشت اما ۶/۹٪ کودکان در این سینین، دچار افت سطح آنتی‌بادی کمتر از حد پیشگیرانه بودند و از ایمنی علیه این بیماری وخیم برخوردار نبودند که این مطلب می‌تواند برای سلامت کودکان که آینده‌سازان جامعه می‌باشند تهدیدی به حساب آید و آنان را مستعد ابتلا به این بیماری سازد. بنابراین لازم است که مسئولین سلامت جامعه در رابطه با پیشگیری از ابتلای این بخش از جامعه به ویژه در مناطقی که میزان بروز بیماری بالاست، درصد برنامه‌ریزی های مؤثرتری برآیند و مطالعاتی از این قبیل در مناطق مختلف انجام گیرد تا بتوان بر اساس آن تصمیمات جامع و فراغیر در سطح کشور اتخاذ کرد.

Journal of Kermanshah University of Medical Sciences 2011; **15**(6): 481-484.

3. Aminian, F, Nikkhahan B, Nazari R. Immune response to Hepatitis B vaccine in health care workers Amol 2013. *J Mazandaran Univ Med Sci* 2014; **24**(14): 158-162.

4. Murray P R, Rosenthal K S, Kobayashi G S. editors. Medical Microbiology, 4th ed. New York. Raven Press 2005: 146-185.
5. Azizi F, Malekzade R, Janghorbani M, Hatami H. *Epidemiology and control of the common diseases in Iran*. 1st ed. Tehran, Eshtiagh Publication 2001: 714-742.
6. Vaziri S, Khanahmadi A, Najafi F, Khazaei S. Comparison of protective antibody level against hepatitis B in accelerated and conventional vaccination. *Journal of Gorgan University of Medical Sciences* 2012; **14**(2): 48-51.
7. Merat S, Rezvan H, Nouraei M, Jamali A, Assari S, Abolghasemi H, et al. The prevalence of hepatitis B surface antigen and anti-hepatitis B core antibody in Iran: a population-based study. *Arch Iran Med* 2009; **12**(3): 225-231. doi:10.1016/j.ijid.2009.11.032.
8. Van Damme P, Cramm M, Safary A. Heat stability of a recombinant DNA hepatitis B vaccine. *Vaccine* 1992; **10**: 366-367. doi:10.1016/0264-410X(92)90064-Q.
9. Jain A K, Mittal S K, Ramjis Chakravarti A. Hepatitis B vaccine in the EPI schedule. *Indian J Pediatric* 2005; **72**(8): 661-664. doi:10.1007/BF02724073.
10. Maurean M, Jonas M D. Viral hepatitis walker pediatric gastrointestinal disease pathophysiology diagnosis. Management. 3rd ed. Mosby 2000; 939-964. doi: 10.1016/S0016-5085(00)70066-7.
11. Izadi N, Aghakhani A, Banifazl M, Sofian M, Mahdaviani F, Islamifar A, et al. continuation of hepatitis B antibodies in vaccinated children in areas with low end emicity. *Journal of Infectious Diseases and Tropical Medicine* 2009; **14**(47): 39-42. doi:10.1016/j.ijid.2010.02.1992.
12. Fethullehpour A, Hematpour S, Gaderi A. The study of protective effect of Hepatitis B vaccine in 12 to 24 months old vaccinated children of sanandaj. *Journal of Infectious Diseases and Tropical Medicine* 2008; **13**(41): 65-70.
13. Alavian M. *The guideline for hepatitis and liver diseases in Iran*. Persian. Tehran. Noredanesh Pub, 2003; 68-72. doi: 10.18869/acadpub.ibj.21.3.197.
14. Chang M H. Poor response to HBV vaccination and strategies to enhance immunogenicity. *Journal of Gastroenterology and Hepatology* 2004; **19**: 131-132. doi: 10.1111/j.1440-1746.2004.03663.X.
15. Kazemi A N, Azizi N. To evaluate the effectiveness of hepatitis B vaccination after three doses of the vaccine in children in Zanjan in 1997. *Journal of Zanjan University of Medical Sciences* 1998; **29**: 38-41.
16. AzarKar Z. Efficacy of Hepatitis B vaccine in children from 12 to 16 months in Mashhad health centers. *The Journal of Qazvin Univ of Med Sci* 2004; **29**: 38-41.
17. Gold Y, Somech R, Mandel D, Peled Y, Reif S. Decreased immune response to hepatitis B eight years after routine vaccination in Israel. *Acta Pediatric* 2003; **92**(10): 1158-1162.
18. Sood A, Sing D, Mehta S, Midha V, Kumar R. Response to hepatitis B vaccine in preterm Babies. *Indian J Gastroenterology* 2002; **21**(2): 52-54. doi:10.1007/S12664-010-8004-Z.
19. Esmaeli doki M, Zahedpasha Y, Mahdavi A, Haji Ahmadi. The effect of hepatitis B vaccination in low birth weight and normal. *Journal of Babol University of Medical Sciences* 2003; **5**(2): 14-18.
20. Whittle H, Jaffar S, Wansbrough M, Mendy M, Dumpis U, Collinson A, Hall A. Observational study of vaccine efficacy 14 years after trial of hepatitis B vaccination in Gambian children. *BMJ* 2002; **325**(7364): 569. doi: 10.1136/bmj.325.7364.569.
21. Sallam T A, Alghshm H M, Ablohom A A, Alarosi M S, Almotawakel R E, Farea N H, et al. Immune response to Hepatitis B vaccine among children in Yemen. *Saudi Med J* 2005; **26**(2): 281-284.
22. Ahmadi M, Moosavi S M, Jahanfar F. Comparison of antibody level in post hepatitis B vaccination with 12-15 and 21-24 months age. *Journal of Gorgan University of Medical Sciences* 2012; **14**(2): 65-68.
23. Salehi M, Saneimoghadam E, Khosravi S. Evaluation of immune response of Hepatitis B vaccination in Zahedan infants. *Journal of East Physician* 2002; **4**(3): 155-158. doi: 10.5812/ircmj.2282.
24. Garcia Llop L, Asensi Alcoverro A, Coll Mas P. Anti-HBs titers after a vaccination program in children and adolescents. Should a booster dose be given? *An Esp Pediatric* 2001; **54**(1): 32-37. doi: 10.1016/S1695-4033(01)78646-8.
25. Zahedpasha Y, Ahmadpour Kacho M, Pour Nasrollah M, Bijani A, Saadat H, Mazloumi A. Immune response in preterm infants to hepatitis B vaccine. *J Babol Univ Med Sci* 2011; **13**(4): 34-39.
26. Rezai M, Nooripoor S, Gurbani R, Ramazan shams F, Mamishi S, Mahmoudi S. The level of antibody after hepatitis B vaccination in children 1 to 15 years in semnan. *Journal of Semnan Research in Medical Sciences* 2014; **1**(55): 1-3.
27. Rafiee M, Majidi J, Hashemi F, Hossinpur sakha S, Nejati N, Mustafa gharabaghi M. compare hepatitis B surface antigen antibody response in infants after vaccination with hepatitis B vaccine at the children's hospital and Al. *Journal of Tabriz University of Medical Sciences* 2007; **28**(4): 55-58.
28. Rafizadeh B, Kazemi A N, Amir Mogadami H R, Mousavi Nasab N. The evaluation serum antibodies the hepatitis B antigen S in vaccinated children 7 to 9 years old in zanjan. *Journal of Zanjan University of Medical Sciences* 2004; **47**: 49-55.
29. Mostafavizadeh K, Salehi H, Imani R, Hagayeg M R. The level of antibodies against hepatitis B virus surface antigen after a period of 5-6 years after vaccination in children new to the school in shahrkord. *Journal of Infectious Diseases and Tropical Medicine* 2002; **6**(3): 194-196.
30. Yao J, Shan H, Chen Y, Jiang Z G, Dai X W, Ren J J, et al. The one year effects of three doses of hepatitis B vaccine as a booster in anti-HBs-negative children 11-15 years after primary immunization China. *Hum Vaccin Immunotherapy* 2015; **11**(5): 1114-1119. doi:10.4161/21645515.2014.9870 01

Original Article

Polymorphisms of T-cell immunoglobulin mucin Domain-1 Gene and its Association With rheumatoid arthritis

Farzad Alizadeh Mofrad*, Parsa Mohammad Jafari

Department of Science, Islamic Azad University of Urmia, Iran.

*Corresponding author; E-mail: Khashayarsha2500@gmail.com

Received: 26 December 2016 Accepted: 12 February 2017 First Published online: 17 January 2019
Med J Tabriz Uni Med Sciences Health Services. 2019 February-March; 40(6):42-48

Abstract

Background: TIM-1, a member of the T cell immunoglobulin and mucin domain (TIM) gene family was implicated as a Rheumatoid arthritis susceptibility gene in previous studies. The aim of this study was to investigate the association of the genotype and allele frequencies of the TIM-1 polymorphisms in patients with Rheumatoid arthritis.

Methods: PCR-RFLP (Polymerase chain reaction-restriction fragment length polymorphism) & SSP-PCR (Single Specific Primer-Polymerase Chain Reaction) were used for investigating the presence of TIM-1 polymorphisms in 88 RA patients and 88 healthy controls.

Results: The genotype and allele frequency of TIM-1 polymorphisms were significantly different between the patient and controls. Significant association was observed between this polymorphisms (G<A1637, A<G1454, C<G416, G<A232) and the risk of Rheumatoid arthritis.

Conclusion: These results strongly suggest that 232A>G and -1637A>G polymorphism of the Tim-1 might be associated with susceptibility to RA.

Keywords: TIM-1, Polymorphism, Rheumatoid arthritis.

How to cite this article: Alizadeh Mofrad F, Mohammad Jafari P. [Polymorphisms of T-cell immunoglobulin mucin Domain-1 Gene and its Association With rheumatoid arthritis]. Med J Tabriz Uni Med Sciences Health Services. 2019 February - March;40(6):42-48. Persian.

مقاله پژوهشی

پلی مورفیسم های ژن موسینی نوع یک سلول T و ارتباط آنها با بیماری آرتربیت روماتوئید

فرزاد عالی زاده مفرد^{*}، پارسا محمد جعفری

گروه زیست شناسی، دانشگاه آزاد اسلامی واحد ارومیه، ارومیه، ایران.

^{*}نویسنده مسئول؛ ایمیل: Khashayarsha2500@gmail.com

دریافت: ۱۳۹۵/۱۰/۶ پذیرش: ۱۳۹۵/۱۱/۲۴ انتشار برخط: ۱۳۹۷/۱۰/۲۷
مجله پزشکی دانشگاه علوم پزشکی و خدمات بهداشتی - درمانی تبریز. ۱۳۹۷ بهمن و اسفند؛ ۴۰(۶):۴۲-۴۸

چکیده

زمینه: ۱-MIT یک عضو از ایمونوگلوبین های سلول های T و خانواده ژنی موسینی MIT می باشد که به عنوان یک ژن مستعد کننده آرتربیت روماتوئید در مطالعات گذشته گزارش شده است. هدف از انجام این پژوهش ارتباط پلی مورفیسم های ژن ۱-MIT با میزان استعداد ابتلا به آرتربیت روماتوئید در بیماران دچار آرتربیت روماتوئید و افراد سالم بود.

روش کار: فراوانی پلی مورفیسم های ژن ۱-MIT میان دو گروه مبتلا به RA و کنترل متفاوت بود و ارتباط معنی داری میان این پلی مورفیسم ها و خطر ابتلا به بیماری RA دیده شد. نتیجه گیری: این نتایج نشان داد که ممکن است پلی مورفیسم های G>A>232A و G>A>1637A با استعداد ابتلا به بیماری آرتربیت روماتوئید در ارتباط باشد.

کلید واژه ها: ۱-MIT، پلی مورفیسم، آرتربیت روماتوئید

نحوه استناد به این مقاله: عالی زاده مفرد ف، جعفری پ. م. پلی مورفیسم های ژن موسینی نوع یک سلول T و ارتباط آنها با بیماری آرتربیت روماتوئید. مجله پزشکی دانشگاه علوم پزشکی و خدمات بهداشتی - درمانی تبریز. ۱۳۹۷؛ ۴۰(۶):۴۲-۴۸.

مقدمه

متلا به آرتیریت روماتوئید می باشد

MIT-۱ ۲۳۲G<G-۴۱۶C<G-۱۴۵۴A<G،

روش کار

پژوهش از نوع مورد-شاهدی می باشد. این پژوهش بر روی ۸۸ فرد متلا به بیماری AR و ۸۸ فرد سالم به عنوان گروه کنترل انجام شد. در افراد سالم (کنترل) تلاش شد که از نظر جنسیت و سن با گروه بیماران همخوانی داشته و هیچ گونه پیشینه خانوادگی بیماری AR تا سه نسل پیشین را نداشته باشد. در ادامه پس از کسب رضایت از افراد مورد بررسی، ۵ میلی لیتر خون محیطی از آنها گرفته شد که ۱/۵ میلی لیتر با ماده ضد انعقاد EDTA (با غلظت ۵٪ مولار) جهت استخراج AND سلولی با استفاده از کیت استخراج DNA (Genet Bio) استخراج شد. برای بررسی پلی مورفیسم‌های مورد نظر و مشخص شدن ژنوتیپ‌های افراد مورد پژوهش، ابتدا قطعه‌های در برگیرنده ای ناحیه رمز گذار MIT-۱ با به کارگیری از آغازگرهای اختصاصی طراحی شده بودند (جدول ۱)، تکثیر گردیدند. در ادامه محصولات PCR از نظر وجود پلی مورفیسم‌های MIT-۱ با روش RFLP-PCR و با بهره‌گیری از آنزیم برشی Pst1 (Fermentas آمریکا) که آلل‌های پلی مورفیسم را برش می دهد مورد بررسی قرار گرفت. ارزیابی پلی مورفیسم های G-232A>G و A-1637A>G و SSP-PCR و برای ارزیابی پلی مورفیسم های A-1454G>C از روش RFLP-PCR استفاده شد. واکنش PCR در ۳۵ سیکل در حجم ۲۵ میکرولیتر که دارای، یک میکرولیتر از هر کدام از پرایمرهای رفت و برگشت، ۳ میکرولیتر DNA، ۷ میکرولیتر H₂O و ۱۳ میکرولیتر MasterMix (دانمارک Ampliqon) با استفاده از دستگاه ترموسایکلر (Giagen آلمان) به قرار زیر انجام شد: واسرشت اولیه در دمای ۹۵ درجه سانتی گراد به مدت ۳ دقیقه و سپس، ۳۵ چرخه طیف دمایی به ترتیب زیر تکرار گردید: دمای ۹۴ درجه سانتی گراد به مدت ثانیه جهت واسرشت سازی دو رشته DNA، اتصال پرایمرهای به مدت ۳۰ ثانیه در ۵۵ درجه سانتی گراد، طویل سازی به مدت ۱ دقیقه در ۷۲ درجه سانتی گراد و گسترش نهایی در ۷۲ درجه سانتی گراد به مدت ۱۰ دقیقه انجام گرفت. محصولات PCR توسط آنژیم‌های محدود الاثر TaqI و MspI (فرمتاز فرانسه) مورد هضم قرار گرفتند و الکتروفورز روی ژل آگارز ۲ درصد برای مشاهده قطعات حاصل هضم آنژیمی انجام شد. با توجه به موقعیت هضم آنژیمی الگوهای گوناگون و باندهای گوناگون، ژنوتیپ‌ها بر روی ژل الکتروفورز دیده شدند (شکل ۱). برای بررسی اختلاف میان توزیع ژنوتیپی در دو گروه متلا و کنترل، آزمون آماری کای دو

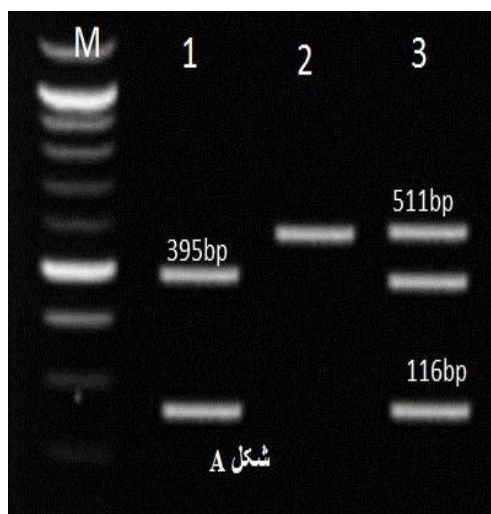
آرتیریت روماتوئید (diotamueH sitirhtra AR یا بیماری سیستمیک و مزمن می باشد. این بیماری در میان بیماری‌های روماتیسمی تقریباً جزو شایع‌ترین بیماری‌های التهابی می باشد. به طوری که براساس بررسی‌های صورت گرفته این بیماری یک درصد جمعیت جهان را درگیر کرده است. البته میزان شیوع این بیماری به نقل از انجمن روماتولوژی در ایران، از رده جهانی پایین‌تر است و از هر ۱۰ هزار تن به این بیماری متلا می‌شوند. میزان شیوع با بالا رفتن میزان سن در انسان افزایش می‌یابد. شروع بیماری آرتیریت روماتوئید در دهه های چهارم و پنجم زندگی شایعتر است (۳،۲،۱) و در ۸۰ درصد از بیماران، بین سن ۳۵ تا ۵۰ سالگی پدیدار می‌شود. بررسی‌های خانوادگی نشانگر استعداد ژنتیکی در ابتداء به این بیماری در خویشاوندان درجه یک - آنها (که بیماری آنها همراه با وجود آنتی‌بادی فاکتور روماتوئید یا لاتکس است) به میزان ۴ برابر بیشتر از افراد بدون پیشینه خانوادگی می باشد (۴،۵،۶). سفتی صبحگاهی مفصل‌ها، تورم مفصل، صدمه به رگهای خونی و بافتی، درد مفصل و ناتوانی و خستگی از نشانه‌های بروز این بیماری می باشد. علت دقیق AR ناشناخته است ولی در ایجاد این بیماری اینمی سلولی و اینمی هومورال هر دو نقش دارند. از جمله علل احتمالی این بیماری عفونت‌ها را ذکر کرده اند. در همین زمینه باکتری‌ها، مایکوباکتری‌ها، مایکو پلاسمما و حتی ویروس‌ها به عنوان عوامل مسبب تحت بررسی قرار گرفته‌اند (۷،۸،۹). از جمله ژن‌های mucin miamod (MIT) مرتبط با بیماری AR می‌توان به خانواده (T-llec nilubolgonummi dna) اشاره کرد. که نمونه ای از مولکول‌های نقاط وارسی اینمی شناخته می‌شوند (۱۰،۱۱،۱۲). گلیکوپروتئین‌های خانواده MIT از موج پیتید، منطقه گذر غشایی، دومن موسین، دومن ایمونوگلوبین و دومن سیتوپلاسمیک تشکیل شده‌اند. در پژوهش‌های گوناگون ارتباط چندین ژن به ویژه ژن nicum miamod (MIT-۱) با بیماری AR شناخته شده است و بر روی لنفوسيت‌های DCT⁴⁺ تمایز یافته با سلول‌های hT2 بروز می‌یابد و به عنوان یک محرك کمکی برای فعل شدن این سلولها عمل کرده و نقش مهمی در تنظیم و عملکرد سلول‌های hT2 و سایتوکاین‌های مرتبط دارد (۱۳،۱۴،۱۵). پژوهش‌ها نشان می‌دهند که بیان MIT-۱ به صورت چشم گیری در بیماران متلا به AR افزایش می‌یابد و پلی مورفیسم‌های این ژن می‌توانند به عنوان عامل موثری در استعداد ابتداء به AR در بیماران عمل کنند (۹،۱۰). با این وجود تا کنون پژوهشی در ایران در مورد ارتباط این ژن با بیماری AR انجام نشده است. بنابراین هدف از انجام این پژوهش، بررسی ارتباط برخی از پلی مورفیسم‌های (۱۶۳۷A>G-

هتروزیگوت AG در مقایسه با ژنتوتیپ های هوموزیگوت AA+GG داری دیده نشد (OR=۰/۶۳۵) (جدول ۲). همچنین تفاوت معنی داری در فراوانی آلل G/A ناحیه G>A-۱۴۵۴ در دو گروه دیده نشد (OR=۱/۱۴۳) (P<۰/۰۵) (جدول ۳). این در حالی بود که فراوانی ژنتوتیپ های پلی مورفیسم AA>G-۱۶۳۷ در بیماران به مراتب کمتر از گروه کنترل بود و تفاوت معنی داری را نشان می دادند (OR=۱/۹۷۶) (P<۰/۰۱) (جدول ۲). همچنین فراوانی آلل G/A ناحیه G>A-۱۶۳۷ در بیماران شایعتر از گروه فراوانی آلل G/C ناحیه C>A-۴۱۶ در بیماران نسبت به گروه کنترل تفاوت معنی داری را نشان نداد (OR=۱/۹۱۵) (P<۰/۰۵) (جدول ۲). همچنین فراوانی آلل G/C ناحیه C>A-۴۱۶ در بیماران به AR نیز تفاوت معناداری با گروه کنترل نداشت (OR=۱/۲۶۲) (P<۰/۰۵) (جدول ۳). در ادامه با ارزیابی هاپلوتاپ های در بیماران و گروه کنترل، یافته های بیانگر این بود که در میان تمام هاپلوتاپ ها موجود، HAPLOTAPE های AAGA,GAGG,AACG در هیچ کدام از دو گروه بیمار و کنترل تشخیص داده نشدند. ولی هاپلوتاپ های AGCA,AGCA و ACGC در بیماران نسبت به گروه کنترل دارای تفاوت معنی داری بودند (OR=۹۵% CI>1) (P<۰/۰۱) (χ^۲=۸/۲۰). این یافته های بیانگر احتمال ارتباط هاپلوتاپ های AGCA,AGGA و AGCA با خطر ابتلا به آرتربیت روماتوئید در این پژوهش می باشد (P<۰/۰۱).

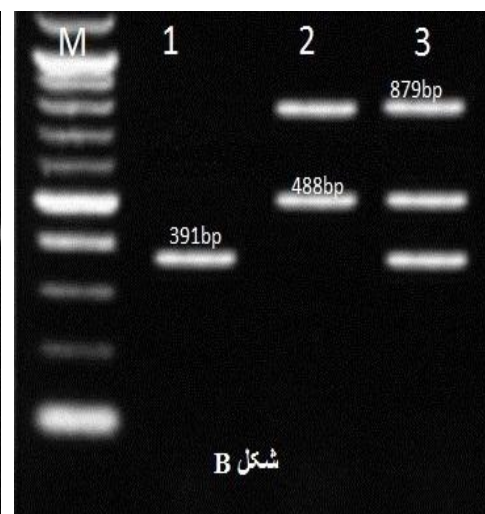
مورد استفاده قرار گرفت و همچنین (sddO oitar) RO با فاصله اطمینان ۹۵ درصد جهت تخمین ارتباط میان ژنتوتیپ های گوناگون پلی مورفیسم های AR ارزیابی گردید. در همه محاسبات، P به عنوان شاخص ارتباط معنی دار میان ژنتوتیپ های AR مد نظر قرار گرفت. توزیع ژنتوتیپ و آلل این پلی مورفیسم های در معادله Hardy-Weinberg می باشد.

یافته ها

یافته های آزمایشگاهی در کنار داده های مربوط به دو گروه بیمار و کنترل بیانگر تفاوت معنی داری میان سن (P=۰/۶۷۰) و جنس (P=۰/۵۴۸) در دو گروه (بیمار و کنترل) نبود که نشان دهنده همسان سازی متغیرها مورد بررسی در این پژوهش می باشد. تعیین ژنتوتیپ های آللها در هر دو گروه بیمار و کنترل به طور موفقیت آمیزی انجام شد. فراوانی ژنتوتیپ هتروزیگوت AG نسبت به ژنتوتیپ های AA,GG AA>G-۲۳۲ در دو گروه دارای اختلاف معنی داری بود (OR=۱/۸۰۹) (P<۰/۰۱). این یافته های نشان داد که AR بیانگان ژنتوتیپ هتروزیگوت این پلی مورفیسم دارند. در مقایسه با ژنتوتیپ های هوموزیگوت این پلی مورفیسم دارند. همچنین آلل A پلی مورفیسم AA>G-۲۳۲ دارای شیوع تقریبا - بیشتری نسبت به آلل G در بیماران بود (OR=۳/۶۵۲) (P<۰/۰۱) که می تواند نشان دهنده ارتباط این آلل با افزایش خطر ابتلا به بیماری AR باشد (جدول ۳). در محاسبه توزیع فراوانی ژنتوتیپ



شکل A



شکل B

شکل ۱. نتایج حاصل از تعیین ژنتوتیپ پلی مورفیسم های زن ۱-۱۴۵۴G>A برای MspI با استفاده از آنزیم TaqI برای C>G-۴۱۶ و آنزیم MspI (A) ژنتوتیپ های ۱: ۵۰bp، ۲: GG، ۳: CCG. مارکر M-416G>C. ژنتوتیپ های ۱: ۵۰bp، ۲: GG، ۳: CCG. ژنتوتیپ های ۱: ۵۰bp، ۲: GG، ۳: CCG.

جدول ۱. پرایمرهای سکانس پلی مورفیسم های ژن TIM-1 دراین پژوهش

پلی مورفیسم	ردیف پرایمر	دما (°C)	F	R
-۴۱۶G>C	GCATGTTGTACAGGAGCATGA GCAGACAGGCTGGTTGGTACC	۶۵	F F1	R F2
-۱۶۳۷A>G	CTTCCAGGTTCAAGCAATTCTTCTA CATCTTGCCCTGTTCATTTAGC			R F1
-۲۳۲A>G	AATCGGGCTGTTCTGTGGA TCAGGGGCTGTTCTGTGGG	۶۰	F2 F1	R F1
-۱۴۵۴G>A	CATCTTGCCCTGTTCAATTAGC CAGGTTGGTCTCAAACCTCCTT			R F
-۱۴۵۴G>A	TTCCAAGGAGGCAGTGGTGG	۵۸	R	

جدول ۲: مقایسه فراوانی ژنتایپ در گروه کنترل و بیمار

پلی مورفیسم	ژنتایپ	کنترل(درصد)	بیمار(درصد)	χ^2	P-value	OR(95% CI)
-۱۴۵۴G>A	AA GG+AG	۲۷(۲۸/۹) ۷۱(۷۴/۲)	۲۶(۲۸/۸) ۷۶(۷۷/۵)	۰/۶۳	>۰/۰۵	۰/۶۳۵(۰/۲۳-۱/۷۳۳)
-۴۱۶G>C	CC GG+GC	۳۴(۲۸/۹) ۵۵(۶۲/۰)	۳۹(۳۹/۵) ۸۰(۴۷/۸)	۱/۵۵	>۰/۰۵	۱/۹۱۵(۰/۸۸۲-۴/۱۵۵)
-۲۳۲A>G	AG GG+AA	۸۳(۸۱/۴) ۴۲(۳۲/۱)	۴۹(۴۹/۰) ۵۲(۴۰/۰)	۱۰/۴۸	<۰/۰۱	۱/۸۰۹(۱/۲۶۲-۲/۵۴۹)
-۱۶۳۷A>G	AG GG+AA	۴۷(۴۶/۱) ۲۷(۲۰/۴)	۷۷(۶۰/۳) ۵۸(۳۷/۰)	۲۶/۴۳	<۰/۰۱	۱/۹۷۶(۰/۱۶۳-۲/۳۵۸)

* وجود اختلاف معنی دار

جدول ۳: فرکانس آلل در گروه کنترل و بیمار

پلی مورفیسم	آلل	کنترل(درصد)	بیمار(درصد)	χ^2	P-value	OR(95% CI)
-۱۴۵۴G>A	G A	۲۹(۱۷/۱) ۱۰۰(۸۱/۰)	۳۳(۱۸/۲) ۹۶(۷۸/۰)	۱/۹۱۰	>۰/۰۵	۱/۱۴۳(۰/۸۸-۱/۴۸۵)
-۴۱۶G>C	G C	۷۷(۴۰/۲) ۸۹(۶۵/۷)	۹۸(۴۴/۵) ۷۲(۵۶/۲)	۰/۹۰۲	>۰/۰۴۸	۱/۲۶۷(۰/۷۷۲-۲/۰۷۸)
-۲۳۲A>G	A G	۸۹(۴۰/۵) ۹۱(۳۹/۰)	۷۸(۴۸/۵) ۹۹(۴۴/۰)	۰/۱۴	<۰/۰۱	۳/۶۵۲(۱/۳۳۰-۱۰/۰۳۰)
-۱۶۳۷A>G	A G	۶۲(۳۷/۵) ۸۸(۵۹/۹)	۹۹(۶۱/۱) ۷۵(۳۹/۵)	۲۱/۷۱	<۰/۰۱	۱/۶۷۶(۱/۰۵۵-۲/۶۶۲)

* وجود اختلاف معنی دار

بحث

پلی مورفیسم های G<G-۱۶۳۷A>G-۱۴۵۴A<G-۴۱۶C>C-۲۳۲G<A-۲۳۲G<A با استعداد ابتلا به آرتیریت روماتوئید، فراوانی شیوع این پلی مورفیسم ها در دو گروه بیمار و کنترل مورد ارزیابی قرار گرفت. در این پژوهش، فراوانی ژنتایپ های هتروزیگوت AG در برابر ژنتایپ های هوموزیگوت AA+GG نواحی ۱۶۳۷-۲۳۲-۲۳۲ در گروه بیمار به طور معنی داری بیشتر از گروه کنترل بود. به عبارت دیگر افرادی که دارای ژنتایپ هتروزیگوت AG (سکانس های ۱۶۳۷ و ۲۳۲) هستند شанс ابتلا بیشتری به AR (سکانس های ۱۶۳۷-۲۳۲) داشتند. همچنین آلل A سکانس های ۱۶۳۷-۲۳۲ در گروه بیمار فراوانی بیشتری را نشان می دادند. در نتیجه خطر ابتلا به AR در افراد دارای آلل A به میزان بیشتری از افراد فاقد این آلل بود. که بیانگر نقش حفاظتی آلل G در این بیماری بود. یافته های Chae و همکاران نیز بیانگر فراوانی ژنتایپ و آلل G-۱۶۳۷ در

آرتیریت روماتوئید یک بیماری مزمن است که موجب تورم و درد در برخی از مفصل های بدن به ویژه مفاصل کوچک دست می شود. بیماری روماتیسم مفصلی جزو آن دسته از بیماری های انسانی است، که به آنها بیماری های خود ایمنی (Autoimmune disease) می گویند (۱۶, ۱۷). پروتئین های TIM (Tissue inhibitor of metalloproteinase) عامل موثری در تعیین سرنوشت، تمایز سلول های T و همچنین دارای نقش موثری در بیماری های چون آزارایم (MS)، ایدز (HIV) و ویروس های نقش ایمنی میمونی (Simian immunodeficiency virus) یا SIV می باشند. TIM-1 یکی از خانواده های ژنی می باشد که به عنوان پذیرنده سلولی ویروس هپاتیت A در انسان و میمون شناخته می شوند (۱۹, ۱۸). از آنجایی که تا کنون ارتباط پلی مورفیسم های ژن TIM-1 در استعداد ابتلا به آرتیریت روماتوئید در ایران صورت نگرفته بود، در این پژوهش به منظور ارتباط میان

عوامل ژنتیک و عوامل محیطی بستگی داشته و باید مد نظر قرار گیرد. در نتیجه هم راستا با پژوهش های سایر پژوهشگران پیشنهاد می شود که مکانیسم های مولکولی مرتبط با تاثیر ژن TIM-1 با بیماری RA مورد بررسی بیشتر قرار گیرد تا با شناخت مکانیسم های ایجاد این بیماری بتوان به راه های پیشگیری، جلوگیری از عود بیماری، آسیب شناسی بیماری، غربالگری افراد مستعد و استفاده از راه کارهای مناسب درمانی به منظور شناخت بیشتر مکانیسم های ایجاد کننده این بیماری پرداخت.

نتیجه گیری

این نتایج نشان داد که پلی مورفیسم های $G>A$ و $A>G$ ممکن با استعداد ابتلا به بیماری آرتیریت روماتوئید در ارتباط باشند.

قدرتانی

با سپاس فراوان از کلیه بیماران و دیگر گرامیانی که در انجام این پژوهش ما را یاری کردند.

منابع مالی

تمام هزینه طرح توسط اعضای گروه تامین اعتبار شد.

References

- Rubina N S, Mubeen M A, Kiran N, Vijay P, Asma butool S, Uddin I. Phytochemical Screening and in-vitro Anti-Inflammatory Activity of Methanolic Extract of *Sterculia foetida* L. *OSR-JPBS* 2016; **11**(2): 28-34.
- Joanna L, Giles M, Choy E, Carmen N, Berg D, Paul B, et al. Functional Analysis of a Complement Polymorphism (rs17611) Associated with Rheumatoid Arthritis. *J Immunol* 2015; **8**: 25-32. doi: 10.4049/jimmunol.1402956
- Wang X, Tian H J, Yang H K, Wanyan P, Peng Y J, Yang T. Meta-analysis: cyclooxygenase-2 inhibitors are no better than nonselective nonsteroidal anti-inflammatory drugs with proton pump inhibitors in regard to gastrointestinal adverse events in osteo arthritis and rheumatoid arthritis. *Lww* 2011; **23**(10): 876-880. doi: 10.1097/meg.0b013e328349de81
- Singh S, Jasvinder A, Noorbaloochi CH, Cullis SH, Tucker T, Christensen M, et al. Risk of serious infection in biological treatment of patients with rheumatoid arthritis: a systematic review and meta-analysis. *The Lancet* 2015; **386**(14): 258-265. doi: 10.1016/s0140-6736(14)61704-9
- Abhishek N, Parveen S, Vishnupriya V, Gayathri R. Treatment Models for Rheumatoid Arthritis- A Review. *J Pharm Sci & Res* 2016; **8**(6): 520-524.
- Aletaha D T, Neogi A J, Silman J, Funovits D T, Felson C O, Bingham N S, et al. Rheumatoid arthritis classification criteria. American College of Rheumatology/ European League against Rheumatism collaborative initiative. *Arthritis Rheum* 2010; **62**: 2569-2581.
- Amy M, Wasserman W. Diagnosis and Management of Rheumatoid Arthritis. *Aafp* 2011; **84**(11): 1245-1252.
- Lozano R, Naghavi M, Foreman K, Lim S, Shibuya K, Aboyans V, et al. Global and regional mortality from 235 causes of death for 20 age groups in 1990 and 2010: a systematic analysis for the Global Burden of Disease Study 2010. *Lancet* 2012; **380**(9859): 2095-2128. doi: 10.1016/S0140-6736(12)61728-0.
- Aletaha D, Neogi T, Silman A J, Funovits J, Felson D T, Bingham CO III, et al. 2010 rheumatoid arthritis classification criteria: an American College of Rheumatology/European League Against Rheumatism collaborative initiative. *Ann Rheum Dis* 2010; **69**(9): 1580-1588. doi: 10.1136/ard.2010.138461.
- van Herwaarden N, den Broeder A A, Jacobs W, van der Maas A, Bijlsma J W, van Vollenhoven RF, et al. Down-titration and discontinuation strategies of tumor necrosis factor-blocking agents for rheumatoid arthritis in patients with low disease activity. *BMJ* 2014; **9**(9): 104-155. doi:10.1002/14651858.

11. Singh J A, Furst D E, Bharat A, Curtis J R, Kavanaugh A F, Kremer J M. "2012 update of the 2008 American College of Rheumatology recommendations for the use of disease-modifying ant rheumatic drugs and biologic agents in the treatment of rheumatoid arthritis. *ACR* 2012; **64**(5): 258-265. doi: 10.1002/acr.21641
12. Li Z, Ju Z, Friari M. The T-cell immunoglobulin and mucin domain (Tim) gene family in asthma, allergy, and autoimmunity. *Ingentaconnect* 2013; **34**(1): 21-26. doi: 10.2500/aap.2013.34.3646
13. Wu QW, Hu L, Cai P, Li Y. Association analysis of TIM-1 -232G > A and 5383_5397 insertion/deletion polymorphisms with childhood asthma and total serum immunoglobulin E levels in middle China. *J Investig Allergol Clin Immunol* 2009; **19**(2): 146-153.
14. Mou Z, Shi J, Tan Y, Xu R. Association between TIM-1 gene polymorphism and allergic rhinitis in a Han Chinese population. *J Investig Allergol Clin Immunol* 2010; **20**: 3-8.
15. Kuchroo V K, Umetsu D T, DeKruyff R H, Freeman G J. The TIM gene family: emerging roles in immunity and disease. *Nat. Rev. Immunol* 2003; **3**(6): 454-462.
16. Smolen J S, Landewe R, Breedveld F C, Dougados M, Emery P, Gaujoux-Viala C, et al. EULAR recommendations for the management of rheumatoid arthritis with synthetic and biological disease-modifying antirheumatic drugs. *Ann Rheum Dis* 2010; **69**: 964-975.
17. Gramling A, James R , O'Dell MD. Initial management of rheumatoid arthritis. *Jrheum* 2012; **38**(2): 11-25. doi: 10.1016/j.rdc.2012.05.003
18. Yeung M Y, McGrath M, Najafian N. The emerging role of the TIM molecules in transplantation. *Am J Transplant* 2011; **11**(10): 2012-2019. doi: 10.1111/j.1600-6143.2011.03727.x
19. Ohta K, Ichinose M, Nagase H. Japanese guideline for adult asthma. *Allergology* 2014; **63**(3): 293-333. doi: 10.2332/allergolint.14-rai-0766
20. Chae S C, Park Y R, Song J H. The polymorphisms of Tim-1 promoter region are associated with rheumatoid arthritis in a Korean population. *Immunogenetics* 2005; 56-69. doi: 10.1007/s00251-004-0743-5
21. Xu J R, Yang Y, Liu X M, Sun J Y, Wang J Y. Polymorphisms of the TIM-1 gene is associated with rheumatoid arthritis in the Chinese Hui minority ethnic population. *GMR* 2012; **11**(1): 61-69. doi: 10.4238/2012.january.9.7
22. Mosaad Y M, El-Bassiony S R, El-Ghawet A E, Elhindawy M M, El-Deek B S, Sultan W A. TIM-1 rs41297579 G>A (-1454) and TIM-4 rs7700944 gene polymorphism as possible risk factor for rheumatoid arthritis: Relation to activity and severity. *Wiley* 2015; **42**(4): 55-65. doi: 10.1111/iji.12201

Original Article

The effect of 8 weeks aerobic training on changes beta-endorphin, cortisol, growth hormone levels and anthropometric factors in recovering addicts

Mehdi Abbasi Moghdam^{1*}  , Maryam Keshvari¹, Mir Abdollah Tahramuzi²

¹PhD Student in Exercise Physiology, Department of Physical Education and Sport Sciences, University of Lorestan, Khorramabad, Iran.

²Department of Exercise Physiology, Sari Branch, Islamic Azad University, Sari, Iran.

*Corresponding author; E-mail: mehdi.abbasi3805@yahoo.com

Received: 27 October 2016 Accepted: 27 November 2016 First Published online: 17 January 2019

Med J Tabriz Uni Med Sciences Health Services. 2019 February-March; 40(6):49-55

Abstract

Background: Drug dependence is a physical, mental and social problem. That requires long-term and multilateral treatment. This study aimed to determine the impact of 8 weeks of aerobic training on changes beta endorphin, cortisol, growth hormone levels and anthropometric factors in recovering addicts.

Methods: In this study, 30 male recovering addicts whit age 25-35 years, were randomly divided into two groups: control and experimental. The exercise protocol was 8 weeks of aerobic training, three times pre week. The duration and the intensity of exercise were gradually added at the end of each phase of training. Beta-endorphin, cortisol and growth hormone levels analyzed by using an ELISA in pre test and post test. Paired t test and independent t test were used to examine differences between and within groups. $P<0.05$ was considered statistically significant.

Results: The Results of this study showed that 8 weeks of aerobic training led to a significant increase in beta-endorphins, growth hormone and $VO_{2\max}$ in the aerobic training group compared whit the preworkout ($p<0.05$) But despite the decrease cortisol, body mass index and body fat percentage after exercise showed no significant difference ($p>0.05$).The independent t-test results between the groups was only in variable growth hormone ($p>0.05$).

Conclusion: Considering to the desired effect of aerobic training in increasing of beta-endorphin levels in recovering addicts in treatment centers and addiction clinics will be benefited from this training.

Keywords: Beta-Endorphin, Cortisol, Growth Hormone, Anthropometric, Addict.

How to cite this article: Abbasi Moghdam M, Keshvari M, Tahramuzi M A. [The effect of 8 weeks aerobic training on changes beta-endorphin, cortisol, growth hormone levels and anthropometric factors in recovering addicts]. Med J Tabriz Uni Med Sciences Health Services. 2019 February -March;40(6):49-55. Persian.

مقاله پژوهشی

اثر ۸ هفته تمرین هوایی بر تغییرات سطوح بتاندورفین، کورتیزول، هورمون رشد و عوامل آنتروپومتریک در معتادان رو به بیهوشی

مهدی عباسی مقدم^{*} , مریم کشوری^۱, میرعبدالله طهرآموزی^۲

^۱ دانشجوی دکتری فیزیولوژی ورزشی، گروه تربیت بدنی و علوم ورزشی، دانشگاه لرستان، خرم‌آباد ایران.

^۲ گروه فیزیولوژی ورزشی، دانشگاه آزاد اسلامی واحد ساری، ساری، ایران.

* نویسنده مسئول؛ ایمیل: mehdi.abbasim3805@yahoo.com

دریافت: ۱۳۹۵/۸/۶ پذیرش: ۱۳۹۵/۹/۷ انتشار برخط: ۱۳۹۷/۱۰/۲۷

محله پژوهشی دانشگاه علوم پزشکی و خدمات بهداشتی - درمانی تبریز. ۱۳۹۷ بهمن و اسفند؛ ۴۰(۶):۴۹-۵۵

چکیده

زمینه: وابستگی به مواد مخدر نوعی بیماری جسمی، روانی و اجتماعی است که درمان چند جانبه و طولانی مدتی را می‌طلبد. این مطالعه با هدف بررسی اثر ۸ هفته تمرین هوایی بر تغییرات سطوح بتاندورفین، کورتیزول، هورمون رشد و عوامل آنتروپومتریک معتادان در حال بیهوشی صورت گرفته است. روش کار: در این مطالعه ۳۰ مرد معتاد در حال بیهوشی با رده سنی ۳۵-۲۵ ساله، بصورت تصادفی به دو گروه مساوی کنترل و تجربی تقسیم شدند. پروتکل تمرین شامل هشت هفته تمرین هوایی /سه جلسه در هفته بود که بمدت و شدت تمرین هر آزمودنی بتدريج در پایان هر مرحله افزوده می‌شد. اندازه‌گیری سطوح بتاندورفین، کورتیزول و هورمون رشد به کمک روش الایزا در دو مرحله پیش و پس آزمون انجام شد. از آزمون آماری تی همبسته و مستقل برای بررسی تفاوت میانگین‌های درون‌گروهی و بین‌گروهی استفاده و مقادیر $p < 0.05$ از نظر آماری معنی دار تلقی شد.

نتایج: یافته‌های این پژوهش نشان داد که هشت هفته تمرین هوایی باعث افزایش معنی دار غاظت بتاندورفین، هورمون رشد و حداکثر اکسیزن مصروفی نسبت به قبل تمرینات در گروه هوایی شد ($p < 0.05$) ولی غاظت کورتیزول، شاخص توده بدنی و درصد چربی بدن با وجود کاهش بعد از تمرین اختلاف معنی داری نداشت ($p > 0.05$). همچنین نتایج آزمون تی مستقل بین گروه‌ها تنها در متغیر هورمون رشد معنی دار بود ($p < 0.05$).

بحث و نتیجه گیری: تحقیق حاضر بیان می‌دارد با توجه به اثر مطلوب فعالیت‌های هوایی در افزایش سطح بتاندورفین معتادان در حال بیهوشی در مراکز درمانی و کلینیک‌های ترک اعتیاد از این تمرینات بهره برده شود.

کلیدواژه‌ها: بتاندورفین، کورتیزول، هورمون رشد، آنتروپومتریک، معتاد

نحوه استناد به این مقاله: عباسی مقدم م، کشوری م، طهرآموزی م. اثر ۸ هفته تمرین هوایی بر تغییرات سطوح بتاندورفین، کورتیزول، هورمون رشد و عوامل آنتروپومتریک در معتادان رو به بیهوشی. مجله پژوهشی دانشگاه علوم پزشکی و خدمات بهداشتی - درمانی تبریز. ۱۳۹۷؛ ۴۰(۶):۴۹-۵۵

حق تأثیف برای مؤلف محفوظ است.

این مقاله با دسترسی آزاد توسط دانشگاه علوم پزشکی و خدمات بهداشتی - درمانی تبریز تحت مجوز کریپتو کامنز (Creative Commons) <http://creativecommons.org/licenses/by/4.0/> منتشر شده که طبق مفاد آن هرگونه استفاده تنها در صورتی مجاز است که به اثر اصلی به نحو مقتضی استناد و ارجاع داده شده باشد.

مقدمه

است (۷۸). ازوی دیگر کورتیزول اثرات عمیقی بر استرس، متابولیسم و اثرات تحریکی بر سیستم عصبی مرکزی دارد (۹). افزایش بیش از حد این هورمون بر روند متابولیسم تاثیر معکوس دارد، کاتابولیسم را تسریع می کند و سبب کاهش حجم عضلانی و بافت‌ها می شود. هورمون رشد نیز به عنوان هورمونی آنابولیک تحریک رشد بافت‌های مختلف بدن را بر عهده دارد و ورزش قوی ترین محرك ترشح هورمون رشد است (۱۰). ورزش و فعالیت‌های بدنی آزادسازی پیتیدهای شبه افیونی درون‌زاد مغز، به ویژه بتاندورفین را افزایش می دهد و از این راه اثرات مرفین و سایر اگونیست‌های گیرنده‌های شبه افیونی را پدید می آورد و آستانه‌ای درد را بالا می برد (۱۱). نتایج بررسی‌ها توسط Hakalae نشان داد که غلظت پیتیدهای افیونی داخلی به ویژه بتاندورفین در جریان ورزش حتی تا ۵ برابر افزایش می یابد (۱۲). Daneshmandi و همکاران نیز به بررسی وضعیت بدنی و توان هوایی معتادان از افراد سالم پایین‌تر است. ورزش، دو نقش کلیدی مهم در روند کترول وزن ایفا می کند (۱۳)، از یک طرف وزن بدون چربی را به حد مناسبی می‌رساند و از طرف دیگر توانایی سوخت و ساز را افزایش می‌دهد (۱۴). در مطالعه‌ای، Banitalebi بررسی تاثیر یک دوره فعالیت بدنی بر عوامل خطرزای قلبی عروقی معتادان پس از ترک مواد مخدر پرداختند. نتایج تحقیق نشان داد فعالیت ورزشی بر ترکیب بدنی و عوامل آمادگی جسمانی افراد معتاد پس از ترک تاثیر مثبتی دارد و از افزایش عوامل خطرزای قلبی عروقی جلوگیری می‌کند (۱۵). از طرفی نتایج پژوهش Gorji و Saadipour نشان داد که فعالیت بدنی روش مناسبی برای پیشگیری و درمان بیماری‌های وابسته به مواد مخدر است (۱۶ و ۱۷). با توجه به یافته‌های تحقیقات مذکور و اینکه تاکنون پژوهشی بعد از ترک اعتیاد انجام نشده است، این سؤال مطرح شد که آیا تمرین هوایی پیشرونده در دوره بعد از ترک می‌تواند باعث تغییر متغیرهای پژوهش گردد؟ بر این اساس با توجه به تاثیر بتاندورفین‌ها به عنوان کاهش‌دهنده درد و ایجاد نشاط در افراد و همچنین با توجه به اینکه سطح هورمون رشد به کورتیزول می‌تواند بیانگر شرایط بدن برای انجام فرایند کاتابولیسم یا آنابولیسم باشد، این پژوهش با هدف بررسی پاسخ هورمون‌های بتاندورفین، کورتیزول استراتحتی، هورمون رشد این افراد در کنار بررسی عوامل آنتروپومتریک در یک دوره تمرینات هوایی پیشرونده در معتادان در حال بهبودی طراحی شد.

روش کار

تحقیق حاضر از نوع نیمه تجربی می‌باشد و جامعه آماری آن را معتادان در حال بهبود شهرستان خرم آباد تشکیل داده‌اند، به همین

اعتیاد یکی از بزرگترین معضلات جوامع بشری است که نه تنها موجب اختلالات رفتاری و اجتماعی می‌گردد، بلکه با تاثیر بر جنبه‌های مختلف سلامت جسمی، خسارات مالی هنگفتی بر فرد، خانواده و جامعه وارد می‌سازد. ایران دو میان مصرف کننده مواد مخدر در جهان است. بیشترین تاثیرات سوءاستفاده از مصرف مواد مخدر روی سیستم عصبی مرکزی، سیستم عصبی خودکار و روده-هast است. این در حالی است که سوءاستفاده از مواد مخدر، دیگر سیستم‌های بدن شامل سیستم تنفسی و قلبی عروقی را نیز متاثر می‌سازد (۱). وابستگی به مواد مخدر را نوعی بیماری جسمی، روانی و اجتماعی می‌دانند. چند بعدی و پیچیدگی عوامل دخیل در وابستگی به مواد مخدر، لزوم درمان چند جانبه و طولانی مدت را ایجاب می‌کند (۲). اندورفین‌ها، ترکیبات شیمیایی شبه مخدری هستند که فرآوردهای پلی پیتیدی بوده و توسط غله هیپوفیز و هیپوتالاموس تولید می‌شوند و مشابه ماده تسکین‌دهنده، قادر هستند یک حس خوب بودن و فقدان درد را ایجاد نمایند. به عبارت دیگر به عنوان کشنده درد عمل می‌کنند (۳). در مسیر اعتیاد بتاندورفین‌ها که مواد شبه مخدر درون‌زاد هستند، کاهش می‌یابد، بنابراین پس از ترک اعتیاد و در حین آن که مواد خارجی به بدن نمی‌رسد، مغز دیگر مواد شبه مرفین درون‌زاد ترشح نمی‌کند، درد و حالت روحی ناخوش، اضطراب و بی قراری در شخص زیاد می‌شود. بتاندورفین علاوه بر کاهش درد سبب ایجاد نشاط در فرد می‌شود (۴). با کاهش اندورفین‌ها در مغز شخص معتاد و بدن او، خاصیت دشمن‌کشی منویت‌ها که از سلول‌های دفاعی بدن هستند کاهش می‌یابد. شخص معتاد نسبت به افراد سالم به عفونت‌ها حساس‌تر و زودتر مبتلا می‌شود (۴). از طرفی یافته‌ها نشان می‌دهد که فعالیت بدنی، آزادسازی پیتیدهای شبه افیونی درون‌زاد مغز، به ویژه بتاندورفین را افزایش می‌دهد. بر این اساس ممکن است که ورزش به عنوان یک عامل کننده با ارزش در درمان و بهبود وضعیت افراد معتاد موثر باشد. یکی دیگر از نگرانی‌ها در درمان ترک مواد مخدر می‌تواند مربوط به افزایش وزن و اختلالات تغذیه‌ای متعاقب ترک مصرف مواد مخدر باشد. آمارها بیانگر این موضوع است که چاقی بعد از ترک سیگار به عنوان یک عامل بیماری‌زای قابل پیشگیری به همراه مرگ و میرهای ناشی از آن می‌باشد (۵). قابل توجه‌ترین اثر اشاره شده بتاندورفین، نقصان در تحریک به اصطلاح نئشگی تمرین است. همچنین ترشح بتاندورفین‌ها به افزایش تحمل درد، بهبود کترول اشتها و کاهش اضطراب، تنفس، عصبانیت و آشفتگی منجر می‌شود. (۶) فعالیت ورزشی به علت تغییر هورمون‌های تنظیمی مرتبط با سیستم ایمنی بدن و ایجاد سازگاری فیزیولوژیکی و هورمونی، همواره مورد توجه قرار داشته است. از جمله این تغییرات سازگاری‌های مثبت هورمون‌های استرس مانند کورتیزول یا تغییر فعالیت لکوسیت‌ها

ساعت ناشتابی، انجام شد. پس از جمع آوری داده‌ها از آمار توصیفی و استنباطی استفاده شد. از آزمون کولموگروف - اس‌میرنف جهت تعیین توزیع طبیعی داده‌ها استفاده شد. همچنین از آزمون آماری تی همبسته برای بررسی اختلاف معناداری میانگین‌های درون گروهی و از آزمون آماری تی مستقل نیز برای بررسی اختلاف معناداری میانگین‌های بین گروه کترل و تجربی استفاده شد. همه‌ی نتایج به صورت میانگین \pm انحراف معیار نشان داده شده‌اند و مقادیر >0.05 P از نظر آماری معنی دار تلقی شد. کلیه داده‌ها در محیط نرم‌افزار ۲۲ SPSS تجزیه و تحلیل شد.

یافته‌ها

جدول ۲ میانگین و انحراف معیار سن، قد و وزن آزمودنی‌ها در گروه‌های مورد مطالعه را نشان می‌دهد. تمامی مقادیر گزارش شده براساس میانگین \pm انحراف معیار است. با توجه به نتایج آزمون کلموگروف- اس‌میرنوف، داده‌ها از توزیع طبیعی برخوردار بودند، به همین دلیل برای تجزیه و تحلیل داده‌ها از آزمون‌های آماری پارامتریک استفاده شد. جدول ۳ مقایسه تغییرات درون گروهی هورمون بتاندورفین، کورتیزول استراحتی و رشد را به تفکیک در دو گروه کترل و تمرینی در پیش و پس از پروتکل تمرینی نشان می‌دهد. یافته‌های این پژوهش نشان داد که هشت هفته تمرین هوازی باعث افزایش معنی‌دار غاظت بتاندورفین و هورمون رشد نسبت به قلی تمرینات در گروه هوازی شد ($p < 0.05$) و غاظت کورتیزول استراحتی در گروه تجربی با وجود کاهش بعد از دوره تمرینی اختلاف معنی‌داری نداشت ($p > 0.05$). در غاظت هورمون‌های بتاندورفین، کورتیزول استراحتی و رشد در گروه کترل بعد از گذشت هشت هفته، تغییرات معنی‌داری مشاهده نشد ($p > 0.05$). همچنین نتایج آزمون تی مستقل بعد از هشت هفته تمرین بین گروه‌ها نشان داد که تنها تفاوت معنی‌دار در متغیر هورمون رشد بود ($p < 0.05$) و بین گروه کترل و تمرینی در متغیر بتاندورفین و کورتیزول استراحتی تفاوت معنی‌داری مشاهده نشد ($p > 0.05$). جدول ۴ نتایج درون گروهی متغیرهای شاخص توده بدنی، درصد چربی بدن و حداکثر اکسیژن مصرفی را نشان می‌دهد. شاخص توده بدنی و درصد چربی بدن برای هیچ کدام از گروه‌های کترل و تجربی در آزمون تی همبسته نسبت به پیش آزمون تفاوت معنی‌داری مشاهده نشد ($p > 0.05$). ولی نتایج این آزمون در گروه تمرینی برای متغیر حداکثر اکسیژن مصرفی تفاوت معنی‌داری را نشان داد ($p < 0.05$).

منظور با مجوز از ستاد مبارزه با مواد مخدر استان لرستان با شماره ۵۹/۱۹۱۵۷۹۱ با استفاده از نصب اطلاعیه در انجمن‌های معنادان گمنام (NA)، تعداد ۳۰ نفر به صورت داوطلبانه با رده سنی ۳۵-۲۵ سال در این تحقیق شرکت کردند. لازم به ذکر است یکی از موارد انتخاب افراد مورد پژوهش این بود که افراد از ۶ ماه تا ۲ سال پاکی (قطع مصرف) داشته باشند. پس از همگنسازی شرکت کترول و عنوان گروه تجربی (تمرین هوازی) و ۱۵ نفر به عنوان گروه کترول انتخاب شدند. پروتکل تمرین شامل هشت هفته تمرین هوازی (سه جلسه در هفته) که آزمودنی‌ها در یک برنامه دویلن شرکت کرده و مدت و شدت هر آزمودنی به تدریج در پایان هر مرحله افزوده می‌شد. در هفته اول و دوم آزمودنی‌ها به مدت ۲۵ دقیقه با شدت ۶۵ درصد حداکثر ضربان قلب، در هفته سه تا ششم به مدت ۳۵ دقیقه با شدت ۷۵-۶۵ درصد حداکثر ضربان قلب و در هفته هفت و هشت به مدت ۴۰ دقیقه با شدت ۸۵-۷۵ درصد حداکثر ضربان قلب تمرین انجام دادند. جدول یک بیانگر پروتکل تمرین هوازی در طی هشت هفته‌ی این پژوهش است (۱۸).

جدول ۱: پروتکل تمرین هوازی در طی هشت هفته

پروتکل تمرینی	شدت تمرین (دقیقه)	مدت تمرین (دقیقه)	شدت تمرین (درصدی از حداکثر ضربان قلب)	مدت و شدت هفته
هفته اول و دوم	۲۵	۶۵	۶۵	هفته سوم تا ششم
هفته سوم تا ششم	۳۵	۷۵-۶۵	۷۵-۶۵	هفته هفتم و هشتم
هفته هفتم و هشتم	۴۰	۸۵-۷۵	۸۵-۷۵	

ویژگی‌های بدنی آزمودنی‌ها از قبیل سن، وزن، قد و BMI اندازه‌گیری و ثبت شد. وزن آزمودنی‌ها با استفاده از ترازوی عقربه‌ای با دقت ۰/۱ کیلوگرم به صورت استاندارد و حداقل لباس، قد با استفاده از متر نواری و از نسبت وزن به محدود قدر BMI محاسبه شد. جهت تعیین درصد چربی بدن از دستگاه Slim Guild و از شیوه چهار نقطه‌ای پشت بازو، فوق خاصره، چهار سر ران و شکم استفاده شد. از آزمون راکپورت به منظور برآورد اکسیژن مصرفی بیشینه‌ی آزمودنی‌ها به صورت میلی لیتر در هر کیلوگرم در دقیقه استفاده شد. تمامی متغیرهای آنتروپومتریک و حداکثر اکسیژن مصرفی در دو مرحله قبل و بعد از هشت هفته تمرین هوازی در هر دو گروه کترول و تجربی اندازه‌گیری شد. اندازه‌گیری سطح بتاندورفین، کورتیزول استراحتی و هورمون رشد به کمک روش الایزا و از کیت تحقیقی USCN انجام گرفت. خونگیری در دو مرحله، یک روز قبل از اولین جلسه تمرین (پیش آزمون)، ۴۸ ساعت پس از پایان هفته هشتم تمرین (پس آزمون) بعد از ۱۲ تا ۱۳ ساعت پس از پایان هفته هشتم تمرین (پس آزمون) (۱۸).

جدول ۲: میانگین و انحراف معیار مشخصات فردی آزمودنی‌ها در گروه‌های مورد پژوهش

وزن	قد	سن	گروه کترول	گروه هوازی
۷۳ ± ۸.۷	$۱۷۲/۸ \pm ۵/۴۱$	$۲۸/۸۶ \pm ۳/۵۰$		
$۷۴/۲ \pm ۸.۷$	$۱۷۳/۳۳ \pm ۸/۶۵$	$۲۸/۴۶ \pm ۳/۲۹$		

جدول ۳: نتایج آماری تی همبسته و مستقل بتا اندورفین، کورتیزول استراحتی و هورمون رشد پیش و پس آزمون

اختلاف بین گروهی		اختلاف درون گروهی		میانگین ± انحراف معیار		گروه	متغیر
P	T	P	T	پس آزمون	پیش آزمون		
۰/۴۸	۰/۷۰۲	۰/۴۴	۰/۷۸۶	۳/۹۵۰±۰/۶۴۹	۴/۱۹۱±۰/۶۷۷	کترل	با اندورفین
		۰/۰۰*	-۶/۲۸۹	۴/۵۶۲±۰/۵۸۱	۳/۰۵۳±۰/۴۷۱	هوایی	pg/ml
۰/۳۱	۱/۰۳۴	۰/۵۶	-۰/۰۹۳	۷۴/۲۸۴±۷/۱۹۷	۷۳/۰۹۰±۷/۱۲۲	کترل	کورتیزول استراحتی
		۰/۱۹۰	۱/۳۸۱	۸۳/۳۸۷±۷/۶۱	۸۹/۹۸۵±۷/۰۸	هوایی	ng/ml
۰/۰۱*	۲/۶۶۵	۱	۰/۰۰	۰/۱۷۵±۰/۰۲	۰/۱۷۵±۰/۰۳	کترل	هورمون رشد
		۰/۰۰*	-۳/۷۱۰	۰/۲۸±۰/۰۳	۰/۲±۰/۰۲	هوایی	ng/ml

* تفاوت معنی دار بین پیش آزمون و پس آزمون ($p < 0.05$)

جدول ۴: نتایج آماری تی همبسته شاخص توده بدنی، درصد چربی بدن و حداکثر اکسیژن مصرفی پیش و پس آزمون

اختلاف درون گروهی		اختلاف درون گروهی		میانگین ± انحراف معیار		گروه	متغیر
P	T	P	T	پس آزمون	پیش آزمون		
۰/۰۷	۰/۵۶۸	۰/۰۷	۰/۵۶۸	۲۴/۲۴±۱/۸۵	۲۴/۴۲±۲/۲۲	کترل	شاخص توده بدنی ^۲
		۰/۰۳۴	۰/۹۶۲	۲۳/۹±۲/۱۶	۲۴/۷۱±۲/۴۱	هوایی	kg/m ²
۰/۰۸۲	-۰/۲۲۷	۱۷/۸۳	۱۷/۸۳±۱/۹۶	۱۷/۵۶±۱/۹۸	۱۷/۹۳±۲/۹۶	کترل	درصد چربی بدن (%)
		۰/۱۰	۱/۶۷	۱۵/۲۳±۲/۵۹	۱۶/۹۳±۲/۹۶	هوایی	
۰/۰۷۲	۰/۳۶۰	۴۰/۴۳	۴۰/۴۳±۲/۲۵	۴۰/۷۷±۲/۶۳	۴۱/۲۸±۱/۵۱	کترل	حداکثر اکسیژن مصرفی ^۱ ml/kg/min ^۱
		۰/۰۰*	-۶/۶۷	۴۴/۹۵±۱/۵۲	۴۱/۲۸±۱/۵۱	هوایی	

* تفاوت معنی دار بین پیش آزمون و پس آزمون ($p < 0.05$)

بحث

فقدان درد را ایجاد نمایند (۲۱). ترشح بتاندورفین با نوعی نئشگی همراه است، که پس از فعالیت ورزشی فرد احساس سرخوشی می کند، به علاوه اثبات شده است که بتاندورفین در تحمل درد، بهتر شدن کترل اشتها، کاهش اضطراب، تنفس، عصبانیت و افسردگی تاثیر دارد (۲۲) مصرف مزمن مخدوهای بیرونی باعث کاهش رهاسازی مخدوهای درونی بدن (بتاندورفین، انکفالین) یا افزایش گیرندهای مخدوی بدن (گیرندهای مو، دلتا، کاپا) می شود و بتاندورفین که مواد شبیه مخدوی درونزاد هستند کاهش می باید، زیرا با ورود مواد مخدوی خارجی جای شبیه مورفین های مفید و تولید شده در بدن شخص را می گیرد. بنابراین پس از ترک اعتیاد و در حین آن که مواد خارجی به بدن نمی رسد و مغز دیگر مواد شبه مرفین درونزاد را ترشح نمی کند، درد و حالت روحی ناخوش و اضطراب و بی قراری در شخص زیاد می شود (۲۳). در تحقیقی که توسط Volpe و همکاران بر روی معتادان به هروئین انجام گرفت نشان داده شد که میزان بتا اندورفین در معتادان به هروئین کمتر از افراد عادی بود، حتی وقتی که بیماران به دور از مواد مخدوی بودند. این موضوع، با یافته های تحقیق حاضر در مورد نتایج اندازه گیری بتا اندورفین آزمودنی ها قبل از تمرین همخوانی دارد (۲۴). Tamas و همکاران گزارش کردند زمانی غاظت بتاندورفین در حین تمرین شروع به افزایش می کند که شدت تمرین بیشتر از $50 \text{ Vo}_2 \text{max}$ باشد و در بار کم، افزایش بتاندورفین رخ نمی دهد مگر مدت تمرین افزایش یابد (۲۵). در

یافته های تحقیق حاضر افزایش معنی داری ۴۹/۴۲ درصدی را در سطح اندورفین معتادان در حال بهبودی پس از هشت هفته تمرین هوایی نشان داد که با تحقیقات Koseoglu و همکاران و Tagashira همخوانی داشت (۱۹ و ۲۰). همچنین با توجه به نتایج بدست آمده از تحقیق حاضر غلط کورتیزول استراحتی به میزان ۷/۳۳ کاهش یافت، هر چند این کاهش معنی دار نبود اما از آنجا که ترک اعتیاد خود باعث اضطراب می شود تمرینات هوایی توانست در کاهش میزان ترشح هورمون کورتیزول و ایجاد شرایط روحی متعادل در آنان گردد. که با تحقیق Delfan و همکاران همخوانی دارد (۹). از سوی دیگر نسبت سطح هورمون رشد به کورتیزول می تواند بیانگر شرایط بدن برای انجام فرایند کاتابولیسم یا آنابولیسم باشد، در نتیجه به افزایش معنی دار ۴۰ درصدی هورمون رشد نسبت به کاهش کورتیزول استراحتی بعد از تمرینات هوایی به نظر می رسد که این نتایج تحقیق آنابولیسم بهتری برای آزمودنی ها ایجاد کرده است. لذا نتایج تحقیق بیانگر تأکید بر خواص مفید فعالیت های هوایی با توجه به اثر مطلوب این تمرینات بر روی معتادان در حال بهبودی جهت استفاده در مراکز درمانی و کلینیک های ترک اعتیاد می باشد. اندورفین ها ترکیب شیمیایی شبیه مخدوی هاستند که فرآورده های پلی پپتیدی بوده و توسط غده هیپوفیز و هیپوتالاموس تولید می شوند و مشابه یک ماده تسکین درد، قادر هستند یک حس خوب بودن و

ورزش در درمان وابستگی مشخص نشده است ولی روی تئوری ترجیح بنا اندورفین که اپیوئیدهای اندوزن می باشد، تأکید زیادی شده است. علاوه بر این شواهد زیادی وجود دارد محرومیت از ورزش باعث به هم خوردن خلق و خو می شود. در حیوانات آزمایشگاهی نیز مشخص شده است که حیوانات ورزیده نسبت به گروه کترل، مرفین کمتری مصرف می کنند (۲۶).

نتیجه‌گیری

با توجه به افزایش سطح بتاندوزرفين و هورمون رشد نتایج تحقیق یانگر این مطلب است که فعالیت‌های هوایی هزاره اثر مطلوبی بر معتادان در حال بهبودی دارد و پیشنهاد می شود که در مراکز درمانی و کلینیک‌های ترک اعتیاد استفاده شود.

قدرتانی

بدینوسیله محققان بر خود لازم می دانند مراتب سپاسگزاری خود را از مسئولان محترم مراکز ترک اعتیاد به جهت همکاری در نمونه گیری و اجرای پژوهش و تمامی افرادی که ما را در امر یاری نمودند، به عمل آورند.

References

- Noori R, Sheikh Saraf B, Fattollahi Shorabeh F, Jalali KH, Faramarzi M. The effects of eight weeks of exercise on changes Leukocytes, fibrinogen, C-reactive protein and cardiorespiratory fitness in sedentary men after leaving drug. *Olympic Journal* 2013; **21**(1): 7-20. (Persian)
- Rajabi R, Mughadas Tabrizi Y. The effects of exercise in preventing relapse of morphine Drug-related in patients treated with methadone. *Preceding studies in exercise physiology and management* 2011; **5**: 35-41. (Persian)
- Roberts A, Roberts R. *The fundamental principles of exercise physiology*. Translated by Gaeini, Samt Pub, Tehran. 2006.
- Nazarali P, Siabi R, Hanachi P. Compare aerobic and on aerobic exercise on plasma levels of endorphins active and inactive girls. *Journal of Sport Biosciences* 2012; **13**: 37-50. (Persian)
- Donnelly J, Hill J, Jacobsen D. Effect of a 16-month Randomized controlled exercise trial on body weight and composition in young, overweight men and women. *Achieves of International Medicine* 2003; **163**(11): 1343-1350. doi: 10.1001/archinte.163.11.1343
- Gaini AA. *Foundations of Exercise Physiology*. Payame Noor published. 2005. (Persian)
- Chow, Yvonne WY, Hector WH T. Biopsychosocial effects of qigong as a mindful exercise for people with anxiety disorders: a speculative review. *The Journal of Alternative and Complementary Medicine* 2007; **13**(8): 831-840. doi: 10.1089/acm.2007.7166
- Sueya YB. The effect of aerobic exercise on anxiety and secretion of cortisol in young male volleyball players. *International Journal of Sport Studies* 2011; **1**(1): 1-3.
- Delfan B, Armanfar S, Armanfar M. Effect of aerobic and on aerobic exercise on anxiety and level of cortisol hormone secretion young wrestlers. *Journal of Research University of Medical Sciences* 2013; **15**: 15-19. (Persian)
- Ghasemi E, Saghebjoo M, Dadi Z, Maraki H. Effects of one bout of maximum aerobic physical activity in morning and evening on plasma GH and cortisol levels in young female. *Journal of Sport in Biomotor Sciences* 2012; **3**(1): 38-46. (Persian)
- Yadegari F, heidariampour A, Nazem F. Effects of regular swimming exercise on the pain threshold following withdrawal syndrome in morphine-dependent rats. *Physiology and Pharmacology* 2011; **15**(2): 288-294. (Persian)
- Hakalae P, Alen M. Beta-endorphin and corticotropin running exercise in male endurance athletes. *Life Sci* 2002; **21**(2):146-153. doi: 10.1016/0024-3205(88)90158-0

تحقیق حاضر نیز شدت و مدت تمرین بطور فزاینده افزایش یافت و با نتایج تحقیق این محققان همسو می باشد. همچنین نتایج تحقیقاتی که بر روی تاثیر ورزش برای درمان مصرف مواد مخدر صورت گرفته نشان می دهد که ورزش های جسمانی می توانند عامل مهمی در بهبود افراد معتاد باشند. بطوری که بعد از یک دوره تمرین هوایی افرادی که در این گروه فعالیت انجام دادند افزایش $8/89$ درصدی در متغیر $VO_{2\text{max}}$ حاصل شد که این نتایج ما با Banitalabi و همکاران در تحقیقی که گزارش کردند که فعالیت ورزشی تاثیر مثبتی بر ترکیب بدنی و عوامل آمادگی جسمانی افراد معتاد پس از ترک دارد، همسویی دارد (۱۵). Noori و همکاران در تحقیق خود بر روی مردان غیرفعال پس از ترک مواد مخدر نشان دادند که هشت هفته فعالیت ورزشی باعث افزایش معنی داری در $VO_{2\text{max}}$ این افراد شد که نتایج ما با این تحقیق نیز همسویی دارد (۱). در همین راستا یافته های مطالعه ما نشان داد که هشت هفته تمرین هوایی می تواند تعییراتی را در ترکیب بدنی، درصد چربی بدن و شاخنچ توده بدنی معتادان در حال بهبودی ایجاد کند اما این تعییرات معنادار نبود. به نظر می رسد که مدت و میزان فعالیت مورد نظر جهت معنادار بودن تعییرات این متغیرها کافی نبود. ورزش در درمان وابستگی به مواد مفید می باشد. گرچه مکانیسم اثر

13. Daneshmandi H, Rahmani F, Neshati A. Check the status of physical and aerobic capacity addicts. *Journal of Sports Sciences* 2007; **3**(6): 73-80. (Persian)
14. Michael L, Mestek J, Garner C. Blood lipid response after continuous and accumulated aerobic exercise. *Ijnem* 2006; **16**(3): 245-254. doi: 10.1123/ijsnem.16.3.245
15. Banitalebi E, Faramarzi M, Marandi M, Azamian-Jazi A, Mohammadi B. Effect of Exercise on Heart Risk Factors of Addicted Persons after One Year of Quitting Drugs. *GMUHS Journal* 2010; **15**(4): 16-23. (Persian)
16. Gorji H, Miladi, RashidyPour A, Fathollahi Y, Semnanian S, Akhavan Maziar M. Effects of voluntary exercise on severity of naloxone precipitated morphine withdrawal signs in rats. *Journal of Semnan University of Medical Sciences* 2010; **1**(37): 86-93. (Persian)
17. Saadipour KH, Sarkaki A, Badavi M, Alaei H. Effect of short-term forced exercise on naloxone induced withdrawal symptoms in morphine addicted male rats. *Armaghane Danesh* 2008; **12**(4): 73-81. (Persian)
18. McMurray R G, Forsythe W A, Mar M H, Hardy C J. Exercise Intensity-Related Responses Of Beta-Endorphin and Catecholamine's. *Medicine and Science in Sports and Exercise* 1987; **19**(6): 570-574. doi: 10.1249/00005768-198712000-00005
19. Koseoglu E, Akboyraz A, soyur. Aerobic exercise and plasma beta-endorphin leves in patients with migrainous headache without aura. *Anesthesiology* 2010; **116**(4): 750-794. doi: 10.1046/j.1468-2982.2003.00624.x
20. Tagashira S, Yamaguchi K, Matsunaga T, Toda K, Hayashi Y. Salivary prekallikrein output during the ranger training-induced stress. *Stress and Health* 2004; **20**(5): 249-253. doi: 10.1002/smj.1024
21. Ghasemi E, Saghebjoo M, Dadi Z, Maraki H. Effects of one bout of maximum aerobic physical activity in morning and evening on plasma GH and cortisol levels in young female. *Journal of Sport in Biomotor Sciences* 2012; **5**(1). (Persian)
22. Jamalian Z. Effect of Endorphins during Exercise. *Journal of vitality and Sports* 2007; **4**(7): 21-30.
23. Alaei H, Sharifi M, Hosseini M, Naderi A. Compare short-term and medium-term effects of exercise on the desire to morphine in rats. *Journal of Basic Medical Sciences Iran* 2006; **32**: 272-280. (Persian)
24. Volpe A, Cioni A, Genazzani M. Reduction of beta-endorphin levels in the amniotic fluid of heroin addicts. *Obstet Gynecol* 2002; **68**(5): 606-609. doi: 10.1159/0000299022
25. Tamas B, Gyorgy N. The Effect of Physical Therapy on Beta-Endorphin Article. *Eur J Appl Physiol* 2007; **100**: 371-382. doi: 10.1007/s00421-007-0469-9
26. Jalalvand A, Heidarianpour A, Almasi J. Acute effects of swimming exercise on withdrawal syndrome sign in morphine-dependent rats. *Quarterly Journal of Sabzevar University of Medical Sciences* 2013; **20**(3): 373-379. (Persian)

Original Article

Effects of Circuit Resistance Training with Different Parts of Saffron Supplementation on Testosterone and Cortisol Hormones

Abbass Ghanbari-Niaki^{1*} , Ayoub Saeidi² , Sadegh Ardeshiri², Mahdi Aliakbari_Baydokhty⁴

¹ Department of Exercise Biochemistry, School of Physical Education and Sport Sciences, University of Mazandaran, Babolsar, Iran.

² School of Physical Education and Sport Sciences, University of Mazandaran, Babolsar, Iran.

³ PhD Student in Exercise Physiology, School of Physical Education and Sport Sciences, University of Birjand, Birjand, Iran.

*Corresponding author; E-mail: ghanbara@umz.ac.ir

Received: 28 December 2016 Accepted: 9 March 2017 First Published online: 17 January 2019

Med J Tabriz Uni Med Sciences Health Services. 2019 February-March; 40(6):56-63

Abstract

Background: During recent years, consumption of nutritional supplements has become popular in the athletes to enhance muscle power, function, and hypertrophy. The aim of this study was to investigate the effects of circuit resistance training and saffron supplementation on plasma testosterone and cortisol in young college men.

Methods: 44 healthy male were divided into four groups including: water-training, sweat petals-training, style saffron-training and stigma-training. Resistance training consisted of 12 stations (each station lasts for 30 seconds at 40% of one repetition maximum) for 2 weeks (5 sessions per week). Saffron was used daily, 500 mg twice a day, in the morning and immediately after exercise. Blood samples were taken before and 48 hours after the last session and were used for analysis of testosterone by Elisa kit and cortisol by Elecsys system.

Results: Results showed there is No significant difference in testosterone ($P=0.093$) and cortisol ($P=0.378$) between the groups. Variations inner groups showed significant increase in plasma testosterone levels in all groups ($P<0.05$) and a significant decrease in plasma cortisol levels in group stigma-training ($P<0.038$). Also, significant increases in testosterone to cortisol ratio in groups stigma-training ($P=0.001$) and ($P=0.031$) was observed. But no significant changes in the other groups were observed.

Conclusion: Circuit Resistance training improves the testosterone and cortisol; however this improvement was increased when this training combined with saffron supplements.

Keywords: Circuit Resistance Training, Testosterone, Cortisol, Saffron.

How to cite this article: Ghanbari-Niaki A, Saeidi A, Ardeshiri S, Aliakbari_Baydokhty M. [Effects of Circuit Resistance Training with Different Parts of Saffron Supplementation on Testosterone and Cortisol Hormones]. Med J Tabriz Uni Med Sciences Health Services. 2019 February -March;40(6):56-63. Persian.

مقاله پژوهشی

اثر تمرین مقاومتی دایره ای همراه با مکمل سازی بخش های مختلف زعفران بر هورمون تستوسترون و کورتیزول

عباس قنبی نیاکی^{۱*}، ایوب سعیدی^۲، صادق اردشیری^۳، مهدی علی‌اکبری بیدختی^۳

^۱ گروه بیوشیمی ورزشی، دانشکده تربیت بدنی، گروه فیزیولوژی ورزشی، دانشگاه مازندران، بابلسر، ایران.

^۲ دانشکده تربیت بدنی و علوم ورزشی، دانشگاه مازندران، بابلسر، ایران.

^۳ دانشجوی دکتری فیزیولوژی ورزشی، دانشکده تربیت بدنی و علوم ورزشی، دانشگاه بیرجند، بیرجند، ایران.

*ایمیل نویسنده مسئول: ghanbara@umz.ac.ir

دریافت: ۱۳۹۵/۱۰/۸ پذیرش: ۱۳۹۵/۱۲/۱۹ انتشار برخط: ۱۳۹۷/۱۰/۲۷
مجله پژوهشی دانشگاه علوم پزشکی و خدمات بهداشتی - درمانی تبریز. ۱۳۹۷ بهمن و اسفند؛ ۶(۴۰):۵۶-۶۳

چکیده

زمینه: در طی سال‌های اخیر استفاده از مکمل‌های غذایی و طبیعی برای بهبود قدرت، عملکرد و هایپرتروفی در بین ورزشکاران رشته‌های مختلف رواج زیادی یافته است. هدف تحقیق حاضر، بررسی تاثیر تمرین مقاومتی دایره‌ای کوتاه مدت با مکمل سازی زعفران بر سطوح هورمون‌های تستوسترون و کورتیزول است.

روش کار: ۴۴ مرد سالم تمرین نکرده به ۴ گروه آب-تمرین، عرق گلبرگ-تمرین، سرگل-تمرين و سرگل-تمرين تقسیم شدند. تمرین مقاومتی شامل ۱۲ ایستگاه، هر ایستگاه ۳۰ ثانیه با شدت ۴۰٪ یک تکرار بیشینه به مدت ۲ هفته (جلسه در هفته) بود. روزانه ۵۰۰ میلی‌گرم زعفران در دو وعده صبح و بالاصله بعد تمرین استفاده شد. نمونه خونی قبل و ۴۸ ساعت بعد از آخرین جلسه تمرین گرفته شد و برای آنالیز تستوسترون به استفاده از الیزا و کورتیزول پلاسمای توسط دستگاه الکسیس مورد استفاده قرار گرفت. نتایج با آزمون‌های آنالیز واریانس دوطرفه، تحقیبی بونفرونی و T وابسته در سطح معنی داری P<0.05 تحلیل شدند.

یافته‌ها: نتایج تفاوت معنی داری در مقادیر هورمون‌های تستوسترون (P=0.093) و کورتیزول (P=0.342) بین گروه‌ها نشان نداد. تغییرات درون گروهی افزایش معنی داری در مقادیر تستوسترون پلاسمای در همه گروه‌های آزمودنی (P<0.05) و کاهش معنی داری در مقادیر کورتیزول پلاسمای فقط در گروه سرگل-تمرين (P=0.038) نشان داد. همچنین افزایش معنی داری در نسبت تستوسترون به کورتیزول در گروه‌های سرگل-تمرين (P=0.001) و عرق گلبرگ-تمرين (P=0.031) مشاهده شد. اما در سایر گروه‌ها تغییرات معنی داری مشاهده نشد.

نتیجه‌گیری: تمرین مقاومتی دایره‌ای باعث بهبود هورمون‌های تستوسترون و کورتیزول شد اما این بهبود زمانی که همراه با مصرف مکمل زعفران صورت گرفت، بیشتر بود.

کلید واژه‌ها: تمرین مقاومتی دایره‌ای، تستوسترون، کورتیزول، زعفران

نحوه استناد به این مقاله: قنبی نیاکی ع، سعیدی ا، اردشیری ص، علی‌اکبری بیدختی م. اثر تمرین مقاومتی دایره ای همراه با مکمل سازی بخش های مختلف زعفران بر هورمون تستوسترون و کورتیزول. مجله پژوهشی دانشگاه علوم پزشکی و خدمات بهداشتی - درمانی تبریز. ۱۳۹۷؛ ۶(۴۰):۵۶-۶۳

حق تأليف برای مؤلف محفوظ است.

این مقاله با دسترسی آزاد توسط دانشگاه علوم پزشکی و خدمات بهداشتی - درمانی تبریز تحت مجوز کریپتو کامنز (Creative Commons Attribution License) منتشر شده که طبق مفاد آن هرگونه استفاده تنها در صورتی مجاز است که به اثر اصلی به نحو مقتضی استناد و ارجاع داده شده باشد.

مقدمه

داروهای گیاهی و سنتی معطوف شده است. زعفران در طب سنتی کاربردهای متنوعی از قبیل محرك قوای جنسی، ضد اسپاسم، ضد افسردگی و التهاب داشته و از آن در درمان بسیاری از اختلالات وسیعی همچون بیماری‌های قلبی-عروقی و ضایعات مغزی استفاده می‌شود. عصاره‌ی زعفران شامل ترکیبات زیادی از جمله: α -کروستین (crocetin) یک کاروتونئید محلول در آب، کروسین (Crocin)، دی‌کروسین (Dicrocin)، تری‌کروسین (Tricrocin)، پیکروکروسین (Picrocrocin) و سافرنال (safranal) است (۱۲). محققوین نشان دادند که تزریق درون صفاقی عصاره‌ی زعفران به مدت ۲۰ روز در موش‌های نر بالغ باعث افزایش Follicle-stimulating hormone (Luteinizing hormone) و هورمون لوتینی (Luteinizing hormone) شد که وجود اسیدهای چرب غیر اشباع و آتنی اکسیدان‌های موجود در زعفران باعث افزایش این مقادیر شد (۱۵). همچنین در یک بررسی بالینی نشان داده شد که مصرف کپسول تستکس رویال که شامل پودر زعفران و چند گیاه دیگر بود باعث افزایش هورمون‌های جنسی از جمله تستوسترون می‌شود (۱۶). با توجه به خواص زعفران و تاثیر آن بر هورمون‌های آنابولیک و کاتابولیک تاثیر گذار است، اثرات همزمان تمرین مقاومتی و مکمل زعفران هنوز مورد بررسی قرار نگرفته است. بررسی‌های انجام شده نشان می‌دهد که بخش قابل ملاحظه‌ای از پژوهش‌های مرتبط با زعفران و اثرات آن بیشتر بر بخش هوایی گیاه یعنی سرگل یا کالله یا استیگما و تعدادکمی نیز برگلبرگ این گیاه تمرکز نموده‌اند. با این وجود اطلاعاتی درباره تاثیر بخش تحتانی (کنج یا ته گل) بر متغیرهای بیوشیمیایی یا اثرات دارویی-پزشکی آن وجود ندارد. از سویی دیگر تاثیر بخش‌های مختلف گیاه زعفران بر سطوح هورمون‌های تستوسترون و کورتیزول و بر روی نسبت تستوسترون به کورتیزول نامشخص است. لذا تحقیق حاضر طراحی شد تا تاثیر تمرین مقاومتی دایر ای (۱۲) ایستگاهی، کوتاه مدت را با مصرف گیاه زعفران بر سطوح هورمون‌های تستوسترون و کورتیزول در مردان جوان دانشگاهی مورد بررسی قرار دهد.

روش کار

تحقیق حاضر از نوع نیمه تجربی و میدانی می‌باشد. پژوهش حاضر در کمیته اخلاق معاونت پژوهشی دانشگاه مازندران به ثبت رسید. ۸۰ نفر دانشجوی دانشگاه مازندران بعد از دادن فراخوان در دانشگاه و خوابگاه نواب صفوی، به صورت داوطلبانه حاضر به شرکت در این مطالعه شدند. ۴۴ نفر واحد شرایط با میانگین وزنی $70 \pm 8/51$ کیلوگرم بر مترمربع در این تحقیق انتخاب شدند. قبل از شرکت در تحقیق، کلیه مراحل و روش کار برای آنها توضیح داده شد و پس از آکاهی کامل و تکمیل پرسشنامه پزشکی با روایی (۹۳)، رضایت‌نامه کتبی از آنها گرفته شد. شرایط ورود

فعالیت مقاومتی، سازگاری کوتاه مدت و طولانی مدتی را در عضلات اسکلتی به دنبال دارد. پاسخ حاد و اثر ورزش مقاومتی در سطح گرددش هر دو هورمون آنابولیک و کاتابولیک بالقوه سودمند است (۱). به نظر می‌رسد که برای افزایش قدرت، توده‌ی عضلانی و بهینه سازی غدد دورن ریز تمرینات مقاومتی یک عامل کمکی باشد (۲). همچنین سازگاری با تمرینات مقاومتی کوتاه مدت در یک دوره پویا اتفاق می‌افتد، که در آن پاسخ‌های عصبی عضلانی و مکانیزیم‌های هورمونی به خواسته‌های خارجی محرك‌های تمرینی به وجود می‌آید. اکثر مطالعات نشان دادند که غاظت هورمون‌های تستوسترون، رشد، کورتیزول و هورمون جنسی متصل به گلوبولین با توجه به شدت تمرینات مقاومتی در مردان و زنان افزایش می‌یابد. علاوه براین، بارها نشان داده شده است که نسبت تستوسترون به کوتیزول با تنش فیزیولژیکی اعمال بدن در ارتباط است (۳). ورزش مقاومتی باعث افزایش سطح گرددش تستوسترون در بزرگسال می‌شود. آشکار است این افزایش به بعضی عوامل از جمله: حجم توده‌ی عضلانی در گیر، شدت و مدت تمرین، سن، تجربه و دوره‌های استراحت بین تمرین‌های سنتگی دارد. به طور کلی استفاده از توده‌ی عضلانی بزرگ و تمرینات با شدت نسبی بالا برای افزایش غلظت تستوسترون موثر است (۱). با توجه به اثرات زیاد تستوسترون بر عضلات بدن، متأسفانه بسیاری از ورزشکاران به طور گستردگی از آن (یا به طور معمول تر از یک آندروژن صناعی) برای بهبود قوای عضلانی خود استفاده می‌کنند که اثرات زیانباری را به دنبال دارد (۴). تحقیقات نشان دادند که غلظت کورتیزول تحت تاثیر عوامل مختلفی قرار دارد و نشان داده شده است که تمرین با شدت بالا و حجم توده‌ی عضلانی زیاد باعث افزایش غلظت کورتیزول می‌شود (۵-۱۰). به نظر می‌رسد که افزایش تستوسترون و کاهش کورتیزول منجر به ایجاد محیط آنابولیکی در عضله می‌شود. در همین راستا در پژوهشی نشان دادند که تمرینات مقاومتی باعث افزایش غلظت هورمون‌های تستوسترون، رشد و کورتیزول می‌شود (۱۱). همچنین تمرینات مقاومتی باعث یک پاسخ حاد فیزیولژیک و یک سازگاری مزمن می‌شود که برای افزایش قدرت عضلانی، هایپرتروفی و استقامت عضلانی حیاتی است (۱۲). نسبت تستوسترون به کورتیزول به عنوان شاخص آنابولیک و کاتابولیک عضله اسکلتی در طول تمرین مقاومتی پیشنهاد شده است. در هر صورت افزایش تستوسترون و کاهش کورتیزول یا هر دو حالت بالقوه آنابولیسم را نشان می‌دهد. برخی مطالعات تغییرات نسبت تستوسترون به کورتیزول را در تمرینات مقاومتی و قدرتی نشان داده اند و بیان کرده‌اند که نسبت مثبت تستوسترون به کورتیزول باعث بهبود عملکرد می‌شود (۱۲). در طی سال‌های اخیر استفاده از مکمل‌های غذایی برای بهبود قدرت، عملکرد و هایپرتروفی در بین ورزشکاران رشته‌های مختلف رواج زیادی یافته است. با توجه به اثرات جانبی بسیاری از مکمل‌هایی که به صورت شیمیایی تهیه و تولید می‌شود، توجه بسیاری از متخصصان تعذیه به سوی

استراحت فعال انجام دادند. نمونه گیری خون از ورید بازویی افراد صبح بعد از ۱۰ تا ۱۲ ساعت ناشتابی در دو مرحله ۴۸ ساعت قبل از شروع تمرینات و ۴۸ ساعت بعد از آخرین جلسه تمرین گرفته شد. نمونه ها در لوله های آزمایش حاوی EDTA ریخته شد و با سرعت ۳۰۰۰ دور در دقیقه به مدت ۱۰ دقیقه سانتیفیوژ شد سپس پلاسمای جدا شده برای آنالیز هورمون های تستوسترون و کورتیزول استفاده شد. برای اندازه گیری هورمون ها از دستگاه الکسیس (Elecsys 2010 HITACHI Roche) مدل: ۲۰۲۰ ساخت: مشترک کشورهای آلمان و ژاپن استفاده شد. تستوسترون پلاسما با روش الایزا (ELISA) (ضریب تغییرات و حساسیت روش اندازه گیری به ترتیب ۳/۱٪ و ۰/۷٪ نانوگرم در میلی لیتر) با استفاده از کیت تشخیص تستوسترون انسان (شرکت IBL با کد RE52151) ساخت آلمان تعیین شد. کورتیزول پلاسما با روش الایزا (ELISA) (ضریب تغییرات و حساسیت روش اندازه گیری به ترتیب ۲/۱٪ و ۲/۶٪ نانوگرم در میلی لیتر) با استفاده از کیت تشخیص کورتیزول (شرکت IBL با کد RE52061) ساخت آلمان تعیین شد. پس از تایید توزیع نرمال داده ها با استفاده از آزمون کولموگروف-اسمیرنوف، جهت مقایسه بین گروه ها از آزمون آنالیز واریانس دو طرفه و آزمون تعقیبی بونفرونی استفاده شد. کلیه تعزیزی و تحلیل ها درون گروهی از آزمون T وابسته استفاده شد. کلیه تعزیزی و تحلیل ها با استفاده از نرم افزار آماری SPSS ویرایش ۲۰ صورت گرفت و از نظر آماری $P < 0/۰۵$ معنی دار تلقی گردید.

یافته ها

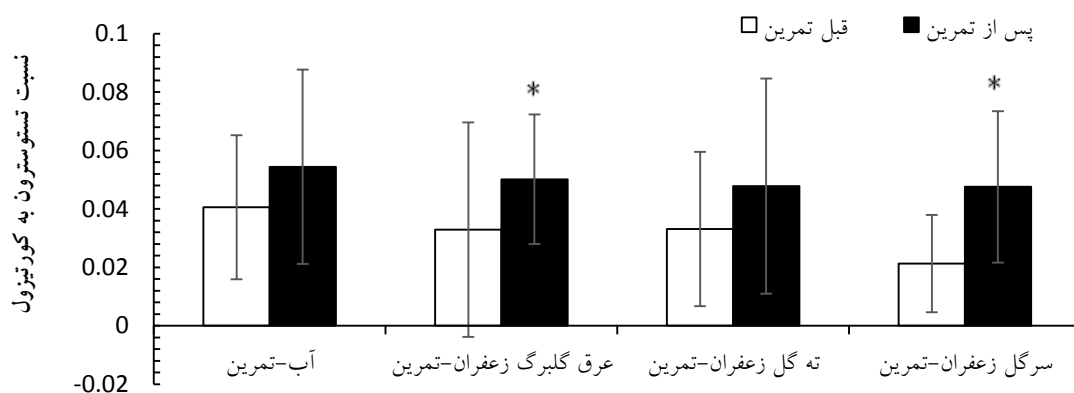
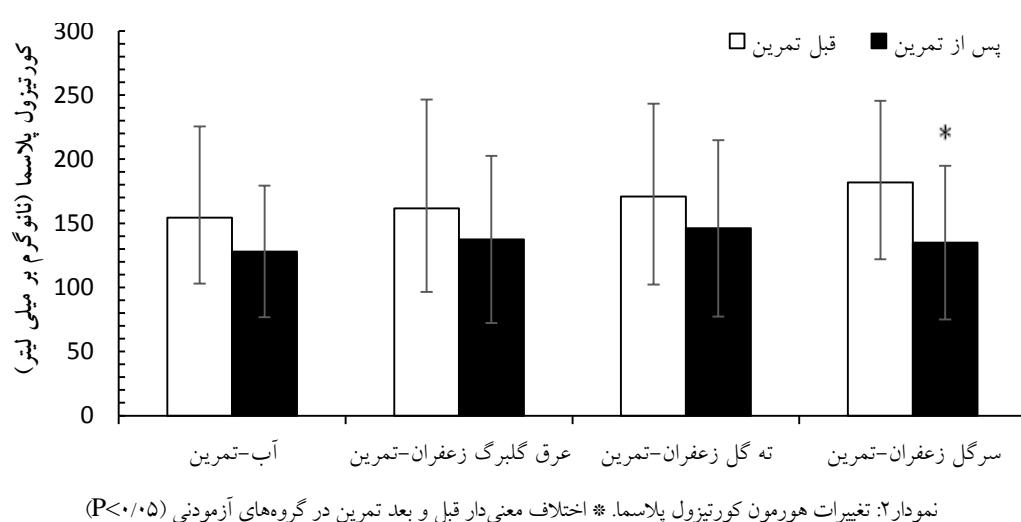
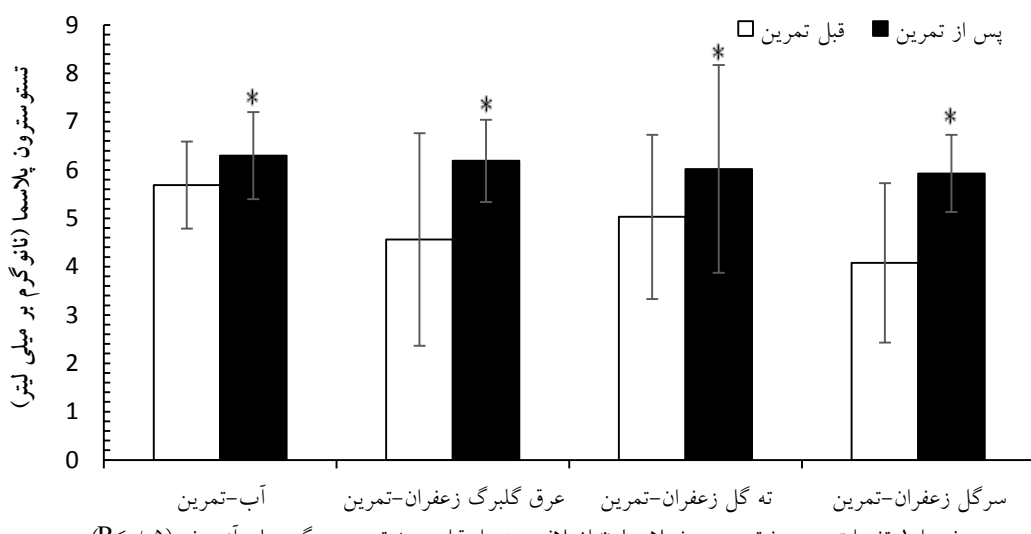
به ترتیب نتایج آزمون کولموگروف-اسمیرنوف و همچنین آزمون لون نشان داد که نتایج از توزیع نورمال و همگنی واریانس ها برخوردار هستند ($P > 0/۰۵$). تحلیل آماری آنالیز بین گروهی تعییر معنی داری را بین گروه های مختلف در سطوح هورمون تستوسترون نشان نداد ($F = ۲/۲۸۶$, $P = ۰/۰۹۳$) ($F = ۲/۲۸۶$, $P = ۰/۰۹۳$) (نمودار ۱). آزمون T وابسته افزایش معنی داری بین داده های قبل و بعد تمرین داده های آب-تمرين (۰/۰۴۰)، عرق گلبرگ-تمرين (۰/۰۰۷)، ته گل-تمرين (۰/۰۴۸) و سرگل-تمرين (۰/۰۰۱) ($P < 0/۰۰۱$) نشان داد (جدول ۲). تحلیل آماری آنالیز بین گروهی تفاوت معنی داری بین گروه ها در سطوح هورمون کورتیزول نشان نداد ($F = ۱/۴۶$, $P = ۰/۳۲۲$) ($F = ۱/۴۶$, $P = ۰/۰۳۸$) (نمودار ۲). آزمون T وابسته کاهش معنی داری بین داده های قبل و بعد گروه سرگل-تمرين (۰/۰۳۸) ($P = ۰/۰۳۸$) نشان داد؛ اما در گروه های آب-تمرين (۰/۱۹۷) ($P = ۰/۱۹۷$)، عرق گلبرگ-تمرين (۰/۱۸۹) ($P = ۰/۱۸۹$) و ته گل-تمرين (۰/۲۴۸) ($P = ۰/۲۴۸$) اختلاف معنی داری مشاهده نشد (جدول ۲). تحلیل آماری آنالیز واریانس دو طرفه تعییر معنی داری بین گروه ها در نسبت تستوسترون به کورتیزول نشان نداد ($F = ۰/۶۳۸$, $P = ۰/۰۵۷$) ($F = ۰/۶۳۸$, $P = ۰/۰۵۷$) (نمودار ۳). آزمون T وابسته افزایش معنی داری بین داده های قبل و بعد گروه های عرق گلبرگ-تمرين (۰/۰۳۱) ($P = ۰/۰۳۱$) سرگل-تمرين (۰/۰۰۱) ($P = ۰/۰۰۱$) نشان داد؛ اما در گروه های آب-تمرين (۰/۱۴۲) ($P = ۰/۱۴۲$) و ته گل-تمرين (۰/۱۵۴) ($P = ۰/۱۵۴$) اختلاف معنی داری مشاهده نشد (جدول ۱).

به اجرای تحقیق شامل عدم اعتیاد به مواد مخدر و الكل، نداشتن سابقه فعالیت ورزشی منظم حداقل به مدت ۶ ماه، فاقد سابقه بیماری کلیوی، کبدی، قلبی-عروقی، دیابت یا هرگونه آسیب یا مشکل جسمی بود. سپس به صورت همسان به ۴ گروه (۱) آب-تمرين (۱۱ نفر)، (۲) عرق گلبرگ زعفران-تمرين (۱۰ نفر)، (۳) ته گل زعفران-تمرين (۱۱ نفر)، (۴) سرگل زعفران-تمرين (۱۲ نفر) تقسیم شدند. به ترتیب آزمودنی های گروه ته گل-تمرين و سرگل-تمرين مقدار ۵۰۰ میلی گرم ته گل زعفران و سرگل زعفران را طی دو مرحله، پس از صحابه یک کپسول (۲۵۰ میلی گرم) و بلا فاصله پس از تمرین کپسول دوم (۲۵۰ میلی گرمی) را به همراه ۱۰۰ میلی لیتر آب دریافت کردند. گروه عرق گلبرگ زعفران ۱۰۰ میلی لیتر عرق زعفران را در دو نوبت بعد از صحابه و بلا فاصله بعد از تمرین با دارونما (کپسول ۲۵۰ میلی گرمی) و گروه آب ۱۰۰ میلی لیتر آب را در دو نوبت بعد از صحابه و بلا فاصله بعد از تمرین با دارونما (کپسول ۲۵۰ میلی گرمی) مصرف نمودند. آزمودنی ها همگی ساکن خوابگاه نواب صفوی دانشگاه مازندران بودند که از غذای سلف یکسان استفاده می کردند و از طرفی به آزمودنی ها تأکید شد که دو روز قبل از خونگیری پیش آزمون و پس آزمون غذای یکسان و مشخص مصرف نکنند.

- برای انجام خونگیری شرایط زیر الزامي بود:
۱. عدم استفاده از دارو یا مکمل در طول انجام تحقیق.
 ۲. عدم تغییر رژیم غذایی حداقل دو روز قبل از انجام آزمایش.
 ۳. عدم انجام فعالیت ورزشی غیر از تمرینات پژوهش در طول تحقیق حداقل ۷۲ ساعت قبل از انجام آزمایش.
 ۴. عدم مصرف قهوه، چای پرنگ، موز، غلات و غذای سنگین و چرب حداقل ۲۴ ساعت قبل از انجام آزمایش.
- دستورالعمل تمرین نیز به گونه ای بود که قبل از انجام تمرین مقاومتی دایره ای، ابتدا آزمودنی ها با محیط کار آشنا و طی سه جلسه مجزا برای تعیین ۱RM حرکات موردنظر به محل تمرین مراجعه نمودند. طی این سه جلسه مقادیر ۱RM حرکات اسکوات، پرس سینه هالت، ساق پا دستگاه، سر شانه هالت، پرس پا دستگاه، قایقی دستگاه، جلو پا دستگاه، جلو بازو سیم کش، پشت پا دستگاه، پشت بازو سیم کش، اکستنشن تنه، دراز و نشست به دو روش آزمون و خطوا و نیز با استفاده از معادله برزیسکی محاسبه شد (۱۸، ۱۷). ۱RM با استفاده از معادله برزیسکی:

$$1RM = \frac{\text{وزنه جایه جا شده (kg)}}{(0.0278 \times \text{تعداد تکرار تا خستگی}) - 0.0278}$$

آزمودنی ها این حرکات را با ۴۰ درصد ۱RM میانگین با سرعت متوسط به مدت دو هفته (۵ جلسه در هفته) ساعت ۱۷ الی ۱۹ انجام دادند. هر جلسه تمرین شامل ۵ دقیقه گرم کردن و سپس انجام حرکات ۱۲ گانه بدون توقف بین ایستگاه ها و مدت انجام هر ایستگاه ۳۰ ثانیه بود (۱۹). تعداد تکرار در هر ایستگاه برای آزمودنی ها ثبت شد. دو جلسه اول یک نوبت تمرین انجام شد. از جلسه سوم آزمودنی ها تمرین را دو نوبت و بین هر نوبت سه دقیقه



نمودار ۳: نسبت تستوسترون به کورتیزول. * اختلاف معنی دار قبل و بعد تمرین در گروه های آزمودنی ($P<0.05$)

جدول ۱: انحراف استاندارد \pm میانگین شاخص های اندازه گیری شده در گروه های مختلف. تغییرات درون گروهی. \dagger نشانه معنی داری.

P درون گروهی	بعد از تمرین	قبل از تمرین	گروه	متغیر
۰/۱۹۷	۱۲۸/۰۲±۳۵/۹۶	۱۵۴/۳۷±۲۳/۷۵	آب-تمرين	
۰/۱۸۹	۱۳۷/۴±۶۱/۲۶	۱۶۹/۴۲±۶۷/۶۵	عرق گلبرگ-تمرين	کورتیزول
۰/۲۴۸	۱۴۶/۱۳±۴۹/۴۰	۱۷۵/۴۱±۵۷/۹۳	ته گل-تمرين	(نانوگرم/ میلی لیتر)
۰/۰۳۸†	۱۳۴/۹۵±۳۸/۶۵	۲۲۰/۰۵±۹۰/۹۷	سرگل-تمرين	
۰/۰۴۰†	۶/۳۰±۰/۰۲	۵/۶۹±۰/۶۱	آب-تمرين	
۰/۰۰۷†	۶/۱۹±۰/۰۶	۴/۵۶±۱/۷۱	عرق گلبرگ-تمرين	تستوسترون (نانوگرم/ میلی لیتر)
۰/۰۴۸†	۶/۰۲±۱/۰۷	۵/۰۳±۱/۱۲	ته گل-تمرين	
۰/۰۰۰†	۵/۹۳±۰/۰۷	۴/۰۸±۱/۱۸	سرگل-تمرين	
۰/۱۴۲	۰/۰۵±۰/۴۰	۰/۰۴±۰/۰۱	آب-تمرين	
۰/۰۳۱†	۰/۰۵±۰/۰۱	۰/۰۳±۰/۰۲	عرق گلبرگ-تمرين	نسبت تستوسترون به
۰/۱۵۴	۰/۰۴±۰/۰۲	۰/۰۳±۰/۰۱	ته گل-تمرين	کورتیزول
۰/۰۰۱†	۰/۰۴±۰/۰۱	۰/۲±۰/۰۰۸	سرگل-تمرين	

بحث

تمرین مقاومتی و عصاره زعفران بر محور هیپوتالاموس-هیپوفیز-بیضه است. زعفران به عنوان یک چاشنی غذایی به طور گسترده مورد استفاده قرار می گیرد و اثرات دارویی آن بر روی هورمون-های استروئیدی و جنسی به خوبی شناخته شده است. زعفران اثرات ویژه ای در سیتیک هورمون های استروئیدی به خصوص تستوسترون دارد. مصرف زعفران باعث رشد سلول های غله هیپوفیز و در نتیجه باعث افزایش ترشح هورمون های تستوسترون، می شود. اثرات آنتی اکسیدانی زعفران در بیوستتر هورمون های استروئیدی می تواند باعث تاثیر در غلظت هورمون های جنسی مردان شود (۱۵). در پژوهش حاضر مقداری کورتیزول پلاسمای مردان شود (۱۵). تغییرات معنی داری بین گروه ها نشان نداد، اما کاهش معنی داری بعد تمرین نسبت به قبل تمرین در گروه سرگل-تمرين مشاهده شد که با نتایج Hakkinen و همکاران که ۲۱ هفته تمرین مقاومتی هیچ تغییر معنی داری در سطوح کورتیزول سرم در گروه زنان مبتلا به روماتوئید و گروه زنان سالم نیافتند (۲۶)، همسو می باشد. از طرفی نتایج پژوهش حاضر با نتایج پژوهش Rafie و همکاران که به بررسی مقایسه اثر شش هفته تمرین مقاومتی و تمرین همزمان مقاومتی و استقاماتی بر سطوح استراحتی هورمون رشد و کورتیزول پرداختند (۲۷)، همسو نبود. احتمالا عدم کاهش کورتیزول پس از تمرین به دلیل نوع، مدت و شدت تمرین مقاومتی دایره ای استفاده شده می تواند باشد. از طرفی احتمالاً زعفران به دلیل داشتن کاروتونوئیدهای فراوان به عنوان یک آنتی اکسیدان قوی باعث کاهش عوامل التهابی از جمله هورمون کورتیزول می شود و کاهش هورمون کورتیزول در اثر افزایش حذف کورتیزول در گردش یا کاهش فعالیت هورمون آدرنوکورتیکوتروپیک (ACTH) (Adrenocorticotropic Hormone) می تواند صورت گیرد (۲۸، ۲۷). در پژوهش حاضر نسبت تستوسترون به کورتیزول اختلاف معنی داری بین گروه ها نشان نداد، اما بعد تمرین نسبت به قبل تمرین

پرداختن به فعالیت بدنه باعث تغییر در غلظت هورمون ها می شود. تمرینات مقاومتی محرك اصلی برای افزایش غلظت هورمون ها است (۲۰). به طور کلی پذیرفته شده است که تمرین استقاماتی تمایل به کاهش تستوسترون در حالت استراحت و تمرین مقاومتی تمایل به افزایش آن دارد. تمرینات مقاومتی باعث افزایش سطح پایه تستوسترون و کاهش سطح پایه کورتیزول می شود (۲۱). مطالعاتی در ارتباط با تاثیر تمرین مقاومتی به همراه مکمل دهی گیاه زعفران بر پاسخ هورمون های تستوسترون و کورتیزول وجود ندارد یا بسیار اندک است. نتایج پژوهش حاضر در خصوص تستوسترون پلاسما اختلاف معنی داری بین گروه ها نشان نداد؛ اما تغییرات درون گروهی در همه گروه ها بعد تمرین افزایش معنی داری نشان داد که با نتایج Hosseiniakakhak و همکاران که به بررسی تاثیر حاد دو برنامه تمرین مقاومتی با سرعت آهسته و سریع بر هورمون تستوسترون پرداختند (۲۲) و همچنین با مطالعه Safarzadeh و همکاران که به بررسی تاثیر تمرین مقاومتی بر روی هورمون تستوسترون و رشد افراد بالای ۱۸ سال و زیر ۱۸ سال پرداختند (۲۳)، همخوانی دارد. از طرفی با پژوهش شیخ ZAM الاسلامی و بردباز (۲۰۱۲) که به بررسی تاثیر مکمل سازی Zinc Magnesium Aspartate Supplement (ZMA)، به تنهایی و به صورت ترکیب با کربوهیدرات، همراه با شش هفته تمرین مقاومتی بر هورمون تستوسترون پرداختند (۲۴)، ناهمسو می باشد. تستوسترون آندروژن اصلی بدنه و تاثیر گذار در انواع پارامترهای بدنه از جمله ترکیب بدنه، عضله، متابولیسم و عملکرد، ستر پروتئین و توده ای عضلانی می باشد. این پارامترها با توانایی انجام فعالیت های ورزشی همراه است (۲۵). هورمون آزاد کننده گنادوتropین از هیپوتالاموس با تاثیر بر هیپوفیز پیشین، موجب افزایش ترشح FSH و LH در نتیجه موجب تحریک ترشح تستوسترون می شود. افزایش هورمون تستوسترون نشان دهنده تاثیر

اثر تمرين مقاومتی و افزایش تستوسترون و کاهش کورتیزول شد. اين تمرين در واقع به مانند تمرينات مقاومتی سنتی می‌تواند اثرات خود را بر روی سیستم هورمونی بدن بگذارد.

قدرتداری

نويسندگان اين مقاله از همکاری آزمودنی های پژوهش حاضر که با صبر و حوصله، محققان را در فرآيند پژوهش ياري رساندند، قدردانی می نمایند. همچنان از آزمایشگاه پاتوبیولوژی و تشخیص طبی آذرمیدخت قهاری برای انجام کارهای آزمایشگاهی نهایت تشکر و سپاس را داریم. لازم به ذکر است مقاله بر گرفته از پایان نامه و به شماره پایان نامه ۱۱۹۱۸۳ می باشد.

ملاحظات اخلاقی

پروتکل اين مطالعه در کميته علمي دانشگاه مازندران استان مازندران به شماره مرجع ۲۱۷۴۴۳۵ به تاييد رسيده است.

منافع متقابل

مؤلفان اظهار می دارد که منافع متقابلی از تالیف و یا انتشار این مقاله ندارند.

مشارکت مؤلفان

عباس قنبری-نياکي، ايوب سعیدي و همکاران طراحی، اجرا و تحليل نتایج و همچنان مقاله را تالیف نموده و نسخه نهایي آن را خوانده و تایید کرده‌اند.

گروه‌های عرق گلبرگ-تمرين افزایش معنی داری مشاهده شد که با نتایج Sourati و همکاران که به بررسی تاثیر تمرين مقاومتی و استقامتی بر نسبت تستوسترون به کورتیزول پرداختند (۲۹)، و همچنان با نتایج پژوهش Saiedi و Azarbayjani که به بررسی تاثیر ترکیب تمرين مقاومتی همراه ويريشن تمام بدن بر نسبت تستوسترون به کورتیزول پرداختند (۳۰)، همسو می باشد. از نسبت تستوسترون به کورتیزول برای ارزیابی پاسخ به تمرين و پیشگویی ظرفیت عملکردی افراد استقاده می شود؛ زمانی که این نسبت بالا باشد، نشان دهنده شرایط آنابولیک است و زمانی که درصد یا بیشتر کاهش یابد، نشان دهنده شرایط کاتابولیک در بدن است. عدم افزایش نسبت تستوسترون به کورتیزول در گروهی که فقط تمرين مقاومتی دایره‌ای انجام دادند به اين دليل است که فعالیت برای آزمودنی ها خیلی خسته کننده بود و خستگی متابولیک را سبب نشده است (۲۹). اما تمرين همراه با مكمل زعفران باعث افزایش نسبت تستوسترون به کورتیزول بعد از تمرين شده است. اين يافته نشان می دهد که کاروتنوئیدهای زعفران اثرات آنتی اكسیدانی دارد و بر روی بيوستز هورمون‌های استروئيدی و کاهش عوامل التهابی موثر است که در نهایت باعث بوجود آمدن شرایط آنابولیک برای محیط عضله می شود (۲۸). با اين حال برای رسيدن به يك پاسخ جامع در اين باره تحقیقات بیشتری در اين زمینه لازم است.

نتیجه‌گیری

تمرين مقاومتی دایره‌ای باعث افزایش هورمون تستوسترون شد اما بر هورمون کورتیزول تاثیر نداشت. تمرين مقاومتی دایره‌ای همراه با مصرف مكمل گیاه زعفران به ویژه سرگل زعفران باعث تقویت

References

- Fry A, Lohnes C. Acute testosterone and cortisol responses to high power resistance exercise. *Human physiology* 2010; **36**(4): 457-461. doi: 10.1134/s0362119710040110
- Fragala M S, Kraemer W J, Denegar C R, Maresh CM, Mastro AM, Volek JS. Neuroendocrine-immune interactions and responses to exercise. *Sports Medicine* 2011; **41**(8): 621-639. doi: 10.1134/s0362119710040110
- Kraemer W J, Volek J S, Bush J A, Putukian M, Sebastianelli W J. Hormonal responses to consecutive days of heavy-resistance exercise with or without nutritional supplementation. *Journal of Applied Physiology* 1998; **85**(4): 1544-1555. doi: 10.1152/jappl.1998.85.4.1544
- Chapman I M, Visvanathan R, Hammond A J, Morley J E, Field J B, Tai K, et al. Effect of testosterone and a nutritional supplement, alone and in combination, on hospital admissions in undernourished older men and women. *The American journal of clinical nutrition* 2009; **13**(12): 26538. doi: 10.3945/ajcn.2008.26538
- Hoffman J R, Ratamess N A, Ross R, Shanklin M, Kang J, Faigenbaum A D. Effect of a pre-exercise energy supplement on the acute hormonal response to resistance exercise. *The Journal of Strength & Conditioning Research* 2008; **22**(3): 874-882.
- Raastad T, Bjøro T, Hallen J. Hormonal responses to high-and moderate-intensity strength exercise. *European journal of applied physiology* 2000; **82**(1-2): 121-128. doi: 10.1007/s004210050661
- Hesar NGZ, Witvrouw E, Peersman W, Roosen P, Van Ginckel A, Braems G, et al. Influence of Menstrual Cycle Phase on Motor Competence. *international journal of applied science in physical education* 2016; **1**(1): 62-73.
- Jalalian Z, Fallah M. Investigating Cathepsin S, Cystatin C. Changes in Girls with Weight Loss; Effects of Resistance Training with Medicago sativa (Alfalfa)

- Extract Consumption. *International Journal of Applied Science In Physical Education* 2016; **1**(1): 41-50.
9. Boroushak N, Anbarian M. A comparison of Hamstring/Quadriceps Muscular Strength Ratio in Elite karate Athletes Before and After Muscular Fatigue. *International Journal of Applied Science In Physical Education* 2016; **1**(1): 11-17.
 10. Saedmocheshi S, Zareian P. Response of Physiological Indices Associated with Fatigue to Consumption Acute of Sodium Bicarbonate Supplementation Loading Along with Exhaustive Activity in the Soldiers. *International Journal of Applied Science In Physical Education* 2016; **1**(1): 51-61.
 11. Budnar Jr RG, Duplanty A A, Hill D W, McFarlin B K, Vingren J L. The acute hormonal response to the kettlebell swing exercise. *The Journal of Strength & Conditioning Research* 2014; **28**(10): 2793-2800.
 12. Kraemer W J, Ratamess N A. Hormonal responses and adaptations to resistance exercise and training. *Sports Medicine* 2005; **35**(4): 339-361. doi: 10.2165/00007256-200535040-00004
 13. Cossignani L, Urbani E, Simonetti M S, Maurizi A, Chiesi C, Blasi F. Characterisation of secondary metabolites in saffron from central Italy (Cascia, Umbria). *Food chemistry* 2014; **14**(3): 446-451. doi: 10.1016/j.foodchem.2013.08.020
 14. Ghaffari S, Hatami H, Dehghan G. The Effect of Ethanolic Extract of Saffron (*Crocus sativus* L.) on Oxidative Stress Markers in the Hippocampus of Experimental Models of MS. *Medical Journal of Tabriz University of Medical Sciences and Health Services* 2015; **37**(1): 40-49.
 15. Modaresi M, Messripour M, Asadi Marghamaleki M, Hamadanian M. Effect of Saffron (*Crocus Sativus*) extract on level of FSH, LH and testosterone in mice. *ZUMS Journal* 2008; **16**(63): 11-18.
 16. Garg S K. Clinical evaluation of tentex royal in erectile dysfunction. *Antiseptic* 2002; **99**(5): 161-162.
 17. Brzycki M. Strength testing-predicting a one-rep max from reps-to-fatigue. *Journal of Physical Education, Recreation & Dance* 1993; **64**(1): 88-90. doi: 10.1080/07303084.1993.10606684
 18. Mayhew J L, Johnson B D, LaMonte M J, Lauber D, Kemmler W. Accuracy of prediction equations for determining one repetition maximum bench press in women before and after resistance training. *The Journal of Strength & Conditioning Research* 2008; **22**(5): 1570-1577.
 19. Ghanbari-Niaki A, Saeidi A, Aliakbari-Beydokhti M, Ardeshiri S, Kolahdouzi S, Chaichi MJ, et al. Effects of Circuit Resistance Training with *Crocus Sativus* (Saffron) Supplementation on Plasma Viscosity and Fibrinogen. *Annals of Applied Sport Science* 2015; **3**(2): 1-10. doi: 10.1519/jsc.0b013e31817b02ad
 20. Gentil P, Oliveira E, Bottaro M. Time under tension and blood lactate response during four different resistance training methods. *Journal of physiological anthropology* 2006; **25**(5): 339-344.
 21. Tremblay M S, Copeland J L, Van Helder W. Effect of training status and exercise mode on endogenous steroid hormones in men. *Journal of Applied Physiology* 2004; **96**(2): 531-539. doi: 10.1152/japplphysiol.00656.2003
 22. Hosseinkakhak Sa, Jaberi S M, Hamedinia M. acute effects of two resistance exercise protocols with moderate intensity, equal volume and slow and fast movements on some anabolic and catabolic hormones. *Sport Biosciences* 2014; **6**(2): 205-218.
 23. Safarzadeh S, Malandish A. effects of resistance training on the acute responses of testosterone and growth hormone in under 18 and over 18 yr old man. *Sport Physiology* 2012; **4**(15): 135-149. doi: 10.1016/j.jsams.2012.11.352
 24. Sheikhholeslami-Vatani DB, S. The impact of necessary supplements with carbohydrate alone and in combination with the six-week resistance training on anabolic hormones and cellular damage indices in untrained men. *Journal Olympic* 2012; **3**(59): 59-72.
 25. Koundourakis N E, Androulakis N, Spyridaki E C, Castanas E, Malliaraki N, Tsatsanis C, et al. Effect of different seasonal strength training protocols on circulating androgen levels and performance parameters in professional soccer players. *Hormones* 2014; **13**(1): 578-583. doi: 10.1007/bf03401326
 26. Hakkinen A, Pakarinen A, Hannonen P, Kautiainen H, Nyman K, Kraemer W, et al. Effects of prolonged combined strength and endurance training on physical fitness, body composition and serum hormones in women with rheumatoid arthritis and in healthy controls. *Clinical and Experimental Rheumatology* 2005; **23**(4): 505-512.
 27. Rafie M, Shavandi N, Saremi A, Abdolmaleki A. comparison the effects of 6 weeks of resistance training and concurrent training on aerobic power and resting levels of growth hormone and cortisol in healthy children. *Arak Medical University Journal* 2014; **3**(85): 38-46.
 28. Ghanbari Niaki A, Ardeshiri S, AliakbariBaydokhty M, Saeidi A. Effects of Circuit Resistance Training with *Crocus sativus* Supplementation on Insulin and Estradiol Hormones Response. *The Horizon of Medical Sciences* 2016; **22**(2): 125-130. doi: 10.18869/acadpub.hms.22.2.125
 29. Sourati J d, Attarzadeh Hsr, Sayadpour Z D, Ahmadi A, Mansouri J. Comparison of resistance and endurance exercises on testosterone to cortisol ratio in post-menopausal women. *Daneshvar Medicine* 2012; **19**(97): 73-83.
 30. Azarbayanji M A, Saeidi A. Comparison of the effect of resistance training, whole body vibration and their combination on testosterone to cortisol ratio in young male football players. *Rehabilitation Medicine* 2014; **2**(2): 34-46. doi: 10.1097/00005768-200305001-01793

Original Article

Frequency and analysis of gene expression of norA and norB efflux pump in clinical isolates of *Staphylococcus aureus* using Ethidium bromide and Real Time PCR

Amir Mirzaie^{1*} , Hassan Noorbazargan² , Kamal Paseban³, Seyed Ataollah Sadat Shandiz⁴

¹Department of Biology, Roudehen Branch, Islamic Azad University, Roudehen, Iran

²Department of Biotechnology, School of Advanced Technologies in Medicine, Shahid Beheshti University of Medical Sciences, Tehran, Iran

³Department of Genetic, Biology Research Center, Zanjan Branch, Islamic Azad University, Zanjan, Iran.

⁴Department of Biology, Central Tehran Branch, Islamic Azad University, Tehran, Iran.

*Corresponding author; E-mail: A.mirzaie@riau.ac.ir

Received: 4 January 2017 Accepted: 12 February 2017 First Published online: 17 January 2019
Med J Tabriz Uni Med Sciences Health Services. 2019 February-March; 40(6):64-73

Abstract

Background: Ciprofloxacin resistance in *Staphylococcus aureus* strains due to efflux pumps has become a significant challenge. This study was performed to evaluate the frequency and gene expression of *norA* and *norB* efflux pump genes and their role in resistance to ciprofloxacin in clinical isolates of *S. aureus*.

Methods: In this experimental study, a total of 250 clinical samples were collected from different hospitals in Tehran and *S. aureus* isolates were identified. Antimicrobial susceptibility patterns were determined by disk diffusion method based on CLSI standard. The presence of *norA* and *norB* efflux pump genes in ciprofloxacin isolates were detected using PCR method. Finally, active efflux pump was evaluating using MIC of ciprofloxacin-Ethidium bromide and Real Time PCR method.

Results: Among 250 clinical samples, 50 *S. aureus* isolates were recovered and the results of antibiotic susceptibility tests show that 34 out of 50 *S. aureus* isolates (68%) were resistant to methicillin (MRSA) and from the 34 MRSA, 12 isolates (24%) were resistant to ciprofloxacin. Moreover, the *norA* and *norB* genes were found in 100 % and 83% in isolates, respectively. Real Time PCR results show that more resistant strains had increased expression in *norA* and *norB* efflux genes.

Conclusion: The potential role played by *norA* and *norB* efflux pumps in the development of resistance to ciprofloxacin in clinical isolates of *S. aureus* and the detection of these genes could be important for suggestion of an effective treatment model for the *S. aureus* infections.

Keywords: *Staphylococcus aureus*, Efflux pump, *norA*, *norB*, Real Time PCR.

How to cite this article: Mirzaie A, Noorbazargan H, Paseban K, Sadat Shandiz S A. [Frequency and analysis of gene expression of norA and norB efflux pump in clinical isolates of *Staphylococcus aureus* using Ethidium bromide and Real Time PCR]. Med J Tabriz Uni Med Sciences Health Services. 2019 February-March;40(6):64-73. Persian.

مقاله پژوهشی

فراوانی و آنالیز بیان ژن‌های پمپ افلاکس *norA* و *norB* در سویه‌های بالینی استافیلوكوکوس اورئوس توسط روش اتیدیوم بروماید و Real Time PCR

امیر میرزایی^{۱*}, حسن نوربازرگان^۲, کمال پاسبان^۳, سید عطا الله سادات شاندیز^۴

اگروه زیست شناسی، واحد رودهن، دانشگاه آزاد اسلامی، رودهن، ایران.
اگروه بیوتکنولوژی، دانشکده فناری های نوین پزشکی، دانشگاه علوم پزشکی و خدمات بهداشتی درمانی شهید بهشتی، تهران، ایران.
اگروه ژنتیک، مرکز تحقیقات بیولوژی، واحد زنجان، دانشگاه آزاد اسلامی، زنجان، ایران.
اگروه زیست شناسی، واحد تهران مرکزی، دانشگاه آزاد اسلامی، تهران، ایران.

*نویسنده مسئول؛ ایمیل: A.mirzaie@riau.ac.ir

دریافت: ۱۳۹۵/۱۰/۱۵ پذیرش: ۱۳۹۵/۱۱/۲۴ انتشار برخط: ۱۰/۲۷
محله پزشکی دانشگاه علوم پزشکی و خدمات بهداشتی - درمانی تبریز. ۱۳۹۷ بهمن و اسفند؛ ۴۰(۶):۶۴-۷۳

چکیده

زمینه: اخیرا مقاومت به سپرروفلوکسازین در سویه‌های استافیلوكوکوس اورئوس به عنوان یکی از چالش‌های مهم مطرح می‌باشد. هدف از این مطالعه بررسی فراوانی و بیان ژن‌های پمپ افلاکس *norA* و *norB* در سویه‌های بالینی استافیلوكوکوس اورئوس و ارزیابی نقش آنها در مقاومت به سپرروفلوکسازین بود.

روش کار: در این مطالعه تجربی، تعداد ۲۵۰ نمونه بالینی از بیمارستان‌های مختلف شهر تهران جمع‌آوری شد و ایزوله‌های استافیلوكوکوس اورئوس شناسایی شدند. الگوی حساسیت آنتی‌بیوتیکی بر اساس روش دیسک دیفیوژن و استاندارد CLSI انجام گرفت. همچنین، حضور ژن‌های *norA* و *norB* در سویه‌های مقاوم به سپرروفلوکسازین با روش PCR مشخص گردید. در نهایت پمپ‌های افلاکس از نظر فعال بودن توسط MIC سپرروفلوکسازین و اتیدیوم بروماید و Real Time PCR بررسی شد.

یافته‌ها: از میان ۲۵۰ نمونه بالینی، تعداد ۵۰ ایزوله استافیلوكوکوس اورئوس جداسازی شد و نتایج حساسیت آنتی‌بیوتیکی نشان داد که ۶۸٪ از نمونه‌ها (۳۴ نمونه) مقاوم به متی‌سیلین و از میان اینها ۲۴٪ (۱۲ نمونه) مقاوم به سپرروفلوکسازین بودند. فراوانی ژن‌های *norA* و *norB* در سویه‌های مقاوم به سپرروفلوکسازین به ترتیب ۱۰۰٪ و ۸۳٪ بودند و هم چنین سویه‌های مقاوم تر میزان بیان بالاتری از ژن *norA* و *norB* داشتند.

نتیجه‌گیری: نتایج این مطالعه نشان داد که پمپ‌های افلاکس *norA* و *norB* در ایجاد مقاومت به سپرروفلوکسازین نقش اساسی دارند و بررسی حضور این ژن‌ها می‌تواند در پیش‌شاد الگوی درمانی علیه باکتری استافیلوكوکوس اورئوس حائز اهمیت باشد.

کلید واژه‌ها: استافیلوكوکوس اورئوس، پمپ افلاکس، *norA*، *norB*، Real Time PCR

نحوه استناد به این مقاله: میرزایی، نوربازرگان، پاسبان، سادات شاندیز س.ع. فراوانی و آنالیز بیان ژن‌های پمپ افلاکس *norA* و *norB* در سویه‌های بالینی استافیلوكوکوس اورئوس توسط روش اتیدیوم بروماید و Real Time PCR. مجله پزشکی دانشگاه علوم پزشکی و خدمات بهداشتی - درمانی تبریز. ۱۳۹۷؛ ۴۰(۶):۶۴-۷۳.

حق تأثیف برای مؤلفان محفوظ است.

این مقاله با دسترسی آزاد توسط دانشگاه علوم پزشکی و خدمات بهداشتی - درمانی تبریز تحت مجوز کریتو کامنز (4.0) انتشر شده که طبق مفاد آن هرگونه استفاده تنها در صورتی مجاز است که به اثر اصلی به نحو مقتضی استناد و ارجاع داده شده باشد.

مقدمه

ارتباط دارد (۱۴). پمپ افلاکس norB نیز یک دیگر از پمپ‌های MFS در استافیلکوکوس اورئوس و دارای ۴۶۳ اسید آمینه می‌باشد و باعث ایجاد مقاومت به آنتی‌بیوتیک‌های فلوروکینولون و بیوسایدها می‌شود و مطالعات نشان می‌دهد که این پمپ در افزایش بیماری‌زایی این باکتری نیز حائز اهمیت است (۱۵). از نقطه نظر درمانی، اولین داروی مناسب برای درمان باکتری‌های MRSA آنتی‌بیوتیک سپیروفلوکسازین می‌باشد و امروزه بزرگترین چالش و نگرانی در بیمارستان‌ها، ایجاد عفونت‌های بیمارستانی توسط باکتری‌های فرصت طلب استافیلکوکوس اورئوس می‌باشد که به هر دو آنتی‌بیوتیک متی‌سیلین و سپیروفلوکسازین مقاوم شده‌اند (۱۶). از آنجایی که تاکنون مطالعات کمی در مورد نقش پمپ افلاکس در مقاومت بخشی به سپیروفلوکسازین در سویه‌های استافیلکوکوس اورئوس در ایران انجام شده است، این مطالعه با هدف تشخیص مولکولی وجود ژن‌های پمپ افلاکس norA و norB بیان آن‌ها در سویه‌های بالینی استافیلکوکوس اورئوس و ارزیابی نقش آن در ایجاد مقاومت به سپیروفلوکسازین انجام گرفت.

روش‌کار

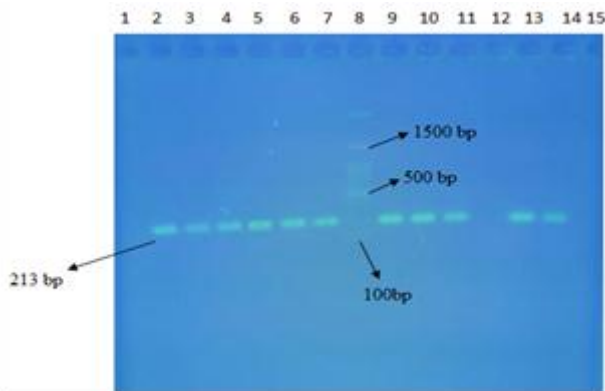
این مطالعه تجربی از فروردین تا تیر ماه ۱۳۹۵ با حمایت دانشگاه آزاد اسلامی واحد تهران شرق انجام گرفت، بطوریکه در مجموع تعداد ۲۵۰ نمونه بالینی مختلف نظری زخم، خلط، ادرار، مایع نخاعی و مایع مفصل طی ۴ ماه از بیمارستان‌های مختلف شهر تهران به روش تصادفی جمع‌آوری گردید. این‌ولههای استافیلکوکوس اورئوس با استفاده از آزمایش‌های کاتالاز، رنگ آمیزی گرم، کواگلوز، تخمیر مانیتول و DNase تشخیص قطعی داده شدند. در نهایت از تمامی سویه‌ها در محیط نوتریت براحت حاوی ۱۵٪ گلیسرول کشت ذخیره تهیه و در دمای ۸۰- درجه سانتیگراد نگهداری شد. پس از حصول اطمینان از شناسایی و تایید سویه‌های استافیلکوکوس اورئوس، حساسیت سویه‌ها نسبت به آنتی‌بیوتیک‌های مختلف با روش دیسک دیفیوژن بر اساس استاندارد CLSI (Clinical and Laboratory Standards Institute) مورد بررسی قرار گرفت (۲۱). حساسیت جدایه‌های استافیلکوکوس اورئوس نسبت به دیسک‌های آنتی‌بیوتیکی سفوکسیتین (۱۰ میکروگرم)، ونکومایسین (۱۰ میکروگرم)، سپیروفلوکسازین (۵ میکروگرم)، پنی‌سیلین (۱۰ واحد)، اریترومایسین (۱۵ میکروگرم)، تری‌متیپریم (۲۵ میکروگرم)، آمیکاسین (۱۵ میکروگرم)، آمپی‌سیلین (۱۰ میکروگرم)، جنتامایسین (۱۰ میکروگرم)، آموکسی‌سیلین (۱۰ میکروگرم)، کلرامفینیکول (۳۰ میکروگرم) و کلیندامایسین (۲ میکروگرم) (Muller Hinton agar) در محیط کشت به افراد بزرگسال و کودکان می‌باشد و ۲۰ تا ۴۰٪ افراد سالم جامعه حامل این باکتری می‌باشند که به عنوان عامل اصلی عفونت‌های استافیلکوکوکی به حساب می‌آید (۱). این باکتری دامنه وسیعی از بیماری‌ها از قبیل پنومونی، عفونت‌های پوستی، اندوکاردیت، استئومیلیت و بسیاری از بیماری‌های دیگر را بوجود می‌آورد (۲). استافیلکوکوس اورئوس مقاوم به متی‌سیلین (MRSA) یکی از عوامل فرصت طلب بیماری‌زای بیمارستانی می‌باشد و مقاومت به متی‌سیلین از طریق تولید یک پروتئین اختصاصی اتصالی به پنی‌سیلین به نام PBP2a ایجاد می‌شود که توسط ژن *mecA* رمزگذاری می‌شود. سویه‌های MRSA تا امروزه به بسیاری از عوامل ضد باکتریایی مقاوم شده‌اند و این امر موجب محلودیت‌های درمان بیماری‌های ناشی از این باکتری شده است (۳). داروهای فلوروکینولون مانند سپیروفلوکسازین یکی از داروهای مناسب و جایگزین برای درمان بیماری‌های ناشی از سویه‌های MRSA استافیلکوکوس اورئوس می‌باشد (۴). با این وجود، به دنبال تجویز این دارو جهت درمان این باکتری‌ها، مقاومت به این آنتی‌بیوتیک نیز رخ داده است به طوری که در برخی از موارد میزان مقاومت به ۱۰٪ رسیده است (۵). مکانیسم‌های مقاومت به آنتی‌بیوتیک در باکتری استافیلکوکوس اورئوس متفاوت است که یکی از مکانیسم‌ها مانع از تجمع دارو درون سلول به وسیله سیستم‌های افلاکس می‌باشد. پمپ‌های افلاکس، مواد سمی مانند آنتی‌بیوتیک را به محیط خارج پمپ می‌کنند (۶-۸) و به طور کلی پمپ‌های افلاکس باکتریایی بر اساس ترادف و شباهت اسیدهای آمینه در پنج گروه اصلی قرار می‌گیرند (۹-۱۱). پمپ‌های افلاکس از نظر بالینی بطور موثری در ارتباط با گروههای Nodulation Division (NOD) یا Major Facilitator Super Family (MFS) می‌باشند که با آزادسازی انرژی نیترو محرکه پروتون در خارج کردن آنتی‌بیوتیک نقش دارند (۱۲). سیستم افلاکس MFS یکی از سیستم‌های مهم افلاکس در باکتری استافیلکوکوس اورئوس می‌باشد که پمپ افلاکس norA یکی از پمپ‌های مهم این خانواده است و مطالعات مختلفی نشان می‌دهد که norA می‌تواند ترکیبات مختلفی مانند فلوروکینولون‌های هیدروفوب از قبیل نورفلوکسازین، سپیروفلوکسازین، اتیدیوم بروماید و ترکیبات چهار ظرفیتی آمونیوم را به سمت بیرون پمپ کند (۱۳). همچنین محققان نشان دادند که ژن norA دارای یک بیان پایه در درون سلول می‌باشد که باعث ایجاد کمی مقاومت به ترکیبات آنتی‌بیوتیکی می‌شود. افزایش مقاومت به فلوروکینولون‌ها با افزایش بیان پمپ افلاکس norA

استافیلکوکوس اورئوس یک باکتری پاتوژن از خانواده میکروکوکاسه است که به عنوان یک باکتری بیماری زای شایع در مراقبت‌های بیمارستانی در سرتاسر جهان است. قسمت قدامی بینی منع اولیه استافیلکوکوس اورئوس در بین افراد بزرگسال و کودکان می‌باشد و ۲۰ تا ۴۰٪ افراد سالم جامعه حامل این باکتری می‌باشند که به عنوان عامل اصلی عفونت‌های استافیلکوکوکی به حساب می‌آید (۱). این باکتری دامنه وسیعی از بیماری‌ها از قبیل پنومونی، عفونت‌های پوستی، اندوکاردیت، استئومیلیت و بسیاری از بیماری‌های دیگر را بوجود می‌آورد (۲). استافیلکوکوس اورئوس اورئوس مقاوم به متی‌سیلین (MRSA) یکی از عوامل فرصت طلب بیماری‌زای بیمارستانی می‌باشد و مقاومت به متی‌سیلین از طریق تولید یک پروتئین اختصاصی اتصالی به پنی‌سیلین به نام PBP2a ایجاد می‌شود که توسط ژن *mecA* رمزگذاری می‌شود. سویه‌های MRSA تا امروزه به بسیاری از عوامل ضد باکتریایی مقاوم شده‌اند و این امر موجب محلودیت‌های درمان بیماری‌های ناشی از این باکتری شده است (۳). داروهای فلوروکینولون مانند سپیروفلوکسازین یکی از داروهای مناسب و جایگزین برای درمان بیماری‌های ناشی از سویه‌های MRSA استافیلکوکوس اورئوس می‌باشد (۴). با این وجود، به دنبال تجویز این دارو جهت درمان این باکتری‌ها، مقاومت به این آنتی‌بیوتیک نیز رخ داده است به طوری که در برخی از موارد میزان مقاومت به ۱۰٪ رسیده است (۵). مکانیسم‌های مقاومت به آنتی‌بیوتیک در باکتری استافیلکوکوس اورئوس متفاوت است که یکی از مکانیسم‌ها مانع از تجمع دارو درون سلول به وسیله سیستم‌های افلاکس می‌باشد. پمپ‌های افلاکس، مواد سمی مانند آنتی‌بیوتیک را به محیط خارج پمپ می‌کنند (۶-۸) و به طور کلی پمپ‌های افلاکس باکتریایی بر اساس ترادف و شباهت اسیدهای آمینه در پنج گروه اصلی قرار می‌گیرند (۹-۱۱). پمپ‌های افلاکس از نظر بالینی بطور موثری در ارتباط با گروههای Nodulation Division (NOD) یا Major Facilitator Super Family (MFS) می‌باشند که با آزادسازی انرژی نیترو محرکه پروتون در خارج کردن آنتی‌بیوتیک نقش دارند (۱۲). سیستم افلاکس MFS یکی از سیستم‌های مهم افلاکس در باکتری استافیلکوکوس اورئوس می‌باشد که پمپ افلاکس norA یکی از پمپ‌های مهم این خانواده است و مطالعات مختلفی نشان می‌دهد که norA می‌تواند ترکیبات مختلفی مانند فلوروکینولون‌های هیدروفوب از قبیل نورفلوکسازین، سپیروفلوکسازین، اتیدیوم بروماید و ترکیبات چهار ظرفیتی آمونیوم را به سمت بیرون پمپ کند (۱۳). همچنین محققان نشان دادند که ژن norA دارای یک بیان پایه در درون سلول می‌باشد که باعث ایجاد کمی مقاومت به ترکیبات آنتی‌بیوتیکی می‌شود. افزایش مقاومت به فلوروکینولون‌ها با افزایش بیان پمپ افلاکس norA

حجم نهایی ۲۵ میکرولیتر شامل ۱۲/۵ میکرولیتر مسترمیکس (سیناژن، ایران)، ۱۰۰ نانوگرم از DNA استخراج شده به عنوان الگو، ۵ پیکومول از پرایمر رفت و برگشت، ۱۰/۵ میکرولیتر آب از مقتدر دو بار تقطیر انجام گرفت. بعد از تعیین سویه‌های MIC مقاوم به سیپروفلوکسازین، این سویه‌ها جهت تست (Minimum Inhibitory Concentration) مورد مطالعه قرار گرفتند. آزمایش MIC بر اساس CLSI به روش رقیق‌سازی در میکروپیت برای سیپروفلوکسازین، اتیدیوم بروماید انجام شد. MIC به صورت سه بار تکرار با استفاده از روش میکرو‌دایلوشن در پلیت‌های ۹۶ خانه‌ای انجام شد. محلول اتیدیوم بروماید را به داخل چاهک A ریخته و با محیط کشت مولر هیتون براث (MHB) تا حجم ۱۰۰ میکرولیتر می‌رسانیم. به چاهک‌های بعدی تا H مقدار ۵۰ میکرولیتر محیط MHB اضافه می‌کنیم و از چاهک اول به ترتیب ۵۰ میکرولیتر به چاهک‌ها تا H اضافه می‌کنیم تا رقت سازی متواالی انجام گیرد ($\mu\text{g}/\text{ml}$ ۲-۲۵۰). همه چاهک‌ها با مقدار ۵۰ میکرولیتر از کشت میکروبی سویه‌های مقاوم به سیپروفلوکسازین با غلظت نیم مک فارلن اضافه می‌کنیم. مقدار MIC به عنوان کمترین غلظت مهارکننده رشد باکتری محسوب می‌شود. لازم به ذکر است که جهت تعیین غلظت MIC سیپروفلوکسازین، از غلظت ۱ تا ۱۲۸ میکروگرم در میلی‌لیتر و از چاهک حاوی باکتری استاندارد استافیلکوکوس اورئوس ATCC۲۵۹۲۳، فاقد سیپروفلوکسازین و اتیدیوم بروماید به عنوان کنترل منفی و از چاهک حاوی باکتری استاندارد استافیلکوکوس اورئوس ATCC۲۵۹۲۳، سیپروفلوکسازین و اتیدیوم بروماید به عنوان کنترل مثبت استفاده شد (۲۱). این تست همانند روش تعیین غلظت MIC انجام شد؛ بطور خلاصه، ابتدا غلظت MIC اتیدیوم بروماید را تعیین کرده و غلظت $0/5$ مک فارلن از کشت باکتری را به داخل چاهک‌های حاوی غلظت‌های پایین‌تر از MIC اتیدیوم بروماید اضافه می‌کنیم. به دنبال آن، ترکیب CCCP (carbonyl cyanide 3-chlorophenylhydrazone) به عنوان مهارکننده پمپ افلاکس در غلظت $20 \mu\text{g}/\text{ml}$ اضافه می‌شود. پمپ افلاکس فعل زمانی تشخیص داده می‌شود که MIC اتیدیوم بروماید به همراه CCCP از MIC اتیدیوم بروماید به تنهای کمتر باشد. لازم به ذکر است در یکی از چاهک‌ها، از CCCP به همراه باکتری استاندارد استافیلکوکوس اورئوس ATCC ۲۵۹۲۳ به منظور تشخیص اینکه خود CCCP کشنه نیست، به عنوان کنترل منفی و از چاهک حاوی باکتری استاندارد استافیلکوکوس اورئوس ATCC ۲۵۹۲۳ CCCP و اتیدیوم بروماید به عنوان کنترل مثبت استفاده کردیم (۲۲). جهت استخراج RNA، سویه‌های مقاوم به سیپروفلوکسازین به مدت ۲۴ ساعت در محیط کشت مولر هیتون براث در دمای ۳۷ درجه سانتیگراد در مجاورت غلظت sub MIC از سیپروفلوکسازین کشت دادند. به

آلمان) انجام گرفت. لازم به ذکر است که جهت تشخیص مقاومت به متی‌سیلین (MRSA)، از دیسک آنتی‌بیوتیکی سفوکسیتین استفاده شد (۱۷). در تمامی انجام آزمایش‌ها، سویه استاندارد استافیلکوکوس اورئوس ATCC ۳۳۹۵۱ به عنوان کنترل مثبت مقاوم به متی‌سیلین (حاوی ژن *mecA*) و از سویه استاندارد استافیلکوکوس اورئوس ATCC ۲۵۹۲۳ به عنوان کنترل مثبت مقاوم به سیپروفلوکسازین (حاوی ژن *norA* و *norB*) و از استافیلکوکوس اپیدرمایدیس ATCC ۱۲۲۲۸ به عنوان کنترل منفی استفاده شد. استخراج DNA به روش دستی (فنل کلروفرم) انجام شد. بطور خلاصه، به رسوب تهیه شده از کشت باکتری‌های MRSA مقاوم به سیپروفلوکسازین، به ترتیب 60°C میکرولیتر بافر لیزر (Tris-HCl, pH7.4; EDTA)، 13°C میکرولیتر سدیم دودسیل سولفات (SDS٪ ۰.۲۵)، 3°C میکرولیتر پروتئیناز K ($20\text{ mg}/\text{ml}$) اضافه شده و آن را در دمای 60°C درجه سانتیگراد به مدت یک ساعت قرار داده شد. به دنبال آن 60°C تهیه شده افزوده تا یک فاز ایزوآمیل الکل (به نسبت ۱:۲۴:۲۵) افزوده تا یک فاز شیری رنگ یکنواخت تشکیل شود. سپس با دور rpm 13000 به مدت ۵ دقیقه سانتریفیوژ شده و فاز بالایی (فاز آبی) به لوله‌های جدید منتقل شد. این مرحله دوبار تکرار شده و به منظور رسوب DNA، هم حجم فاز آبی اتانول سرد و خالص به همراه $0/1$ میکرولیتر استات سدیم (IM) اضافه کرده و به مدت ۲ ساعت در دمای -20°C درجه سانتیگراد قرار داده شد. بعد از آن، لوله مورد را سانتریفیوژ (۵ دقیقه 13000 دور) نموده و رسوب حاصله را پس از خشک کردن و حل کردن در بافر به عنوان DNA مورد استفاده قرار گرفت و در نهایت برای تأیید صحت استخراج ژنوم از الکتروفورز ژل آکاروز 1% استفاده شد. واکنش PCR برای ژن *mecA* در حجم نهایی 25°C میکرولیتر شامل 1°C میکرولیتر از DNA استخراج شده به عنوان الگو، $0/5$ میکرولیتر از پرایمر رفت ($0/5$ پیکومول)، $0/5$ میکرولیتر از پرایمر برگشت (10°C پیکومول)، $12/5$ میکرولیتر از مسترمیکس (سیناژن، ایران)، $10/5$ میکرولیتر آب از مقتدر دو بار تقطیر انجام گرفت. در ادامه واکنش PCR برای ژن *mecA* با استفاده از پرایمرهای F TCCAGATTACAACCTCACCAAGG و R CCACTTCATATCTTGTAAACG (۱۸)، ژن *norA* با F ATCGGTTAGTAATACCAGTCTTGC پرایمرهای R CCGATATAATCATTGAGATAACGC (۱۹) و ژن *norB* با پرایمرهای R FAGCGCGTTGTCTATCTTCC Tکثیر داده شدند (۲۰). لازم به ذکر است برنامه دمایی مورد استفاده شده در جدول ۱ انجام گرفت. همچنین برای تکثیر ژن *A* و *norB* از پرایمرها و برنامه زمانی ذکر شده در جدول ۱ استفاده شد بطوری که واکنش PCR در

زخم بیشتر از سایر سویه‌ها بود. برای بررسی مولکولی وجود زن مقاومت به متی‌سیلین از تکثیر زن *mecA* استفاده شد و با توجه به طراحی پرایمیرها انتظار باند ۱۶۲ جفت باز داشتیم. نتایج نشان داد که توزیع زن *mecA* در نمونه‌های استافیلوکوکوکی در ۶۸٪ نمونه‌ها (۳۴ نمونه) وجود داشت. لازم به ذکر است میزان شیوع زن *mecA* در نمونه‌های استافیلوکوکوس اورئوس جداسازی شده از نمونه‌های زخم بیشتر از سایر نمونه‌ها بود بطوری که از ۳۰ نمونه، ۱۵ نمونه متعلق به نمونه‌های زخم بود (آزمون آماری $P < 0.032$). همچنین، به منظور بررسی وجود زن پمپ افلاکس *noraA* در سویه‌های استافیلوکوکوس اورئوس جداسازی شده، از پرایمیرهای اختصاصی این زن استفاده شد و انتظار وجود باند ۱۱۲ bp که شکل آن در ژل الکتروفورز مشاهده شد. زن *noraA* در تمامی سویه‌های MRSA مقاوم به سیپروفلوکسازین دیده شد (۱۲ نمونه). لازم به ذکر است که ارتباط معناداری بین وجود زن *noraA* زن *mecA* در بین سویه‌ها وجود نداشت ($P > 0.05$). تکثیر زن *norB* پمپ افلاکس در ایزوله‌های استافیلوکوکوس اورئوس، وجود باند ۲۱۳ bp را در ژل الکتروفورز نشان داد (شکل ۱). زن *norB* در ۸۳٪ از نمونه‌های مقاوم به سیپروفلوکسازین وجود داشت (۱۰ نمونه) که بین وجود زن *noraA* و *norB* ارتباط معناداری وجود داشت (آنالیز آزمون آماری $\chi^2 < 0.05$).



شکل ۱. نتایج تکثیر زن *norB* چاهک ۱: کنترل منفی، چاهک ۲: کنترل مثبت، چاهک های ۳، ۴، ۵، ۶، ۷، ۸، ۹، ۱۰، ۱۱، ۱۲، ۱۳ و ۱۴: نمونه‌های مثبت، ۸: مکر⁺ ۱۰۰ bp، ۱۵: نمونه‌های منفی.

نتایج حاصل از MIC و فعالیت CCCP در جدول ۲ آمده است. همانطور که مشخص است MIC سیپروفلوکسازین در سویه‌ها از محدوده ۱۵۶۲-۲۵۰ میکروگرم در میلی‌لیتر بود و در مجاورت مهارکننده پمپ افلاکس CCCP میزان MIC سیپروفلوکسازین و اتیدیوم بروماید کاهش یافته است که نشان دهنده فعل بودن پمپ افلاکس در سویه‌های مقاوم به سیپروفلوکسازین می‌باشد.

DnBال آن، استخراج RNA با استفاده از کیت استخراج RNA (کیاژن، امریکا) بر طبق دستورالعمل انجام گرفت و در انتهای آنژیم DNase جهت حذف DNA های باقیمانده استفاده شد. در ادامه، RNA استخراج شده توسط نانودراب تعیین غلط شد. مقدار یک میکروگرم RNA از نمونه جهت ستر cDNA با استفاده از کیت Quanti Tect Reverse Transcription kit (کیاژن، امریکا) استفاده شد. به منظور بررسی ارزیابی بیان زن پمپ افلاکس *noraA* از روش Real Time PCR کمی نسبی (qRT-PCR) با استفاده مستر میکس حاوی سایبر گرین (Applied Biosystem، انگلستان) انجام گرفت. مواد مورد استفاده در حجم ۲۰ میکرولیتر مستر میکس شامل ۲ میکرولیتر از cDNA^{۱۰}، ۱ پیکومول از پرایمیرهای رفت و برگشت، ۱۰ میکرولیتر از مستر میکس حاوی سایبر گرین بود که در دستگاه Bioneer کره انجام گرفت. برنامه دمایی مورد استفاده در qPCR شامل ۹۰ درجه سانتیگراد به مدت ۱۰ دقیقه، ۹۵ درجه سانتیگراد ۱۵ ثانیه، ۱ دقیقه دمای ۶۰ درجه سانتیگراد بود که در ۴۰ سیکل انجام شد (۱۹). همچنین زن *gmk* (گوانیلات کیناز) به عنوان کنترل داخلی مورد استفاده قرار گرفت. در انتهای بیان نسبی زن *norA* تو سطح روش $\Delta\Delta CT$ محاسبه شد. لازم به ذکر است پرایمیرهای مورد استفاده برای زن *gmk* F(-) R (+) (TATCAGGACCACCTGGAGTAGG-3') و (CATCAACTTCACCTCACGC) بوده و توالی پرایمیر زن *norA* و *norB* در جدول ۱ آمده است. محاسبه آماری این مطالعه با استفاده از نرم افزار SPSS نسخه ۲۱ انجام گردید و داده های PCR با آزمون آماری χ^2 و داده های Real Time PCR با آنالیز واریانس یک طرفه (One way ANOVA) مورد بررسی قرار گرفت. $P < 0.05$ از نظر آماری معنی دار در نظر قرار گرفته شد.

یافته‌ها

در این مطالعه در مجموع ۲۵۰ نمونه که از نمونه‌های ادرار، خون، پوست و زخم جداسازی شدند، با استفاده از تست‌های میکروبی رنگ‌آمیزی گرم، محیط مایتوول سالت آگار، محیط بردپارکر، تست کاتالاز، تست کواگولاز، ۵۰ نمونه استافیلوکوکوس اورئوس جداسازی شد. نتایج حساسیت آنتی‌بیوتیکی نشان داد که ۳۴ جدایه از ۵۰ جدایه مورد بررسی (۶۸٪) نسبت به آنتی‌بیوتیک متی‌سیلین مقاوم بودند و به عنوان سویه‌های MRSA در نظر گرفته شدند. در این مطالعه ارزیابی الگوی مقاومت آنتی‌بیوتیکی سویه‌های استافیلوکوکوس اورئوس نشان داد که بیشترین مقاومت نسبت به آنتی‌بیوتیک های پنی‌سیلین (۹۸٪)، آمبی‌سیلین (۹۰٪)، آموکسی‌سیلین و تری‌متوبریم (۸۶٪)، سفوکسیتین (۶۸٪) و کمترین مقاومت مربوط به آنتی‌بیوتیک سیپروفلاکسازین (۷۴٪) حساسیت و کلیستین (۱۰٪) بودند. در مجموع میزان مقاومت آنتی‌بیوتیکی در سویه‌های جداسازی شده از نمونه‌های ادرار و

بالاتری نسبت به سویه های کمتر مقاوم داشتند و از نظر آماری (One way ANOVA) تفاوت معناداری بین میزان بیان ژن های *gmk* و *norB* در مقایسه با بیان ژن *norA* به عنوان ژن کنترل وجود داشت ($P < 0.05$). لازم به ذکر است که واکنش Real Time PCR به صورت سه بار تکرار انجام شد و نتایج بیان ژن های *norA* و *norB* به همراه انحراف از معیار در جدول ۳ ارایه شده است.

بیان نسبی ژن های پمپ افلاکس *norA* و *norB* در ایزوله های مقاوم به سیبروفلوکساسین تیمار شده با غلظت زیر حد مهارکنندگی (SubMIC) عصاره توسط روش Real Time PCR مورد مطالعه قرار گرفت. نتایج نشان داد که سویه های مختلف با میزان مقاومت های مختلف به سیبروفلوکساسین، بیان ژن *norA* متفاوتی دارند، به صورتی که سویه های مقاوم تر میزان بیان نسبی متفاوتی دارند.

جدول ۱. شرایط دمایی و زمانی واکنش PCR برای ژن های *mecA*, *norA* و *norB*

ژن مورد بررسی	اویه (دقیقه/ سانتیگراد)	ثانویه (ثانیه و سانتیگراد)	ثانویه دناتوراسیون	پرایمرها (ثانیه و سانتیگراد)	زمان و دمای اتصال	زمان و دمای پلیمریزاسیون	تعداد سیکل	زمان و دمای دناتوراسیون	پلیمریزاسیون
<i>mecA</i>	۵ و ۹۴	۵ و ۹۴	۵۰ و ۹۴	۶۰ و ۵۰	۵۰ و ۷۲	۵ و ۷۲	۳۰	۵۰ و ۹۴	۵ و ۷۲
<i>norA</i>	۴ و ۹۴	۵۰ و ۹۴	۵۰ و ۹۴	۶۰ و ۳۰	۶۰ و ۷۲	۴ و ۷۲	۳۰	۵۰ و ۹۴	۴ و ۷۲
<i>norB</i>	۵ و ۹۴	۹۴ و ۵	۹۴ و ۵	۵۵ و ۳۰	۷۲ و ۰	۷۲ و ۵	۳۰	۹۴ و ۵	۷۲ و ۵

جدول ۲: تعیین میزان غلظت مهارکنندگی سیبروفلوکساسین، اتیدیوم بروماید، CCCP و ترکیب آنها در سویه های مقاوم به سیبروفلوکساسین (MIC میکرو گرم/ میلی لیتر)

شماره سویه	سیبروفلوکساسین	اتیدیوم بروماید	اتیدیوم بروماید + CCCP	CCCP + سیبروفلوکساسین	سیبروفلوکساسین + CCCP
۷	۱۲۵	۶۲/۵	۳۱/۲۵	۶۲/۵	۶۲/۵
۹	۱۵/۶۲	۷/۸۱	۲/۹	۷/۸۱	۷/۸۱
۳۱	۳۱/۲۵	۷/۸۱	۷/۸۱	۷/۸۱	۷/۸۱
۳۲	۶۲/۵	۱۵/۶	۳/۹	۱۵/۶	۳/۹
۳۳	۱۲۵	۶۲/۵	۱۵/۶۲	۶۲/۵	۱۵/۶۲
۳۴	۲۵۰	۱۲۵	۳۱/۲۵	۱۲۵	۱۲۵
۴۳	۳۱/۲۵	۱۵/۶۲	۷/۸	۱۵/۶۲	۱۵/۶۲
۴۵	۳۱/۲۵	۷/۸۱	۱/۹۵	۷/۸۱	۷/۸۱
۴۶	۱۵/۶۲	۷/۸۱	۳/۹	۷/۸۱	۷/۸۱
۴۷	۶۲/۵	۱۵/۶۲	۷/۸۱	۱۵/۶۲	۱۵/۶۲
۴۸	۳۱/۲۵	۷/۸۱	۷/۸۱	۷/۸۱	۷/۸۱
۵۰	۲۵۰	۱۲۵	۱۲۵	۱۲۵	۱۲۵
ATCC ۲۵۹۲۳	۶۱/۵	۳۱/۲۵	۷/۸۱	۳۱/۲۵	۳۱/۲۵

جدول ۳: میزان بیان ژن های *norA* و *norB* در سویه های مقاوم به سیبروفلوکساسین.

شماره سویه	ژن <i>norB</i>	ژن <i>norA</i>	ژن <i>gmk</i>	
۷	۱۴۰/۰۲±۰/۲۶	۱۸۰/۰۵±۰/۲۳	۱	
۹	.	۱۴/۵۷±۰/۸۱	۱	
۳۱	۲۵/۵۵±۰/۶۱	۳۵/۷۷±۰/۵۲	۱	
۳۲	.	۱۸/۴۴±۰/۱۶	۱	
۳۳	۹۵/۵۶±۰/۲۲	۱۱۴/۹۱±۰/۸۳	۱	
۳۴	۳۲۰/۸۷±۰/۳۷	۴۰۰/۳۱±۰/۱۳	۱	
۴۳	۵/۶±۰/۸۴	۱۴/۵۷±۰/۶۳	۱	
۴۵	۱۵/۳۳±۰/۵۵	۲۰/۳۲±۰/۱۹	۱	
۴۶	۱۵/۱۱±۰/۷۶	۱۵/۲۳±۰/۴۸	۱	
۴۷	۱۳۳/۵۹±۰/۳۲	۴۰/۰۸±۰/۳۹	۱	
۴۸	۵۱/۲۳±۰/۲۳	۶۲/۸۲±۰/۴۷	۱	
۵۰	۱۹۰/۲۲±۰/۵۱	۲۰۰/۱۵±۰/۶۲	۱	
ATCC ۲۵۹۲۳	۱۰/۱۵±۰/۹۹	۱۱/۰۲±۰/۶۴	۱	
ATCC ۱۲۲۲۸	.	.	۱	

بحث

مقاوم به سپروفلوکسازین سه ماه بعد از استفاده از سپروفلوکسازین ایجاد شده است (۲۴). مکانیسم مقاومت به کوئینولون‌ها در باکتری‌ها مقاومت متفاوت است. در باکتری ارششا کلی، مکانیسم مقاومت ناشی از تغییر ساختار آنزیمی DNA جیزار می‌باشد (۲۵). همانطور که پیشتر اشاره شد، یکی از مکانیسم‌های مقاومت به سپروفلوکسازین در سویه‌های استافیلکوکوس اورئوس، وجود پمپ‌های افلاکس می‌باشد. این پمپ‌ها باعث دفع و تراوش طیف گستردگی از مواد شامل آنتی‌بیوتیک‌ها، ترکیبات آنتی‌سپتیک، رنگ‌ها و دترژن‌تها می‌شوند و بنابراین در ایجاد مقاومت چند دارویی نقش بسزایی دارند. بررسی‌های مختلفی در زمینه شناسایی فنوتیپی و ژنوتیپی پمپ‌های افلاکس در سویه‌های استافیلکوکوس اورئوس انجام شده است. Pourmand و همکاران در سال ۲۰۱۴، وجود ژن پمپ افلاکس norA و بیان آن را در سویه‌های مقاوم به سپروفلوکسازین مورد بررسی قرار دادند. نتایج این مطالعه نشان داد که ژن norA در تمامی سویه‌های مقاوم به سپروفلوکسازین وجود دارد و بیان ژن آن در مجاورت بیوساید هگزاہیدروکوئینولون افزایش می‌یابد (۱۹). در مطالعه دیگری Saiful و همکاران در سال ۲۰۰۸ پمپ‌های افلاکس norA را در سویه‌های MRSA نشان دادند که از ۱۹ سویه MRSA جداسازی شده، ۱۶ سویه دارای ژن norA هستند و تمامی سویه‌ها دارای پمپ‌های افلاکس فعلی بودند (۲۶). در مطالعه ما نقش پمپ افلاکس norA و norB که از خانواده MFS در باکتری استافیلکوکوس اورئوس می‌باشد، به صورت فنوتیپی و ژنوتیپی مورد مطالعه قرار گرفت. بطوریکه تمام سویه‌های مقاوم به سپروفلوکسازین دارای ژن norA و ۸۳٪ از ایزوله‌ها دارای ژن norB بودند و از نظر فنوتیپی تمامی سویه‌ها دارای پمپ افلاکس فعلی بودند که نشان دهنده تایید وجود ژن های پمپ افلاکس در سویه‌های مقاوم به سپروفلوکسازین می‌باشد. همچنین در این مطالعه، به منظور بررسی فعالیت پمپ افلاکس norA و norB و برای تعیین اینکه آیا مقاومت به سپروفلوکسازین ناشی از پمپ افلاکس است یا خیر، فعالیت پمپ افلاکس توسط بررسی MIC سپروفلوکسازین، در حضور و عدم حضور مهارکننده پمپ افلاکس CCCP و اتیدیوم بروماید انجام شد. بدین ترتیب که سویه‌های مقاوم به آنتی‌سپروفلوکسازین و دارای پمپ افلاکس norA و norB تحت تاثیر غلظت‌های مختلف از CCCP و اتیدیوم بروماید قرار گرفتند و میزان MIC آن‌ها مشخص گردید. نتایج نشان داد که میزان MIC اتیدیوم بروماید سویه‌های مقاوم به آنتی‌بیوتیک در مجاورت با CCCP به میزان ۱ تا ۴ برابر کاهش یافت. این امر نشان دهنده فعالیت ضد پمپ افلاکسی CCCP و فعال بودن آن‌ها بود. بدین صورت که CCCP فعالیت پمپ افلاکس norA و norB را متوقف کرده و اتیدیوم بروماید در غلظت‌های کمتری توانایی از بین بردن باکتری‌ها را دارد. کاهش

در این مطالعه ۲۰٪ از نمونه‌های بالینی جمع‌آوری شده آنوده به استافیلکوکوس اورئوس بودند و نتایج حاصل از حساسیت آنتی‌بیوتیکی نشان داد که بیشترین مقاومت مربوط به پنی‌سیلین (۹۸٪) و کمترین مقاومت مربوط به ونکومایسین و کلیستین بود. همچنین ۶۸٪ سویه‌ها مقاوم به متی‌سیلین و ۲۴٪ سویه‌ها مقاوم به سپروفلوکسازین بودند. مطالعات مختلفی جهت بررسی میزان مقاومت آنتی‌بیوتیکی سویه‌های بالینی استافیلکوکوس اورئوس انجام شده است. در مطالعه‌ای که سال ۱۳۸۴ بر روی ۷۰ نمونه استافیلکوکوس اورئوس انجام گرفت نشان داد که ۵۰٪ نمونه‌های مذکور نسبت به سفوکسیتین مقاوم بوده (MRSA) و بررسی الگوی آنتی‌بیوتیکی مشخص گردید که مقاومت آنتی‌بیوتیکی بالا در میان سویه‌های مقاوم به متی‌سیلین نسبت به آنتی‌بیوتیک‌های مانند پنی‌سیلین (۱۰۰٪)، تتراسایکلین (۷۴٪)، کوتريموسازول (۶۸٪)، اریترومایسین (۶۸٪) و سفتازیدیم (۵۱٪) مشاهده گردید (۲۱). مطالعه Moradi و همکاران در سال ۱۳۹۰ بر روی ۱۰۴ نمونه استافیلکوکوس اورئوس نشان داد که بیشترین میزان حساسیت نسبت به ونکومایسین (۹۶٪)، کلامفینیکل (۸۸٪)، ریفامپین (۸۱٪) بوده و میزان مقاومت سویه‌ها به سفوکسیتین (۴۰٪) می‌باشد (۲۲). در مطالعه ما میزان مقاومت به متی‌سیلین ۶۸٪ گزارش شد و مقایسه دو مطالعه فوق و سایر کاراشات صورت گرفته در زمینه بررسی شیوع سویه‌های مقاوم به متی‌سیلین با مطالعه ما افزایش مقاومت به متی‌سیلین را نشان می‌دهد که یکی از دلایل افزایش مقاومت به متی‌سیلین در سالهای اخیر ممکن است به دلیل مصرف بی‌رویه آنتی‌بیوتیک‌ها باشد. بالا بودن میزان مقاومت آنتی‌بیوتیکی به متی‌سیلین در بین سویه‌های استافیلکوکوس اورئوس ایجاد کننده عفونت‌های بالینی پیشنهاد کننده بررسی مکانیسم‌های دخیل در ایجاد مقاومت و بررسی فعالیت ضد میکروبی داروهای جدید در شرایط آزمایشگاهی می‌تواند به روند درمان مؤثر این عفونتها کمک نماید. همانطور که اشاره شد سویه‌های MRSA یکی از پاتوژن‌های مهم بیمارستانی می‌باشد که به سرعت در سرتاسر جهان شیوع پیدا کرده‌اند. این ارگانیسم به اکثر آنتی‌بیوتیک‌های بتالاکتام مقاوم شده است و جایگزین‌های کمی برای درمان آن وجود دارد (۲۳). یکی از جایگزین‌های درمانی آنتی‌بیوتیک سپروفلوکسازین از خانواده کوئینولون‌ها می‌باشد. اما مطالعات جدید نشان دهنده افزایش مقاومت به این آنتی‌بیوتیک نیز بوده است. در این مطالعه از میان ۳۴ سویه MRSA ۱۲ سویه مقاوم به سپروفلوکسازین (۲۴٪) بودند که نشان دهنده شروع مقاومت به سپروفلوکسازین در میان سویه‌های استافیلکوکوس اورئوس باشد. در سال‌های اخیر مقاومت بالا به کوئینولون‌ها در سویه‌های MRSA گزارش شده است. در ایالات متحده در نیویورک، شیوع سویه‌های

نتایج این مطالعه نشان داد که پمپ افلاکس *norA* یکی از مکانیسم‌های مهم مقاومت به آنتی‌بیوتیک‌های فلوروکینولون‌ها مانند سیپروفلوکساسین می‌باشد اما نباید نقش سایر عوامل و مکانیسم‌های دخیل در مقاومت نادیده گرفته شود. در نهایت پیشنهاد می‌شود که مطالعات جدید برای تولید و گسترش مولکول‌های مهارکننده افلاکس نیاز می‌باشد. توسعه مهارکننده‌های پمپ افلاکس از جمله عصاره‌های گیاهی به امکان کترل خطر سویه‌های مقاوم به حاوی پمپ‌های افلاکس خواهد گردید. همچنین پیشنهاد می‌گردد که عصاره سایر گیاهان دارویی به صورت سینزیسمی مورد مطالعه قرار گیرند.

قدرتمندی

این مقاله حاصل بخشی از پایان نامه با شماره ۱۵۷۳۰۵۰۷۹۵۲۰۱۰ عنوان فراوانی و آنالیز بیان ژن‌های *norA* و *norB* در سویه‌های بالینی استافیلکوکوس اورئوس در سال ۱۳۹۵ است که با حمایت دانشگاه آزاد اسلامی واحد تهران شمال اجرا شده است و از تلاش همکاران بخصوص جناب آقای حسن رحمتی تشکر و قدردانی می‌نماییم.

ملاحظات اخلاقی

در این مطالعه به دلیل عدم استفاده از نمونه‌های انسانی ملاحظه اخلاقی وجود نداشت.

منابع مالی

حمایت مالی از این مطالعه تحقیقاتی توسط دانشگاه آزاد اسلامی واحد تهران شمال صورت گرفته است.

منافع متقابل

نویسنده‌گان این مقاله اظهار می‌دارند که منافع متقابلی از تالیف یا انتشار این مقاله وجود ندارد.

مشارکت مؤلفان

ا. میرزایی و ح. نوری‌زارگان و همکاران طراحی، اجرا و تحلیل نتایج مقاله را بر عهده داشتند. همچنین امیرزایی و توکلی. ز. نسخه نهایی مقاله را خوانده و تایید نموده‌اند.

میزان MIC اتیدیوم بروماید در سویه‌های مختلف ممکن است فقط از طریق اثرات مهارکننده‌گی پمپ افلاکس توسط CCCP نباشد بلکه ممکن است CCCP از سایر مسیرها مانند منفذ‌های غشایی مانند پورین‌ها میزان MIC را تغییر دهند. همچنین، همانطور که در بخش نتایج اشاره شد، در حضور CCCP میزان MIC اتیدیوم بروماید کاهش می‌یابد که منطبق با نتایج سایر مطالعات می‌باشد که نشان دهنده این موضوع است که پمپ افلاکس مسئول ایجاد مقاومت به آنتی‌بیوتیک سیپروفلوکساسین است. در تایید نتایج تحقیق حاضر، Saiful و همکاران در سال ۲۰۰۸ به ارتباط معنادار بین میزان بیان پمپ افلاکس *norA* و میزان *norB* اثبات کردند. همچنین این محققان نشان دادند که افزایش بیان پمپ افلاکس *norA* یک مکانیسم رایج کاهش حساسیت به متی‌سیلین در این باکتری می‌باشد (۲۶). Huet AA و همکاران در سال ۲۰۰۸، تعداد ۹ سویه MRSA مقاوم به سیپروفلوکساسین را از نظر وجود و بیان پمپ‌های افلاکس مورد بررسی قرار دادند. در این مطالعه ابتدا این ژن‌ها با استفاده از روش Real Time PCR تشخیص داده شد و بیان این ژن‌ها در مجاورت غاظت‌های پایین بیوسایددها مورد بررسی قرار گرفت. نتایج این مطالعه نشان داد که پمپ‌های افلاکس *norA* و *norB* در تمامی سویه‌ها وجود داشته و بیان آن‌ها در مجاورت بیوسایددها افزایش می‌یابد (۲۷). مقایسه نتایج این مطالعه با مطالعه‌های می‌نشان می‌دهد که ژن *norA* و *norB* در بیشتر سویه‌های مقاوم به سیپروفلوکساسین وجود دارد و احتمالاً مقاومت سویه‌های استافیلکوکوس اورئوس *norB* را به سیپروفلوکساسین ایجاد می‌کند. در سویه‌های فاقد ژن *norB* ولی مقاوم به سیپروفلوکساسین، احتمالاً مکانیسم‌های دیگری از قبلی غیرفعال سازی دارو، تغییر جایگاه هدف همراه با سایر پمپ‌های افلاکس بر ایجاد مقاومت به سیپروفلوکساسین دخیل است. Costa و همکاران در سال ۲۰۱۳، پمپ‌های افلاکس را در ۵۲ سویه مقاوم به سیپروفلوکساسین با استفاده از اتیدیوم بروماید مورد مطالعه قرار دادند. نتایج این مطالعه نشان داد که پمپ‌های افلاکس نقش مهمی را در کاهش مقاومت به آنتی‌بیوتیک‌ها و همچنین بیوسایددها دارد (۲۸). همچنین در مطالعه ما ارتباط بین تست فنوتیپی (اتیدیوم بروماید) و ژنوتیپی (وجود ژن‌های پمپ افلاکس) پمپ افلاکس همانند دو مطالعه فوق نشان داده شد بطوری که تمامی سویه‌هایی که از نظر ژنوتیپی حاوی ژن‌های پمپ افلاکس بودند از نظر فنوتیپی نیز دارای پمپ افلاکس فعل بودند.

نتیجه‌گیری

References

1. Sakoulas G, Gold H S, Cohen R A, Venkataraman L, Moellering R C, Eliopoulos G M. Effects of prolonged vancomycin administration on methicillin-resistant

Staphylococcus aureus (MRSA) in a patient with recurrent bacteremia. *J Antimicrobial Chemotherapy* 2006; **57**(4): 699-704. doi: 10.1093/jac/dkl030.

2. Hefzy E M, Hassan G M, Abd E I, Reheem F. Detection of panton-valentine leukocidin-positive methicillin-resistant *Staphylococcus aureus* nasal carriage among Egyptian health care workers. *Surg Infect* 2016; **17**(3): 369-375. doi: 10.1089/sur.2015.192.
3. Petrović-Jeremić L, Kuljić-Kapulica N, Ristanović E, Jošić D, Lepšanović Z. Prevalence of panton-valentine leukocidin genes in community-associated methicillin-resistant *Staphylococcus aureus* in the District of Pomoravlje. *Vojnosanitetski Pregled* 2016; **73**(3): 256-260. doi: 10.2298/VSP140715003P.
4. Firsov A A, Smirnova M V, Strukova E N, Vostrov S N, Portnoy Y A, Zinner SH. Enrichment of resistant *Staphylococcus aureus* at ciprofloxacin concentrations simulated within the mutant selection window: bolus versus continuous infusion. *Inter J antimicrobial agents* 2008; **32**(6): 488-493. doi: 10.1016/j.ijantimicag.2008.06.031.
5. Eed E M, Ghonaim M M, Hussein Y M, Al-Shehri S S, Khalifa A S. Molecular characterization of Panton-Valentine leucocidin-producing methicillin-resistant *Staphylococcus aureus* clones isolated from the main hospitals in Taif, KSA. *Indian J Med Microbiol* 2016; **34**(4): 476-482. doi: 10.4103/0255-0857.195364.
6. Kosmidis C, Schindler B D, Jacinto P L, Patel D, Bains K, Seo SM, et al. Expression of multidrug resistance efflux pump genes in clinical and environmental isolates of *Staphylococcus aureus*. *Inter J Antimicrobial Agents* 2012; **40**(3): 204-209. doi: 10.1016/j.ijantimicag.2012.04.014.
7. Li X-Z, Nikaido H. Efflux-mediated drug resistance in bacteria. *Drugs* 2004; **64**(2):159-204. doi: 10.2165/00003495-200464020-00004.
8. Brown M H, Paulsen L T, Skurray R A. The multidrug efflux protein NorM is a prototype of a new family of transporters. *Mol Microbiol* 1999; **31**(1): 394-395. doi: 10.1046/j.1365-2958.1999.01162.x.
9. Poole K. Efflux pumps as antimicrobial resistance mechanisms. *Ann Med* 2007; **39**(3): 162-176. doi: 10.1080/07853890701195262.
10. Li X-Z, Nikaido H. Efflux-mediated drug resistance in bacteria. *Drugs* 2009; **69**(12): 1555-1623.
11. Soto S M. Role of efflux pumps in the antibiotic resistance of bacteria embedded in a biofilm. *Virulence* 2013; **4**(3): 223-229. doi: 10.4161/viru.23724.
12. Netsvyetayeva I, Fraczek M, Piskorska K, Golas M, Sikora M, Mlynarczyk A, et al. *Staphylococcus aureus* nasal carriage in Ukraine: antibacterial resistance and virulence factor encoding genes. *BMC Infect Dis* 2014; **5**(14): 128. doi: 10.1186/1471-2334-14-128.
13. De Kievit T R, Parkins M D, Gillis R J, Srikumar R, Ceri H, Poole K, et al. Multidrug efflux pumps: expression patterns and contribution to antibiotic resistance in *Pseudomonas aeruginosa* biofilms. *Antimicrob Agents Chemother* 2001; **45**(6): 1761-1770. doi: 10.1128/AAC.45.6.1761-1770.2001.
14. Deng X, Sun F, Ji Q, Liang H, Missiakas D, Lan L, He C. Expression of multidrug resistance efflux pump gene *norA* is iron responsive in *Staphylococcus aureus*. *J Bacteriol* 2012; **194**(7): 1753-1762. doi: 10.1128/JB.06582-11.
15. Truong-Bolduc Q C, Bolduc G R, Okumura R, Celino B, Bevis J, Liao C H, et al. Implication of the NorB efflux pump in the adaptation of *Staphylococcus aureus* to growth at acid pH and in resistance to moxifloxacin. *Antimicrob Agents Chemother* 2011; **55**(7): 3214-3219. doi: 10.1128/AAC.00289-11.
16. De Araújo R S A, Barbosa-Filho J M, Scotti M T, Scotti L, Cruz RMDd, Falcão-Silva VdS, et al. Modulation of Drug Resistance in *Staphylococcus aureus* with Coumarin Derivatives. *Scientifica (Cairo)* 2016; **2016**: 6894758. doi: 10.1155/2016/6894758
17. Perrott J, Mabasa V H, Ensom M H. Comparing outcomes of meropenem administration strategies based on pharmacokinetic and pharmacodynamic principles: a qualitative systematic review. *Ann Pharmacother* 2010; **44**(3): 557-564. doi: 10.1345/aph.1M339.
18. Igbinosa O E, Beshiru A, Akporehe L U, Oviasogie F E, Lgbinosa O O. Prevalence of methicillin-resistant *Staphylococcus aureus* and other *Staphylococcus* species in raw meat samples intended for human consumption in Benin City, Nigeria: implications for public health. *Int J Environ Res Public Health* 2016; **13**(10): 949. doi:10.3390/ijerph13100949.
19. Chan B C, Ip M, Lau CB, Lui S L, Jolivalt C, Ganem-Elbaz C, et al. Synergistic effects of baicalein with ciprofloxacin against *NorA* over-expressed methicillin-resistant *Staphylococcus aureus* (MRSA) and inhibition of MRSA pyruvate kinase. *J Ethnopharmacol* 2011; **137**(1): 767-773. doi: 10.1016/j.jep.2011.06.039.
20. He X, Ahn J. Differential gene expression in planktonic and biofilm cells of multiple antibiotic-resistant *Salmonella Typhimurium* and *Staphylococcus aureus*. *FEMS Microbiol Lett* 2011; **325**(2): 180-188. doi: 10.1111/j.1574-6968.2011.02429.x
21. Liger F, Bouhours P, Ganem-Elbaz C, Jolivalt C, Pellet-Rostaing S, Popowycz F, et al. C2 Arylated Benzo [b] thiophene Derivatives as *Staphylococcus aureus* NorA Efflux Pump Inhibitors. *Chem Med Chem* 2016; **11**(3): 320-330. doi: 10.1002/cmdc.201500463.
22. Moradi N, Javadpou S, Karmostaji A. Reduced sensitivity of *Staphylococcus aureus* to vancomycin. *J Hormoz Uni Med Sci* 2011; **15**(3): 169-177. [persian].
23. Aslantaş Ö, Demir C. Investigation of the antibiotic resistance and biofilm-forming ability of *Staphylococcus aureus* from subclinical bovine mastitis cases. *J Dairy Sci* 2016; **99**(11): 8607-8613. doi: 10.3168/jds.2016-11310.
24. Yang Y, Hu Z, Shang W, Hu Q, Zhu J, Yang J, et al. Molecular and phenotypic characterization revealed high prevalence of multidrug-resistant methicillin-susceptible *Staphylococcus aureus* in chongqing, southwestern china.

- Microb Drug Resist* 2016; **18**: 56-61. doi: 10.1089/mdr.2016.0078.
25. Nakanishi A, Oshida T, Matsushita T, Imajoh-Ohmi S, Ohnuki T. Identification of DNA Gyrase Inhibitor (GyrI) in *Escherichia coli*. *J Bio Chemist* 1998; **273**(4): 1933-1938. doi: 10.1074/jbc.273.4.1933.
26. Saiful A J, Mastura M, Zarizal S, Mazurah MI, Shuhaimi M, Ali A M. Efflux genes and active efflux activity detection in Malaysian clinical isolates of methicillin-resistant *Staphylococcus aureus* (MRSA). *J Basic Microbiol* 2008; **48**(4): 245-251. doi: 10.1002/jobm.200700387.
27. Huet A A, Raygada J L, Mendiratta K, Seo S M, Kaatz G W. Multidrug efflux pump overexpression in *Staphylococcus aureus* after single and multiple in vitro exposures to biocides and dyes. *Microbiol* 2008; **154**(10): 3144-3153. doi: 10.1099/mic.0.2008/021188-0.
28. Costa S S, Junqueira E, Palma C, Viveiros M, Melo-Cristino J, Amaral L, et al. Resistance to antimicrobials mediated by efflux pumps in *Staphylococcus aureus*. *Antibiotics* 2013; **2**(1): 83-99. doi: 10.3390/antibiotics2010083.

Original Article

The effect of single bout of continuous and high intensity interval exercise on VEGF levels in adipose tissue in obese male wistar rats

Maryam Nourshahi¹ , Marzieh Bagheri^{1*} , Hasan Fallah Hossaini²

¹ Department of biological sciences in sport, School of Sport Sciences and health, Shahid Beheshti University, Tehran, Iran

² Department of Pharmacology and Functional Medicine, Iranian Institute of Medicinal Plants, Karaj, Iran.

*Corresponding author; E-mail: m.bagheri@ymail.com

Received: 31 January 2017 Accepted: 21 May 2017 First Published online: 17 January 2019

Med J Tabriz Uni Med Sciences Health Services. 2019 February-March; 40(6):74-80

Abstract

Background: Continuous and interval exercises cause losing weight and changing in adipose tissue. The goal of this study is to investigate the effect of single bout of continues (CON) and high intensity interval exercise (HIE) on the VEGF levels in adipose tissue of obese male Wistar rats.

Methods: After high fat diet for eight weeks, 30 rats with BMI: 0.68 g/cm^2 were chosen. The exercise program in HIE group was 5sets with 100% $vV_{O_{2\max}}$ and 4 sets with 30% $vV_{O_{2\max}}$. The intensity in CON group was 65% $vV_{O_{2\max}}$. Both groups started their exercise after 3 minutes of warming up. The control group didn't take part in any exercises. Immediately after exercise animals were anesthetized and then visceral and subcutaneous adipose tissues were removed. Measuring the VEGF levels was performed with western blotting method.

Results: we found that the single bout continues exercise has increased 39% VEGF levels ($P=0.05$), while single bout HIE has decreased ($P=0.012$) in visceral adipose tissue. VEGF levels in subcutaneous weren't measurable because of low levels of VEGF or mistake in removing tissue.

Conclusion: Continues exercise was effective in increasing of VEGF. Decreasing of VEGF levels was due to hypo perfusion in HIE group during exercise. Because of dysfunction of angiogenic capacity in adipose tissue of obese people to stimulate more adaption and accurate diagnosis, recommended that changes of VEGF levels should measure in different times after exercise.

Keywords: Obesity, Subcutaneous Adipose Tissue, Hypoxia, Inflammation, Vascular Endothelial Growth Factor.

How to cite this article: Nourshahi M, Bagheri M, Hossaini H F. [The effect of single bout of continuous and high intensity interval exercise on VEGF levels in adipose tissue in obese male wistar rats]. Med J Tabriz Uni Med Sciences Health Services. 2019 February -March;40(6):74-80. Persian.

مقاله پژوهشی

اثر یک جلسه فعالیت تداومی و تناوبی با شدت بالا بر میزان VEGF در بافت چربی موش‌های صحرایی چاق

مریم نورشاھی^۱ , مرضیه باقری^۱ , حسن فلاح حسینی^۲

^۱ گروه علوم زیستی در ورزش، دانشکده علوم ورزشی و تدرستی، دانشگاه شهید بهشتی تهران، تهران، ایران.
^۲ گروه فارماکولوژی و طب کاربردی، پژوهشکده گیاهان دارویی جهاد دانشگاهی کرج، کرج، ایران.

* نویسنده مسؤول؛ ایمیل: m.bagheri@ymail.com

دریافت: ۱۳۹۵/۱۱/۱۲ پذیرش: ۱۳۹۶/۲/۳۱ انتشار برخط: ۱۳۹۷/۱۰/۲۷
مجله پزشکی دانشگاه علوم پزشکی و خدمات بهداشتی-درمانی تبریز. ۱۳۹۷ بهمن و اسفند؛ ۴۰(۶):۸۰-۷۴.

چکیده

زمینه: فعالیت‌های تداومی و تناوبی علاوه بر کاهش وزن می‌توانند موجب تغییراتی در بافت چربی شوند. هدف از انجام این مقاله بررسی اثر یک جلسه فعالیت تداومی و تناوبی با شدت بالا بر میزان VEGF در بافت چربی موش‌های نر ویستار چاق است.

روش کار: پس از هشت هفته رژیم پرچرب، $30\text{ سر موش با } 0.68 \text{ g/cm}^2 \text{ BMI}$ ، انتخاب شدند. فعالیت در گروه تناوبی با شدت بالا شامل ۵ مرحله با شدت 1.00 vVo2max و $4\text{ مرحله با شدت } 30\text{ vVo2max}$ بود. شدت در گروه تداومی نیز برابر با 65 vVo2max بود. دو گروه فعالیت خود را پس از ۳ دقیقه گرم کردن شروع کردند. گروه کنترل هیچ فعالیتی نداشت. بالاصله بعد از فعالیت ورزشی حاد موش‌ها بی‌هوش شدند، سپس بافت چربی زیرپوستی و احشایی آنها جمع‌آوری شد. برای تعیین غلظت VEGF از روش وسترن بلات استفاده شد.

یافته‌ها: آزمون آماری ANOVA یک‌طرفه نشان داد، میزان VEGF در گروه تداومی افزایش 39 درصدی داشت ($P=0.050$), در حالی‌که پس از فعالیت تناوبی با شدت بالا در بافت چربی احشایی کاهش یافت ($P=0.012$). میزان VEGF به علت پایین بودن یا خطأ در نمونه‌برداری در بافت چربی زیرپوستی قابل اندازه‌گیری نبود.

نتیجه گیری: فعالیت تداومی در افزایش VEGF مؤثر بود. احتمال دارد کاهش VEGF در گروه تناوبی به علت کاهش خون‌رسانی به بافت چربی در زمان فعالیت با شدت بالا باشد. با توجه به عملکرد نامناسب ظرفیت آنزیوژنیک در بافت چربی افراد چاق جهت تحریک سازگاری بیشتر و تشخیص دقیق، پیشنهاد می‌شود، تغییرات میزان VEGF در زمان‌های مختلف پس از فعالیت ورزشی اندازه‌گیری شود.

کلیدواژه‌های: چاقی، چربی زیرپوستی، هایپوکسی، التهاب، فاکتور رشد اندوتیال عروق

نحوه استناد به این مقاله: نورشاھی، م، باقری، م، فلاح حسینی، ح. اثر یک جلسه فعالیت تداومی و تناوبی با شدت بالا بر میزان VEGF در بافت چربی موش‌های صحرایی چاق. مجله پزشکی دانشگاه علوم پزشکی و خدمات بهداشتی-درمانی تبریز. ۱۳۹۷ بهمن و اسفند؛ ۴۰(۶):۸۰-۷۴.

حق تألیف برای مؤلف محفوظ است.

این مقاله با دسترسی آزاد توسط دانشگاه علوم پزشکی و خدمات بهداشتی-درمانی تبریز تحت مجوز کریپتو کامنز (4.0) (<http://creativecommons.org/licenses/by/4.0/>) منتشر شده که طبق مفاد آن هرگونه استفاده تنها در صورتی مجاز است که اثر اصلی به نحو مقتضی استناد و ارجاع داده شده باشد.

مقدمه

نوع فعالیت بدنی توأم تداومی و تناوبی را بر میزان VEGF-A سرمی مردان غیر ورزشکار بررسی کردند. نتایج این تحقیق افزایش سطح VEGF-A را دو ساعت پس از فعالیت ورزشی نشان داد (۱۰). بهمنظور کاهش بیماری‌های مرتبط با چاقی، تحقیقات انجام‌شده در پی یافتن بهترین برنامه ورزشی جهت تنظیم روند رگ‌زایی در بافت چربی هستند. ولی به علت پیچیده بودن نقش ورزش در تغییر الگوی متابولیسمی بافت‌های مختلف بهخصوص بافت چربی، نتیجه‌های مقایسه‌ای و قطعی در این زمینه متشر نشده است. از طرفی برای شناخت اثر میزان فعالیت ورزشی بر تغییرات بافتی، اولین گام فهمیدن اثر ورزش بر تغییرات VEGF در بازه‌های کوتاه مدت است. همچنین به علت تفاوت اثر فعالیت بدنی بر بافت‌های مختلف و اهمیت بافت چربی در بروز التهاب و مقاومت به انسولین، مقاله حاضر با هدف بررسی دو نوع فعالیت تداومی و تناوبی بر میزان فاکتور VEGF بافت چربی احساسی و زیرپوستی موش‌های چاق صحرایی انجام شد.

روش‌کار

در این پژوهش ۴۵ سر موش نر ویستار ۸ هفته‌ای از مرکز تحقیقات گیاهان دارویی جهاد دانشگاهی تهیه شد. موش‌ها هشت هفته با رژیم غذایی پرچرب تعذیب شدند. قد، وزن بدن موش‌ها و وزن غذا به صورت هفتگی اندازه‌گیری شد. در نهایت، نمونه آماری شامل ۳۰ سر موش ۱۶ هفته‌ای با شاخص توده بدنی بیشتر از 0.68 g/cm^2 (۱۱) انتخاب شدند. به منظور انجام فعالیت وامانده-ساز، موش‌ها از پایان هفته ششم به مدت دو هفته با تردمیل آشنا شدند. رژیم غذایی: برای تهیه غذا پلیت‌های عادی حیوان پودر با روغن و آب مخلوط شد. کل رژیم روزانه چربی (۸۰٪ روغن حیوانی و ۲۰٪ روغن گیاهی) و ۸۰٪ پلیت عادی بود. انرژی حاصل از چربی معادل ۳۵٪ کل انرژی روزانه بود. سپس خمیر حاصل، درون آون با دمای ۱۲۰ درجه به مدت ۳۰-۴۰ دقیقه قرار داده شد، پس از آن به تکه‌های کوچک مناسب جهت استفاده حیوان تقسیم شد. کل مراحل تهیه غذا در اینستیتو تعذیب و مواد غذایی شهید بهشتی انجام شد. پس از ۸ هفته و انتخاب موش‌ها با توجه به شاخص توده بدنی در سه گروه کترل، تداومی و تناوبی با شدت بالا ($n=10$) در هر گروه (۱۰) تقسیم شدند. میانگین وزنی در هر سه گروه یکسان ($320 \pm 10 \text{ gr}$) بود. آزمون جهت تعیین حداقل اکسیژن مصرفی: آزمون شامل ۱۰ مرحله سه دقیقه‌ای بر روی تردمیل با شیب صفر بود. سرعت در مرحله اول 0.3 m/s بود و در مراحل بعدی 0.3 m/s متر به سرعت تردمیل اضافه شد. پس از آزمون وامانده ساز موش‌ها به مدت ۲۴ ساعت فعالیتی انجام ندادند. سپس گروه‌های تجربی فعالیت تداومی و تناوبی با شدت بالا را به شرح زیر انجام دادند. فعالیت تناوبی با شدت بالا: مراحل انجام فعالیت ۴ مرحله بود. در مرحله‌ی گرم کردن موش‌ها

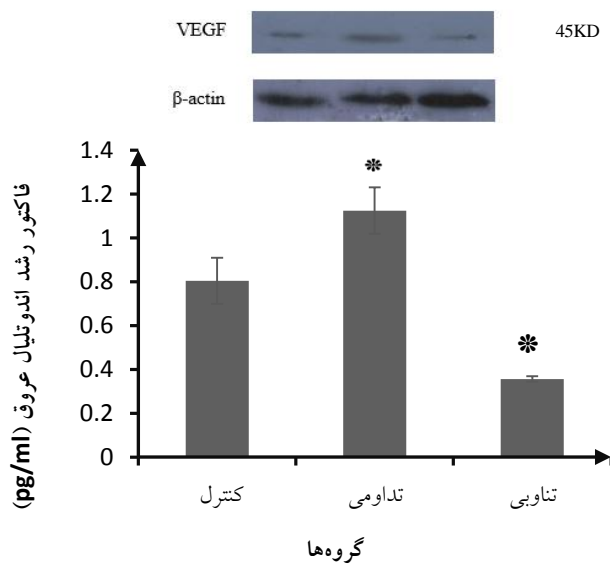
چاقی به عنوان یک بیماری غیر واگیر به‌طور چشم‌گیری در بسیاری از کشورها در حال افزایش است. این بیماری دلایل متعددی دارد که از مهم‌ترین آنها می‌توان به عوامل وراثتی، کاهش یا عدم فعالیت بدنی و رژیم غذایی نامناسب اشاره نمود (۱). گسترش بافت چربی در نتیجه هایپرتروفی و هایپرپلازی سلول‌های این بافت به نام ادیپوسیت‌ها (Adipocyte) است (۲). در سال ۱۹۷۱، بر طبق گزارش گیرالامو، ارتباط معکوسی بین اندازه ادیپوسیت‌ها و میزان جریان خون در بافت چربی مشاهده شد (۳). در افراد چاق با وجود افزایش حجم بافت چربی، جریان خون نسبت به افراد لاغر زیاد نمی‌شود. این امر با کاهش فشار اکسیژن (Hypoxia) در بافت چربی سفید همراه است (۴). تحقیقات متعددی هایپوکسی را آغاز فرآیند التهاب در بافت چربی می‌دانند که زمینه‌ساز بروز بیماری‌های مرتبط با چاقی از جمله مقاومت به انسولین، دیابت نوع دو، فشارخون بالا و برخی از سرطان‌ها است (۵). در چنین حالتی انتظار می‌رود در زمان هایپوکسی در بافت چربی برای جبران کاهش اکسیژن، بیان ژن‌های مربوط به رگ‌زایی (آثیوژن) افزایش یابد تا جریان خون و غلظت اکسیژن در بافت زیاد شود و موجب بهبود در التهاب ایجادشده در بافت چربی شود (۶). بر این اساس گروه‌های مختلفی تحقیقات خود را برای یافتن فاکتورهای مؤثر در افزایش فاکتورهای رگ‌زایی و مطالعه اثرات آن در بافت چربی متمرکز کرده‌اند. تحقیقات سان و همکاران نشان داده است که در بافت چربی، VEGF (فاکتور رشد اندوتیال عروق) مهم‌ترین فاکتور رگ‌زایی، توسط عوامل مختلفی نظیر هایپوکسی، غلظت سایتوکاین‌های مؤثر در رگ‌زایی، سطح فعالیت بدنی و غیره تنظیم می‌شود (۶). از طرفی پاساریکا و همکاران بیان داشتند که هایپوکسی ایجادشده در بافت چربی به اندازه‌ای نیست که بتواند موجب فعال شدن VEGF و رگ‌زایی کافی در بافت چربی شود (۷). با توجه به این نتیجه، گروه‌های مختلفی در بی یافتن عوامل افزایش‌دهنده VEGF در بافت چربی هستند که در این میان، نقش فعالیت ورزشی به عنوان محرك تولید VEGF بسیار قابل توجه است. به عنوان نمونه وال و همکاران نقش ورزش را در تحریک VEGF بررسی کردند و به این نتیجه رسیدند که افزایش VEGF در اثر یک جلسه فعالیت تناوبی روی دوچرخه ارگومتر، به‌طور معنی‌داری بر میزان سطح VEGF سرمی تأثیر مثبت دارد (۸). فعالیت ورزشی علاوه بر افزایش متابولیسم و کاهش چاقی (۹) با تحریک رگ‌زایی در بافت چربی موجب بهبود بیماری‌های ناشی از آن می‌شود (۴). با توجه به اینکه تنوع فعالیت‌های ورزشی از نظر شدت، مدت، اندام‌های درگیر و غیره متفاوت است، به نظر می‌رسد برنامه‌های تمرینی مختلف اثرات متفاوتی بر کاهش وزن بدن (۹) و تغییرات بافتی نظیر میزان VEGF داشته باشند (۱۰). در تایید این موضوع رواسی و همکاران (۱۳۹۳) در تحقیقی تأثیر دو

روش و سترن بلات شناسایی شد. به منظور اندازه‌گیری میزان پروتئین، چگالی باندهای پروتئینی در فیلم عکاسی با نرم افزار Image J محاسبه شد. همچنین به منظور حذف خطای احتمالی لود مقادیر مساوی پروتئین‌ها، دانسیته‌های به دست آمده از باندهای مربوط به VEGF بر دانسیته باند بتاکتین به دلیل ثابت بودن میزان مربوط به spss ۱۶ استفاده شد. برای تعیین طبیعی بودن توزیع داده‌ها از آزمون شپروولیک و از آزمون one way ANOVA در سطح $P \leq 0.05$ برای نشان دادن اختلاف معنی‌داری مقادیر VEGF بین گروه‌ها استفاده شد.

یافته‌ها

میانگین و انحراف معیار تغییرات وزن حیوانات در طول هشت هفته رژیم پرچرب در جدول ۱ نشان داده شده است. نتایج این تحقیق نشان داد میان سطوح VEGF در بافت چربی احشایی در بین سه گروه تحقیق تفاوت معناداری وجود دارد ($P = 0.01$) و $F_{2,6} = 27.245$. برای بررسی معنی‌داری بین گروه‌ها به علت متجانس بودن واریانس‌ها ($P = 0.063$) از آزمون تعقیبی Tukey استفاده شد. با توجه به نتایج این آزمون مشخص شد که بین گروه کنترل و تمرین تداومی ($P = 0.50$)، گروه کنترل و تمرین تناوبی با شدت بالا ($P = 0.012$) و همچنین بین دو گروه تمرین تداومی و تناوبی با شدت بالا ($P = 0.01$) تفاوت معنی‌داری وجود دارد. این تغییرات در نمودار ۱ نمایش داده شده است. لازم به ذکر است که میزان VEGF در بافت چربی زیرپوستی به علت پایین بودن میزان پروتئین یا خطا در نمونه‌برداری بافت قابل اندازه‌گیری نبود.

با سرعت ۱۶-۱۳m/min معادل ۵۰-۴۰٪ حداکثر اکسیژن مصرفی بر روی تردیمیل دویدند. در مرحله‌ی آماده‌سازی برای ورود به ستهای تناوبی با شدت بالا، به مدت سه دقیقه با سرعت ۲۱-۱۷m/min معادل ۸۵٪ حداکثر اکسیژن مصرفی دویدند. سپس در ستهای ۲ دقیقه‌ای ایترووال شامل پنج ست با سرعت ۲۵-۲۰m/min معادل ۱۰۰٪ حداکثر اکسیژن مصرفی و چهار ست با سرعت ۷-۶m/min معادل ۳۰٪ حداکثر اکسیژن مصرفی به فعالیت پرداختند و در نهایت موش‌ها پنج دقیقه با سرعت ۵۰-۴۰٪ حداکثر اکسیژن مصرفی سرد کردند. فعالیت تداومی: شدت فعالیت در گروه تمرين تداومی برابر با سرعتی معادل ۶۵٪ حداکثر اکسیژن مصرفی بود. مدت زمان دویدن برابر با مسافت طی شده در ستهای ایترووال در گروه تناوبی بود. همچنین مراحل گرم کردن و سرد کردن ۵ دقیقه فعالیت با سرعت ۵۰-۴۰٪ حداکثر اکسیژن مصرفی بود. لازم به ذکر است گروه کنترل در این مدت در هیچ فعالیتی شرکت نداشت. بلافضله پس از فعالیت تناوبی و تداومی گروه‌ها، با توجه به وزن موش‌ها، حیوانات با ترکیبی از کامامین و زایلازین بی‌هوش شدند. سپس بافت چربی زیرپوستی از سمت راست شکم و قسمت پایین ناف نزدیک به کشاله ران و بافت چربی احشایی مزانتری، خلف صفاق و چربی اطراف کلیه به منظور بافت چربی احشایی برداشته شد و در فریزر در دمای -۸۰ درجه نگهداری شدند. در مرحله بعد نمونه‌ها با lysis buffer liz شدند و در دستگاه هموژنایزر قرار گرفتند و در آخر در سانتریفیوژ مدل Eppendorph 5415R در دمای چهار درجه سانتی‌گراد و با سرعت ۱۰۰۰۰ دور در دقیقه به مدت ۱۰ دقیقه سانتریفیوژ شدند. مایع شفاف (Supernatant) در بالای محلول حاوی پروتئین استخراج و در فریزر -۲۰ درجه نگهداری شد. مقادیر پروتئین VEGF، با استفاده از آنتی‌بادی VEGF ساخت شرکت abcam آمریکا و با



نمودار ۱. مقایسه میانگین و انحراف معیار میزان پروتئین VEGF در چربی احشایی گروه‌های کنترل، تداومی و تناوبی
* نشان‌دهنده اختلاف معنی‌دار نسبت به گروه کنترل

انحراف معيار	ميانگين	هفته هشتم	هفته نهم	هفته دهم	هفته یازدهم	هفته دوازدهم	هفته سیزدهم	هفته چهاردهم	هفته پانزدهم	هفته شانزدهم	۳۰۵/۰۹	۲۹۱/۰۵	۲۶۷/۲۰	۲۶۲/۶۱	۲۴۷/۰۰	۲۲۹/۰۵	۲۱۰/۰۵	۲۰۹/۸۲
		۱۴/۹۸	۱۰/۰۰	۱۳/۲۸	۱۰/۹۷	۱۲/۸۲	۱۰/۳۲	۷/۲۸	۸/۱۷	۸/۴۰								

بحث

به عنوان نتیجه‌گیری می‌توان بیان کرد با توجه به نوع آزمودنی‌ها و پروتکل این تحقیق (موش‌های چاق و فعالیت حاد تداومی) افزایش VEGF مشاهده شده در بافت چربی به علت افزایش فاکتورهای التهابی پس از فعالیت حاد تداومی در بافت چربی احشایی است. نتیجه دیگر این تحقیق کاهش ۶۰ درصدی VEGF پس از فعالیت ورزشی تناوبی در بافت چربی احشایی است. Gu و همکاران عنوان کردند که کاهش VEGF سرم به دنبال فعالیت حاد، ممکن است ناشی از اتصال VEGF به گیرنده‌های موجود روی سلول‌های اندوتیال به منظور فرآیند آثربویژن در عضله اسکلتی باشد (۱۹). از طرفی احتمال دارد کاهش VEGF به علت اتصال آن به دیگر پروتئین‌ها باشد. در همین راستا نشان داده شده است که آدیپونکتین مقدار VEGF سرم را در افراد با وزن طبیعی کاهش می‌دهد (۲۰). Zilaei و همکاران نشان دادند که تمرين تناوبی در مقایسه با تمرين تداومی موجب افزایش آدیپونکتین در زنان چاق می‌شود (۲۱). همچنین Zeng و همکاران بیان کردند تمرين با شدت بالا در مقایسه با تمرين کم شدت تر سبب افزایش ۱۵۰ درصدی آدیپونکتین می‌شود (۲۲). از طرفی Kriketos و همکاران عنوان کردند که فعالیت حاد تک جسمی، مقدار آدیپونکتین را افزایش می‌دهد (۲۳). با توجه به دلایل ذکر شده احتمال دارد چنین روندی در بافت چربی احشایی نیز رخداده باشد که به موجب آن، شاهد کاهش VEGF پس از فعالیت تناوبی در پژوهش حاضر هستیم.

میزان VEGF در بافت چربی زیرپوستی در مقاله حاضر قابل اندازه‌گیری نبود، که ممکن است ناشی از خطای نمونه‌برداری یا غلط انتساب پایین این پروتئین در بافت چربی زیرپوستی در گروه‌های کنترل، تداومی و تناوبی باشد بالای این پژوهش باشد. برای توضیح این امر می‌توان به پژوهش دیسانزو و همکاران اشاره کرد که بیان کردند، تمرين ورزشی باعث تغییر در VEGF-A بافت چربی احشایی می‌شود و در مقابل این تغییر را در بافت چربی زیرپوستی مشاهده نکردند (۱۳). Czarkowska و همکاران نیز بیان داشتند تمرين موجب افزایش بیان ژنی VEGF-A در بافت چربی زیرپوستی می‌شود، اما تغییری در مورد سطوح پروتئینی مشاهده نشد که با غلط انتساب این پروتئین در بافت چربی زیرپوستی در این تحقیق همسو است (۲۴). از طرفی امکان دارد فاکتور دیگری در فرایند رگزایی در بافت چربی نقش داشته باشد، همانطورکه Gealekman و همکاران در تحقیق خود بیان کردند، فاکتور ANGPTL4 نقش مهمی در فعالیت پروآثربویژنیک در بافت

نتایج تحقیق حاضر نشان داد میزان VEGF در بافت چربی احشایی بلافضلله پس از یک جلسه فعالیت هوایی تداومی به صورت معنی‌داری ۷/۳۹ افزایش یافت. تحقیقات مختلفی باهدف تأثیر فعالیت ورزشی با شدت‌های گوناگون بر میزان VEGF پس از فعالیت انجام شده است. Wahl و همکاران بیان کردند، یک جلسه فعالیت تداومی با شدت ۵۰% PPO بر روی دوچرخه ارگومتر تأثیر قابل توجهی بر میزان VEGF پس از فعالیت ورزشی VEGF Nourshahi و همکاران کاهش میزان (۱۶-۱۷) در مقابله با شدت ۴۵ دقیقه‌ای با شبکه (۱۲). در تمرين تداومی در موش‌های چاق در بافت چربی احشایی گزارش کردند (۱۳). به طور کلی می‌توان گفت شدت‌های گوناگون فعالیت ورزشی و زمان آن بر تغییرات VEGF اثرگذار است.

از طرفی افزایش VEGF ناشی از اجرای فعالیت ورزشی، از دو جنبه دیگر قابل بحث است. در شرایط هایپوكسی و ایسکمی ناشی از اجرای فعالیت ورزشی، فاکتور القایی (HIF) افزایش می‌یابد. HIF با اثرگذاری روی بخشی از رن VEGF موجب افزایش بیان این فاکتور می‌شود (۱۴). در زمان فعالیت نیز، جریان خون به سمت عضلات فعل افزایش می‌یابد. در تایید این موضوع در ارتباط با بافت چربی، هوهیمر و همکاران نشان دادند که جریان خون بافت چربی درنتیجه فعالیت ورزشی کاهش می‌یابد (۱۵).

درنتیجه در زمان فعالیت ورزشی، جریان خون در بافت چربی احشایی کاهش می‌یابد. این مسئله با کاهش فشار اکسیژن در این بافت همراه است. در این زمان با افزایش فعالیت $HIF1-\alpha$ ، موجب افزایش VEGF در بافت چربی احشایی می‌شود. از دیگر دلایل افزایش VEGF، افزایش IL-6 و اسیدهای چرب آزاد در بافت چربی است (۱۶). چربی احشایی به نسبت چربی زیرپوستی بیشتر با التهاب در ارتباط است زیرا مقادیر IL-8 و MCP-1 بیشتر از مخازن چربی احشایی ترشح می‌شوند (۱۷). Christiansen و همکاران بیان داشتند فعالیت حاد موجب افزایش فاکتورهای التهابی IL-6 و TNF- α در افراد دارای اضافه وزن و چاق در بافت چربی به نسبت افراد لاغر می‌شود (۱۸). Ravasi و همکاران نیز بیان کردند که زمان طولانی تر فعالیت هوایی پیش‌رونده در آزمودنی‌های سالم موجب ترشح بیشتر ایترولوکین‌های مختلف از جمله IL-6 و در پی آن افزایش بیشتر VEGF سرمی شده است (۱۰). با در نظر گرفتن این مطالب

دکتر نورشاھی و جناب آفای دکتر حسن فلاح حسینی و کارکنان دانشکده تربیت بدنی دانشگاه شهید بهشتی، پژوهشکده گیاهان دارویی جهاد دانشگاهی کرج و مرکز تحقیقات علوم اعصاب دانشگاه علوم پزشکی و خدمات بهداشتی درمانی شهید بهشتی صمیمانه تشکر و قدردانی می‌گردد.

منافع متقابل

مولفان اظهار می‌دارند که منافع متقابلی از تالیف این مقاله ندارد.

مشارکت مولفان

م-ن، م-ب و همکاران مقاله حاضر را طراحی، اجرا و تحلیل نتایج را بر عهده داشته‌اند.

ملاحظات اخلاقی

تمام آزمایش‌های صورت گرفته بر اساس دستورالعمل کمیته کار با حیوانات آزمایشگاهی دانشگاه شهید بهشتی طراحی گردید. همچنین در طول انجام پژوهش کدهای راهنمای کار با حیوانات ابلاغی وزارت بهداشت مورد توجه و رعایت گردید.

چربی زیرپوستی و احشایی دارد و این فاکتور عامل اساسی در ظرفیت آنژیوژنیک در بافت چربی زیرپوستی است (۲۵).

نتیجه‌گیری

تحقیق حاضر، اولین پژوهشی است که تغییرات میزان VEGF را در بافت چربی زیرپوستی و احشایی در موش‌های صحرایی چاق مورد بررسی قرار داده است. نتایج این پژوهش نشان داد نوع و شدت‌های مختلف فعالیت ورزشی بر میزان VEGF در بافت چربی اثرگذار است. به طوری که فعالیت تداومی موجب افزایش و فعالیت تناوبی موجب کاهش VEGF در بافت چربی احشایی شد. پیشنهاد می‌شود برای تیجه‌گیری بهتر زمان‌های مختلف بعد از تمرین تناوبی بهمنظور بیش جبرانی متغیرها پس از این کاهش مورد اندازه‌گیری قرار گیرد. همچنین در تحقیقات بعدی، علاوه بر اندازه‌گیری میزان VEGF بافت چربی، میزان VEGF در خون و فضای میان بافتی پس از دوره‌های تمرینی با شدت و زمان‌های متفاوت اندازه‌گیری شود تا مقایسه‌ای درست با توجه به محل اندازه‌گیری به دست آید.

قدرتانی

این مقاله از پایان‌نامه با شماره ۲۶۷ (پایگاه قدیم دانشگاه شهید بهشتی) برگرفته شده است. همچنین از استادی محترم سرکار خانم

References

- Krüger K, Mooren F C, Eder K, Ringseis R. Immune and Inflammatory Signaling Pathways in Exercise and Obesity. *American Journal of Lifestyle Medicine* 2016; **10**(4): 268-279. doi: 10.1177/1559827614552986
- Martinez-Santibañez G, Nien-Kai Lumeng C. Macrophages and the regulation of adipose tissue remodeling. *Annual review of nutrition* 2014; **34**: 57-76. doi: 10.1146/annurev-nutr-071812-161113
- Di Girolamo M A, Skinner N S, Hanley H G, Sachs R G. Relationship of adipose tissue blood flow to fat cell size and number. *American Journal of Physiology--Legacy Content* 1971; **220**(4): 932-937.
- Makki K, Froguel P, Wolowczuk I. Adipose tissue in obesity-related inflammation and insulin resistance: cells, cytokines, and chemokines. *ISRN inflammation* 2013; **22**: 2013. doi: 10.1155/2013/139239
- Trayhurn P. Hypoxia and adipocyte physiology: implications for adipose tissue dysfunction in obesity. *Annual review of nutrition* 2014; **34**: 207-236. doi: 10.1146/annurev-nutr-071812-161156.
- Sun K, Asterholm I W, Kusminski C M, Bueno A C, Wang Z V, Pollard J W, Brekken R A, Scherer P E. Dichotomous effects of VEGF-A on adipose tissue dysfunction. *Proceedings of the National Academy of Sciences* 2012; **109**(15): 5874-5879. doi: 10.1073/pnas.1200447109.
- Pasarica M, Sereda O R, Redman L M, Albarado D C, Hymel D T, Roan L E, et al. Reduced adipose tissue oxygenation in human obesity. *Diabetes* 2009; **58**(3):718-725. doi: 10.2337/db08-1098
- Wahl P, Zinner C, Achtzehn S, Behringer M, Bloch W, Mester J. Effects of acid-base balance and high or low intensity exercise on VEGF and bFGF. *European journal of applied physiology* 2011; **111**(7): 1405-1413. doi: 10.1007/s00421-010-1767-1
- Tsai M S, Kuo M L, Chang C C, Wu Y T. The effects of exercise training on levels of vascular endothelial growth factor in tumor-bearing mice. *Cancer Biomarkers* 2013; **13**(5): 307-313. doi: 10.3233/CBM-130359
- Ravasi A, Yadegari M, Choobineh S. The effect of two types of physical activity on response serum VEGF-A, non-athletic men. *Sport Biosciense (Harkat)* 2014; **6**: 41-56. (Persian).
- Novelli E L, Diniz Y S, Galhardi C M, Ebaid G M, Rodrigues H G, Mani F, et al. Anthropometrical parameters and markers of obesity in rats. *Laboratory animals* 2007; **41**(1): 111-119. doi: 10.1258/002367707779399518

12. Nourshahi M, Feizemilani R, Gholamali M. The effects of acute eccentric exercise on serum vascular endothelial growth factor and endostatin concentration in male wistar rats. *Journal of Sport in Biomotor Sciences* 2012; **5**: 86-94. (Persian).
13. Disanzo B L, You T. Effects of exercise training on indicators of adipose tissue angiogenesis and hypoxia in obese rats. *Metabolism* 2014; **63**(4): 452-455. doi: 10.1016/j.metabol.2013.12.004
14. Hirota K, Semenza G L. Regulation of angiogenesis by hypoxia-inducible factor 1. *Critical reviews in oncology/hematology* 2006; **59**(1): 15-26. doi: 10.1016/j.critrevonc.2005.12.003
15. Hohimer A R, Hales J R, Rowell L B, Smith O A. Regional distribution of blood flow during mild dynamic leg exercise in the baboon. *Journal of Applied Physiology* 1983; **55**(4): 1173-1177.
16. Kawamura T, Murakami K, Bujo H, Unoki H, Jiang M, Nakayama T, et al. Matrix metalloproteinase-3 enhances the free fatty acids-induced VEGF expression in adipocytes through toll-like receptor 2. *Experimental Biology and Medicine* 2008; **233**(10): 1213-1221. doi: 10.3181/0801-RM-20
17. Bruun J M, Helge J W, Richelsen B, Stallknecht B. Diet and exercise reduce low-grade inflammation and macrophage infiltration in adipose tissue but not in skeletal muscle in severely obese subjects. *American Journal of Physiology-Endocrinology and Metabolism* 2006; **290**(5): E961-967. doi: 10.1152/ajpendo.00506.2005
18. Christiansen T, Bruun J M, Paulsen S K, Ølholm J, Overgaard K, Pedersen S B, et al. Acute exercise increases circulating inflammatory markers in overweight and obese compared with lean subjects. *European journal of applied physiology* 2013; **113**(6): 1635-1642. doi: 10.1007/s00421-013-2592-0
19. Gu J W, Gadonski G, Wang J, Makey I, Adair TH. Exercise increases end statin in circulation of healthy volunteers. *BMC physiology* 2004; **4**(1): 2. doi: 10.1186/1472-6793-4-2
20. Lang K, Ratke J. Leptin and Adiponectin: new players in the field of tumor cell and leukocyte migration. *Cell Communication and Signaling* 2009; **7**(1): 27. doi: 10.1186/1478-811X-7-27
21. Zilaei bouri S, Peeri M. The Effect of Exercise Intensity on the Response of Some of Adipocytokins and Biochemical Marker of Bone in Obese and Overweight Young Female. *Iranian Journal of Endocrinology and Metabolism* 2015; **16**(6): 425-432. (Persian).
22. Zeng Q, Isobe K, Fu L, Ohkoshi N, Ohmori H, Takekoshi K, et al. Effects of exercise on adiponectin and adiponectin receptor levels in rats. *Life Sciences* 2007; **80**(5): 454-459. doi: 10.1016/j.lfs.2006.09.031
23. Kriketos A D, Gan S K, Poynten A M, Furler S M, Chisholm D J, Campbell L V. Exercise increases adiponectin levels and insulin sensitivity in humans. *Diabetes Care* 2004; **27**(2): 629-630. doi: 10.2337/diacare.27.2.629
24. Czarkowska-Paczek B, Zendzian-Piotrowska M, Bartłomiejczyk I, Przybylski J, Gorski J. The influence of physical exercise on the generation of TGF- β 1, PDGF-AA, and VEGF-A in adipose tissue. *European journal of applied physiology* 2011; **111**(5): 875-881. doi: 10.1007/s00421-010-1693-2
25. Gealekman O, Guseva N, Hartigan C, Apotheker S, Gorgoglione M, Gurav K, et al. Depot-specific differences and insufficient subcutaneous adipose tissue angiogenesis in human obesity. *Circulation* 2011; **1**: Circulationaha-110. doi: 10.1161/Circulationaha.110.970145

Original Article

Association between *Helicobacter pylori* infection and perforated peptic ulcer in patients operated in Urmia Imam Khomeini teaching hospital

Mehryar Nahaei¹ , Shiva Pakzad*¹ , Rahim Mahmodlou¹ , Kamran Shateri² 

¹Department of General Surgery, Imam Khomeini Medical Center, Urmia University of Medical Sciences, Urmia, Iran.

²Department of Gastroenterology, Imam Khomeini Medical Center, Urmia University of Medical Sciences, Urmia, Iran.

*Corresponding author; E-mail: shiva.pakzad@yahoo.com

Received: 21 January 2017 Accepted: 12 February 2017 First Published online: 17 January 2019
Med J Tabriz Uni Med Sciences Health Services. 2019 February-March; 40(6):81-87

Abstract

Background: Perforation is one of the most serious and potentially fatal complications of peptic ulcer disease. Based on patient's clinical condition, the traditional treatment of peptic ulcers often involves a definitive wound procedure or simple closure of the perforation cavity. The purpose of this study was to investigate the association between serological and pathologic findings in *Helicobacter pylori* infection with perforated peptic ulcer in surgical patients at Urmia Imam Khomeini Medical Center.

Methods: In a cross-sectional study, 80 patients with perforated peptic ulcer and 80 control subjects who underwent endoscopy due to uncomplicated peptic ulcer were entered this study at Imam Khomeini Medical Center of Urmia in 2017-2018. During the operation, a biopsy specimen was taken from the stomach wall and sent to the laboratory for pathologic and blood sent for serologic (IgM and IgG) examinations. Patients in the control group with uncomplicated peptic ulcers underwent a gastric biopsy during the endoscopy process; they were also examined for the same anti-*H. pylori* immunoglobulins. Data were analyzed statistically using SPSS-21 software.

Results: Of the 80 patients in the study group, 51 (63.8%) were male and 29 (36.2%) were female. In the control group, 42 (52.5%) were male and 38 (47.5%) were female. The mean age in the case and control groups were 51.83 ± 17.94 and 47.75 ± 12.89 years, respectively ($p = 0.149$). Fifty one (63.8%) of the case patients compared to 38 (47.5%) of control patients were IgM positive for *H. pylori* ($p = 0.02$). Regarding IgG, 41 (51.3%) of case patients were positive, while 55 (68.8%) of control patients were recorded as positive ($p = 0.01$). Our pathology results were positive for *H. pylori* in 66 (82.5%) of case patients compared to 48 (60%) of control patients, respectively ($p = 0.001$). Of 80 case patients, ulcers were detected to be prepyloric in 59 (73.8%) patients, body of stomach in 12 (16%) and duodenum ulcers in 5 (6.25%) patients.

Conclusion: Statistically significant differences observed between case and control groups ($p < 0.05$) and our results suggest that closure of the perforated wound and eradication of *H. pylori* can be the first step in the treatment of perforated peptic ulcer disease and could prevent the recurrence of the disease. Further studies using large numbers of patients and their follow up is recommended.

Keywords: Perforated peptic ulcer, *Helicobacter pylori*, Simple patch closure, Biopsy.

How to cite this article: Nahaei M, Pakzad Sh, Mahmodlou R, Shateri K. [Association between *Helicobacter pylori* infection and perforated peptic ulcer in patients operated in Urmia Imam Khomeini teaching hospital]. Med J Tabriz Uni Med Sciences Health Services. 2019 February-March;40(6):81-87. Persian.

مقاله پژوهشی

ارتباط بین عفونت هلیکوباتر پیلوئی و زخم پیتیک پرفوره در بیماران جراحی شده در بیمارستان امام خمینی(ره) ارومیه

مهریار نهائی^۱، شیوا پاکزاد^{۲*}، رحیم محمودلو^۱، کامران شاطری^۱

گروه جراحی عمومی، بیمارستان امام خمینی، دانشگاه علوم پزشکی ارومیه، ارومیه، ایران.
گروه بیماریهای داخلی-گوارش، بیمارستان امام خمینی، دانشگاه علوم پزشکی ارومیه، ارومیه، ایران.
نویسنده مسؤول؛ ایمیل: shiva.pakzad@yahoo.com

دریافت: ۱۳۹۷/۵/۶ پذیرش: ۱۳۹۷/۶/۲۵ انتشار برخط: ۱۳۹۷/۱۰/۲۷
محله پژوهشی دانشگاه علوم پزشکی و خدمات بهداشتی - درمانی تبریز. بهمن و اسفند ۱۳۹۷: ۴۰(۶): ۸۱-۸۷

چکیده

زمینه: پرفوراسیون یکی از عوارض جلدی و بالقوه کشنده بیماری زخم پیتیک می باشد. براساس شرایط بالینی بیمار، درمان سنتی زخمهای پیتیک غالباً شامل یک پروسیجر قطعی زخم یا بستن ساده حفره محل پرفوراسیون می باشد. هدف از مطالعه حاضر بررسی ارتباط بین عفونت هلیکوباتر پیلوئی به صورت سروولوژیک و پاتولوژیک با زخم پیتیک پرفوره در بیماران جراحی شده در مرکز امام خمینی (ره) ارومیه بود.

روش کار: در این مطالعه مقطعی، تعداد ۸۰ بیمار مبتلا به زخم پیتیک پرفوره که در مرکز پزشکی امام خمینی (ره) ارومیه در سال های ۱۳۹۵ و ۱۳۹۶ تحت جراحی قرار گرفتند و ۸۰ فرد کنترل که به دلیل زخم پیتیک غیر عارضه دار تحت آندوسکوپی قرار گرفتند وارد مطالعه شدند. بیماران گروه مورد تحت لایپاتومی قرار گرفته و زخم پیتیک پرفوره به وسیله بستن ساده همراه با پچ استوم ترمیم شد. در حین عمل یک نمونه بیوپسی از جدار معده اخذ شد و جهت بررسی از نظر پاتولوژی و نیز نمونه خون برای الدازه گیری ایمونوگلوبولین های IgM و IgG ضد هلیکوباتر پیلوئی به آزمایشگاه ارسال گردید. در بیماران گروه شاهد نیز نمونه های مشابه جهت بررسی پاتولوژیک و سروولوژیک ارسال گردید. اطلاعات کسب شده وارد چک لیست محقق ساخته شدند و سپس داده ها وارد نرم افزار SPSS-21 شدند و مورد تجزیه و تحلیل آماری قرار گرفتند.

یافته ها: از ۸۰ بیمار گروه مورد ۵۱ نفر (۶۳٪) مذکور ۲۹ نفر (۲۹٪) مونث بودند. در گروه کنترل ۴۲ نفر (۵۲٪) مذکور و ۳۸ نفر (۴۷٪) مونث بودند. میانگین سن در گروه مورد ۱۷/۹۴ ± ۵/۱۸۳ سال و در گروه کنترل ۱۲/۸۹ ± ۵/۱۸۳ سال بود ($P=0.149$). پنجاه و یک نفر (۶۳٪) از بیماران گروه مورد و ۳۸ نفر (۴۷٪) از بیماران گروه کنترل IgM مثبت بودند ($P=0.020$). پنجاه و پنج نفر (۶۸٪) از بیماران گروه مورد و ۴۱ نفر (۵۱٪) از گروه کنترل IgG مثبت بودند ($P=0.010$). نتایج پاتولوژی در ۶۶ نفر (۸۲٪) از بیماران گروه مورد مثبت بود، در حالیکه ۴۸ نفر (۶۰٪) از گروه کنترل نتایج پاتولوژی مثبت داشتند ($P=0.001$). از ۸۰ بیمار گروه مطالعه محل زخم پیتیک در ۵۹ نفر (۷۳٪) پره پیلوئیک، در ۱۶ نفر (۲۰٪) بادی معده و در ۵ نفر (۶٪) دئودنوم بود.

نتیجه گیری: نتایج یافته های پاتولوژیک و سروولوژیک در گروه های مورد و کنترل حاکی از تفاوت معنی دار آماری ($P<0.05$) بود و نشان داد که بستن زخم پرفوره و ریشه کن نمودن هلیکوباتر پیلوئی می تواند در بیماران قدم اول درمانی برای بیماری زخم پیتیک پرفوره باشد و مانع از عود مجدد بیماری گردد. با توجه به تعداد نمونه های بررسی شده در این مطالعه توصیه می شود مطالعات دیگری با تعداد نمونه های بیشتر و نیز با بی گیری بیماران بعد از درمان و بستن زخم پرفوره انجام گردد.

کلید واژه ها: زخم پیتیک پرفوره، هلیکوباتر پیلوئی، ترمیم زخم، بیوپسی

نحوه استناد به این مقاله: نهائی، م، پاکزاد، ش، محمودلو، ر، شاطری ک. ارتباط بین عفونت هلیکوباتر پیلوئی و زخم پیتیک پرفوره در بیمارستان امام خمینی(ره) ارومیه. مجله پژوهشی دانشگاه علوم پزشکی و خدمات بهداشتی - درمانی تبریز. ۱۳۹۷؛ ۴۰(۶): ۸۱-۸۷

حق تأثیف برای مؤلفان محفوظ است.
این مقاله با دسترسی آزاد توسط دانشگاه علوم پزشکی و خدمات بهداشتی - درمانی تبریز تحت مجوز کریپتو کامنز () منتشر شده که طبق مفاد آن هرگونه استفاده تنها در صورتی مجاز است که به اثر اصلی به نحو مقتضی استناد و ارجاع داده شده باشد.

مقدمه

بیوپتیکی در ترکیب با مهارکننده‌های پمپ پروتون یا بلوکه کننده‌های هیستامین (H_2) عفونت هلیکوباتر پیلوئی را در ۹۰٪ موارد ریشه کن می‌کند (۱۸). مطالعات اخیر به طور گسترده ارتباط بین هلیکوباتر پیلوئی و زخم پیتیک پرفوره را ارزیابی نموده و به نتایج متناقضی دست یافته‌اند و شیوه عفونت هلیکوباتر پیلوئی در بیمار مبتلا به زخم پیتیک پرفوره از ۴۷٪ به وسیله‌ی روش‌های سرولوژیک (۱۹) تا ۸۰٪ در مطالعات بیوپسی (۲۰) متفاوت بوده است. همچنین با توجه به جستجویی که در این زمینه در سطح منطقه و استان انجام شد موردی از مطالعه‌ی ارتباط بین این دو عامل یافت نشد که اهمیت موضوع در سطح کشور را بیان می‌کند. بنابراین هدف از مطالعه‌ی حاضر بررسی ارتباط بین عفونت هلیکوباتر پیلوئی به صورت سرولوژیک و پاتولوژیک با زخم پیتیک پرفوره در بیماران جراحی شده در مرکز پزشکی امام خمینی(ره) ارومیه بود.

روش کار

در این مطالعه مقطعی، تعداد ۸۰ بیمار مبتلا به زخم پیتیک پرفوره که در مرکز پزشکی امام خمینی (ره) ارومیه در سال‌های ۱۳۹۵ و ۱۳۹۶ تحت جراحی قرار گرفتند و ۸۰ فرد کنترل که به دلیل زخم پیتیک غیر عارضه دار تحت آندوسکوپی قرار گرفتند و از نظر سن و جنس با گروه مورد هماهنگی داشتند وارد مطالعه شدند. از تمامی بیماران رضایت‌نامه آگاهانه شرکت در مطالعه اخذ شد و در صورتیکه بیمار رضایت به ورود به مطالعه نداشت یا طی ۶ ماه اخیر، درمان ریشه‌کنی هلیکوباتر پیلوئی و داروهایی از قبیل کورتیکواستروئید یا ضد التهاب‌های غیر استروئیدی دریافت کرده بود، از مطالعه خارج شد. اطلاعات مربوط به سن و جنس و بیماری‌های زمینه‌ای از بیماران اخذ شد. تمامی بیماران گروه مورد بوسیله‌ی یک جراح با تجربه تحت لایپاراتومی قرار گرفته و زخم پیتیک پرفوره به وسیله‌ی بستن ساده همراه با پچ امتنوم ترمیم شد. در حین عمل یک نمونه‌ی بیوپسی از جدار معده اخذ شد و به آزمایشگاه ارسال شد و با انجام رنگ‌آمیزی وارتین استاری از نظر هلیکوباتر پیلوئی بررسی شد. همچنین، یک نمونه‌ی خون جهت بررسی از نظر ایمونوگلوبولین‌های ضد هلیکوباتر پیلوئی از بیماران اخذ شد و میزان IgM و IgG اندازه‌گیری شد که مقادیر IgM ≥ 1.1 و IgG ≥ 10 مثبت در نظر گرفته شد. بیماران گروه شاهد نیز که به دلیل زخم پیتیک غیر عارضه دار تحت آندوسکوپی قرار گرفتند، در حین انجام پرسه‌ی آندوسکوپی، یک نمونه‌ی بیوپسی از جدار معده بیماران اخذ شد. سپس یک نمونه‌ی خون از بیماران گروه شاهد برای بررسی از نظر ایمونوگلوبولین‌های ضد هلیکوباتر پیلوئی اخذ شد. تمامی اطلاعات کسب شده وارد

پرفوراسیون یکی از عوارض جدی و بالقوه کشنده‌ی بیماری زخم پیتیک می‌باشد (۱). پرفوراسیون در ۲ تا ۱۰٪ از بیماران با مشکل زخم پیتیک اتفاق می‌افتد و مسئول بیش از ۷۰٪ مرگ و میرها بیماری زخم پیتیک محسوب می‌گردد (۲). بروز پرفوراسیون دئودنال ۷ تا ۱۰ مورد در هر ۱۰۰۰۰۰ فرد بالغ در هر سال می‌باشد (۳). محل پرفوراسیون معمولاً شامل دیواره‌ی قدامی دئودنوم (۶۰٪) می‌باشد، هر چند ممکن است در قسمت آنترال (۲۰٪) و زخم‌های گاستریک انجنای کوچک (Lesser-curvature) (۲۰٪) اتفاق بیفتد (۸). زخم دئودنوم ضایعه‌ی غالب در جمعیت‌های غربی می‌باشد، در حالی که زخم‌های گاستریک بیشتر در کشورهای شرقی، به خصوص در ژاپن رویت می‌شود. زخم‌های گاستریک مورتالیته و موربیدیته بالاتری ناشی از خونریزی، پرفوراسیون و انسداد دارند (۹). پرفوراسیون زخم پیتیک معمولاً یک اختلال در بیماران جوانتر (به طور غالب در مردان) می‌باشد، اما اخیراً سن بیماران با زخم پیتیک پرفوره (غالباً در زنان) در حال افزایش می‌باشد (۱۰-۱۱). نیاز به جراحی برای زخم پیتیک پرفوره ثابت باقی مانده یا حتی افزایش پیدا کرده است و مورتالیته‌ی جراحی زخم پیتیک از زمان معرفی آنتاگونیستهای گیرنده‌ی H_2 کاهش نیافرته است و زخم‌های پیتیک هنوز مسئول حدود ۲۰۰۰۰ تا ۳۰۰۰۰ مرگ در سال در اروپا محسوب می‌شود (۱۱-۱۲). این امر ممکن است به خاطر افزایش استفاده از آسپیرین یا ضدانهاب‌های غیراستروئیدی باشد (۱۲). بر اساس شرایط بالینی بیمار، درمان سنتی زخم‌های پیتیک غالباً شامل یک پروسیجر قطعی زخم یا بستن ساده حفره‌ی محل پرفوراسیون می‌باشد. پروسیجرهای کاهش اسید به صورت فوری، علاوه بر ترمیم زخم، عود را کاهش داده است. با این حال، این اقدامات در شرایط اورژانسی و به ویژه در شرایط شدید بیماری، می‌تواند مشکل ساز باشد و با عوارض طولانی مدت همراه می‌باشد (۱۳). پیشرفت‌ها در تحقیقات صورت گرفته بر روی پاتوفیزیولوژی بیماری زخم پیتیک، منجر به تغییراتی در درمان جراحی بیماری زخم پیتیک پرفوره شده است. با معرفی مهارکننده‌های پمپ پروتون، یک پروسیجر بستن ساده‌ی زخم برای بیماری زخم پیتیک، مقولیت گستره‌ای را کسب کرده است و می‌تواند به صورت لایپاراسکوپی نیز صورت بگیرد (۱۴ و ۱۵). با این حال، این عمل با میزان عود بالایی زخم و عوارضی همچون پرفوراسیون مجدد، خونریزی یا تنگی همراه می‌باشد (۱۶). نتایج تحقیقات اخیر نشان داده‌اند که هلیکوباتر پیلوئی یک نقش مهم در پاتوژنر بیماری زخم پیتیک بازی می‌کند. این باکری به عنوان یک پاتوژن فرصت طلب به وسیله‌ی تغییرات در مخاط معدی که بوسیله‌ی التهاب و زخم ایجاد شده است، تحریک می‌شود (۱۷). درمان مناسب آنتی-

Fisher Exact test گروه کنترل IgM مثبت بودند. با آزمون آماری تفاوت معنی‌دار بین دو گروه مطالعه و کنترل وجود داشت ($P=0.02$) (جدول ۱). پنجاه و پنجم نفر (۵۸/۸٪) از بیماران گروه مورد و ۴۱ نفر (۵۱/۳٪) از گروه کنترل IgG مثبت بودند. آزمون آماری Fisher Exact test تفاوت معنی‌داری بین هلیکوباکتر پیلوئی مثبت IgG بین دو گروه مطالعه و کنترل را نشان داد ($P=0.01$) (جدول ۲). نتایج پاتولوژی هلیکوباکتر پیلوئی در ۴۸ نفر (۸۲/۵٪) از بیماران گروه مورد مثبت بود و در گروه کنترل ۴۸ نفر (۶۰٪) نتایج پاتولوژی هلیکوباکتر پیلوئی مثبت داشتند. آزمون آماری Fisher Exact test تفاوت معنی‌داری را بین پاتولوژی هلیکوباکتر پیلوئی مثبت دو گروه مطالعه و کنترل نشان داد ($P=0.01$) (نمودار ۱). از ۸۰ بیمار گروه مورد محل زخم پیتیک در ۵۹ نفر (۶۲/۵٪) پره پیلوئیک، در ۱۶ نفر (۲۰٪) بادی معده و در ۵ نفر (۶٪) دئونوم بود. بیماری زمینه‌ای و نکروز در هیچ کدام از بیماران گروه مورد و گروه کنترل وجود نداشت.

چک لیست محقق ساخته شده گردید و سپس داده‌ها وارد نرم افزار SPSS-21 شده و مورد تجزیه و تحلیل آماری قرار گرفتند.

یافته‌ها

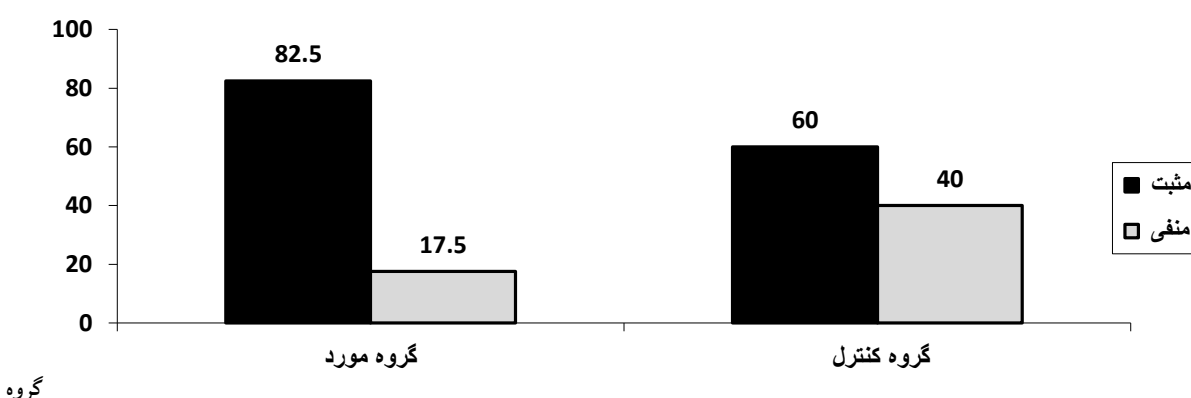
در این مطالعه مقطعی، تعداد ۸۰ بیمار مبتلا به زخم پیتیک پروفوره که در مرکز پزشکی امام خمینی (ره) ارومیه در سال ۱۳۹۵ و ۱۳۹۶ تحت جراحی قرار گرفتند و ۸۰ فرد کنترل که به دلیل زخم پیتیک غیر عارضه‌دار تحت آندوسکوپی قرار گرفتند، وارد مطالعه شدند. از ۸۰ بیمار گروه مطالعه ۵۱ نفر (۶۳/۸٪) مذکور و ۲۹ نفر (۳۶/۲٪) موئیت بودند. از ۸۰ بیمار گروه کنترل ۴۲ نفر (۵۲/۵٪) مذکور و ۳۸ نفر (۴۷/۵٪) موئیت بودند. مطابق با آزمون آماری Chi-square تفاوت معنی‌داری بین جنس بیماران دو گروه تحت مطالعه وجود نداشت ($P=0.149$). میانگین سن در گروه ۴۷/۷۵ ± ۱۲/۸۹ سال و در گروه کنترل ۵۱/۸۳ ± ۱۷/۹۴ سال بود. مطابق با آزمون T-test تفاوت معنی‌داری بین میانگین سن دو گروه مورد مطالعه وجود نداشت ($P=0.01$). پنجاه و یک نفر (۶۳/۸٪) از بیماران گروه مورد و ۳۸ نفر (۴۷/۵٪) از بیماران

جدول ۱: توزیع فراوانی مطلق و نسبی IgM ضد هلیکوباکتر پیلوئی در دو گروه تحت مطالعه

جمع کل	هلیکوباکتر پیلوئی		گروه مطالعه
	منفی	مثبت	
(٪۱۰۰) ۸۰	(٪۳۶/۲) ۲۹	(٪۵۳/۸) ۵۱	گروه مورد
(٪۱۰۰) ۸۰	(٪۵۲/۵) ۴۲	(٪۴۷/۵) ۳۸	گروه کنترل
(٪۱۰۰) ۱۶۰	(٪۴۴/۴) ۷۱	(٪۵۵/۶) ۸۹	جمع کل

جدول ۲: توزیع فراوانی مطلق و نسبی IgG ضد هلیکوباکتر پیلوئی در دو گروه تحت مطالعه

جمع کل	هلیکوباکتر پیلوئی		گروه مطالعه
	منفی	مثبت	
(٪۱۰۰) ۸۰	(٪۲۳/۱) ۲۵	(٪۶۸/۸) ۵۵	گروه مورد
(٪۱۰۰) ۸۰	(٪۴۸/۷) ۳۹	(٪۵۱/۳) ۴۱	گروه کنترل
(٪۱۰۰) ۱۶۰	(٪۴۰) ۶۴	(٪۶۰) ۹۶	جمع کل



نمودار ۱: توزیع فراوانی نسبی عفونت هلیکوباکتر پیلوئی به روش پاتولوژی در دو گروه تحت مطالعه



نمودار ۲: توزیع فراوانی نسبی محل زخم پیتیک در گروه مورد

بحث

آزمایشگاه ارسال شد و با انجام رنگ‌آمیزی از نظر هلیکوباتر پیلوئی بررسی شد. نتایج بدست آمده از نظر پاتولوژی هلیکوباتر پیلوئی تفاوت معنی داری بین بیماران مبتلا به زخم پیتیک پرفوره و بیماران بدون عارضه زخم پیتیک را نشان داد به طوری که در گروه کترول $17/5\%$ تست هلیکوباتر پیلوئی منفی بود، ولی 40% از بیماران گروه مورد از نظر تست هلیکوباتر پیلوئی منفی بودند. همچنین، یک نمونه‌ی خون جهت بررسی از نظر ایمنونگلوبولین های ضد هلیکوباتر پیلوئی از بیماران IgM، IgG اندازه‌گیری شد که مقادیر $IgM \geq 1.1$ و $IgG \geq 10$ مثبت در نظر گرفته شد. از بیماران گروه شاهد نیز که به دلیل زخم پیتیک غیر عارضه دار تحت آندوسکوپی قرار گرفتند یک نمونه‌ی خون برای بررسی از نظر ایمنونگلوبولین های ضد هلیکوباتر پیلوئی اخذ شد. گروه کترول دارای تست IgM مثبت بودند ($P=0/02$). یافته‌های مطالعه‌ی ما از نظر IgG ضد هلیکوباتر پیلوئی نشان داد که $68/8\%$ از بیماران مبتلا به زخم پیتیک پرفوره و $51/3\%$ از بیماران گروه کترول دارای تست IgG مثبت بودند ($P=0/01$ ، لذا هر دو آندوسکوپی ایمنونگلوبولین تست شده در دو گروه مورد و کترول دارای تفاوت معنی دار آماری هستند. در مطالعه‌ای که توسط Enders و همکاران با هدف ریشه کن کردن هلیکوباتر پیلوئی و کاهش خطر عود زخم پس از بستن ساده زخم دئودنال پرفوره انجام شد، در آندوسکوپی اولیه تفاوت معنی داری از نظر بهبودی زخم بین دو گروه از بیمارانی که تحت درمان ضد هلیکوباتر پیلوئی با بیمارانی که امپرازوول دریافت نمودند وجود نداشت. پس از یکسال، میزان عود زخم به طور معنی داری در بیماران درمان شده با درمان ضد هلیکوباتر پیلوئی به طوری معنی داری کمتر از بیمارانی که تحت درمان امپرازوول قرار گرفتند بود (۲۱). Enders و همکاران نتیجه‌گیری نمودند که ریشه کن کردن هلیکوباتر پیلوئی از عود زخم در بیماران با زخم‌های دئودنال پرفوره مرتبط با هلیکوباتر پیلوئی پیشگیری می‌کند. این یافته‌ها با نتایج مطالعه‌ما که بستن زخم پرفوره منجر به کاهش گرفتاری با هلیکوباتر

این مطالعه مقطوعی با هدف بررسی ارتباط بین عفونت هلیکوباتر پیلوئی و زخم پیتیک پرفوره در بیماران جراحی شده در سال ۱۳۹۵ و ۱۳۹۶ در بیمارستان امام خمینی (ره) ارومیه انجام شد. همسان بودن بیماران در هر دو گروه تحت مطالعه مانع از اثر مخلوشگر جنس و سن بیماران در نتایج این مطالعه گردید. پرفوراسیون زخم پیتیک معمولاً یک اختلال در بیماران جوانتر (به طور غالب در مردان) می‌باشد، اما اخیراً سن بیماران با زخم پیتیک پرفوره (غالباً در زنان) در حال افزایش می‌باشد (۴-۱۰). نیاز به جراحی برای زخم پیتیک پرفوره ثابت باقی مانده یا حتی افزایش پیدا کرده است و مورتالیته‌ی جراحی زخم پیتیک از زمان معرفی آنتاگونیستهای گیرنده‌ی H_2 کاهش نیافته است و زخم‌های پیتیک هنوز مسئول حدود ۲۰۰۰۰ تا ۳۰۰۰۰ مرگ در سال در اروپا هستند (۸-۱۱).

هلیکوباتر پیلوئی می‌تواند در محیط نامساعد معده زندگی نماید و آنزیم‌ها و سموم زیادی تولید می‌کند که یکی از این مواد پروتئازی است که موکوس معده را تغییر داده و توانایی اسید را برای انتشار بیشتر در موکوس کاهش می‌دهد، همچنین یک آنزیم اوره از قوی ترشح می‌کند که با تجزیه‌ی اوره باعث تولید آمونیاک شده و موجب بافری کردن بیشتر اسید معده می‌گرد (۶ و ۷).

عفونت ناشی از هلیکوباتر پیلوئی در ۹۵ درصد از بیماران مبتلا به زخم دوازدهه و در ۸۰ درصد از بیماران مبتلا به زخم معده دیده شده است و افراد مبتلا به هلیکوباتر پیلوئی حداقل چهار برابر سایر افراد در معرض زخم‌های گوارشی هستند. نتایج مطالعه‌ما نشان داد بیشترین درصد محل زخم پیتیک در پرہ پیلوئیک ($83/8\%$)، سپس در بادی معده (20%) و با کمترین درصد ($3/1\%$) در دئودنوم بود. بیشترین درصد مبتلایان به زخم پیتیک پرفوره در مطالعه‌ما مردان بودند و بیماران مبتلا در محدوده سنی ۵۱ سال قرار داشتند. در این مطالعه بیماران گروه مورد بوسیله یک جراح با تجربه تحت لایه‌اتومی قرار گرفته و زخم پیتیک پرفوره به وسیله‌ی بستن ساده همراه با پیچ امتدام ترمیم شد. در حین عمل یک نمونه‌ی بیوپسی از جدار معده اخذ شد و به

که بستن زخم پرفوره در بیماران مبتلا به هلیکوباکتر پیلوری می-تواند درمان مناسبی برای این بیماران باشد همسو می باشد.

نتیجه‌گیری

نتایج این مطالعه بیانگر ارتباط قوی بین عفونت هلیکوباکتر پیلوری و زخم پیتیک پرفوره بود و با توجه به نتایج این مطالعه می‌توان گفت بستن زخم پرفوره و ریشه کردن نمودن هلیکوباکتر پیلوری می‌تواند قدم اول درمانی برای بیماران مبتلا به زخم پیتیک پرفوره باشد و مانع از عود مجدد بیماری می‌گردد. البته با توجه به این که تعداد نمونه‌های ما در این بررسی کم بود، توصیه می‌شود این مطالعه با تعداد نمونه‌های بیشتر و نیز پیگیری بیماران بعد از درمان و بستن زخم پرفوره انجام گردد تا بتوان بهترین شیوه درمانی به عنوان درمان انتخابی زخم پیتیک پرفوره را به کار گرفت.

قدرتانی

از کلیه‌ی بیماران محترم که در این مطالعه شرکت نمودند و از پرسنل پرتالاش ازمایشگاه‌های بیمارستان امام خمینی (ره) ارومیه که در انجام آزمایش‌های سرولوزیک و پاتولوژی همکاری نمودند- صمیمانه تشکر و قدردانی می‌گردد. این مقاله مستخرج از پایاننامه‌ی تخصصی مهندسی نهائی بشماره پایاننامه‌ی ۲۸۸۷-۶۳-۰۹-۹۶ می‌باشد.

ملاحظات اخلاقی

بروتکل این مطالعه در کمیته‌ی اخلاق در پژوهش دانشگاه علوم پزشکی ارومیه، استان آذربایجان غربی به شماره‌ی مرجع IR.umsu. rec.1396.113 به تایید رسیده است.

منابع مالی

منابع مالی ندارد.

منافع متقابل

نویسنده‌گان این مقاله اظهار می‌دارند که منافع متقابلی از تالیف یا انتشار این مقاله وجود ندارد.

مشارکت مولفان

م ن، ش پ و همکاران طراحی، اجرا و تحلیل نتایج مطالعه را به عهده داشته، مقاله را تالیف نموده و نسخه‌ی نهایی آن را خوانده و تایید کرده اند.

پیلوری در بیماران با زخم پیتیک پرفوره گردید، تطابق دارد. Wong و همکاران بدنبال مطالعه‌ی متآنالیزی که شامل پنج کارآزمایی تصادفی کترول شده و ۴۰۱ بیمار بود، شیوع بالا از عفونت هلیکوباکترپیلوری در بیماران با زخم پیتیک پرفوره را گزارش نمودند. میزان ریشه کنی هلیکوباکترپیلوری به طور معنی-داری در گروه درمان نسبت به گروهی که درمان برای آنها صورت نگرفته بود، بالاتر بود. در نهایت این گونه نتیجه‌گیری نمودند که درمان ریشه کنی می‌باشد در بیماران با عفونت هلیکوباکتر پیلوری پس از بستن ساده‌ی زخم‌های معده‌ای-دوازده‌ماهی پرفوره، تامین گردد (۱) که با نتایج مطالعه‌ی ما مبنی بر شیوع بالا عفونت هلیکوباکتر پیلوری در بیماران با زخم پیتیک پرفوره همسو می‌باشد و همچنین با نتایج مطالعه‌ی ما که بعد از بستن زخم و ارسال نمونه به آزمایشگاه شاهد کاهش عفونت هلیکوباکتر پیلوری در بیماران مبتلا به زخم پیتیک پرفوره بودیم. بنابراین نتایج مطالعه‌ی ما نیز نشان می‌دهد بستن زخم و سپس درمان جهت ریشه‌کنی هلیکوباکتر پیلوری در زخم‌های معده، دئودنوم و غیره می‌تواند عود زخم در بیماران را کاهش دهد. Tokunaga و همکاران در مطالعه خود نشان دادند زخم پرفوره به طور معنی‌داری با عفونت هلیکوباکترپیلوری و تغییرات گاستریتی شدیدتر نسبت به زخم‌های هموراژیک و پرفوره، همراه بود (۲۲). این پژوهشگران در نهایت این‌گونه نتیجه‌گیری کردند که بیماران با زخم پرفوره در زمان جراحی، در مقایسه با زخم‌های استنتوتیک و هموراژیک به صورت شدیدتری مبتلا به عفونت هلیکوباکترپیلوری بودند. یک ارتباط نزدیک بین زخم پرفوره و دانسته‌ی عفونت هلیکوباکتر پیلوری که به صورت نیمه کمی با استفاده از رنگ‌آمیزی ایمونو‌هیستوشیمیابی تعیین شده بود، مشاهده شد. این نتایج با یافته‌های مطالعه‌ی ما در مقایسه با بروز عفونت هلیکوباکتر پیلوری در بیماران با زخم پرفوره که در مقایسه با گروه کترول بشرطین درصد را داشت همسو می‌باشد و نشان می‌دهد بستن اولیه زخم و ریشه کن نمودن عفونت هلیکوباکتر پیلوری می‌تواند مانع از عود زخم گردد (۲۳ و ۲۴). Tomitchong و همکاران در مطالعه مروری که درصد تعیین میزان کارایی ریشه‌کن ساختن هلیکوباکترپیلوری پس از بستن ساده‌ی زخم پیتیک پرفوره در بهبودی این بیماری انجام دادند، نتیجه‌گیری کردند که ریشه‌کن ساختن هلیکوباکترپیلوری پس از بستن ساده‌ی زخم دئودنال پرفوره، نتیجه‌ی بهتری از جراحی به همراه درمان ضدترشحی بدون ریشه-کن ساختن هلیکوباکترپیلوری در پیشگیری از عود زخم، به همراه دارد. تمامی بیماران زخم پیتیک پرفوره، می‌باشد از نظر عفونت هلیکوباکترپیلوری بررسی شوند و درمان ریشه‌کن سازی در تمامی بیماران مبتلا، ضروری می‌باشد (۲۵). این یافته‌ها با نتایج مطالعه‌ی ما

References

1. Wong C S, Chia C F, Lee H, Wei PL, Ma H P, Tsai SH, et al. Eradication of *Helicobacter pylori* for prevention of ulcer recurrence after simple closure of perforated peptic ulcer: a meta-analysis of randomized controlled trials. *Journal of Surgical Research* 2013; **182**(2): 219-226. doi: 10.1016/j.jss.2012.10.046.
2. Druart M, Van Hee R, Etienne J, Cadiere G, Gigot J, Legrand M, et al. Laparoscopic repair of perforated duodenal ulcer. *Surgical Endoscopy* 1997; **11**(10): 1017-1020. doi: 10.1007/s004649900515.
3. Harbison S P, Dempsey D T. Peptic ulcer disease. *Current Problems in Surgery* 2005; **42**(6): 346-454. doi: 10.1067/j.cpsurg.2005.02.005.
4. Lunevicius R, Morkevicius M. Management strategies early results benefits and risk factors of laparoscopic repair of perforated peptic ulcer. *World Journal of Surgery* 2005; **29**(10): 1299-1310. doi: 10.1007/s00268-005-7705-4.
5. Nusree R. Conservative management of perforated peptic ulcer. *Thai J Surg* 2005; **26**: 5-8.
6. Ramakrishnan K, Salinas RC. Peptic ulcer disease. *Am Fam Physician* 2007; **76**(7): 1005-1012.
7. Sarosi G A, Jaiswal K R, Nwariaku F E, Asolati M, Fleming JB, Anthony T. Surgical therapy of peptic ulcers in the 21st century: more common than you think. *The American Journal of Surgery* 2005; **190**(5): 775-779. doi: 10.1007/s004230050250.
8. Zittel T, Jehle E, Becker H. Surgical management of peptic ulcer disease today—indication technique and outcome. *Langenbecks Archives of Surgery* 2000; **385**(2): 84-96. doi: 10.1007/s004230050250.
9. Sivri B. Trends in peptic ulcer pharmacotherapy. *Fundamental & Clinical Pharmacology* 2004; **18**(1): 23-31. doi: 10.1111/j.1472-8206.2004.00203.x.
10. Imhof M, Epstein S, Ohmann C, Röher H D. Duration of survival after peptic ulcer perforation. *World Journal of Surgery* 2008; **32**(3): 408-412. doi: 10.1007/s00268-007-9370-2.
11. Bucher PAR, Oulhaci W, Morel P, Ris F, Huber O. Results of conservative treatment for perforated gastroduodenal ulcers in patients not eligible for surgical repair. *Swiss Medical Weekly* 2007; **137**(23-24): 337-340.
12. Lagoo S, McMahon R L, Kakihara M, Pappas T N, Eubanks S. The sixth decision regarding perforated duodenal ulcer. *Journal-Society of Laparoendoscopic Surgeons* 2002; **6**(4): 359-368.
13. Tsugawa K, Koyanagi N, Hashizume M, Tomikawa M, Akahoshi K, Ayukawa K, et al. The therapeutic strategies in performing emergency surgery for gastroduodenal ulcer perforation in 130 patients over 70 years of age. *Hepato-Gastroenterology* 2000; **48**(37): 156-162.
14. Siu W T, Leong H T, Law B K, Chau C H, Li A C, Fung K H, et al. Laparoscopic repair for perforated peptic ulcer: a randomized controlled trial. *Annals of Surgery* 2002; **235**(3): 313-319. doi: 10.1097/00000658-200203000-00001.
15. Lo H C, Wu S C, Huang H C, Yeh C C, Huang J C, Hsieh CH. Laparoscopic simple closure alone is adequate for low risk patients with perforated peptic ulcer. *World Journal of Surgery* 2011; **35**(8): 1873-1888. doi: 10.1007/s00268-011-1106-7.
16. Bornman P, Theodorou N, Jeffery P, Marks I, Essel H, Wright J, et al. Simple closure of perforated duodenal ulcer: a prospective evaluation of a conservative management policy. *British Journal of Surgery* 1990; **77**(1): 73-75. doi: 10.1002/bjs.1800770126.
17. Mihmanli M, Isgor A, Kabukcuoglu F, Turkay B, Cikla B, Baykan A. The effect of *H. pylori* in perforation of duodenal ulcer. *Hepato-Gastroenterology* 1997; **45**(23): 1610-1612.
18. Graham DY. Treatment of peptic ulcers caused by *Helicobacter pylori*. *The New England Journal of Medicine* 1993; **328**: 349-350. doi: 10.1056/nejm199302043280512.
19. Reinbach D, Cruickshank G, McColl K. Acute perforated duodenal ulcer is not associated with *Helicobacter pylori* infection. *Gut* 1993; **34**(10): 1344-1347. doi: 10.1136/gut.34.10.1344.
20. Matsukura N, Onda M, Tokunaga A, Kato S, Yoshiyuki ,T Hasegawa H, et al. Role of *Helicobacter pylori* infection in perforation of peptic ulcer: an age-and gender-matched case-control study. *Journal of Clinical Gastroenterology* 1997; **25**: S235-S239. doi: 10.1097/00004836-199700001-00037.
21. Ng E K, Lam Y, Sung J J, Yung M, To K, Chan AC, et al. Eradication of : Randomized Controlled Trial Helicobacter pylori: Randomized Controlled Trial Prevents Recurrence of Ulcer After Simple Closure of Duodenal Ulcer Perforation: Randomized Controlled Trial. *Annals of Surgery* 2000; **231**(2): 153-158. doi: 10.1097/00000658-200002000-00001.
22. Tokunaga Y, Hata K, Ryo J, Kitaoka A, Tokuka A, Ohsumi K. Density of *Helicobacter pylori* infection in patients with peptic ulcer perforation. *Journal of the American College of Surgeons* 1998; **186**(6): 659-663. doi: 10.1016/s1072-7515(98)00128-8.
23. Huang J Q, Sridhar S, Hunt R H. Role of *Helicobacter pylori* infection and non-steroidal anti-inflammatory drugs in peptic-ulcer disease: a meta-analysis. *The Lancet* 2002; **359**(9300): 14-22. doi: 10.1016/s0140-6736(02)07273-2.
24. Ootani H, Iwakiri R, Shimoda R, Nakahara S, Amemori S, Fujise T, et al. Role of *Helicobacter pylori* infection and nonsteroidal anti-inflammatory drug use in bleeding peptic ulcers in Japan. *Journal of Gastroenterology* 2006; **41**(1): 41-46. doi: 10.1007/s00535-005-1720-y.
25. Tomtitchong P, Siribumrungwong B, Vilaichone R, Kasetswan P, Matsukura N, Chaiyakunapruk N. Systematic review and meta-analysis: *Helicobacter pylori* eradication therapy after simple closure of perforated duodenal ulcer. *Helicobacter* 2012; **17**(2): 148-152. doi: 10.1111/j.1523-5378.2011.00928.x.

Original Article

Effect of 8 weeks endurance training with Chlorella Vulgaris supplementation on liver enzymes levels in women with type 2 diabetes

Javad Vakili^{*} , Ramin Amir Sasan , Fatemeh Ordibazar 

Department of Exercise Physiology, School of Physical Education, University of Tabriz, Tabriz, Iran.

*Corresponding author; E-mail: vakili.tu@gmail.com

Received: 31 December 2016 Accepted: 9 March 2017 First Published online: 17 January 2019

Med J Tabriz Uni Med Sciences Health Services. 2019 February-March; 40(6):88-97

Abstract

Background: Considering the increased rate of obesity and diabetes and their relationship with liver disease this research was performed to determine the effect of eight weeks endurance training with chlorella supplementation on serum levels of liver enzymes in type 2 diabetic middle aged women.

Methods: In this semi experimental research, 40 non-athletic type 2 diabetic women (45-65 years old) with BMI greater than 25 were voluntarily divided into four groups: control, chlorella supplementation, endurance training and endurance training with chlorella. Training group performed walking and running three sessions a week for eight weeks, with an intensity of 65%-85% of maximum heart rate for 25 to 40 minutes. Chlorella group consumed chlorella capsule at a dose of 600 mg two times a day. 24 hours before and 48 hours after training, 5cc blood samples were taken from the brachial vein in the fasting state to measure liver enzymes including: Alanine transaminase (ALT), Aspartate transaminase (AST), and Alkaline phosphatase. One-Way ANOVA test was used to evaluate the effectiveness of the exercise protocol. All statistical test were performed considering $p<0.05$ meaningful.

Results: There was a significant difference among control and chlorella group after 8 weeks training on the enzymes AST and ALP: (respectively $p=0.004$, $p=0.006$) .Also variations of enzym ALT in chlorella and endurance training+chlorella groups had a meaningful difference with control group (respectively $p=0.022$, $p=0.027$).

Conclusion: The chlorella supplementation decreases liver enzyme levels in type 2 diabetic patients and can be helpful in treating of fatty liver type 2 diabetic subjects.

Keyword: Aerobic Exercise, Diabetic, Dietary Supplement, Elevated Liver Enzymes.

How to cite this article: Vakili J, Amir Sasan R, Ordibazar F. [Effect of 8 weeks endurance training with Chlorella Vulgaris supplementation on liver enzymes levels in women with type 2 diabetes]. Med J Tabriz Uni Med Sciences Health Services. 2019 February-March;40(6):88-97. Persian.

مقاله پژوهشی

اثر هشت هفته تمرین استقامتی همراه با مکمل دهی کلرلا بر مقادیر آنزیمهای کبدی در زنان میانسال دیابتی نوع دو

جواد وکیلی^{*}, رامین امیرسازان^{ID}, فاطمه اردی بازار^{ID}

گروه فیزیولوژی ورزشی، دانشکده تربیت بدنی، دانشگاه تبریز، تبریز، ایران.
نویسنده مسؤول؛ ایمیل: vakili.tu@gmail.com

دریافت: ۱۳۹۵/۱۲/۱۴ پذیرش: ۱۳۹۶/۳/۱۱ انتشار پرخط: ۱۳۹۷/۱۰/۲۷
مجله پزشکی دانشگاه علوم پزشکی و خدمات بهداشتی - درمانی تبریز. بهمن و اسفند ۱۳۹۷؛ (۴۰): ۸۷-۹۷

چکیده

زمینه: با توجه به شیوع چاقی و دیابت و ارتباط آنها با بیماری کبدی پژوهش حاضر با هدف تعیین تأثیر هشت هفته تمرین استقامتی همراه با مکمل دهی کلرلا بر مقادیر سرمی آنزیمهای کبدی در زنان میانسال دیابتی نوع دو انجام شد.

روش کار: در این پژوهش نیمه تجربی ۴۰ زن غیرفعال دیابتی نوع دو در دامنه سنی ۴۵-۶۵ سال با شاخص توده بدنی بیشتر از ۲۵ بصورت داوطلبانه انتخاب شده و در یکی از چهار گروه ۱۰ نفره کترل، مصرف کلرلا، تمرین استقامتی و مصرف کلرلا و تمرین استقامتی قرار گرفتند. تمرینات استقامتی سه جلسه در هفته به مدت هشت هفته با شدت ۶۵ تا ۸۵ درصد ضربان قلب بیشینه و مدت ۲۵ تا ۴۰ دقیقه اجرا شد. مکمل کلرلا نیز روزانه به میزان ۶۰۰ میلی گرم در دو وعده غذایی بصورت قرص مصرف شد. در ابتدا و ۴۸ ساعت بعد از آخرین جلسه تمرینی نمونه‌گیری خون در حالت ناشتا به میزان ۵ سی سی از ورید بازویی به منظور اندازه‌گیری مقادیر آنزیمهای کبدی شامل آلانین ترانس آمیناز (ALT)، آسپارتات ترانس آمیناز (AST) و آنکالین فسفاتاز (ALP) انجام شد. از آزمون تحیلی واریانس یک راهه (ANOVA) به منظور بررسی و تعیین اثربخشی پروتکل تمرینی استفاده شد. کلیه آزمون‌های آماری در سطح معناداری P<0.05 انجام شد.

یافته‌ها: نتایج تحقیق نشان داد که تفاوت معناداری در آنزیمهای AST ($P=0.007$)، ALT ($P=0.011$) و ALP ($P=0.009$) در ۴ گروه مشاهده شد. و این تفاوت در آنزیمهای AST و ALP بین گروه کترل و گروه مصرف کلرلا (به ترتیب $P=0.004$ و $P=0.006$) و در آنزیم ALT در گروه‌های مصرف مکمل و تمرین استقامتی+صرف مکمل با گروه کترل معنی دار بود (به ترتیب $P=0.002$ و $P=0.027$). ($P=0.027$).

نتیجه گیری: استفاده از مکمل کلرلا می‌تواند در کاهش شاخص‌های آسیب کبدی مؤثر بوده و احتمالاً در درمان بیماران دیابتی مبتلا به کبد چرب تأثیرگذار باشد.

کلید واژه‌ها: فعالیت ورزشی هوایی، دیابت، مکمل غذایی، افزایش آنزیمهای کبدی

نحوه استناد به این مقاله: وکیلی ج, امیرسازان ر, اردی بازار اثر هشت هفته تمرین استقامتی همراه با مکمل دهی کلرلا بر مقادیر آنزیمهای کبدی در زنان میانسال دیابتی نوع دو. مجله پزشکی دانشگاه علوم پزشکی و خدمات بهداشتی - درمانی تبریز. ۱۳۹۷؛ (۴۰): ۸۷-۹۷

حق تألیف برای مؤلفان محفوظ است.

این مقاله با دسترسی آزاد توسط دانشگاه علوم پزشکی و خدمات بهداشتی - درمانی تبریز تحت مجوز کریپتو کامنز () منتشر شده که طبق مفاد آن هرگونه استفاده تنها در صورتی مجاز است که به اثر اصلی به نحو مقتضی استناد و ارجاع داده شده باشد.

مقدمه

غنى آنتى اكسيدانهایی هم چون لوتین، آلفا و بتا کاروتون، اسید آسکوربیک و توکوفرول است که توانایی جاروب کردن رادیکالهای آزاد را دارند (۷). با این حال، این مکمل در مطالعات ورزشی کمتر بررسی شده است. احتمالاً تمرین هوایی همراه با مصرف مکمل کلرلا با کاهش آمینو ترانسفرازهای سرم، تأثیر بهتری بر پیشگیری، کترول و درمان دیابت و بیماری‌های کبدی خواهد داشت. متحصصان عقیله دارند که رژیم غذایی به تنها یکی در درمان چاقی و متابولیسم چربی‌های خون کافی نیستند، بلکه فعالیتهای بدنی نیز باید به برنامه روزانه اضافه شود. در این میان تمرینات هوایی به عنوان جزء ضروری در درمان چاقی و افزایش آنزیم‌های اکسیداسیون، به کاهش بافت چربی و کاهش عوامل التهابی منجر می‌شود (۸).

اثر تمرینات بدنی بر آنزیم‌های کبدی در همه مطالعات یکسان نبوده است. در تحقیقی گزارش شده است که ۸ هفته تمرین هوایی منظم سطح آنزیم‌های AST و ALT را کاهش می‌دهد (۹). با این حال در مطالعه‌ای دیگر با ۸ هفته تمرین شنا با شدت ۶۵ تا ۸۵ درصد ضربان قلب بیشینه تغییری در آنزیم‌های کبدی (AST و ALT) زنان جوان گزارش نشد (۱۰). حتی در مطالعه‌ای دیگر، تمرین عضلانی باعث افزایش نسبت AST/ALT شده بود (۱۱). همانطور که از نتایج تحقیقات فوق مشاهده می‌شود درباره اثر تمرینات ورزشی بر مقادیر آنزیم‌های کبدی نتایج متناقضی ارائه شده است. همچنین با بررسی‌های انجام شده درباره اثر مکمل دهی کلرلا و تمرینات هوایی بر آنزیم‌های کبدی و مقادیر چربی‌های خون، تحقیقی در این زمینه مشاهده نشده است و در محدود تحقیقات انجام شده تنها به بررسی اثر مکمل کلرلا بر مقادیر آنزیم‌های کبدی و عوامل خطرزای قلبی-عروقی اشاره شده است. Panahi و همکاران (۲۰۱۲) در مطالعه‌ای روی بیماران مبتلا به بیماری کبد چرب غیرالکلی کاهش مقادیر تری‌گلیسیرید، AST و ALT سرمی را بدنبال مصرف مکمل کلرلا و لگاریس (۱۲۰۰ میلی‌گرم) به مدت سه ماه گزارش کردند (۱۲). در مطالعه‌ای دیگر Ebrahimi و همکاران با بررسی روی بیماران مبتلا به کبد چرب غیرالکلی به این نتیجه رسیدند که کاهش وزن ناشی از مکمل دهی کلرلا و لگاریس (۱۲۰۰ میلی‌گرم) به مدت دو ماه در بهبود سطوح آنزیم‌های کبدی دخیل می‌باشد (۱۳).

با این تفاسیر و تناقض یا کمبود تحقیقات موجود در زمینه تأثیر مکمل دهی کلرلا و تمرینات ورزشی بر آنزیم‌های کبدی و همچنین با اشاره به این موضوع که در اکثر پژوهش‌های آسیب‌های کبدی از آزمودنی‌های حیوانی و یا مردان استفاده شده است، این تحقیق بر آن است تا تأثیر یک دوره هشت هفته‌ای فعالیت ورزشی و مکمل دهی کلرلا را بر برخی شاخص‌های کبدی

یکی از پیامدهای پیشرفت تکنولوژی کاهش فعالیت بدنی است. افراد کم تحرک مستعد ابتلا به بیماری‌های قلبی-عروقی و اختلالات قند خون هستند. براساس مطالعات صورت گرفته افزایش چربی در بدن که معمولاً با چاقی شکمی در افراد کم تحرک همراه است می‌تواند زمینه‌ساز بیماری‌هایی همچون کبد چرب شود. این بیماری با برخی بیماری‌های متابولیک ارتباط نزدیک دارد که یکی از مهم‌ترین آن‌ها دیابت می‌باشد (۱). نتایج تحقیقات نشاده داده است که مقاومت به انسولین که زمینه ساز بروز دیابت نوع ۲ محسوب می‌شود سبب تجمع چربی در سلولهای کبدی می‌شود. دیابت به طور یقین یک تهدید جدی برای سلامتی بشر در قرن ۲۱ به شمار می‌رود و به خاطر شیوع سریع آن در دو دهه اخیر توجه زیادی را به خود معطوف کرده است (۲).

بهترین ارزیابی بالینی کبد از طریق بررسی تغییرات فعالیت آنزیم‌های کبدی به ویژه آلانین آمینو ترانسفراز (ALT)، آلکالین فسفاتاز (ALP) و آسپارتات آمینو ترانسفراز (AST) می‌باشد. ALT و AST آنزیم‌هایی هستند که به ترتیب انتقال گروه آمینی از آسپارتات و آلانین به آلفاکتوگلوتاترات را کاتالیز می‌کنند. بیماری‌های کبدی مهمترین عامل افزایش فعالیت ترانس آمیناز در سرم هستند. در بیشتر بیماری‌ها، ALT بیشتر از AST است. افزایش فعالیت ALT برای مدت طولانی‌تری نسبت به افزایش فعالیت AST پایدار می‌ماند. لذا از نسبت AST/ALT در تشخیص افتراقی بیماری‌های کبدی استفاده می‌شود (۳). رویکردهای متعدد هم چون رژیم غذایی، ورزش، عمل جراحی و دارو درمانی جهت درمان دیابت و عوارض دراز مدت آن نظیر بیماری‌های کبدی استفاده می‌شوند؛ در این میان، به دلیل پرهزینه بودن داروهای شیمیایی و عوارض دراز مدت آن، رویکردهای تغذیه‌ای و فعالیت ورزشی از گرینه‌های درمانی مطلوب مطرح می‌شوند (۴). فعالیت فیزیکی منظم، مهمترین عامل در کترول و پیشگیری از ابتلا به دیابت نوع ۲ می‌باشد که با کاهش وزن و افزایش مصرف روزانه انرژی موجب کاهش مقاومت انسولین و افزایش تحمل گلوکز می‌شود. همچنین غذاهای فراویژه به دلیل دارا بودن اثرات سودمند بر التهاب، مقاومت به انسولین، چاقی و استرس اکسایشی توجه زیادی را به خود جلب کرده‌اند (۵). میکروجلبک‌ها منابع با ارزشی از عوامل پری بیوتیک می‌باشند. کلرلا نوعی جلبک سبز تک سلولی است که منبع خوبی از پروتئین، ویتامین‌های محلول در چربی، کولین، فیبر و مواد معادنی است. کلرلا و لگاریس (Chlorella vulgaris) که ارزش تغذیه‌ای آن بین سال‌های ۱۹۵۰ تا ۱۹۶۰ شناسایی شده به عنوان منبع ارتقاء دهنده سلامتی در انواع اختلالات متعددی همچون اختلالات چربی خون، آترواسکلروز، کاهش قند خون و فشار خون می‌باشد (۶). کلرلا و لگاریس منبع

تصادفی و براساس وزن و درصد چربی در ۴ گروه همگن کترول (رژیم غذایی معمولی بدون انجام تمرین)، تمرین (رژیم غذایی معمولی و انجام تمرینات استقامتی)، مصرف کلرلا (دريافت روزانه ۶۰۰ میلی گرم قرص کلرلا بدون انجام تمرین)، مصرف کلرلا و تمرین (دريافت روزانه ۶۰۰ میلی گرم قرص کلرلا و انجام تمرینات استقامتی) قرار گرفتند. ۴۸ ساعت پس از آخرین جلسه تمرین، آزمودنی‌های هر چهار گروه به صورت ناشتا در آزمایشگاه حضور یافتند تا نمونه خون نهایی از آزمودنی‌ها اخذ شود. خون گیری توسط تکنیسین آزمایشگاهی از سیاه‌رگ میانی دست راست گرفته شد و بلا فاصله جهت تعیین تأثیر متغیرهای مستقل بر متغیرهای وابسته به آزمایشگاه مستقل شد.

برنامه تمرینی

پس از اندازه‌گیری مشخصات توصیفی آزمودنی‌ها، گروههای تمرین و تمرین+کلرلا سه جلسه در هفته به مدت هشت هفته در برنامه تمرینی استقامتی شرکت کردند. این برنامه از تمرینات ساده به مشکل و از شدت کم به شدت بالا و با درنظر گرفتن اصل اضافه بار و افزایش شدت تمرین انجام گردید. برنامه تمرین استقامتی شامل دویند میدانی بود که در هفته اول و دوم، آزمودنی‌ها به مدت ۲۵ دقیقه با شدت ۶۵ درصد ضربان قلب بیشینه (MAXIMUM HEART RATE) فعالیت کردند. در هفته ۳ تا ۶ تمرین به مدت ۳۵ دقیقه با شدت ۶۵ تا ۷۵ درصد و در هفته ۶ تا ۸ به مدت ۴۰ دقیقه با شدت ۷۵ تا ۸۵ درصد ضربان قلب بیشینه انجام شد. کترول شدت تمرین با استفاده از ضربان سنج پلار انجام شد و حداقل ضربان قلب نیز از طریق (سن ۲۲۰-۲۴۰) محاسبه گردید. آزمودنی‌ها قبل از هر جلسه تمرین اصلی، ۱۵ دقیقه به گرم کردن پرداخته و در انتهای هر جلسه نیز ۱۰ دقیقه به انجام حرکات سرد کردن، برای برگشت به حالت اولیه پرداختند.

نحوه مکمل دهی کلرلا

در این پژوهش، مکمل دهی به شکل قرص، روزانه ۶۰۰ میلی گرم در دو وعده غذایی صبح و شب (در هر وعده ۳۰۰ میلی گرم ترجیحاً قبل از غذا) انجام شد. قرص‌های آماده ۳۰۰ میلی گرمی مکمل کلرلا در بسته‌های ۱۰۰ تایی الگومد (ساخت کشور آلمان) بود که از شرکت فردای سبز ایرانیان (وارد کننده انحصاری در ایران) خریداری شده بود. ترکیبات تشکیل دهنده یک گرم کلرلا (۴ عدد قرص کلرلا) در جدول ۱ نشان داده شده است.

اندازه‌گیری متغیرهای وابسته

جهت سنجش قد، وزن و ضخامت چین‌های پوستی آزمودنی‌ها به ترتیب از ترازو و قدسنج SECA ساخت کشور آلمان به ترتیب با دقت ۰/۰۱ سانتی‌متر و ۰/۰۱ کیلوگرم و کالیبر BATY استفاده

در زنان میانسال دیابتی نوع دو مورد بررسی قرار داده و به سؤالات اساسی در این زمینه پاسخ دهد.

روش کار

روش تحقیق حاضر نیمه تجربی می‌باشد. جامعه آماری تحقیق حاضر از زنان میانسال دیابتی نوع دو مرکز بهداشت شادپور تبریز تشکیل شده بود. در ابتدا با هماهنگی با مرکز بهداشت استان و مراجعه به مرکز بهداشت شادپور پرونده و شماره تماس بیماران دیابتی در اختیار محقق قرار گرفت. سپس هماهنگی اولیه برای حضور بیماران در کلینیک و توضیحات درخصوص طرح پژوهشی به عمل آمد و در نهایت از بین داوطلبانی که واجد شرایط شرکت در این تحقیق بودند ۴۰ نفر بصورت تصادفی به عنوان نمونه آماری انتخاب شدند و بصورت تخصیص تصادفی در یکی از ۴ گروه تمرینی قرار گرفتند. معیارهای ورود آزمودنی‌ها در طرح حاضر عبارت بودند از: قرار داشتن در محلوده سنی ۴۵ تا ۶۵ سال، غیر فعال بودن و نداشتن سابقه فعالیت ورزشی منظم در ۶ ماه گذشته، شاخص توده بدنی بالاتر از ۲۵، داشتن حداقل ۵ سال سابقه بیماری دیابت نوع دو، داشتن قند خون ناشتا بیش از ۱۲۰ میلی گرم در دسی لیتر. معیارهای خروج از مطالعه نیز شامل ابتلا به بیماری‌های کلیوی، قلبی-عروقی، پاراتیروئید و گوارشی بود. در ضمن تعداد آزمودنی‌ها در هر گروه با توجه به تحقیقات نیمه تجربی مشابه قبلی ۱۰ نفر در نظر گرفته شد.

در ابتدا اهداف و روش اجرای تحقیق به روشنی برای آزمودنی‌ها توضیح داده شد و از آن‌ها درخواست شد تا با مطالعه دقیق فرم رضایت نامه شرکت در طرح در صورت وجود هرگونه ابهامی سوالات خود را طرح کرده و سپس فرم را امضا کنند. در این فرم به آزمودنی‌ها اطمینان داده شده بود که در هر زمانی بدون ارائه دلایل می‌توانند از ادامه شرکت در طرح کناره‌گیری کنند. همچنین از آزمودنی‌ها خواسته شد پرسشنامه سلامت فردی و سابقه پزشکی را به عنوان وسیله پایش آزمودنی‌ها قبل از شرکت در تحقیق تکمیل نمایند. همه آزمودنی‌ها در طول اجرای تحقیق از مصرف داروهایی از قبیل ایبوپروفن، استامینوفن، آسپیرین و همچنین مصرف الكل، کافئین یا نسکافه در فاصله ۲۴ ساعت قبل از جلسات خون‌گیری منع شدند. همچنین از آزمودنی‌ها خواسته شده بود قبل از جلسات خون‌گیری شام را در ساعت هشت شب صرف کرده و از ساعت ۱۲ شب به بعد چیزی میل نکنند و در حالت ناشتا برای خون‌گیری مراجعه نمایند. آزمودنی‌ها یک هفتنه قبل از شروع پروتکل تمرینی در محل آزمایشگاه حضور یافته و پس از اخذ نمونه خونی اول (۵ میلی لیتر) از ورید انته کوبیتال، در سنجش ویژگی‌های عمومی شامل قد، وزن، شاخص توده بدنی (BMI) و درصد چربی با روش برآورد سه نقطه‌ای جکسون و پولاک شرکت کردند. سپس آزمودنی‌ها به صورت تخصیص

استفاده شد. تجزیه و تحلیل داده‌ها با استفاده از نرم افزار SPSS 21 در سطح معنی داری <0.05 انجام شد.

یافته‌ها

نتایج آزمون کلموگروف اسمرینف حاکی از آن بود که داده‌های جمع‌آوری شده نرمال بوده و منحنی مربوط به این نمونه طبیعی فرض شد ($P > 0.05$). لذا در بخش استنباطی از آزمون‌های پارامتریک برای بررسی تغییرات شاخص‌های مورد نظر استفاده شد. همچنین، آزمون لون نشان داد که در واریانس‌های شاخص‌های مورد بررسی بین گروه‌های مختلف تفاوت معنی داری وجود ندارد. در جدول ۲ مقادیر متغیرهای وابسته تحقیق در ۴ گروه ارائه شده است. نتایج آزمون تحلیل واریانس یک طرفه نشان داد که علی‌رغم کاهش وزن و شاخص توده بدین در گروه‌های تمرینی و مصرف مکمل به لحاظ آماری تفاوت معنی داری در ۴ گروه مشاهده شد ($P < 0.05$). اما بین تغییرات درصد چربی در دو مرحله پیش آزمون و پس آزمون تفاوت معناداری در گروه‌های مختلف مشاهده شد ($P = 0.021$) و درصد چربی در گروه کلرلا در مقایسه با گروه کترول کاهش معنی داری داشت ($P = 0.042$). همچنین نتایج تحقیق نشان داد که بین تغییرات آنزیم AST در دو مرحله پیش آزمون و پس آزمون تفاوت معنی داری در گروه‌های مختلف مشاهده شد ($F = 47.40$ ، $P = 0.007$) و مقدار AST در گروه کلرلا در مقایسه با گروه کترول کاهش معنی داری داشت ($P = 0.004$). در مقادیر ALT نیز نتایج نشان داد که در ۴ گروه تفاوت معنی دار وجود دارد ($F = 43.08$ ، $P = 0.011$). همچنین مقدار ALT در هر دو گروه کلرلا ($P = 0.022$) و تمرین + کلرلا ($P = 0.027$) نسبت به گروه کترول کاهش معنی داری داشت. در مقادیر ALP نیز نتایج نشان داد که در ۴ گروه تفاوت معنی دار وجود دارد ($F = 4.495$ ، $P = 0.009$). و مقدار ALP در گروه کلرلا نسبت به گروه کترول کاهش معنی داری داشت ($P = 0.006$).

شد. همچنین برای سنجش زمان تمرین و کترول ضربان قلب آزمودنی‌ها به ترتیب از زمان سنج دیجیتالی Joerex و ضربان سنج دیجیتالی Polar ساخت کشور فلاند استفاده شد. به منظور تعیین درصد چربی آزمودنی‌ها از فرمول سه نقطه‌ای Jackson/Pollock (۱۹۷۶) (سه سر بازوئی، ران، فوق خاصره) استفاده شد. همه اندازه‌گیری‌های چین پوستی در طرف راست بدن و در حالت استراحت انجام شد. پس از تعیین میزان ضخامت‌های چین پوستی با دستگاه ضخامت‌سنج، میانگین دو بار اندازه‌گیری هر نقطه از بدن در فرمول مربوطه قرار داده شد تا درصد چربی هر کدام از آزمودنی‌ها به دست آمد. در صورت صورت داشتن خطای بیش از ۵ درصدی در دو مرحله، اندازه‌گیری برای بار سوم انجام و میانه سه مرحله به عنوان ضخامت چین زیر پوستی نقطه ثبت گردید. برای خون‌گیری از ظرف مخصوص حمل نمونه‌های خونی، سرنگ ۱۰ سی سی، لوله آزمایش و الکل سفید استفاده شد. سپس جهت جداسازی سرم از نمونه‌های خونی گرفته شده از آزمودنی‌ها از دستگاه سانتریفوژ Hettich آلمان، برای اندازه‌گیری مقادیر آنزیم‌های کبدی ALT و AST از دستگاه اتو آنالایزر Hitachi ۹۱۲ و کیت‌های شرکت پارس آزمون استفاده شد. ضریب تغییرات و حساسیت این کیت‌های آزمایشگاهی برای آنزیم ALT به ترتیب $\text{CV} < 7\%$ (۴ واحد)، برای آنزیم AST $5\% < \text{CV} < 1/60$ (۳ واحد)، و برای آنزیم ALP $2\% < \text{CV} < 1/60$ (۱ واحد)، که از دستگاه اتو آنالایزر گزارش شده است. مقادیر نرمال فعالیت آنزیم ALT در زنان تا 31 IU/L براساس کیت‌های شرکت پارس آزمون می‌باشد. همچنین، مقادیر نرمال فعالیت آنزیم AST در زنان تا 31 IU/L و آنزیم ALP در زنان $30-64 \text{ IU/L}$ می‌باشد. در بخش تجزیه و تحلیل داده‌ها، ابتدا طبیعی بودن توزیع داده‌ها با استفاده از آزمون کلموگروف اسمرینف بررسی شد. سپس جهت تعیین تأثیر تمرین استقامتی و مکمل دهی کلرلا بر تغییرات فاکتورهای مورد نظر، از تحلیل واریانس (ANOVA) یک طرفه و آزمون پس تعقیبی توکی

جدول ۱: ترکیبات تشکیل دهنده یک گرم کلرلا

ماده تشکیل دهنده	مقدار	ماده تشکیل دهنده	مقدار
پروتئین	۵۰۰-۶۰۰ میلی‌گرم	کلسیم	۲ میلی‌گرم
چربی	۷۰-۱۲۰ میلی‌گرم	منزیزیم	۳ میلی‌گرم
کربوهیدرات	۱۵۰-۲۵۰ میلی‌گرم	پتاسیم	۰.۷ میلی‌گرم
فیبر	۲۰-۶۰ میلی‌گرم	آهن	۱/۲ میلی‌گرم
کلروفیل	۲۰-۶۰ میلی‌گرم	روی	۰.۷ میلی‌گرم
باتاکاروتن	۲ میلی‌گرم	بیوتین	۱/۹۲ میکروگرم
ویتامین C	۰/۲۲ میلی‌گرم	اسید فولیک	۰/۲۶۹ میکروگرم
ویتامین E	۰/۱ میلی‌گرم	B1	۰/۲۳ میکروگرم
نیاسین	۰/۳ میلی‌گرم	B2	۰/۵۸ میکروگرم
فسفر	۸ میلی‌گرم	B12	۱ میکروگرم
سدیم	۰/۴۲ میلی‌گرم	-	-

جدول ۲: شاخص‌های اندازه‌گیری شده در دو مرحله پیش و پس آزمون در ۴ گروه

متغیر	کنترل	تمرین	کلرلا	تمرین+کلرلا
سن (سال)	۵۵/۶۰ ± ۴/۲۲	۵۶/۸۰ ± ۴/۲۱	۵۶/۰۰ ± ۳/۸۲	۵۵/۰۰ ± ۳/۰۱
قد (سانتی‌متر)	۱۵۷/۱۰ ± ۳/۴۴	۱۵۶/۳۰ ± ۳/۰۹	۱۵۷/۸۰ ± ۴/۹۸	۱۵۸/۳۰ ± ۶/۵۱
وزن (کیلوگرم)	۷۱/۰۰ ± ۸/۱۹	۷۴/۰۰ ± ۱۱/۱۸	۷۵/۳۰ ± ۱۲/۹۱	۷۵/۰۵ ± ۱۰/۳۷
درصد چربی	۷۱/۴۰ ± ۷/۵۴	۷۳/۱۴ ± ۱۰/۷۸	۷۵/۲۰ ± ۱۳/۴۵	۷۴/۴۷ ± ۱۰/۰۶
شاخص توده بدنی (کیلوگرم/مترمربع)	۳۵/۲۸ ± ۱/۳۵	۳۶/۱۹ ± ۳/۵۶	۳۵/۲۳ ± ۲/۲۱	۳۶/۵۹ ± ۱/۹۸
پیش آزمون	۳۵/۵۳ ± ۱/۱۴	۳۶/۱۰ ± ۳/۴۱	* ۳۴/۹۵ ± ۲/۵۷	۳۶/۴۰ ± ۱/۷۹
پس آزمون	۲۸/۸۳ ± ۲/۵۸	۳۰/۱۹ ± ۴/۴۹	۳۰/۱۹ ± ۴/۴۹	۲۹/۸۰ ± ۲/۲۶
پیش آزمون	۲۸/۸۴ ± ۲/۲۶	۲۹/۸۰ ± ۳/۶۱	۳۰/۱۵ ± ۴/۸۰	۲۹/۵۷ ± ۲/۳۷
AST (IU/L)	۲۳/۹۰ ± ۶/۶۲	۲۳/۸۰ ± ۸/۲۷	۲۶/۶۰ ± ۱۵/۰۲	۲۰/۴۰ ± ۵/۷۵
ALT (IU/L)	۲۵/۷۰ ± ۹/۳۱	۲۰/۱۰ ± ۵/۵۴	* ۱۸/۵۰ ± ۸/۸۸	۱۵/۴۰ ± ۴/۲۹
ALP (IU/L)	۳۰/۶۰ ± ۱۰/۴۶	۲۷/۲۰ ± ۱۰/۶۱	۳۱/۰۰ ± ۲۱/۶۴	۲۷/۴۰ ± ۱۱/۸۲
پیش آزمون	۱۶۸/۹۰ ± ۳۷/۹۸	۱۴۷/۰۰ ± ۲۳/۲۷	۱۷۸/۳۰ ± ۶۲/۲۸	۱۴۶/۳۰ ± ۳۲/۲۲
پس آزمون	۱۷۸/۴۰ ± ۳۰/۱۷	۱۳۵/۴۰ ± ۲۵/۳۱	* ۱۴۸/۲۰ ± ۳۴/۹۷	۱۴۳/۹۰ ± ۳۳/۰۷

*. بیانگر تغییرات معنی‌دار نسبت به گروه کنترل

بحث

شدت فعالیت ورزشی بر فعالیت آنزیمهای موثر بود. آمینوترانسفرازها در سرم طبیعی، فعالیت اندکی دارند و در اثر تمرینات و رقابت‌های استقامتی کوتاه‌مدت و شدید مقادیر آنزیمهای فوق افزایش می‌یابد. یکی از اندام‌های در گیر در فعالیت‌های ورزشی گوناگون کبد است که ممکن است میزان آنزیمهای آن پس از ورزش افزایش یابد. آنزیم AST از آنزیمهای در گیر در سوتخت‌وساز کبدی هستند. چون کبد در فعالیت‌های استقامتی بیشتر از دیگر فعالیتها نقش ایفا می‌کند، بنابراین احتمال آسیب غشای سلول‌های کبدی در فعالیت‌های دراز مدت و استقامتی زیاد است. Ranjbar و همکاران نیز در مطالعه‌ای به این نتیجه رسیدند که ۱۰ هفته تمرین هوایی تأثیر معنی‌داری بر مقادیر آنزیم AST موش‌های صحرایی مبتلا به انفارکتوس قلبی ندارد (۱۵). یکی از دلایل عدم کاهش آنزیمهای کبدی در این مطالعه ناشی از عدم تغییر پروتئین شوک گرمایی است. در نهایت این احتمال وجود داشت که تأثیرات مثبت و منفی تمرینات استقامتی بر عملکرد کبد در موش‌های با انفارکتوس قلبی نتوانسته‌اند بر هم‌دیگر غلبه نمایند و این عامل می‌تواند از دلایل عدم کاهش آنزیمهای کبدی در پاسخ به تمرینات هوایی تداومی باشد. Talebpipour و همکاران نیز دریافتند که ۸ هفته مکمل دهی کلرلا باعث کاهش معنی‌دار مقادیر AST بیماران مبتلا به کبد چرب غیرالکلی می‌شود (۱۶). اما در رابطه با تغییرات آنزیم AST در اثر تمرینات ورزشی و مصرف مکمل کلرلا نتایج برخی تحقیقات با مطالعه حاضر و تحقیقات ذکر شده در فوق دارای تناقض می‌باشد (۱۸،۱۷). در همین راستا، Izadi و همکاران نیز دریافتند که ۱۰ هفته تمرین هوایی به همراه مصرف مکمل چای سبز باعث افزایش معنی‌دار AST در زنان

بیماری‌های کبدی مهم‌ترین دلیل افزایش ترانس آمینازها در سرم هستند (۱۴). آنزیمهای AST و ALT از آنزیمهای در گیر در سوتخت‌وساز کبدی هستند و به طور کلی افزایش آن‌ها شاخصی از بیماری سلول‌های کبدی می‌باشد. افزایش آنزیم ALP نیز نشان دهنده بیماری کبد و مسیر صفوایی است (۱۵). در اکثر انواع بیماری‌ها فعالیت ALT بیشتر از AST می‌باشد، زیرا افزایش فعالیت ALT برای مدت طولانی تری نسبت به افزایش سلول‌های AST پایدار می‌ماند (۱۴). در موارد آسیب خفیف سلول‌های کبدی سطح ALP ممکن است تغییر نکند و یا تنها به طور خفیفی بالا رود، اما در بیماری حاد کبد، بیماری‌های مربوط به کیسه صفرا و استخوان به طرز آشکاری افزایش می‌یابد (۱۵).

نتایج تحقیق حاضر نشان داد که تغییرات آنزیم AST در گروه مصرف کننده مکمل تفاوت معنی‌داری با گروه کنترل داشت و در طول ۸ هفته کاهش معنی‌داری یافته بود. اما تغییرات این آنزیم در گروه‌های تمرین هوایی و تمرین هوایی+مکمل کلرلا تفاوت معنی‌داری با گروه کنترل نداشت. این یافته‌ها با نتایج برخی مطالعات از جمله Barani و همکاران، Ranjbar و همکاران و Talebpipour و همکاران همسو بود (۱۴،۱۵،۱۶). Barani و همکاران در مطالعه‌ای گزارش کردند که هشت هفته تمرین مقاومتی و تمرین ترکیبی (مقاومتی+هوایی) باعث تغییر معنی‌داری در مقادیر آنزیم AST زنان دارای بیماری کبد چرب غیر الکلی نمی‌شود (۱۴). از دلایل عدم مشاره تغییر معنادار در آنزیم AST می‌توان به این موارد اشاره کرد که در آن مطالعه زنان دارای بیماری کبد چرب غیرالکلی مورد بررسی قرار گرفتند که این افراد به دلیل بیماری دچار خستگی می‌شدند. همچنین نوع و مدت و

Barani و همکاران نیز گزارش کردند که پس از هشت هفته تمرین مقاومتی و ترکیبی بین گروه تمرین و کنترل تفاوت معنی داری وجود نداشت (۱۴). با این حال نتایج برخی مطالعات با تحقیق حاضر و موارد ذکر شده ناهمسو می باشد. Barzegarzadeh و همکاران گزارش کردند که ۶ و ۱۲ هفته تمرین هوایی تداومی و تناوبی باعث افزایش معنی دار مقادیر آنزیم ALP موش های صحرابی مسن می شود (۲۱) که این تفاوت احتمالاً می تواند ناشی از نوع آزمودنی (انسانی یا حیوانی) مورد استفاده باشد. به علاوه، Panahi و همکاران در مطالعه ای به این نتیجه رسیدند که هشت هفته مصرف مکمل کلرلا باعث افزایش معنی دار ALP افراد مبتلا به نارسایی چربی خون می شود (۱۸). مطالعات نشان می دهد که ALP علاوه بر کبد در استخوان، روده کوچک و کلیه نیز یافت می شود، بنابراین این احتمال وجود دارد که افزایش ALP در برخی مطالعات به دلیل افزایش فعالیت این بافت ها باشد (۱۵).

اگرچه مکانیسم عمل کلرلا و لگاریس بر آنزیم های کبدی مشخص نیست، ولی به نظر می رسد کاهش درصد چربی ناشی از مکمل دهی کلرلا در بهبود سطوح آنزیم های کبدی دخیل باشد. نتایج این مطالعات حاکی از آن است که کاهش چربی بدن سبب تغییر قابل ملاحظه آنزیم های کبدی و نرمal کردن سطح آن ها در اکثر موارد می شود (۱۳، ۲۲). اگر چه مکانیسم دقیق تأثیر کلرلا بر در صد چربی بدن ناشناخته است، ولی کاهش چربی بر ترکیبات پلی فنولی موجود در کلرلا نسبت داده می شود که از طریق کاهش mRNA آنزیم های اسید چرب سنتاز و آسیل کوآ کربوکسیلاز، بتا اکسیداسیون و لیپولیز سلول های چربی ناشی از نوراپی نفرین را افزایش می دهد (۲۳، ۱۳). به علاوه، پلی فنول ها اثر مهاری بر لپیاز پانکراس داشته و از جذب چربی در روده جلوگیری می کنند و از تمایز پری آدیپوسیت ها به آدیپوسیت ها جلوگیری می کنند (۲۴). برخی مطالعات اشاره کرده اند که کاهش درصد چربی احتمالاً از طریق تأثیر بر مقاومت انسولین موجب بهبودی آنزیم های کبدی می شود (۲۵، ۱۳). به طور کلی نتایج مطالعات صورت گرفته نشان می دهد که در پاسخ به فعالیت حاد با شدت بالا میزان آنزیم های کبدی افزایش می یابد، در حالی که با سازگاری به تمرینات ورزشی این افزایش در میزان آنزیم ها از بین می رود (۲۶، ۱۵).

در رابطه با این که چرا در این مطالعه تمرینات استقامتی نتوانست موجب کاهش سطوح آنزیم های کبدی شود، یکی از احتمالات این است که تمرینات ورزشی از طریق کاهش تولید رادیکال های آزاد و افزایش آنزیم های آنتی اکسیدانی موجب بهبود استرس اکسایشی می شوند و از این طریق موجب بهبود عملکرد بافت کبد می شوند (۱۵). اما توجه به این نکته لازم است که برخی مطالعات نشان داده اند که تمرینات استقامتی کمترین اثر را بر سیستم آنتی اکسیدانی سلول های کبدی نسبت به سایر اندام های

چاق دیابتی می شود (۱۷) که این محققین علت اصلی این افزایش را به مکمل چای سبز نسبت داده بودند. نتایج مطالعه Panahi و همکاران حاکی از این بود که هشت هفته مصرف مکمل کلرلا باعث افزایش معنی دار AST در افراد مبتلا به نارسایی چربی خون می شود (۱۸) که با مطالعه حاضر در تضاد می باشد. علت این اختلاف احتمالاً ناشی از تفاوت در نوع آزمودنی های به کار گرفته شده باشد، زیرا آزمودنی های مطالعه پناهی و همکاران مبتلا به نارسایی چربی خون بودند.

در رابطه با آنزیم ALT، نتایج این مطالعه بیانگر این بود که دامنه تغییرات آنزیم ALT در گروه مصرف کننده مکمل و گروه تمرین هوایی + مصرف مکمل تفاوت معنی داری با گروه کنترل داشت و در طول ۸ هفته کاهش پیدا کرده بود. اما دامنه اختلاف تغییرات این آنزیم در گروه تمرین هوایی تفاوت معنی داری با گروه کنترل نداشت. این نتایج با یافته های بعضی از مطالعات هم راستا می باشد. به عنوان مثال Fathei و همکاران گزارش کردند که پس از هشت هفته تمرین هوایی، مقدار آنزیم ALT گروه تمرین و کنترل تفاوت معنی داری با یکدیگر نداشتند (۱). همچنین Talebipour و همکاران در مطالعه خود به این نتیجه رسیدند که مصرف مکمل کلرلا به مدت هشت هفته باعث تغییرات معنی دار مقادیر ALT بیماران مبتلا به کبد چرب غیر الکلی می شود (۱۶). با این وجود نتایج برخی مطالعات با تحقیق حاضر در تناقض می باشد. به عنوان مثال، Panahi و همکاران گزارش کردند که هشت هفته مکمل دهی کلرلا باعث تغییر معنی داری در مقادیر آنزیم ALT افراد مبتلا به نارسایی چربی خون نمی شود (۱۸). یکی از دلایل احتمالی این تفاوت می تواند ناشی از مصرف داروی پایین آورنده کلسترول به همراه مکمل کلرلا توسط آزمودنی های مطالعه Panahi باشد. Skrypnik و همکاران نیز دریافتند که سه ماه تمرین استقامتی باعث افزایش معنی دار ALT زنان دارای چاقی شکمی می شود (۱۹). مدت تمرینات ورزشی به کار رفته شاید یکی از دلایل ناهمخوانی مطالعه حاضر با نتایج تحقیق Skrypnik و همکاران باشد، زیرا پروتکل تمرینی آن ها یک ماه طولانی تر از این مطالعه بود.

نتایج مطالعه حاضر در رابطه با آنزیم ALP نشان داد که دامنه تغییر ALP در گروه مصرف کننده مکمل تفاوت معنی داری با گروه کنترل داشت و در طول ۸ هفته کاهش معنی داری یافته بود. اما دامنه تغییرات این آنزیم در گروه های تمرین هوایی و تمرین هوایی + مکمل کلرلا تفاوت معنی داری با گروه کنترل نداشت. نتایج برخی مطالعات قبلی در این زمینه با مطالعه حاضر همسو می باشد. Farzanegi و همکاران گزارش کردند که با وجود عدم تفاوت معنی دار گروه تمرین و کنترل پس از شش هفته تمرین هوایی، مقدار آنزیم ALP پس از شش هفته تمرین هوایی در زنان یائسه گروه تمرین کاهش معنی داری یافته بود (۲۰). همچنین

به طور چشمگیری کاهش می‌یابد. در نتیجه هنگام فعالیت ورزشی AMPK فعال می‌شود و فعالیت آن بعد از اتمام فعالیت ورزشی در عضله، کبد و بافت چربی باقی می‌ماند. فعال شدن AMPK در کبد سنتز چربی‌ها را مهار می‌کند که این عمل از طریق غیرفعال کردن آنزیم استیل کوا کربوکسیلاز، فعال کردن آنزیم مانوئیل کوا کربوکسیلاز و مهار بیان ژن آنزیم‌های لیپوزنیک شامل استیل کوا کربوکسیلاز و اسید چرب سنتاز انجام می‌شود (۱). همچنین کاهش مالونیل کوا که یک مهار کننده الستریک CPT-1 می‌باشد باعث تحریک اکسیداسیون چربی‌ها در کبد می‌شود. پس می‌توان کاهش معنی دار آنزیم ALT در گروه تمرین+مکمل کلرلا را به حساسیت به انسولین بافتی و کبدی و نیز کاهش چربی کبدی نسبت داد. زیرا تمرین ورزشی منظم باعث افزایش میزان انرژی مصرفی روزانه، بهبود و افزایش اکسیداسیون چربی‌ها در عضلات اسکلتی و میتوکندری هپاتوستیت‌ها، سوخت‌وساز بیشتر دخایر چربی احشایی و توزیع مجدد دخایر چربی در بدن که باعث کاهش چاقی احشایی و تشديد پاسخ‌دهی به انسولین در بافت چربی می‌شود که نتیجه آن کاهش تراوش اسیدهای چرب آزاد به داخل کبد، کاهش رسوب چربی در کبد و افزایش اکسیداسیون چربی در کبد می‌شود (۱). تمرین هوایی ممکن است علاوه بر تنظیم مثبت دفاع ضد اکسایشی، از طریق کاهش استرس اکسیداتیو و التهاب منجر به کاهش بیشتر سطوح آنزیم‌های کبدی شود. شاید علت عدم تاثیر گذاری تمرینات هوایی بر شاخص‌های آسیب کبدی بر مدت زمان کمتر تمرینات هوایی و همچنین در مقادیر تقریباً طبیعی آنزیم‌های کبدی در بیماران دیابتی تحقیق حاضر باشد (۱۴). لذا به نظر می‌رسد با اجرای برنامه تمرینات هوایی در دوره طولانی و روی بیماران دیابتی که دارای عارضه کبدی نیز می‌باشند بتوان به نتایج دقیق‌تری دست پیدا کرد.

نتیجه‌گیری

نتایج مطالعه حاضر پیانگر این بود که مصرف مکمل کلرلا در مقایسه با تمرین هوایی تأثیر بیشتری بر آنزیم‌های کبدی داشت. با این حال، با توجه به یافته‌های موفق و مخالف سایر مطالعات، اظهار نظر قطعی در مورد تأثیر تمرین استقامتی و مصرف مکمل کلرلا بر آنزیم‌های کبدی منوط به انجام تحقیقات و مطالعات بیشتر در این زمینه می‌باشد.

قدرتانی

نویسنده‌گان بر خود لازم می‌دانند از مرکز بهداشت شهرستان تبریز و سرکار خانم داهیم و جناب آقای دکتر کیانی فوق تخصص غدد که در اجرای این طرح همکاری شایسته‌ای داشتند و از مرکز بهداشت شادپور که بیماران را در اختیار محقق گذاشتند و همچنین از شرکت فردای سبز ایرانیان نماینده شرکت آلگومد (تهران، ایران)

دیگر از جمله مغز، عضله اسکلتی و قلب دارد (۲۷). به علاوه، این نتایج متفاوت ممکن است به دلیل تفاوت در ویژگی‌های فردی مثل تفاوت سنی، شرایط آمادگی جسمانی آزمودنی‌ها و وجود سطوح پایه بالاتر یا طبیعی آنزیم‌های کبدی در شرکت کنندگان باشد. با توجه به محدوده‌های مرجع برای آنزیم‌ها، مشاهده می‌شود که سطوح پایه آن‌ها با هم متفاوت هستند و این می‌تواند یکی از دلایل تفاوت در تغییر مقادیر این آنزیم‌ها باشد (۱۴). از طرف دیگر، نوع، شدت و مدت تمرینات ورزشی به کار رفته و نیز سالم یا بیمار بودن آزمودنی‌ها نیز اثرات متفاوتی بر سیستم‌های ترشحی و متابولیسمی می‌گذارد که این امر شاید یکی از دلایل ناهمخوانی مطالعه حاضر با نتایج سایر تحقیقات باشد (۱۵، ۱۶). همچنین، مداخلات محیطی نیز می‌تواند در نتایج مؤثر باشد که شامل شرایط آب و هوایی، موقعیت زمانی و مکانی اجرای تمرینات و محرک‌های محیطی از قبیل استرس و هیجانات باشد (۱۴). به علاوه در رابطه با وجود تناقضات مشاهده شده می‌توان به این مورد اشاره کرد که روش‌های آزمایشگاهی نیز در نتایج تأثیر گذارد هستند. زیرا نیمه عمر و شرایط نگهداری و اندازه‌گیری هر کدام از آنزیم‌ها با یکدیگر متفاوت هستند و عدم توجه و دقت کافی به این مسئله می‌تواند سبب تغییر نتایج شود (۲۰). مثلاً در مورد تغییر ALP در پاسخ به تمرینات ورزشی لازم به ذکر است که آنزیم‌های ALT و AST نسبت به آنزیم ALP شاخص دقیق‌تری در تشخیص اختلالات بافت کبدی هستند و در موارد آسیب خفیف سلول‌های کبدی، سطح ALP ممکن است تغییر نکند (۱۵). بعلاوه، یکی دیگر از عواملی که میزان فعالیت آنزیم‌های کبدی در پاسخ به تمرینات ورزشی منظم را تنظیم می‌کند پروتئین شوک گرمایی است. در این راستا نشان داده شده است که تمرین استقامتی با تولید HSP70 از افزایش فعالیت‌های آنزیم‌های AST و ALT پلاسمایی ممانعت به عمل می‌آورد (۱۵).

در نهایت اشاره به این مورد ضروری است که از جمله مهم ترین عوامل ایجاد کننده آسیب‌های کبدی مقاومت به انسولین می‌باشد که با فاکتورهای مختلف سندروم متابولیک ارتباط دارد. این وضعیت حتی در شرایط نبود چاقی و دیابت نوع دوم نیز مشاهده شده است و برخی مطالعات به رابطه منفی بین حساسیت به انسولین و تجمع چربی در کبد اشاره کرده‌اند (۲۸، ۲۹). فعالیت ورزشی می‌تواند اکسیداسیون چربی‌ها را تحریک کرده و ستر چربی‌ها در کبد را مهار کند که این اعمال به واسطه فعال سازی AMPK انجام می‌شود (۱). این آنزیم با افزایش نسبت ATP در بافت‌ها فعال می‌شود که ناشی از تحریک فیزیولوژیکی فعالیت ورزشی می‌باشد. محققان گزارش کرده‌اند که شرط اصلی فعال شدن مسیر AMPK هنگام فعالیت ورزشی کاهش و فقدان فعالیت SCD-1 در کبد می‌باشد (۳۰). اخیراً مطالعات گزارش کرده‌اند که فعالیت SCD-1 در کبد موش‌ها بعد از فعالیت ورزشی

منافع متقابل

مؤلف اظهار می‌دارد که منافع متقابلی از تالیف و یا انتشار این مقاله ندارد.

مشارکت مولفان

ج و، را و همکاران طراحی، اجرا و تحلیل نتایج مطالعه را بر عهده داشت. ج و، را و همکاران همچنین مقاله را تالیف نموده و نسخه نهایی آن را خوانده و تایید کرده است.

بدلیل تهیه مکمل کلرلا ولگاریس و از کلیه عزیزانی که در این طرح ما را یاری کردند اعلام می‌دارند. شماره پایان‌نامه: این مقاله نتیجه پایان نامه تحقیقاتی خانم فاطمه اردبازار مصوب در صورت جلسه شماره ۵/۴۹ دانشکده تربیت بدنی و علوم ورزشی دانشگاه تبریز می‌باشد.

ملاحظات اخلاقی

پروتکل این مطالعه در کمیته پزشکی دانشگاه علوم پزشکی تبریز در استان آذربایجان شرقی به شماره مرجع TBZMED.REC.1394.616 تایید رسیده است.

منابع مالی

منابع مالی ندارد.

References

1. Fathei M, Khairabadi S, Ramezani F, Hejazi K. The effects of eight weeks aerobic training, green tea supplementation and compound of them on serum liver enzymes and apolipoproteins in inactive overweight women. *Medical Journal of Mashhad University of Medical Sciences* 2016; **59**(2): 114-123.
2. Miki T, Yuda S, Kouzu H, Miura T. Diabetic Cardiomyopathy: Pathophysiology and clinical features. *Heart Failure Reviews* 2013; **18**: 149-166.
3. Giannini E G, Testa R, Savarino V. Liver enzyme alteration: a guide for clinicians. *Canadian Medical Association Journal* 2005; **172**(3): 367-379. doi: 84.77657 . doi: 10.1503/cmaj.1040752
4. Park H J, Bruno R S. Hepatoprotective activities of green tea in nonalcoholic fatty liver disease. *Agro Food Industry High-Tech* 2010; **21**(1): 37-40.
5. Guzman S, Gato A, Calleja J M. Anti inflammatory, analgesic and free radical scavenging activities of the marinemicroalgae Chlorella stigmatophora and Phaeodactylum tricornutum. *Phytotherapy Research* 2001; **15**: 224-230. doi: 10.1002/ptr.715
6. Queiroz MLS, Torello C O, Perhs SMC, Rocha M C, Bechara EJH, Morgano M A, et al. Chlorella vulgaris up-modulation of myelosuppression induced by lead: The role of stromal cells. *Food Chem Toxicol* 2008; **46**(9): 3147-3154. doi: 10.1016/j.fct.2008.07.005
7. Queiroz M L, Da Rocha M C, Torello C O, de Souza Queiroz J, Bincoletto C, Morgano M A, et al. Chlorella Vulgaris restores bone marrow cellularity and cytokine production in lead-exposed mice. *Food Chem Toxicol* 2011; **49**(11): 2934-2941.
8. Eriksson P, Reynisdottir S, Lönnqvist F, Stemme V, Hamsten A, Arner P. Adipose tissue secretion of plasminogen activator inhibitor-1 in non-obese and obese individuals. *Diabetologia* 1998; **41**(1): 65-71.
9. Davoodi M, Moosavi H, Nikbakht M. The effect of eight weeks selected aerobic exercise on liver parenchyma and liver enzymes (AST, ALT) of fat liver patients. *J Shahrekord Univ Med Sci [Research]* 2012; **14**: 84-90. doi: 10.1007/s001250050868
10. Bijeh N, Rashid Lamir A, Sadeghynia S, Hejazi K. The effect of eight weeks swimming training on hepatic enzymes and Hematological Values in Young Female. *International Journal of Basic Sciences & Applied Research* 2013; **2**(1): 123-128.
11. Pettersson J, Hindorf U, Persson P, Bengtsson T, Malmqvist U, Werkström V, et al. Muscular exercise can cause highly pathological liver function tests in healthy men. *British Journal of Clinical Pharmacology* 2008; **65**(2): 253-259. doi: 10.1111/j.1365-2125.2007.03001.x
12. Panahi Y, Ghamsarchehreh M E, Beiraghdar F, Zare R, Jalalian H R, Sahebkar A. Investigation of the effects of Chlorella vulgaris supplementation in patients with non-alcoholic fatty liver disease: a randomized clinical trial. *Hepato-gastroenterology* 2012; **59**(119): 2099-2103. doi: 10.1016/j.clinbiochem.2011.08.275
13. Ebrahimi-Mameghani M, Aliashrafi S, Javadzadeh Y, Asghari Jafarabadi M. The Effect of Chlorella Vulgaris Supplementation on Liver Enzymes, Serum Glucose and Lipid Profile in Patients with Non-Alcoholic Fatty Liver Disease. *Health Promot Perspect* 2014; **4**(1): 107-115.
14. Barani F, Afzalpour M E, Ilbiegel S, Kazemi T, Mohammadi Fard M. The effect of resistance and combined exercise on serum levels of liver enzymes and fitness indicators in women with nonalcoholic fatty liver disease. *J Birjand Univ Med Sci* 2014; **21**(2): 188-202.
15. Ranjbar K, Nazem F, Hashemi S. Effect of Continuous Aerobic Training on Serum Levels of Liver Injury Indices in Rats with Myocardial Infarction . *Iranian Journal of Endocrinology and Metabolism* 2016; **18**(1): 46-53.

16. Talebi Pour B, Jameshorani M, Salmani R, Chiti H. The Effect of Chlorella Vulgaris vs. Artichoke on Patients with Non-alcoholic Fatty Liver Disease (NAFLD): A Randomized Clinical Trial. *ZUMS Journal* 2015; **23**(100): 36-44.
17. Izadi Ghahfarokhi M, Mogharnasi M, Faramarzi M. The impact of 10 weeks of aerobic exercise and supplementation of green tea on lipid profile, insulin resistance and liver enzymes (GGT, ALT, AST) in obese diabetic women (type 2). *Armaghane Danesh* 2015; **20**: 161-171.
18. Panahi Y, Pishgoo B, Jalalian H R, Mohammadi E, Taghipour HR, Sahebkar A, Abolhasani E. Investigation of the effects of Chlorella vulgaris as an adjunctive therapy for dyslipidemia: Results of a randomised open-label clinical trial. *Nutrition & Dietetics* 2012; **69**(1): 13-19. doi: 10.1111/j.1747-0080.2011.01569.x
19. Skrypnik D, Ratajczak M, Karolkiewicz J, Madry E, Pupek-Musialik D, Hansdorfer-Korzon R, et al. Effects of endurance and endurance-strength exercise on biochemical parameters of liver function in women with abdominal obesity. *Biomedicine & Pharmacotherapy* 2016; **31**: 801-807.
20. Farzanegi P, Pour Amin Z, Habibian M. Changes of Liver Trans-Aminases after a Period of Selected Aerobic Training in Postmenopausal Women. *Mjgoums* 2014; **8**(1): 22-28.
21. Barzegarzadeh-Zarandi H, Dabidy-Roshan V. Changes in some liver enzymes and blood lipid level following interval and continuous regular aerobic training in old rats. *J Shahrekhord Uunive Med Sci* 2012; **14**: 13-23.
22. Bellentani S, Dalle Grave R, Suppini A, Marchesini G. Behavior Therapy for Nonalcoholic Fatty Liver Disease: the Need for a multidisciplinary Approach. *Hepatology* 2008; **47**(2): 746-754.
23. Nakazato K, Song H, Waga T. Effects of dietary apple polyphenol on adipose tissues weights in Wistar rats. *Experimental Animals* 2006; **55**(4): 383-389. doi: 10.1538/expanim.55.383
24. Meydani M, Hasan S T. Dietary polyphenols and obesity. *Nutrients* 2010; **2**(7): 737-751.
25. Bath G, Sreenivasa Baba C, Pandey A, Kumari N, Choudhuri G. Life style modification improves insulin resistance and liver histology in patients with non-alcoholic fatty liver disease. *World J Hepatol* 2012; **4**(7): 209-217.
26. Straznicky N E, Lambert E A, Grima M T, Eikelis N, Nestel P J, Dawood T, et al. The effects of dietary weight loss with or without exercise training on liver enzymes in obese metabolic syndrome subjects. *Diabete Obes Metab* 2012; **14**: 139-148.
27. Liu J, Yeo H C, Overvik-Douki E, Hagen T, Doniger SJ, Chu DW, et al. Chronically and acutely exercised rats: biomarkers of oxidative stress and endogenous antioxidants. *J Appl Physiol* 2000; **89**: 21-28. doi: 10.1152/jappl.2000.89.1.21
28. Perseghin G, Lattuada G, De Cobelli F, Ragogna F, Ntali G, Esposito A, et al. Habitual physical activity is associated with intrahepatic fat content in humans. *Diabetes Care* 2007; **30**: 683-688.
29. Baba C S, Alexander G, Kalyani B, Pandey R, Rastogi S, Pandey A, et al. Effect of exercise and dietary modification on serum aminotransferase levels in patients with nonalcoholic steatohepatitis. *Journal of gastroenterology and hepatology* 2006; **21**(1): 191-198. doi: 10.1111/j.1440-1746.2005.04233.x
30. Lavoie J M, Gauthier M S. Regulation of fat metabolism in the liver: link to non-alcoholic hepatic steatosis and impact of physical exercise. *Cell Mol Life Sci CMLS* 2006; **63**: 1393-1409. doi: 10.1007/s00018-006-6600-y

Case Report

Pulmonary *Nocardia asteroides* complex infection in patient whit systemic lupus erythematosus

Masoud Keikha¹ , Mehdi Khorshidi², Behnam Sisakhtpour², Sepehr Navid^{2*} 

¹Department of Medical Microbiology, Mashhad Medical University, Mashhad, Iran.

²Department of Medical Microbiology, Isfahan Medical University, Isfahan, Iran.

*Corresponding author; E-mail: sepehr_2006_70@yahoo.com

Received: 31 January 2017 Accepted: 12 February 2017 First Published online: 17 January 2019
Med J Tabriz Uni Med Sciences Health Services. 2019 February-March; 40(6):98-102

Abstract

A 34-year-old woman with systemic lupus erythematosus who had two kidney transplants and 4 months after the second transplant, with symptoms of fever, malaise, night sweats and chest pain was referred to Al-Zahra hospital. In lung CT scan results of this patient lesion similar fungus ball was seen and for this patient was diagnosed fungal infection. Due to loss treatment, BAL samples were taken from patients and were sent to the microbiology laboratory. Based on microscopic and phenotypic test results patients diagnosed with pulmonary nocardiosis and According to antimicrobial susceptibility testing was treated by the drug co-trimoxazole. Nocardiosis opportunistic infection in immunocompromised patients is one of the main causes of death and should be properly diagnosed.

Keywords: *Nocardia asteroides*, systemic lupus erythematosus, Corticosteroid, Infection.

How to cite this article: Keikha M, Khorshidi M, Sisakhtpour B, Navid S. [Pulmonary *Nocardia asteroides* complex infection in patient whit systemic lupus erythematosus]. Med J Tabriz Uni Med Sciences Health Services. 2019 February-March;40(6):98-102. Persian.

گزارش موردی

عفونت تنفسی نوکاردیا آستروئیدس کمپلکس در بیمار مبتلا به اریتماتوز سیستمیک

مسعود کیخا^۱، مهدی خورشیدی^۲، بهنام سی سخت پور^۳، سپهر نوید^{*}

^۱ گروه میکروب شناسی پزشکی، دانشگاه علوم پزشکی مشهد، مشهد، ایران.

^۲ گروه میکروب شناسی پزشکی، دانشگاه علوم پزشکی اصفهان، اصفهان، ایران.

*نویسنده مسئول؛ ایمیل sepehr_2006_70@yahoo.com

دریافت: ۱۳۹۵/۱۱/۲۴ پذیرش: ۱۳۹۵/۱۱/۲۶ انتشار برخط: ۱۳۹۷/۱۰/۲۷
مجله پزشکی دانشگاه علوم پزشکی و خدمات بهداشتی - درمانی تبریز. ۱۳۹۷ بهمن و اسفند؛ ۴۰(۶):۹۸-۱۰۲

چکیده

یک خانم ۳۴ ساله مبتلا به لوپوس اریتماتوز سیستمیک با سابقه انجام دو عمل پیوند کلیه، ۴ ماه پس از دومین عمل پیوند با عالیم تب، کسالت، تعریق شبانه و درد قفسه سینه به بیمارستان الزهرا اصفهان مراجعه نمود. در نتایج سی تی اسکن ریه بیمار ضایعه مشابه توب قارچی مشاهده شد و برای این بیمار عفونت قارچی تشخیص داده شد. با توجه به عدم بهبودی از بیمار نمونه BAL گرفته شد و برای آزمایشگاه میکروب شناسی ارسال شد. بر اساس بررسی میکروسکوپی و نتایج تست های فوتیپیک بیمار با تشخیص نوکاردیوزیس ریوی و با توجه به انجام تست های حساسیت آتنی بیوتیکی توسط داروی کوتربیومکسازول تحت درمان قرار گرفت. عفونت فرست طلب نوکاردیوزیس یکی از عوامل مرگ و میر بیماران نقص سیستم ایمنی است که می بایست به درستی تشخیص داده شود.

کلید واژه ها: نوکاردیا آستروئیدس، لوپوس اریتماتوز سیستمیک، کورتیکواستروئید، عفونت.

نحوه استناد به این مقاله: کیخا، خورشیدی، سی سخت پور، نوید س. عفونت تنفسی نوکاردیا آستروئیدس کمپلکس در بیمار مبتلا به اریتماتوز سیستمیک. مجله پزشکی دانشگاه علوم پزشکی و خدمات بهداشتی - درمانی تبریز. ۱۳۹۷؛ ۴۰(۶):۹۸-۱۰۲.

حق تأثیف برای مؤلفان محفوظ است.
این مقاله با دسترسی آزاد توسط دانشگاه علوم پزشکی و خدمات بهداشتی - درمانی تبریز تحت مجوز کریتو کامنز () منتشر شده که طبق مفاد آن هرگونه استفاده تنها در صورتی مجاز است که به اثر اصلی به نحو مقتضی استناد و ارجاع داده شده باشد.

مقدمه

تجویز شد، اما بهبودی حاصل نشد و از بیمار نمونه‌ی شیستشوی برونش (BAL) تهیه گردید. نمونه تنفسی بیمار بر روی محیط های بلاد آکار و شکلات آکار و در درمای ۳۷ کشتم داده شد، پس از گذشت ۳ روز کلنجی‌های سفید گچی متمایل به نازنچی رنگ بر روی محیط بلاد آکار، تصویر شماره ۲ مشاهده شد. رنگ آمیزی گرم، اسید فاست و کانیون برای کلنجی‌ها انجام شد (تصویر شماره ۱). با توجه به نتایج رنگ آمیزی و آرایش باکتری در زیر میکروسکوب، میکروارگانیسم مشکوک به نوکاردیا گزارش گردید. در ادامه برای کلنجی مشکوک به نوکاردیا تست‌های مقاومت به لیزوژیزم، رشد در دمای ۳۵ و ۴۵ درجه سانتیگراد، تجزیه کازائین، تیروزین، هپیوگرانین، ژلاتین، تولید اوره آز و سیترات انجام شد که ایزوله مذکور توانایی رشد در حضور لیزوژیزم را داشت، همچنین نتایج تست‌های تجزیه اوره و سیترات، رشد در دمای ۳۵ درجه سانتیگراد مثبت ارزیابی شد در حالیکه مابقی نتایج تست‌ها منفی بود (۸). با توجه به نتایج تست‌ها باکتری مورد نظر به عنوان نوکاردیا آسترودیس کمپلکس شناسایی شد. برای ایزوله مورد نظر آنتی-بیوگرام به روش دیسک دیفیوژن انجام شد که باکتری مورد نظر به کوتريموکسازول، ایمی پنم و مروپنم حساس بود و نسبت به آنتی-بیوتیک‌های تراسایکلین، امپی‌سیلین، سیپروفلوکساسین و پنی‌سیلین مقاوم بود.

G



شکل ۱: رنگ آمیزی گرم



شکل ۲: کلنجی مشکوک به نوکاردیا

نوکاردیا، باکتری پاتوژن فرصت طلب گرم مثبت، غیر متحرک، فاقد اسپور، هوایی، اسید فاست نسی و متعلق به راسته اکتینومیست هاست که به صورت سaproوفیت در حاک، آب، گرد و غبار، گیاهان و فضولات حیوای در حال فساد یافت می‌شوند. گونه‌های نوکاردیا از طریق استنشاق ذرات گرد و غبار و تلقیح تروماتیک وارد بدن انسان شده و عفونت‌های نظری: عفونت‌های تنفسی، جلدی، زیر جلدی، سرطان، دیابت، دریافت کنندگان پیوند، بیماران مبتلا به ایدز، سرطان، دیابت، دریافت کنندگان پیوند، بیماران مبتلا به اختلالات بافت همبند (مانند لوپوس اریتماتوز سیستمیک) و مصرف کنندگان داروهای سرکوب کننده سیستم ایمنی از مهم ترین میزان عفونت‌های نوکاردیایی به حساب می‌آیند (۴-۱). نوکاردیا آسترودیس شایع ترین نوکاردیایی جدا شده از بیماران است (۴). لوپوس اریتماتوز سیستمیک (SLE) یک بیماری خود ایمنی است که چندین ارگان را درگیر می‌کند، در طی این بیماری اتو آتنی بادی تشکیل می‌شود و رسوب کمپلکس‌های ایمنی در بافت‌ها سبب آسیب بافتی می‌شود؛ در نتیجه این بیماران دچار التهاب مزمن سیستمیک هستند (۶-۵). به طور کلی زنان بیشتر به این بیماری مبتلا می‌شوند. این نسبت در زنان و مردان بالغ ۴ به ۱ است. با توجه به اینکه این بیماران از داروهای سرکوب کننده سیستم ایمنی نظری گلوكورتیکوئیدها استفاده می‌کنند، لذا انتظار می‌رود نسبت به عفونتهای میکروبی ناشی از نوکاردیا آسیب‌پذیر باشند (۵-۴). برای تشخیص عفونت‌های نوکاردیایی نمی‌توان به ظاهرات بالینی و عکس‌های رادیولوژی تکیه کرد. بلکه روش‌های میکروب شناسی مانند رنگ-آمیزی گرم، رنگ آمیزی اسید فاست و کشت، کلیدی ترین روش برای تشخیص عفونتهای نوکاردیایی محسوب می‌شوند (۱،۷). مطالعه حاضر گزارش موردی از عفونت نوکاردیوزیس تنفسی با ظاهرات توب قارچی در ریه بیمار مبتلا به لوپوس اریتماتوز سیستمیک است.

روش کار

خانم ۳۴ ساله مبتلا به لوپوس اریتماتوز سیستمیک که سابقه دو عمل پیوند کلیه را داشته است، ۴ ماه پس از دومین عمل پیوند با عالیم تب، کسالت، تعریق شبانه و درد قفسه سینه به بیمارستان الزهرا اصفهان مراجعه نمود. بیمار دارای تب ۴۰ درجه سانتیگراد و Ceratinine، (mg/d) ۲۱ BUN، (mg/l) ۱۱۳ CRP، (mg/l) ۴۸ AST، (g/dl) ۳۲۲ ALP، (U/L) ۱۵۰ ALT، (U/L) ۱۵۰ ALP، (U/L) ۱۵۰ بوهد است. در نتایج سی تی اسکن ریه بیمار اندازه قلب نرمال، گره‌های لفاؤی ریوی دچار تورم بودند و در راس لوب پایینی ریه راست بیمار توده ۵۵ میلی‌متری با مرکز شبیه به توب قارچی مشاهده شد. در نتیجه عفونت قارچی تشخیص داده شد و برای بیمار داروهای قارچی

بیماران با تظاهرات توپ قارچی در ریه به ثبت رسیده است (۱۴-۱۳). در مطالعه حاضر با استفاده از نتایج رنگ آمیزی، خصوصیات کلی و تست‌های فوتیپیک باکتری مورد نظر به عنوان نوکاردیا آسترودئیدس کمپلکس شناسایی شد و داروهای درمان عفونت‌های قارچی متوقف و کوتريموکسازول تجویز شد که در نهایت منجر به بهبودی بیمار شد.

نتیجه‌گیری

گونه‌های نوکاردیایی کند رشد هستند و در اغلب موارد تشخیص داده نمی‌شوند (۱۵). با توجه به اینکه بیماران نقص سیستم ایمنی یکی از مهم‌ترین میزان‌گذاری عفونت‌های نوکاردیایی هستند (۲)، لذا ضروریست در خصوص عفونت‌های بیماران نقص سیستم ایمنی، عفونت‌های ناشی از گونه‌های نوکاردیا نیز مورد بررسی قرار گیرد.

قدرتمند

مقاله حاضر حاصل پایان نامه دانشجویی کارشناسی ارشد به شماره ۳۹۵۰۸۰ در دانشگاه علوم پزشکی اصفهان است، نویسنده‌گان این مقاله لازم می‌دانند که از معاونت پژوهشی دانشکده پزشکی علوم پزشکی اصفهان کمال تشکر و قدردانی را به عمل آورند.

References

- Eshraghi S S, Bafghi M F, Ghafouri A, Heidarieh P, Habibnia S, Nasab M R, et al. Isolation and identification of *Nocardia asteroides* complex isolated from thigh abscess in a patient with Behcet's syndrome: the first report from Iran. *Tehran Univ Med Sci* 2013; **71**(7).
- Zaker Bostanabad S, Hashemi-Shahraki A, Heidarieh P, Sheikhi N, Sharifi A, Seyri Fouron Abad M. Charactrization and isolation of *Nocardia* from clinical sample Patient suspected to active tuberculosis. *NCMBJ* 2014; **4**(13): 19-23. URL: <http://ncmbjpiua.ir/article-1-474-fa.html>.
- Ahani A, Yousefi S, Fatahi Bafghi M, Shakeri N, Norozi AR, Eshraghi S S. The first report of *Nocardia asteroides* complex from a patient with nasolacrimal obstruction duct from Iran. *Razi J Med Sci* 2016; **23**(147): 99-103.
- Prasad B S, Misra R, Agarwal V, Lawrence A, Aggarwal A. *Nocardia* infection in SLE: A case series of three patients. *Indian J Rheumatol* 2014; **9**(2): 53-56.
- Rigante D, Mazzoni M B, Esposito S. The cryptic interplay between systemic lupus erythematosus and

بحث

بیماری نوکاردیوزیس توسط گونه‌های باکتری فرست طلب نوکاردیا به وجود می‌آید. این باکتری توسط استنشاق ذرات گرد و غبار وارد بدن انسان‌ها می‌شود. نوکاردیا در افراد دارای سیستم ایمنی کارآمد به طور معمول بیماریزا نیست اما افراد چهار نقص سیستم ایمنی و دریافت کنندگان پیوند از جمله افرادی هستند که مستعد کسب عفونت‌های نوکاردیوزیس می‌باشند. تاکنون بیش از ۸۰ گونه نوکاردیا شناسایی شده که از این میان، ۵۰ گونه برای انسان بیماری زا می‌باشند. در بین گونه‌های نوکاردیا جاذشه از نمونه‌های بالینی، نوکاردیا آسترودئیدس از اهمیت زیادی برخوردار است (۹-۱۰). اولین گزارش عفونت نوکاردیوزیس بعد از دریافت پیوند در سال ۱۹۶۲ گزارش گردید (۹). در یک مطالعه‌ای که در سال ۲۰۱۴ منتشر شد، گزارشی از سه بیمار مبتلا به لوپوس اریتماتوز سیستمیک بود. که هر سه این بیمار چهار عفونت‌های نوکاردیایی شده بودند (۴). در یک مطالعه توسط De Clerck از یک بیمار مبتلا به لوپوس اریتماتوز سیستمیک، عفونت نوکاردیا فارسینیکا به همراه موکورو-مایکوزیس منتشر گزارش گردید (۷). در مطالعه دیگری که توسط Ishibashi و همکاران صورت گرفت، در یک بیمار مرد ۲۷ ساله مبتلا به لوپوس اریتماتوز سیستمیک، عفونت اندوفتالمیت ناشی از نوکاردیا آسترودئیدس گزارش گردید (۱۱). در مطالعه دیگر عفونت منتشر نوکاردیا فارسینیکا از یک زن ۴۰ ساله مبتلا به لوپوس اریتماتوز سیستمیک جداسازی شد (۲). مطالعاتی مشابه پژوهش حاضر در خصوص جداسازی نوکاردیا از

- infections. *Autoimmun Rev* 2014; **13**(2): 96-102. doi: 10.1016/j.autrev.2013.09.004
- Reich A, Marcinow K, Bialynicki-Birula R. The lupus band test in systemic lupus erythematosus patients. *Ther Clin Risk Manag* 2011; **7**: 27-32. doi: 10.2147/tcrm.s10145
- De Clerck F, Van Ryckeghem F, Depuydt P, Benoit D, Druwé P, Hugel A, et al. Dual disseminated infection with *Nocardia farcinica* and *Mucor* in a patient with systemic lupus erythematosus: a case report. *J Med Case Rep* 2014; **8**(1): 1. doi: 10.1186/1752-1947-8-376
- Brown-Elliott B A, Brown J M, Conville P S, Wallace R J. Clinical and laboratory features of the *Nocardia* spp. based on current molecular taxonomy. *Clin Microbiol Rev* 2006; **19**(2): 259-282. doi: 10.1128/cmrv.19.2.259-282.2006
- Lebeaux D, Morelon E, Suarez F, Lanterrier F, Scemla A, Frange P, et al. Nocardiosis in transplant recipients. *Eur J Clin Microbiol Infect Diseases* 2014; **33**(5): 689-702. doi: 10.1007/s10096-013-2015-5
- Clark N, Reid G. *Nocardia* infections in solid organ transplantation. *Am J Transplant* 2013; **13**(s4): 83-92. doi: 10.1111/ajt.12102

11. Ishibashi Y, Watanabe R, Hommura S, Koyama A, Ishikawa T, Mikami Y. Endogenous *Nocardia asteroides* endophthalmitis in a patient with systemic lupus erythematosus. *Br J Ophthalmol* 1990; **74**(7): 433-436. doi: 10.1136/bjo.74.7.433
12. ATEŞ Ö, Cilan H, Oymak S, Yıldız O, Oymak O. Multidrug-Resistant Disseminated *Nocardia farcinica* Infection in a Systemic Lupus Erythematosus Patient. *Turk J Rheumatol* 2013; **28**(4): 56-60. doi: 10.5606/tjr.2013.2854
13. Tilak R, Agarwal D, Lahiri T, Tilak V. Pulmonary nocardiosis presenting as fungal ball--a rare entity. *J Infect Dev Ctries* 2008; **2**(02): 143-145. doi: 10.3855/jidc.287
14. Paty B P, Sarangi G, Mohanty D P, Choudhury S R, Mohapatra D, Das S S, et al. *Nocardia asteroides* causing pulmonary nocardiosis presenting as fungal ball. *Ann Trop Med Public Health* 2014; **7**(1): 58. doi: 10.4103/1755-6783.145026
15. Nguyen A, Patel K, Puck J, Dorsey M. Longstanding Eosinophilia in a Case of Late Diagnosis Chronic Granulomatous Disease. *J Clin Immunology* 2016; **13**: 1-3. doi: 10.1007/s10875-016-0361-7